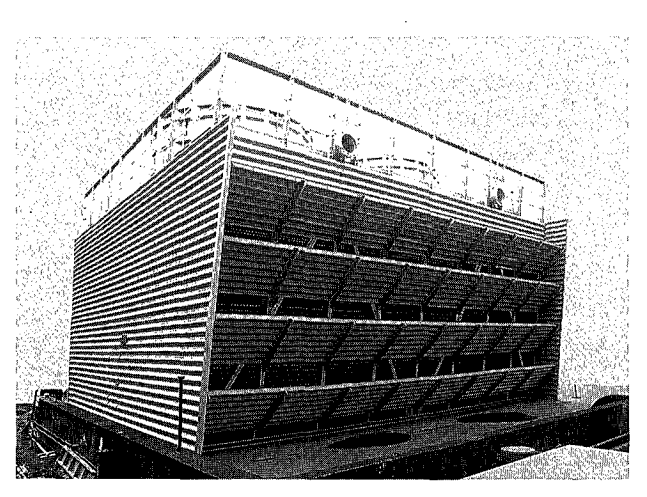
# 神鋼パンテツク技報 1997年度·Vol.41·No.2

SHINKO PANTEC ENGINEERING REPORTS

CONTENTS 次 1 巻頭言 2 好熱性微生物を利用した余剰汚泥が発生しない活性 Systematization of S-TE PROCESS Zero-Discharge Activated 汚泥処理プロセス S-TE PROCESSの実証 Sludge Process Using Thermophilic Bacteria 流動床式窒素除去プロセス: PABIO DENI (パビオ 10 Moving Bed Nitrogen Removal Process, PABIO DENI 19 連続ろ過装置「KONTIRAD」の実証実験 Demonstration Test for Continuous Sand Filter [KONTIRAD] 26 逆浸透膜による浸出水の高度処理実験報告(その2) Landfill Leachate Treatment by Membrane Filtration 37 フルゾーンの表面ガス吸収特性 absorption Characteristics from liquid surface Gas FULLZONE reactor 47 振動型膜分離装置の適用分野と実績 Application Fields and Sales Results of Vibratory Shear Enhanced Process 58 工業用水除濁処理への振動型膜分離装置「VSEP」の Application of Vibratory Shear Enhanced Processing (VSEP) for Turbidity Removal of Industrial Water 適用紹介 The Test Report of the SV MIXER (No. 2) 66 SVミキサーのテスト事例報告(その2) 76 Low Strength Organic Wastewater Recovery by Fixed Bed 固定床式生物処理による低濃度有機排水の回収 Biological Treatment Removal of Calcium from Landfill Leachate 83 浸出水のカルシウム除去 90 SP Process: Chemical Dechlorination Process of PCB in Waste PCB 処理技術(SPプロセス)について Materials 98 A Standardized Series of Glasslined Reactors and Stainless Steel グラスライニング製及びステンレス製規格品の紹介 Reactors. 103 神戸市東灘処理場における震災復興工事の紹介 Restoration from Earthquake-Rehabilitation



110

TECHNICAL NOTE

#### <写真説明>

of Sewage Water Treatment Plant

当社の冷却塔は、あらゆる業種の様々なニーズに応えるため、形式はクロスフロー型・カウンターフロー型の2タイプ、塔構成材も木製・鋼製・コンクリート製・FRP製の4種類、熱交換を行う充填材はフィルム型・スプラッシュ型というように豊富なパリエーションを取り揃えています。ここに紹介するFRP製冷却塔は、当社の経験と実績をベースにFRPの特性を最大限に活かしたもので、主な特長は次の通りです。①主構造はFRP引き抜き成形材を使用、品質が安定している。②構成材をFRP化することで軽量化が可能③ユニット化を実施したことにより現地据付工期の短縮が可能④FRP製構成材はメインテナンスフリー、保守費用が大幅に低減できる。など、すぐれた特長をもっている。

Cross flow, Counter flow in types and galvanized steel, stainless steel, treated wood, concrete and FRP·in materials are provided by Shinko Pantec to meet customers' various needs. Our FRP cooling tower consists of pultruded structural composites and has following features. Pultruded main structure provides stable quality. Light weight and factory-fabricated components permit quick and accurate on-site installation. FRP materials provide longevity and corrosion resistance with minimum maintenance.

# 21世紀のための次世代型最終処分場研究施設の設立



福岡大学工学部教授

花 嶋 正 孝 Masataka Hanashima

現在,環境問題のフロントである廃棄物問題が社会の話題の中心になっている。特に地球環境を守る最後の砦である最終処分場の建設が周辺住民の設置反対の運動に遭い、完全にデッドロックに乗り上げている。全国 200 ケ所以上の場所で色々とトラブルが起きており、これらの問題解決のため、国は廃棄物処理法を大幅に改正してこの対応を図った。平成 9年6月に無事法案が国会を通過した。現在これを支える政省令作りに励んでいる。今回の改正の骨子として、より具体的な数値目標を定めることが要求されており、この数値決めに苦労させられている。しかも最終処分場はすべての科学(物理学、化学、地質学、生物学、土木工学)を集大成したようなものであり、色々な分野の研究者が総力を挙げて取り組まなければならない所のものである。

現在のところ、総体的な認識は旧態依然たる単なるごみ捨て場の域を超えていないのが実状である。平成9年10月12日から17日までの5日間、イタリアのサルジニア島のカリアリで開かれた第6回国際ランドフィルシンポジウムには、埋立てを中心にした400を超える研究発表が全世界から寄せられ、1000人を上回る研究者が集まった。このように問題は日本に留まらず世界的に深刻なものであり、これら問題の解決に世界の衆智を集めようとしている。

日本でも、平成6年より最終処分場システム研究会(LS研)を102社の研究者や技術者が集まって会を発足させた。関係者の努力により平成8年度には4000頁にも及ぶ膨大な研究成果が発表された。これらの基礎研究をより確かなものにするためにも、より大きな現場でのフィールド実験が要求されているが、これを満足させる研究施設が未だ日本には存在しない。そこで、このLS研の中の非常に研究熱心な企業を集めて、次世代型の最終処分場研究会なるものを発足させた。これに参画した大手企業としては、神鋼パンテツク、クボタ、荏原製作所、栗田工業の4社であり、これに協力をする4社のコンサルタントが加わった。最終処分場も生ごみの埋立てによる有機物質の汚染から、現在の焼却を主体とした処理体系への変遷の中で、焼却残渣の埋立てによる無機性塩類の問題が大きくクローズアップされてきている。これらの解決には、今迄廃棄物による浸出水の処理では用いられていなかった膜の利用や、最終に生成される塩の問題の解決等に関して色々新しい技術が要求されている。

幸いにして、平成9年2月に文部省が学術フロンティア構想を打ち上げ、全国私立大学中10大学を研究中心の大学として位置付けて主要な研究テーマを有し、積極的に研究組織を整備している大学を指定することにした。8社の企業の参画を得て組織し、研究テーマがしっかりしていた次世代研が存在していたため、この指定を受けることができた。北九州市の大いなる支援を受け、響灘地区に将来計画として20000m²の敷地の獲得もでき、次世代研に次ぐ研究組織も現在4つ立ち上がっている。これらは、来るべき21世紀の日本の環境と資源問題を見据え、これを両立させる研究施設であるようにと、福岡大学、地域の諸大学と次世代研の協力で資源循環・環境制御システム研究所を誕生させた。この研究施設はただ研究だけに留まらず、資源循環型の社会を支える人材の養成と、東南アジアを中心にする廃棄物問題に取り組む研究者、技術者に現場の実状を踏まえた教育を行える場に成長させたいと思っている。この主旨に第一に御賛同戴いた貴社の志に大いに敬意を表したい。

# 好熱性微生物を利用した余剰汚泥が発生 しない活性汚泥処理プロセス S-TE PROCESSの実証

Systematization of S-TE PROCESS

Zero-Discharge Activated Sludge Process Using

Thermophilic Bacteria









(技)研究開発部
長谷川 進
Susumu Hasegawa
福井孝博
Takahiro Fukui
赤司
Akira Akashi
(技)開発企画室
桂 健 治
Kenji Katsura

著者らは、これまで、汚泥を可溶化する好熱性微生物を用いた余剰汚泥の発生しない活性汚泥処理プロセスを提案し、人工廃液及び実工場廃液を用いた室内実験により実証した。本稿では、パイロットテストの運転結果を報告する。処理水 SS, TOC が若干上昇するものの、余剰汚泥の引き抜きをしない運転が可能であること、所定の条件で運転することにより、汚泥可溶化好熱菌の培養が可能であること等、室内実験で実証された結果を再現することができた。

We have previously demonstrated that the zero-discharge activated process can be achieved by using thermophilic bacteria which solubilize excess sludge.

In this paper we show the results of pilot test. In our process, SS and TOC concentrations of the treated water increased slightly compared with those of conventional activated sludge system. But we could run the process without disposing excess sludge.

# Key Words:

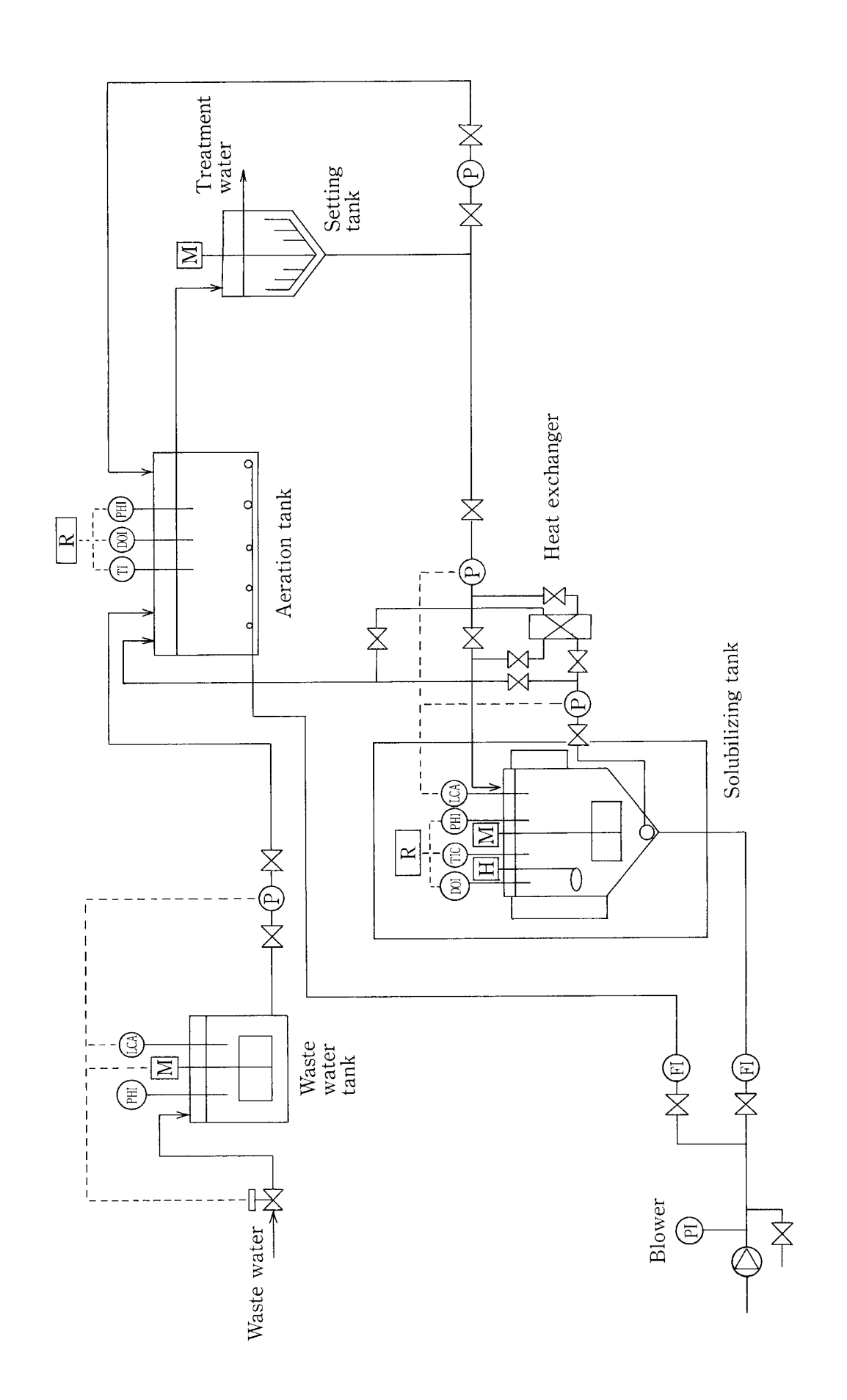
好 熱 性 細 菌余 剰 汚 泥可 溶 化活 性 汚 泥 法

Thermophilic bacteria Excess sludge Solubilization Activated sludge system

# まえがき

わが国における1993年度の産業廃棄物排出量は、約4億トンとされており、ここ数年、ほぼ横這いの傾向にあるが、その量は、家庭から排出される一般廃棄物の約8倍の量に相当する。この内約20%が最終処分として埋め立て処理されており、最終処分場の残余容量はここ数年をピークに減少の傾向にあ

る。このままでは、約10年後には、残余容量がゼロになるとの推算もあり、産業廃棄物の再利用、減量化が緊急の課題となっている<sup>1)</sup>。産業廃棄物の内、生物学的排水処理設備より排出される余剰汚泥は、有機物含有量が多いことから、大規模工場あるいは都市圏の大規模下水処理場などでは、脱水の後、焼却、溶融による減容化が主流となっている。しかし、



第1図 S-TEPROCESS フロー図 Fig. 1 Flow diagram of S-TE PROCESS

小規模工場あるいは今後普及が予想される中小市町村の小規模下水道においては,専門技術者の不足や経済面での制約があり,大規模向けに開発された技術がそのまま適用できるとは限らず,むしろ小規模設備に適した新たな技術開発が望まれている<sup>20</sup>。

廃棄物減容の基本は廃棄物を出さないことであり、その様な観点から、1995年、公共下水道に関しては「発生汚泥等の処理に当たっては、脱水、焼却、再生利用等によりその減量に努めなければならない」との責務条項を盛り込んだ下水道法の一部改正がなされた。また、近年、多くの企業が「ゴミゼロ工場」「ゼロエミッション」等を目標に掲げ、工場、事業所からの廃棄物の削減に取り組んでいる3。

有機性廃水の生物学的処理法は、増殖する生物に より廃水中の有機物を吸着あるいは分解させるため、 増殖汚泥の発生は宿命的なものである。そのため、 永年, 汚泥生成の少ないプロセスの検討がなされ生 物膜法,長時間曝気法等余剰汚泥の発生の少ない活 性汚泥法の開発がなされてきたが、それでも余剰汚 泥の全く発生しないプロセスは存在しなかった。し かし,近年,山本ら40による膜分離活性汚泥法,安 井ら<sup>51</sup>によるオゾン活性汚泥法により、見かけ上余 剰汚泥の発生しないプロセスが提案され, 注目を集 めている。前者は、曝気槽中に膜を浸漬して固液分 離することにより槽内 MLSS 濃度を高め、生物の 自己酸化を促進し汚泥を減容化する方法であり,後 者は、曝気槽内の汚泥を一部引き抜き、オゾンに接 触させて可溶化し, 再び曝気槽へ循環返送して生物 分解することにより汚泥を減容化する方法である。 しかし,一般に膜処理やオゾン等の物理化学的処理 は装置自体はコンパクトになるが、建設費が高くな る,維持管理が煩雑等の問題あり、特に、小規模の 事業所では経済的負担が大きくなる傾向にある。そ こで、著者らは経済性に優れた微生物による汚泥減 容化処理を検討し,これまで,ある種の好熱性微生 物が汚泥可溶化酵素を体外に分泌し、有機性汚泥を 可溶化することを明らかにした6。さらに、汚泥可 溶化好熱菌を用いて可溶化した可溶化液を従来の活 性汚泥処理槽に返送してガス化することにより、見 かけ上余剰汚泥の発生をゼロにすることが可能な活 性汚泥システムを提案し、ベンチスケールテストで 実証した"。そこで、本稿では、実廃液を用いたパ イロットテストの結果を報告する。

### 1. パイロットテストの概要

実装置化にあたって、ベンチスケールテストで得られた処理性能の実証と、運転立ち上げ方法及び維

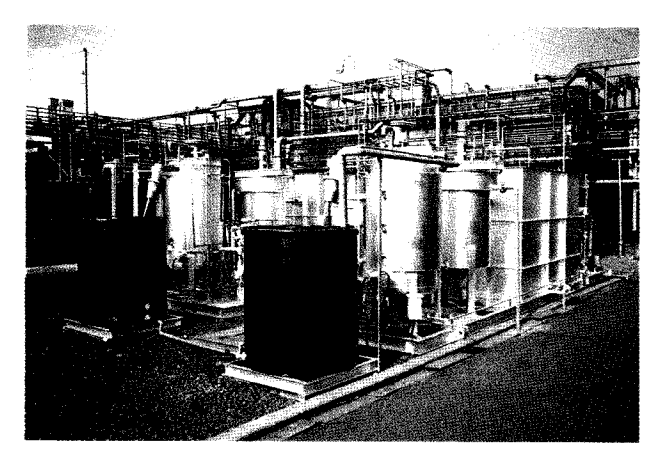


写真 1 パイロットテスト装置 Photo.1 Pilot plant of S-TE PROCESS

持管理性の確認等を行うため、実廃液を用いたパイロットテストを実施した。テストは、石油化学工場活性汚泥廃水処理設備の流入廃液を対象とし、現地に、パイロットテスト機を設置して行った。

### 1. 1 テスト装置

パイロットテスト機のフローシートを第1図に、装置の概略仕様を第1表に、また、装置外観を写真1に示す。S-TE PROCESSの主要部は、汚泥可溶化槽であるが、汚泥の出ないプロセスが活性汚泥曝気槽との組み合わせによりはじめて達成されることから、パイロットテスト機も、汚泥可溶化好熱菌を培養する汚泥可溶化槽と、固液分離槽を含む活性汚泥処理設備から構成されている。写真1に示すよう、装置は2系列で運転し、1つの系は汚泥可溶化槽を運転しない通常の活性汚泥法とし、S-TE PROCESS の効果を評価するための対照系とした。

### 1. 2 運転方法

### 1)装置の制御法

実設備の原水ポンプ吐出側より分岐をとり,原水を一旦本テスト機の原水槽に受水した。原水槽よりは,原水ポンプで分配槽を通してそれぞれの系に注水した。曝気槽で処理された排水は沈殿槽で固液分離され,S-TE PROCESS では,沈殿汚泥を一部汚泥可溶化槽に移送し,残りは返送汚泥として曝気槽に返送した。また,必要がある場合は,一部を余剰汚泥として系外に引き抜いた。汚泥可溶化槽は電気ヒーターにより加温され,好熱菌培養温度を65±2℃に保った。汚泥可溶化槽への汚泥移送量を変化させ可溶化処理汚泥量を変化させる場合は,汚泥可溶化槽での反応時間が1日となるよう,槽内液位を調整することにより反応槽容積を変化させ,処理汚泥量の変化に対応した。汚泥可溶化槽で可溶化され

た汚泥は全量曝気槽に返送した。一方,対照系では, 曝気槽内で増殖する汚泥分を余剰汚泥として連続的 に系外に排出した。

運転条件を第2表に示す。できるだけ実設備の運転条件に合わせるよう運転したが、沈殿槽における汚泥の濃縮度が実設備より低かったため、返送汚泥濃度が低くなり曝気槽内 MLSS 濃度を高く維持することができなかった。そのため、BOD/SS 負荷を基準として実装置の負荷に合わせて運転した。運転立ち上げ時、曝気槽内 MLSS 濃度の上昇に合わせ BOD/SS 負荷が所定の値になるよう廃水処理量を上昇した。

第2~4図に運転立ち上げ時の、曝気槽内 ML SS 濃度、BOD 容積負荷及びBOD/SS 負荷の経日変化を示す。曝気槽内 MLSS 濃度の上昇に合わせ廃水処理量を増大し、容積負荷を上昇することにより、BOD/SS 負荷をほぼ所定の 0.3 kg-BOD/kg-SS/d に調整できた。

### 2) 好熱菌の添加

運転立ち上げ時、本テストで用いたと同じ実廃液で約4ヶ月運転を継続した室内実験装置の汚泥可溶化槽より採取し、冷蔵庫に貯蔵しておいた好熱菌培養液を種汚泥として用いた。沈殿槽より引き抜いた汚泥9に対し1の割合で好熱菌培養液を添加し、65℃で2日間空曝気し、運転を立ち上げた。

# 3) 余剰汚泥の引き抜き及び汚泥可溶化処理量

対照系の余剰汚泥の引き抜きは、曝気槽内 MLSS 濃度が約3000 mg/L となるよう引き抜き 量を調整した。一方、S-TE PROCESS では、沈 殿汚泥の一部を可溶化処理し、曝気槽 MLSS 濃度 が上昇傾向にある場合は、沈殿槽より汚泥を引き抜 いて、対照系同様、曝気槽内 MLSS 濃度を約3000 mg/L に維持した。

運転立ち上げ時、対照系の余剰汚泥量 (Qw) と同量の汚泥を汚泥可溶化槽に投入したが、この場合、曝気槽内 MLSS が上昇の傾向にあったため一部汚泥を引き抜いた。曝気槽内 MLSS が所定の値になったところで、約2週間毎に汚泥可溶化槽に投入する汚泥量 (Qs) を増加し、最終的に対照系の余剰汚泥量の3倍 (Qs/Qw=3) に相当する汚泥を投入した時、汚泥を引き抜かない系が達成された。

# 1. 3 分析方法

処理水質の分析は、下水試験方法<sup>8</sup>に準じた。なお、全有機態炭素(TOC)は、島津製作所製TOC-500により測定した。

# 2. テスト結果

# 2.1 余剰汚泥の発生量

運転立ち上げ時は、対照系では、曝気槽内平均汚泥滞留時間(SRT)が20日になるよう引き抜き汚泥量を少なくした。約20日運転後、曝気槽 MLSS

第 1 表 装置仕様

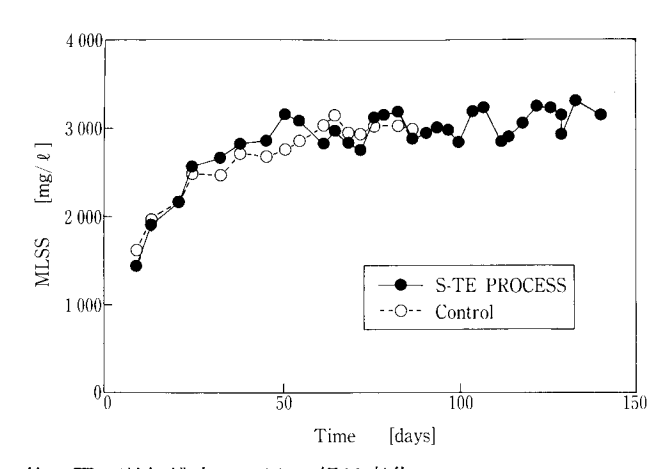
Table 1 Specifications of pilot plant

	S-TE PROCESS	Control	
Aeration tank Settling tank Solubilizing tank	$\begin{array}{cccc} 1 \ m^{\text{\tiny W}} \! \! \! \! \! \! \! \! \! \! \! \! \! \! \! \! \! \!$	$\begin{array}{cccccccccccccccccccccccccccccccccccc$	

第2表 運転条件

Table 2 Operational Conditions of pilot plant

		S-TE PROCESS	Control
Volumetric loading rate	(kg-BOD/m³/d)	0.8	0.8
Sludge loading rate	(kg-BOD/kg-SS/d)	0.3	0.3
MLSS of aeration tank	(mg/L)	3 000	3 000
HRT	(d)	2	2
Aeration rate	$(m^3/m^3/min.)$	0.1	0.1
⟨Solubilizing tank⟩			
HRT	(d)	1	
Temperature	$(\mathcal{C})$	65	_
Aeration rate	$(m^3/m^3/min.)$	0.1	_



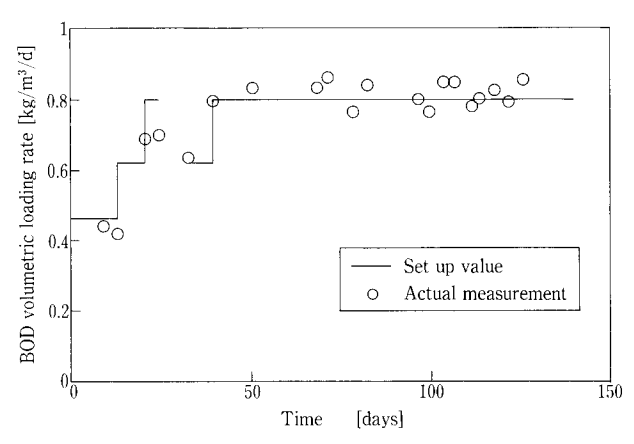
第2図 曝気槽内 MLSS の経日変化 Fig. 2 Time course of MLSS

濃度の上昇にともない、引き抜き汚泥量も増加し、 最終的には、SRTを10日程度に調整した。一方、 S-TE PROCESS においては処理水質への影響も 考慮し、運転立ち上げ時は対照系の余剰汚泥量に相 当する量の汚泥を汚泥可溶化槽に移送し、対照系の MLSS 濃度と同じになるよう余剰汚泥の引き抜き を行った。 MLSS 濃度が3000 mg/L に達してか らは、2週間毎に汚泥可溶化槽への移送量を2倍3 倍と増加し、結果的に3倍処理した時、汚泥の引き 抜きを必要としない系が成立した。

第5図に除去BODと発生した余剰汚泥量の関係を示す。グラフの傾きは、除去BOD当たりの生成汚泥量、即ち、見かけの汚泥転換率を示す。生成汚泥量としては、人為的に余剰汚泥として系外に引き抜いた汚泥と、処理水中に流出したSS及び無視小ではあるが分析用採取分の合計とした。対照系では、実験期間を通じて、見かけの汚泥転換率は約0.25であった。一方、S-TE PROCESSでは、可溶化処理する汚泥量を増加することにより、見かけの汚泥転換率が減少し、対照系で排出される余剰汚泥量の約3倍量の汚泥を可溶化処理することにより、見かけの汚泥転換率はほぼゼロになった。この条件では、人為的な汚泥の引き抜きは行っておらず、系より排出される汚泥は、処理水中のSS及び分析用採取分のみである。

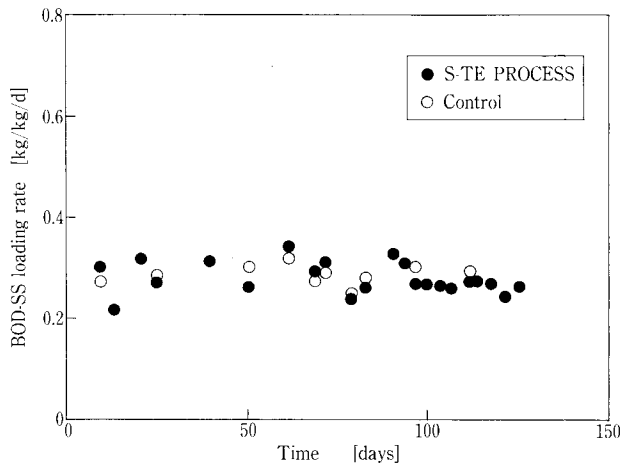
### 2. 2 処理水質

第3表に汚泥の引き抜きを行わない運転条件での 定常時における処理水水質の平均値を示す。処理水 BOD はいずれの系でも良好で実験期間を通じ常に 5 ppm 以下であった。一方、S-TOC 及び SS は対 照系と比べ S-TE PROCESS では、それぞれ 37 %、 33 % 上昇した。これは、汚泥を可溶化して曝気槽



第3図 BOD 容積負荷の経日変化

Fig. 3 Time course of BOD volumetric loading rate



第4回 汚泥負荷の経日変化

Fig. 4 Time course of BOD-SS loading rate

に返送することにより、曝気槽の汚泥負荷が上昇し たためと考えられる。また,本廃水を用いて室内実 験を実施した時の測定結果も併記してあるが、室内 実験においてはSSの値がパイロットテスト結果よ り高めにでているものの、両者は、ほぼ同様の傾向 を示しており、室内実験結果をよく再現することが できた。このことは、逆に、室内実験により、実設 備の処理水質を予測することができることを示唆す る。室内実験で処理水 SS が高くなったのは、沈殿 槽が小さいため壁面効果が現われたこと,及び曝気 槽温度を28 ℃ にコントロールしたため、外気温に さらされ水温の低下した沈殿槽滞留水中に曝気槽流 出液が流入した際, 密度流を生じ, 固液分離性能が 低下したためと推察される。第6図に対照系の余剰 汚泥引き抜き量(Qw)に対する S-TE PROCESS の可溶化処理汚泥量(Qs)の割合を可溶化処理率 (Qs/Qw) と定義したときの可溶化処理率と処理水

		Effluent					
	Influent	Pilot sca	ale test	Bench sc	ale test		
		S-TE PROCESS	Control	S-TE PROCESS	Control		
BOD <sub>5</sub> (mg/L)	1 550	⟨ 5	< 5	< 5	< 5		
$SS \qquad (mg/L)$	45	29.2	21.9	39.8	30.1		
S-TOC (mg/L)	990	52.9	38.4	55.8	41.2		

水質の関係を示す。可溶化処理率を増加することにより汚泥可溶化液の返流に起因する曝気槽への負荷が上昇するため、処理水 TOC が増加していることが分かる。また、図中には、ポリペプトン、グルコースを主成分とする人工廃水を用いた室内実験の結果も併記したが、TOC の上昇率は処理する廃水の組成によっても影響され、比較的生物分解の容易な人工廃水を処理した場合は、上昇率は小さい値となった。

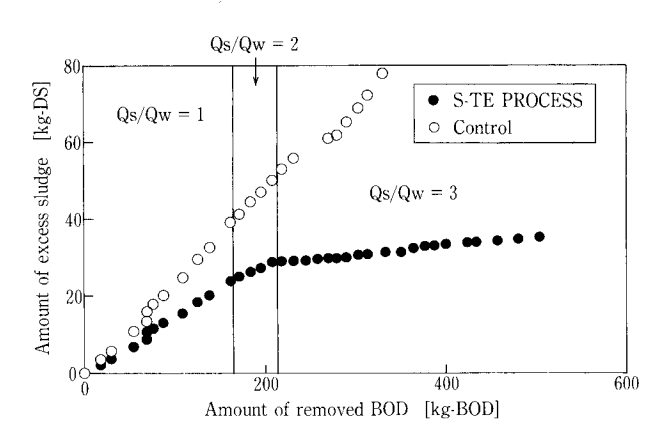
# 2. 3 好熱菌の挙動

第4表は汚泥可溶化槽中の好熱菌計数結果を示す。 好熱菌の計数は、既報の方法により行った<sup>6</sup>。汚泥 可溶化槽中の好熱菌数は10<sup>4</sup>オーダーで曝気槽より 2桁多かった。また、曝気槽中の好熱菌がほとんど 全て休眠胞子で存在するのに対し、汚泥可溶化槽中 では、ほぼ100%は生菌として存在しており、汚 泥の可溶化に寄与していることが分かった。

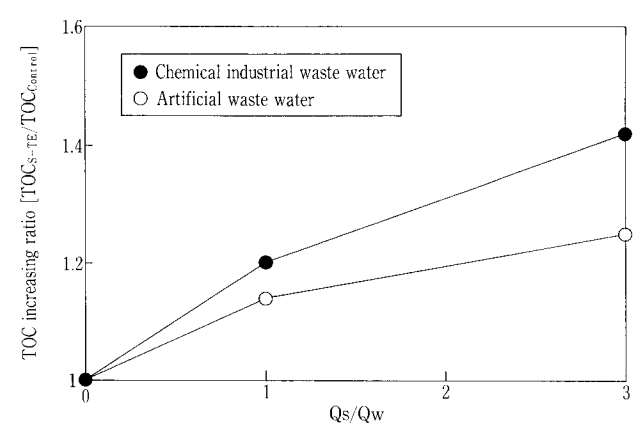
写真 2 は、好熱菌計数中に得た代表的な好熱菌のコロニーを継代培養し、汚泥を懸濁させた寒天培地に塗沫し、65 ℃ 恒温槽中にて24時間培養した結果である。コロニー周辺にハローが認められ、好熱菌が分泌した汚泥可溶化酵素により汚泥が可溶化され透明部ができたことが確認された。

S-TE PROCESSでは、余剰汚泥を65℃の高温で処理するため、曝気槽内の中温菌がダメージを受ける事が懸念される。そこで、S-TE PROCESSと対照系の曝気槽内の中温菌数を比較した。第5表に示すように、両系の曝気槽内の中温菌数(CFU/ml)は共に10<sup>7</sup>オーダーで大きな差はなかった。従って、BOD 除去成績と併せて考えると、S-TE PROCESS による中温菌へのダメージは少ないものと考えられる。

前述の結果より,汚泥可溶化槽で生育した好熱菌 は曝気槽に返送されても死滅するのではなく胞子の 形で生存し,好熱槽に戻された際,再び発芽し,活 動するものと考えられる。また,汚泥可溶化槽に流 入した中温菌も全て可溶化されるわけではなく,一



第5図 BOD 除去量と持出汚泥量の関係 Fig. 5 Relationship between excess sludge and removed BOD



第6図 可溶化処理率(Qs/Qw)と処理水 TOCの関係 Fig. 6 Relationship between Qs/Qw and TOC increasing ratio

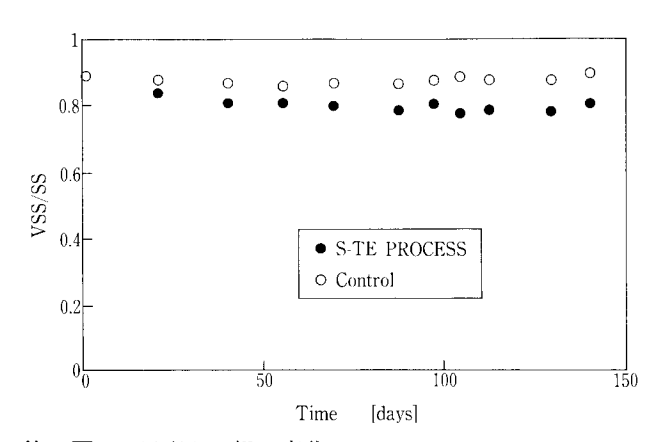
部、胞子の形で生存し、曝気槽に返送された際、再び活性を取り戻すものもいると考えられる。この様に、S-TE PROCESS においては、それぞれ環境に適した生物が優占するようになると考えられるため、従来の活性汚泥法における生物相とは異なる生物相になっているものと推察される。

### 2. 4 系内への無機物 (ash) の蓄積

S-TE PROCESS では発生する余剰汚泥を系外へ引き抜かないため、系内への無機物の蓄積が懸念される。そこで、VSS/SS 比を測定することにより、



写真 2 好熱菌による汚泥の分解・可溶化 Photo. 2 Solubilization of sludge by thermophilic bacteria



第7図 VSS/SS の経日変化 Fig. 7 Time course of VSS/SS

第 4 表 汚泥可溶化槽内好熱菌数

Table 4 Number of thermophilic bacteria in the solubilizing tank

	Number of colony forming units(CFU/ml)	Ratio
Viable cells	$2.36\! imes\!10^{4}$	1
Spores	$2.8 \times 10^{2}$	0.01

第 5 表 曝気槽内中温菌数

Table 5 Number of methophilic bacteria in the aeration tank

	Number of colony forming units(CFU/ml)	Ratio
S-TE PROCESS	$1.80 \times 10^7$	0.7
Control	$2.54 \times 10^7$	1

曝気槽内の無機物の蓄積を考察した。第7図に示すように、S-TE PROCESS で運転初期において曝気槽内の VSS/SS 比が低下する傾向が認められた。しかし、その傾向は、次第に減少し、最終的には、VSS/SS 比 0.8 前後で安定するようになった。個々の無機塩類の挙動については未確認であるが、無機物の汚泥内への蓄積には上限があるものと推察される。これは、微生物が取り込める無機塩類には限界があるため、不要な無機物は菌体外に放出され、溶解性成分として処理水中に流出していくためと考える。

S-TE PROCESS の無機物含有量が対照系に比べて10ポイント程度高いことは、曝気槽内MLSS 濃度を等しくした場合、微生物に代表される有機固形物が対照系に比べ少ないことを意味する。S-TE PROCESS での処理水質の悪化は、対照系に比べ生物量が少なかったことも原因の1つと考えられる。

# むすび

好熱性微生物を利用した余剰汚泥の発生しない活性汚泥法のパイロットテストを実施した結果,次の知見が得られた。

- 1) 石油化学工場廃水を対象としたパイロットテストにより、汚泥のでないプロセスを実証した。
- 処理水 BOD は 5 mg/L 以下であったが、
   S-TOC は標準活性汚泥法に比べ35~40% 程度上昇した。
- 3) S-TE PROCESSの曝気槽中の好熱菌数は10° オーダーで全てが休眠胞子であるのに対し、汚泥可溶化槽中の好熱菌は10°オーダーで、ほとんど全てが生菌であった。これら好熱菌は、汚泥を懸濁させた寒天上で、汚泥可溶化斑(ハロー)を示すことから、汚泥可溶化槽で好熱菌が良好に培養されていることを確認した。
- 4) S-TE PROCESS の曝気槽中の汚泥の無機物

含有率は、対照系に比べ10ポイント程度上昇したが、無機物が蓄積し続けることはなく、一定の値で安定した。

# [参考文献]

- 1) 仁井正夫:環境技術, Vol.26, No.1, 61-66, 1997.
- 2) 渡部春樹:下水道協会誌, Vol.33, No.405, 13-17, 1996
- 3) 例えば; PPM, Vol.27, No.9, 17-85, 1996.

- 4) 淵上善弘, 山本和夫, 浅見恵一, 松尾友矩; 衛生工 学研究論文集, Vol.23, 239-248.
- 5) Yasui, H., Shibata, M.; Wat. Sci. Tech., Vol.30, 11-20, 1994.
- 6) 長谷川進,三浦雅彦,桂健治;下水道協会誌, Vol. 34, No.408, 76-82, 1997.
- 7) 桂健治,三浦雅彦,長谷川進;水環境学会誌(投稿中)
- 8) (社)日本下水道協会;下水試験方法(1984年度版)

#### 連絡先

長谷川 進	技術開発本部	褔	#	孝	博	技術開発本部	赤	司 昭	技術開発本部
(工学博士)	研究開発部 主任研究員					研究開発部	(医	(学博士)	研究開発部
TEL	078 - 992 - 6525				Τ	EL 078 - 992 - 6525			ΓΕL 078 - 992 - 6525
FAX	078 - 992 - 6504				F	A X 078 - 992 - 6504		I	FAX 078 - 992 - 6504
E-mail s.hasegaw	a@pantec. co.jp		I	E-m	ail t.	fukui@pantec. co.jp		E-mail a.	akashi@pantec. co.jp
桂 健治	技術開発本部 開発企画室								
TEL	078 - 992 - 6525								
FAX	078 - 992 - 6504								
E-mail k.katsur	ra@pantec. co.jp								

# 流動床式窒素除去プロセス: PABIO DENI(パビオ デニ)

Moving Bed Nitrogen Removal Process, PABIO DENI





(環) 製品開発室 熊 野 晋 Susumu Kumano 野 中 信 一 Shinichi Nonaka

流動床式窒素除去プロセス PABIO DENI (パビオデニ) のベンチスケール実験による硝化, 脱窒の単独処理性能の調査結果を紹介するとともに, 海外における PABIO DENI の実績例及 び処理性能を紹介する。

ベンチスケール実験では硝化に関して  $NH_4$ -N 容積負荷  $0.9 \text{ kg/m}^3 \cdot d$ ,脱窒に関しても  $NO_3$ -N 容積負荷  $3.5 \text{ kg/m}^3 \cdot d$  でいずれも 98 % 以上の高い除去率が得られることが確認できた。海外の 実績では約  $10 \text{ } \mathbb{C}$  の低水温において HRT  $3 \sim 6 \text{ } \text{ hr}$  で窒素除去が可能である。

This paper introduces the moving bed nitrogen removal process, PABIO DENI, at a bench-scale test in our laboratory and operation data in European countries.

A bench-scale test, using artificial wastewater demonstrated a high removal ratio as 98% or above with 0.9kg/m³·d NH<sub>4</sub>-N volumetric loading for nitrification and with 3.5kg/m³·d NO<sub>x</sub>-N for denitrification.

In operation data, it is possible to remove nitrogen for 3 to 6 hours even at a low temperature as 10  $^{\circ}$ C.

# Key Words:

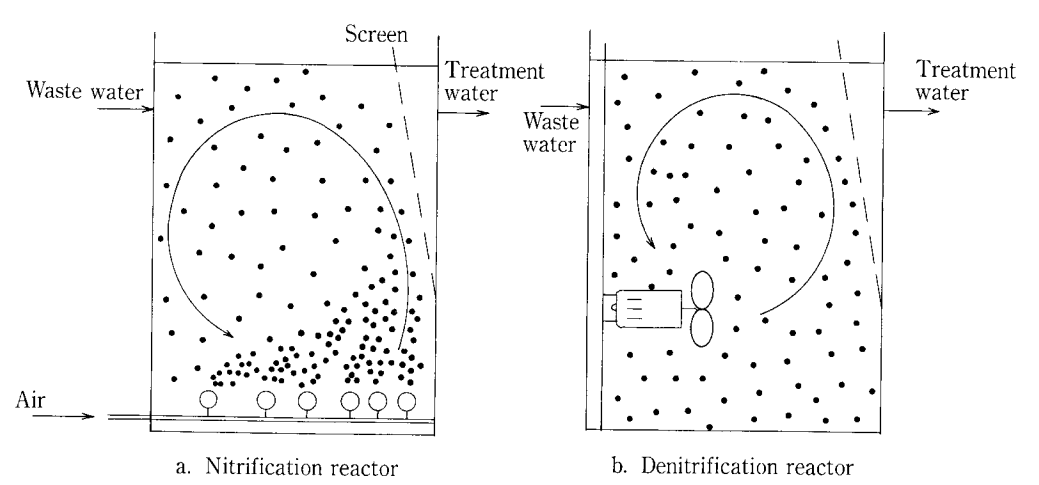
硝			化	Nitrification
脱			窒	Denitrification
M	В	В	R	Moving Bed Biofilm Reactor
硝	化	細	菌	Nitrifying bacteria
流	重	边	床	Fluidized Bed

### まえがき

閉鎖性海域の富栄養化を防止するため1993年10月より窒素が新たに排水規制対象に加えられた。しかし、その施行に当たっては暫定基準が適用され、5年の猶予期間が設けられていたため、排水規制の本格的運用は1998年10月からとなる。現在、窒素含有排水を排出する工場等では、この規制に合わせ鋭意

対応策の検討がなされている状況である。

一般に、下水等の有機物と窒素を含む廃水では従来の活性汚泥法の処理工程の中に無酸素槽を設け、BODと窒素を同時に除去する活性汚泥循環変法が採用されるのが通常であった。しかしこの方式は、多大な設備面積を必要とするため、より省スペースで効率的な方法が望まれている。効率的な方法とし



第1図 PABIO DENI 装置概念図 Fig. 1 Scheme of PABIO DENI

て,担体投入法,生物膜法等が開発されている。

既報<sup>1)</sup>で紹介したように流動床式生物膜処理装置 PABIO MOVER は省スペースで,しかも従来の 固定床式生物膜法における担体の目詰まり等の欠点 を解消した流動床方式の新しい処理装置である。この PABIO MOVER は反応槽に特殊な形状の担体を投入して流動化させるとともに,高活性の汚泥(微生物)を担体に付着保持させることでより高負荷処理が可能で,好気処理,嫌気処理のどちらにも適用でき,単にBOD除去だけでなく窒素除去も同時に行うことが可能である。

流動床式窒素除去プロセス(PABIO DENI)は海外で多くの実績を有するが、窒素濃度や性状の異なる日本での各種の廃水に適用するに当たっては、硝化、脱窒それぞれの基本処理性能を把握する必要がある。今回、ベンチスケール実験による硝化、脱窒単独の除去能力調査結果を報告するとともに、海外の実績例を紹介する。

### 1. PABIO DENIの概要

# 1.1 原理及び構造

PABIO DENI の硝化槽,脱窒槽の概念図を第1図に示す。硝化槽,脱窒槽内に充填した担体は,第1図a,bに示したように硝化槽ではエアレーションによって,脱窒槽では機械攪拌によって流動化される。各々の槽には担体が流出しないようにスクリーンを設けている。担体の材質は高密度ポリエチレン(密度0.92~0.96g/cm³)であり,形状は直径10mm,高さ7mmの円筒型である。円筒内は十字の仕切が,また周囲にはフィンが付いており,十字の仕切は担体強度のアップと表面積の増加に,フィンは攪拌効率の向上に役立っている。担体の充填率は硝化槽,

脱窒槽とも標準は約70%(リアクター有効容積の2/3)とされるが、この充填率は約350 m²/m³の生物膜の比表面積に相当する。

写真 1 に PABIO DENI で使用される攪拌機を示す。エネルギー効率の面では縦型より横型の方が効率的であるため、プロペラ型攪拌翼が採用される。

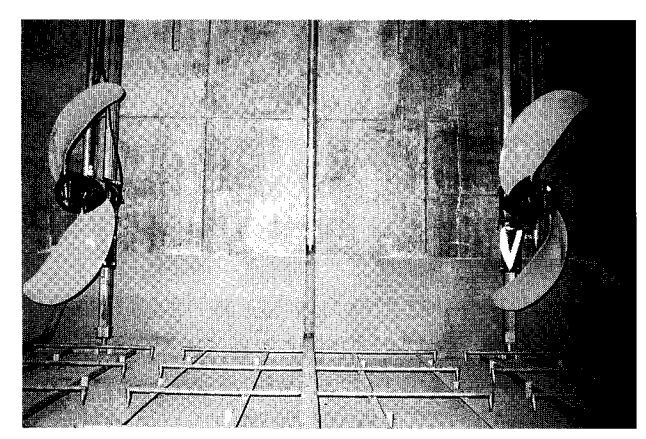
# 1. 2 特 長

本プロセスはその独特な担体形状により次のよう な特長を有する。

- ① 有効表面積が広く、高活性の微生物を保持できるため高負荷処理が可能である。
- ② 担体付着微生物による処理を行うので、返送 汚泥が不要等汚泥管理、運転管理が容易である。
- ③ 担体の激しい攪拌,流動により増殖微生物による目詰まりがなく,逆洗が不要である。

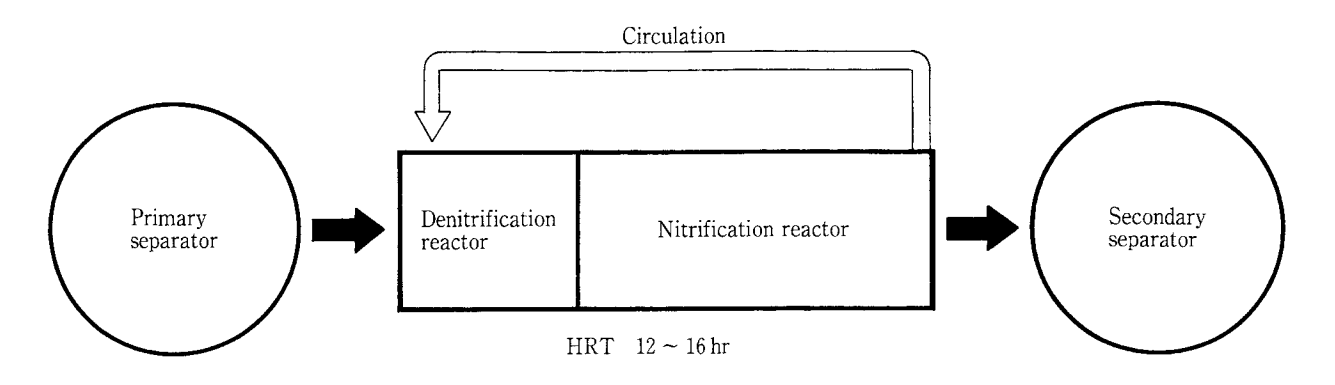
### 2. 従来のプロセスとの比較

下水等の有機物 (BOD) と窒素を含んだ排水では、主として第2図に示す硝化液循環式脱窒法が適



写 真 1 脱窒槽の横型攪拌機

Photo.1 Mechanical agitators in denitrification reactor



第2図 硝化液循環式脱窒法

Fig. 2 Activated sludge process with circulation

第 1 表 PABIO DENI と従来法との比較

Table 1 Comparison of PABIO DENI to conventional processes

		PABIO DENI	Activated sludge process with recirculation	Advanced nitrification process with recirculation
Carrier elements		Required	Not required	Required
Filling ratio of carrier	Nitrification	50-70		10-20
(%)	Denitrification	50-70 —		0
Type of sludg	e used	attached sludge	suspended sludge	attached and suspended sludge
Return slu	dge	Not-required	Required	Required
HRT	Nitrification	2-3	6-8	2-3
(hr)	Denitrification	2-3	6-8	4-5

# 用される。

担体を利用しない従来の方法は活性汚泥循環変法と称される。これは硝化処理液を脱窒槽に循環返送することによって脱窒反応に必要な水素供与体や硝化槽でのpH調整剤を節減する方法である。この方法では脱窒槽、硝化槽を合わせたHRTは一般に12~16 hr必要である。これに対し近年、硝化槽に担体を投入して硝化菌を固定化し菌体濃度を高めて処理する硝化促進型循環変法が下水道分野を中心に開発されており、HRT8hrでBODと窒素の同時除去が可能である。ここで使用される担体は、包括固定型や結合型があり、材質はPEG、PP、スポンジ等のものがある。

これらの硝化促進型の処理方法と PABIO DENI との比較を**第1表**に示す。PABIO DENI は次の 2 点が大きな特徴であり、反応槽の HRT は3~4 hr で窒素除去が可能である。

- ① 硝化槽と脱窒槽に担体を投入する。
- ② 浮遊汚泥を再利用しないので返送汚泥が不要

### 3. ベンチスケール基礎実験

工場廃水等,原水の窒素濃度が異なる各種廃水への適用性,HRT及び容積負荷の影響,担体付着汚泥量などの確認を目的としてベンチスケール実験を行った。

# 3.1 装置及び方法

### 3. 1. 1 装置

実験には第1図に示した構造の硝化槽及び脱窒槽を各々2基使用し、1基は滞留時間の影響を、他の1基は容積負荷の影響を調査した。硝化、脱窒槽の有効容積は各々5、3.5 L であり、担体を有効容積の2/3量投入した。担体の流動化は硝化槽は曝気用空気によって、脱窒槽は竪型攪拌機にて行った。硝化槽では硝化の進行に伴って pH が低下するため、pH コントロールを行ったが、pH センサーは槽上部に設置し、pH 調整剤には1%の NaOH を使用した。脱窒槽には水素供与体としてメタノールを使用したが、投入量はメタノールの不足が除去律速とならないように3.5 g/g 流入 NO<sub>3</sub>-N に設定した。

Table 2 Composition of artificial wastewater

	Substance	Concentration	
Nitrification	NH <sub>4</sub> Cl	12 ∼125 as N	
Nitrification	NaHCO <sub>3</sub>	50 ~500 as CaCO₃	
Denitrification	NaNO <sub>3</sub>	35 ~150 as N	
	KH <sub>2</sub> PO <sub>4</sub>	1 ~10 as P	
Nitrification and	MgSO <sub>4</sub> ·7H <sub>2</sub> O	$1 \sim 10 \text{ as Mg}$	
denitrification	CaCl <sub>2</sub> ·2H <sub>2</sub> O	1 ∼10 as Ca	
	FeCl <sub>3</sub> ·6H <sub>2</sub> O	0.2~ 2 as Fe	

# 3. 1. 2 実験原水

実験には**第2表**に示した組成の合成廃水を使用した。原水の $NH_4$ -N及び $NO_3$ -N濃度はそれぞれ実験目的により $12\sim125\,mg/L$ , $35\sim150\,mg/L$ の範囲で変化させた。

### 3. 1. 3 実験条件

実験条件の変更に当たっては除去率 90 % を目安とした。実験期間中の硝化及び脱窒槽の水温は 22~26 ℃であった。

### 3. 1. 4 計算式

滞留時間(HRT)及び容積負荷(LD<sub>v</sub>)の計算 は次式で示すように有効容積を基準とした。

$$HRT = \frac{V}{Qi/24}[hr] \qquad \qquad \cdots \cdots (1)$$

$$LD_V = \frac{Qi \times Ci \times 10^{-3}}{V} [kg/m^3 \cdot d] \qquad \quad \cdots \cdot (2)$$

V:硝化槽(脱窒槽)有効容積[L]

Qi: 原水流量 [L/d]

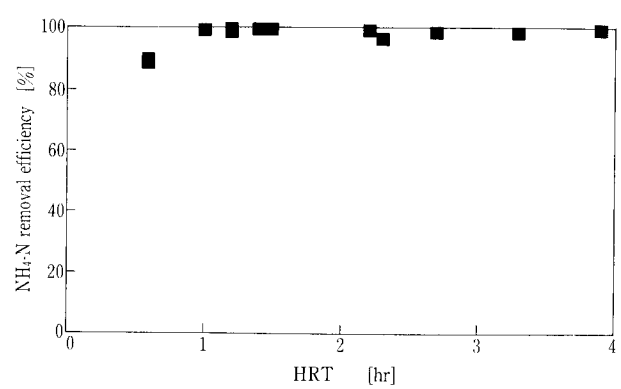
Ci:原水 NH<sub>4</sub>-N (NO<sub>x</sub>-N) 濃度 [mg/L] 注記) NO<sub>3</sub>-N と NO<sub>2</sub>-N の合計を NO<sub>x</sub>-Nと表示

### 3.2 結果及び考察

### 3. 2. 1 HRTの影響

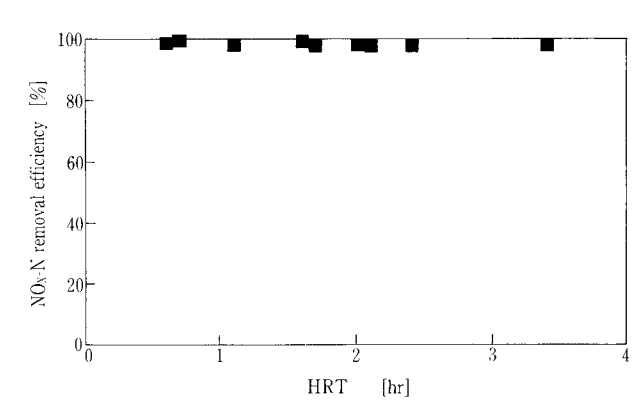
原水の  $NH_4$ -N,  $NO_3$ -N 濃度をそれぞれ  $13\sim25$  mg/L,  $35\sim50$ mg/L に固定し、HRT を段階的に 短縮した。

硝化及び脱窒処理における HRT と硝化率及び  $NO_x$ -N 除去率の関係を**第3**, 4 図に示す。硝化処理では HRT  $1\sim 4$  hr の範囲で概ね 98 % 以上の硝化率が得られ,HRT 0.5 hr においても約 90 % の硝化率が得られた。一方, 脱窒処理では HRT



第3図 硝化槽 HRT と硝化率の関係

Fig. 3 Influence of HRT on the NH<sub>4</sub>-N removal efficiency



第4図 脱窒槽 HRTと NOx-N 除去率の関係

Fig. 4 Influence of HRT on the NOx-N removal efficiency

 $0.5\sim3.5~hr$  の範囲で 98~% 以上の  $NO_x$ -N 除去率が得られた。本流動床式の硝化,脱窒処理では HRT が 0.5~hr以上であれば,HRT に影響されることなく 90~% 以上の高い除去効率が得られることが確認できた。

# 3. 2. 2 容積負荷の影響

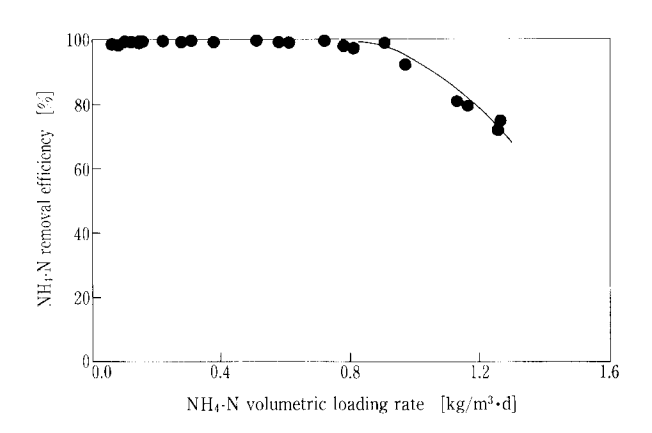
HRT をそれぞれ所定時間に固定し、原水 NH<sub>4</sub>-N 及び NO<sub>3</sub>-N 濃度をそれぞれ125 mg/L, 150 mg/L まで段階的に高めた。

硝化, 脱窒処理における容積負荷と硝化率及び NO<sub>x</sub>-N 除去率の関係を**第5**, 6 図に示す。硝化処理では NH<sub>4</sub>-N 容積負荷 0.9 kg/m³・d 以下で 98 % 以上の硝化率が得られた。NH<sub>4</sub>-N負荷と除去速度の関係で示すと**第7** 図のようになり、NH<sub>4</sub>-N 除去速度は 0.9 kg/m³・d で一定の値となる。これは NH<sub>4</sub>-N容積負荷 0.9 kg/m³・d 以下で処理した場合 98 %以上の硝化率が得られることを示している。

一方, 脱窒処理では**第6図**に示したように NO<sub>x</sub>-N 容積負荷 3.5 kg/m³·d の高い負荷でも 98 % 以上の NOx-N 除去率が得られている。脱窒については実 験を継続して限界負荷を確認中である。

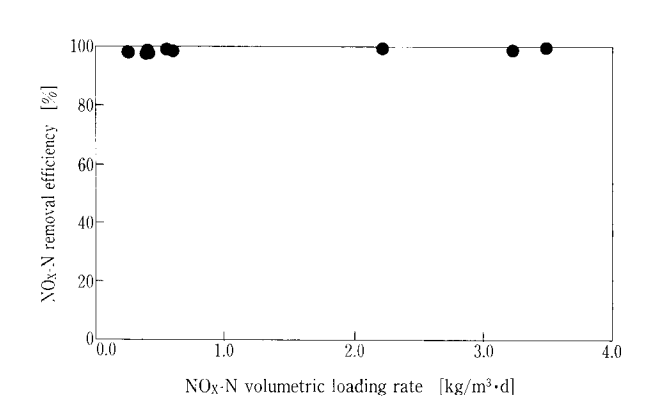
### 3. 2. 3 担体付着汚泥量

超音波洗浄器 (日本エマソン(株)ブランソニック 2210 DTH型, 47 kHz, 125 W) を用いて, 次の手 順で担体付着汚泥を剥離させ、剥離液の SS 濃度を 測定することによって担体付着汚泥量を求めた。こ こで、担体付着汚泥量は有効容積基準の保持 SS 濃



第5図 NH-N 負荷と硝化率の関係

Relation between NH<sub>4</sub>-N volumetric loading rate and NH4-N removal efficiency.



第6図 NOx-N 負荷と NOx-N 除去率の関係

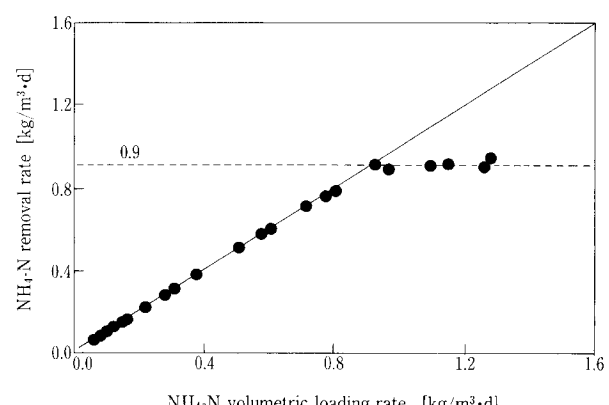
Relation between NOx-N volumetric loading rate and NOx-N removal efficiency.

度に換算して表した。

担体付着汚泥剥離手順は次のとおりである。

- a. 担体 20~50 ケを採取。(付着汚泥量により加 減)
- b. 100~120 mL のビーカーに担体を入れ、純水 50~100 mL及び専用洗剤 0.5~1 mL を注入 し洗浄器にセット。
- c. 温度を 50 ℃に保ち 30 分間超音波処理。(付 着量が多い場合は b,c の操作を 2 回行う)
- d. 洗浄後の汚泥剥離液の液量及び SS 濃度を測 定。

測定結果を第3表に示すが、硝化、脱窒ともに担 体付着汚泥量は容積負荷に比例して増加する傾向が 見られた。実験における最大負荷での付着汚泥量は 硝化槽で 992 mg/L,脱窒槽で 3 020mg/L であっ た。汚泥付着状況を写真2に示すが、大部分は内部 に付着しており、外周部は薄い生物膜であることが 判る。本実験では SS を含まない合成廃水を使用し ているため VSS/SS 比は約 0.95 と高く, 付着汚泥 のほとんどは菌体とみなすことができる。なお、槽 内の浮遊汚泥量は硝化, 脱窒ともに非常に少なく, いずれも 10 mg/L 以下であった。



NH<sub>4</sub>-N volumetric loading rate [kg/m<sup>3</sup>·d]

NH4-N 負荷と NH4-N 除去速度の関係 第7図 Relation between NH<sub>4</sub>-N volumetric loading Fig. 7 rate and NH<sub>4</sub>-N removal rate

第 3 表 担体付着汚泥量測定結果

Table 3 Amount of attached biomass on the carrier elements

	Nit	rification rea	Denitrification reactor		
N loading Item	0.61 kg/m³·d	0.97 kg/m³·d	1.27 kg/m³·d	0.50 kg/m³·d	3.48 kg/m³·d
Amount of attached biomass (mg/L	289	755	992	457	3 020
VSS/SS ratio (-	) 0.94	_	0.96		0.96
Activity of N reduction (kg/kg·c	1.48	1.18	1.02	1.07	1.15

<sup>\*</sup> N means NH₄-N for nitrification or NO<sub>x</sub>-N for denitrification

Table 4 Result of mesurement of the nitrifying bacterias

	Nitrate	bacteria	Nitrate	bacteria
NH₄-N loading	MPN/mL	MPN/mgSS	MPN/mL	MPN/mgSS
0.47 kg/m³·d	$4.9 \times 10^{5}$	$2.2 \times 10^{7}$	4.9×10 <sup>5</sup>	$2.2 \times 10^{7}$
0.54 kg/m³⋅d	3.3×10 <sup>5</sup>	8.7×10 <sup>6</sup>	$4.9 \times 10^{5}$	1.3×10 <sup>7</sup>

第5表 所要HRT (原水NH<sub>4</sub>-N=40mg/L) Table 5 HRT on the N removal process

HRT Temperature	Nitrification reactor hr	Denitrification reactor hr	Total hr
24 ℃	1.1	0.3	1.4
10 ℃	3.7	1.0	4.7

# 3. 2. 4 単位 SS 当たりの除去能力

硝化, 脱窒槽の単位 SS 当たりの NH<sub>4</sub>-N, NO<sub>x</sub>-N 除去能力を付着汚泥量測定結果と連続処理における 容積負荷及び除去率から求めた。

硝化槽の単位 SS 当たりの NH4-N 除去能力は第3表に示したように平均1.22 kg/kg·d の範囲で、脱窒槽のNO3-N 除去能力は平均1.11 kg/kg·d であった。合成排水を使用したときの20℃におけるNH4-N, NOx-N 除去能力はそれぞれ0.25,0.31 kg/kg VSS·d であったとの報告例があるが、実験結果はこれらの値と比較すると3~4倍高いことになる。本装置では担体が激しく流動しているため、担体に付着した生物膜は過剰に肥大することなく一定の厚みが維持され、基質や酸素の拡散速度が大きいこと、及び常に世代更新された活性の高い菌体が保持されることが高い除去能力が得られる要因と推測される。

前述の推論を硝化槽内の硝化細菌数から検討した。 硝化細菌数は担体 50 ケを超音波処理し、汚泥剥離液を MPN 法により測定した。測定結果を**第4表**に示すが、亜硝酸菌(アンモニア酸化細菌)は 3.3~4.9×10<sup>5</sup> MPN/mL、硝酸菌(亜硝酸酸化細菌)は 4.9×10<sup>5</sup> MPN/mLであった。これらの値は SS 量当たりに換算して表すと 0.87~2.2×10<sup>7</sup> MPN/mgとなる。

硝化促進運転を行っている下水処理場の活性汚泥混合液中の硝化細菌は $1\times10^7\sim10^8$  MPN/mL で存在する場合が多いと言われている $^3$ 。 活性汚泥のMLSS 濃度は通常  $2\,000\sim3\,000$  mg/LであるためSS 当たりにすると $4\times10^6\sim10^7$  MPN/mg となり、本法の付

着細菌の活性度が高いことを示唆している。

# 3.3 硝化・脱窒プロセスの所要 HRT の検討

ベンチ実験結果を基に、無機性のアンモニア含有 廃水を対象とした硝化・脱窒プロセスにおける所要 滞留時間を求めた。原水  $NH_4$ -N 濃度は下水と同 程度の 40 mg/L として、後述のヨーロッパでの実 績値と比較した。計算に当たっては  $NH_4$ -N 及び  $NO_x$ -N 除去速度を各々 0.9,  $3.5 \text{ kg/m}^3 \cdot d$  とし、温 度換算は(3)式により行った。

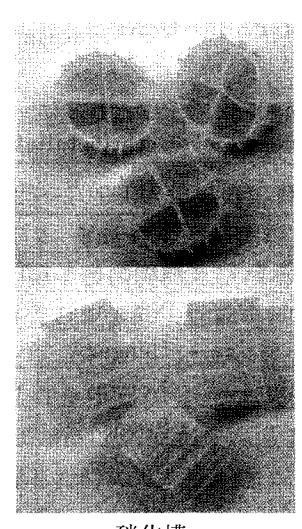
$$\mathbf{K}_2 = \mathbf{K}_1 \cdot \boldsymbol{\theta}^{(\mathbf{T}_2 - \mathbf{T}_1)} \qquad \qquad \cdots \cdot (3)$$

ここで,

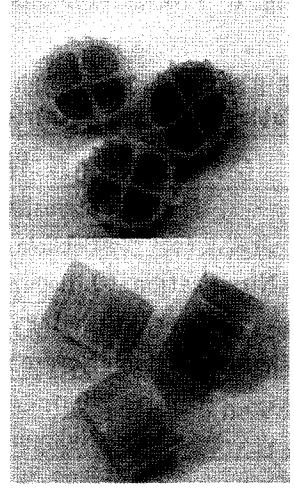
 $K_1$ ,  $K_2$ :  $T_1$ ,  $T_2$  での  $NH_4$ -N( $NO_x$ -N)除去速度 [ $kg/m^3 \cdot d$ ]

T<sub>1</sub>, T<sub>2</sub>: 硝化槽(脱窒槽)の水温 [℃] θ: 温度係数 [-](=1.09)

硝化, 脱窒を合わせた反応槽の HRT は**第 5 表**に示したように温度  $24 \, \mathbb{C}$  のとき  $1.4 \, \mathrm{hr}$ ,  $10 \, \mathbb{C}$  のとき  $4.7 \, \mathrm{hr}$  となる。 $10 \, \mathbb{C}$  の HRT はヨーロッパでの実



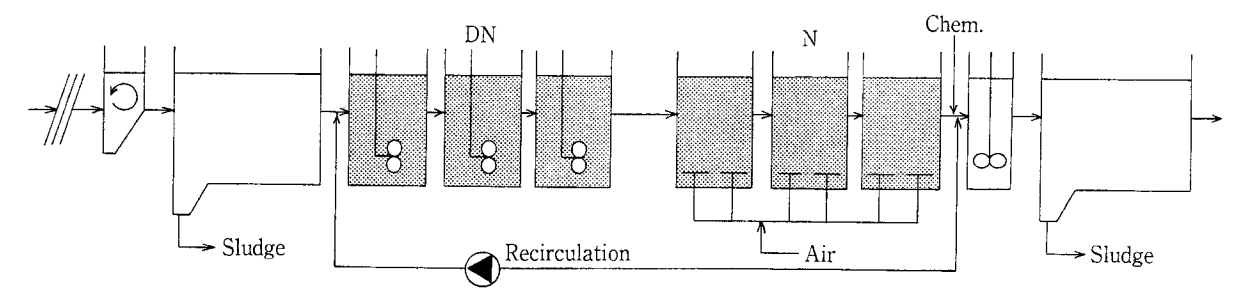
硝化槽 Nitrification reactor



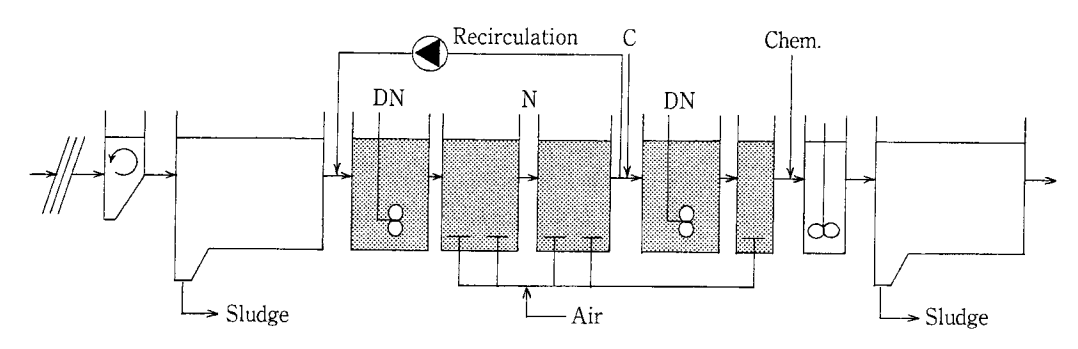
脱窒槽 Denitrification reactor

写 真 2 生物膜付着状況

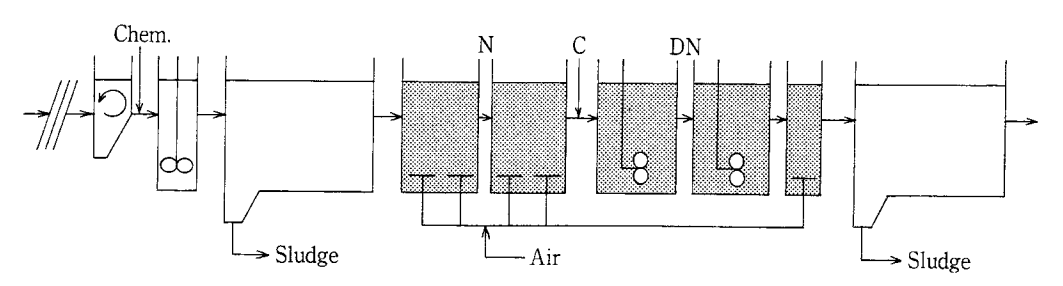
Photo. 2 Biofilm formed on carrier elements



a. Pre-denitrification of primary effluent



b. Combined pre- and post-denitrification of primary effluent



c. Post-denitrification of pre- precipitated wastewater

N : Nitrification reactor

C: Carbon source

DN: Denitrification reactor

第8図 PABIO DENI 窒素除去プロセス例

Fig. 8 Process examples of PABIO DENI

第6表 海外でのPABIO DENIの実績(下水処理)

Table 6 Records of performance overseas installation(Wastewater treatment)

	Plant	Place	Year of completation	Size P.E.	Reactor Volume m <sup>3</sup>	Type of process*
	Steinsholt	Norway	1990	625	50	a
	Bekkelaget	Oslo	Test line 1992-93	15 000	595	С
Nitrification	Nitrification Lillehammer		1994	70 000	3 840	b
and	Dejtar	Hungary	1995	3 000	206	a
Denitrification	Nordre Follo	Norway	1997	40 000	3 700	С
	Bjuv	Sweden	1997	16 000	171	С
	Nykoping	Sweden	1998	70 000	3 660	a
	Bury St.Edmonds	UK	1995	40 000	500	Nitrification
Nitrification	Braintree STW	UK	1998	28 000	2 360	Nitrification
	Great Dunmow STW	UK	1998	8 000	650	Nitrification

<sup>\*</sup> Type of processes show in Figure 8 P.E.means "population equivalents"

第7表 実機及びパイロット実験における運転条件及びT-N除去性能

Table 7 Operating conditions and removal capacity of T-N at Full-scale or Pilot running

			Guadalix (Spain)	Bekkelaget (Norway)	Bekkelaget (Norway)
Process			a	b	c
Full-or Pilot-scale			Pilot	Pilot	Full
Nitrification and Denit	rification HRT	(hr)	6	3.5-4	2.5-3
Addition from external	carbon source CO	0	2.9	4.7	
Recirculation ratio		(%)	400	50-150	0
Water temperature		(℃)	15-20	7-18	7-18
	BOD	(mg/L)	185	(99.4)*	58
	COD <sub>Cr</sub>	(mg/L)	297	159	191
	SS	(mg/L)	74	53	98
Westernston	T-N	(mg/L)	35	24	28
Wastewater	NH4-N	(mg/L)	27	19	21
	T-P	(mg/L)	7.8	2	1.7
	COD <sub>cr</sub> /T-N	(-)	8.5	6.6	6.8
	BOD/T-N	(-)	5.3	(4.1)*	2.1
T-N removal efficiency		(%)	75	>80	>85

<sup>\*</sup>Calculated as "CODcr=1.6 BOD"

第8表 Lillehammer WWTP主要データ Table 8 Key data for the Lillehammer WWTP.

Design flows:	-Dry weather	26 000 m³/d	Details for one biological train:				
Duimour, sottilian.	-Max. wet weather	43 000 m³/d	Reactor	Empty bed volume	Mode*		
Primary settling:	-Total surface area	600 m²	1	180 m <sup>3</sup>	AN/AE		
Maning Dad Director Days to	-Water depth	2.5 m	2	180 m <sup>3</sup>	AN/AE		
Moving Bed Biofilm Reactors:	-Total empty bed volume	3 840 m <sup>3</sup>	$\begin{bmatrix} 3 \\ 4 \end{bmatrix}$	180 m <sup>3</sup> 380 m <sup>3</sup>	AN/AE AE		
	-Specific biofilm surface area	$325 \text{ m}^2/\text{m}^3$	5	380 m <sup>3</sup>	AE AE		
	-Water depth	5.5 m	6	176 m³	AN/AE		
Flocculation (4 reactors in series):	-Total volume	$600~\mathrm{m}^3$	7	176 m³	AN/AE		
Secondary settling:	-Total surface area	$860 \text{ m}^2$	8 9	$176 \text{ m}^3$ $92 \text{ m}^3$	AN		
	-Water depth	3.5 m	Total	1 920 m <sup>3</sup>	AE		

<sup>\*</sup>AE=aerobic reactor, AN/AE=reactor can be either anoxic or aerobic.

績値とほぼ同じであり、低水温時でも短い HRT で処理可能なことが確認できた。

# 4. 海外における事例紹介4)

PABIO MOVER プロセスは、国内ではまだ BOD 除去の実績であるが、海外においては BOD 除去のみならず窒素除去についても多くの実績がある。ここでは、パイロット実験を含めた海外における PABIO DENI について処理性能等を紹介する。

# 4. 1 処理プロセス

第8図に PABIO DENI を示す。プロセスには 大きく分けて循環式脱窒処理(第8図a),2段式循 環脱窒処理(第8図b),直列式硝化脱窒処理(第8 図c)がある。流入原水の水質及び目標とする処理 水質によってこれらのプロセスが使い分けられる。 第6表に実績を示すが、上記  $a \sim c$  のプロセス の他に硝化処理単独への適用を含めて、処理人口  $625 \sim 70000$ 人規模の処理場に適用されている。

# 4.2 処理性能及び実機実績

第7表に実機及びパイロット実験における運転条件及び窒素除去性能を示す。

プロセス a はスペイン Guadalix で行われたパイロットテストであるが、T-N 35 mg/L,  $COD_{cr}$  297 mg/Lの廃水を水温  $15\sim 20$   $\mathbb{C}$ 、 HRT 6 hrで処理した時の T-N 除去率は 75% であった。プロセス b はノルウェー Bekkelaget で行われたパイロットテストで、T-N 24 mg/L、 $COD_{cr}$  159 mg/L の廃水を水温  $7\sim 18$   $\mathbb{C}$ 、 HRT  $3.5\sim 4$  hr で処理したときの T-N 除去率は 80%以上であった。プロセス b

Table 9 Removal of inorganic N

	Flow	Water temp.	Inorganic N						
	(m³/d)	(℃)	Infl.(mg/L)	Effl.(mg/L)	% removal				
Average	7 900	6.3	17.2	3.1	82				
Minimum	7 600	6	16.1	2.2	74.5				
Maximum	8 300	6.5	17.7	4.1	87.6				

は a より廃水の T-N, COD $_{\rm cr}$  濃度が低いため、 a より短い HRT で処理ができると考えられる。プロセス c はノルウェー Bekkelaget での実機運転実績であるが T-N 28 mg/L, COD $_{\rm cr}$  191 mg/L の廃水を水温  $7\sim18$   $^{\circ}$ C, HRT  $2.5\sim3$  hr で処理した時の T-N 除去率は 85 % 以上であった。上記に示したようにプロセスの HRT は廃水のT-N, COD $_{\rm cr}$  濃度により変化するが低水温期でも 6 hr 以下で処理可能である。

### 4. 3 Lillehammer のプロセス

Lillehammer のプロセスを例として、PABIO DENI の設備、仕様、処理性能の詳細を紹介する。

### 4.3.1 処理フロー

Lillehammer の処理フローは第8図のプロセスbに相当し、第1脱窒槽3槽:  $(R1\sim R3)$ 、硝化槽2槽:  $(R4\sim R5)$ 、第2脱窒槽3槽:  $(R6\sim R8)$ 、再曝気槽1槽: (R9)、の構成からなっている。第8表に設備の主要データを示すが、第1脱窒槽の3槽目と第2脱窒槽の前2槽は好気槽としても利用できるように散気装置を設置しており、プロセスaやcにも変更が可能である。なお、水素供与体は第2脱窒槽に各々供給できるようになっており、苛性ソーダ等の中和剤は使用していない。

# 4. 3. 2 処理結果

実際の運転に当たっては、R1,R2を第1脱窒槽、 $R3\sim R5$ を硝化槽として使用し、R6を溶存酸素 (DO)を減少させるための無酸素槽、R7,R8を第2脱窒槽、R9を再曝気槽として使用された。なお、硝化液は R6 から R1 へ返送され、水素供与体(エタノール)は R7 に投入されている。 R6を無酸素

槽にすることによりエタノール添加量を低減できる 工夫がなされている。

この処理フローでの T-N の処理水質を**第9表**に示す。平均水温が 6.3  $\mathbb{C}$  と低いながらも無機性窒素の除去率は平均で 82 % であり、最小でも 74.5 % と処理は良好に行われている。

### むすび

今回、ベンチスケール実験結果及び海外の実績例により、PABIO DENIの処理性能を紹介したが、従来の方法に比べて優れていることが示された。現在、各種廃水に対応したプロセスを確立すべく実験継続中であるが、下水道分野への適用についても実証試験を計画中で、この詳細については次回報告したい。

PABIO DENI は担体付着微生物による処理を行うため、返送汚泥が不要で運転管理が容易である。 また本法は短い滞留時間で窒素除去が可能であることから、廃水処理設備のための敷地に余裕のない日本では非常に有用であると考える。

### [参考文献]

- 1) 川島ら:神鋼パンテツク技報, Vol. No.1 (1997) p.18
- 2) 関土木研究センター建設省総合技術開発プロジェクト:バイオテクノロジーを活用した新排水処理システムの開発報告書(下水道編),(平成3年2月)p.634
- 3) 下水試験方法 上巻 (1997年度版, p.609)
- 4) Rusten. B.; Silludalen, J. G. and Bungum, S.: Moving Bed Biofilm Reactors and for Nitrogen Removal-From Initial Pilot Testing to Start-Up of the Lillehammer WWTP.

Proceedings, WEFTEC' 95, Miami Beach Florida, Oct. 21-25, 1995, Vol 1, p. 615-626

### 連絡先

镁	野	晋	環境装置事業部	野	中	信	_	環境装置事業部
			製品開発室					製品開発室
								担当課長
		ТЕ	L 078 - 992 - 6532				ТЕ	L 078 - 992 - 6532
		FΑ	X 078 - 992 - 6503				FΑ	X 078 - 992 - 6503
	E-mai	il s.kuma	ano@pantec. co.jp		E-r	nail	s.nona	aka@pantec. co.jp

# 連続ろ過装置「KONTIRAD」の実証実験

Demonstration Test for Continuous Sand Filter [KONTIRAD]





(環)製品開発室 加 治 正 Masahiro kaji 近 藤 展 Nobuo Kondo

廣生

ろ過装置は水処理の基本技術で古くより使われているが、現在でも多くの技術改良が行われており、改良技術の製品化も活発になされている。当社では省スペースで大容量処理が可能などの特長をもつ連続式ろ過装置 [KONTIRAD] の商品化を行うと共に、ろ過面積3 m²のパイロットプラントを用いて、活性汚泥処理水、加圧浮上処理水、工業用水を対象に実証実験も行っている。本報では最近の実証実験結果を報告する。

Filtration has been applied to water treatment as a basic technology. Various improvements have been added until now and many improved systems are commercially available. A space-saving and continuous filtration unit, KONTIRAD, has been commercialized by Shinko Pantec. On the other hand, demonstration tests have been conducted with a pilot unit of  $3\,\mathrm{m}^2$  filtration area for respective effluents from activated sludge and pressurized flotation treatments, and industrial water. This paper describes recent results tested using the pilot unit.

# Key Words:

砂	ろ	過	Sand Filtration
水	平	流	Horizontal Flow
移	動	床	Moving Bed
連	続	5 過	Continuous Filtration
活性	生汚 泥 タ	処理水	Activated Sludge Effluent
加圧	三浮上 如	処理水	Flotation Effluent
エ	業	用 水	Industrial Water

### まえがき

ろ過装置は水処理の基本的な単位操作で、古くより使用されているが、現在でもろ材洗浄方法の改善や新ろ材の採用等を初めとして数多くの技術的な改良が加えられ、商品化されている。当社では移動床による連続ろ過が可能な画期的なろ過装置「KONTIRAD」の製造販売を行っている。このろ過装置は、ろ過、洗浄の切り替えがない連続ろ過機

能により、逆洗設備が不要で装置構成が非常にシンプルであるという特長を持っている。さらに、ろ層内の水の流れが従来の下向流や上向流ではなく水平方向のため、ろ過面積はろ層の高さで決まり、設置面積を同じくしたまま槽高を高くすることで、ろ過面積を大きくできる。このため設置面積当たりの処理量が非常に多くとれ省スペースであるという特長も持っている。

筆者らは本ろ過装置のパイロットプラントを用いて各種の廃水や用水に対しての実証実験を行っている。最近,活性汚泥処理水,加圧浮上処理水,工業用水(貯水池貯留水)に対する実験を実施したが,本報ではこれらより得られた処理性能,処理能力等の概要を報告する。

# 1. 「KONTIRAD」の概要

# 1.1 基本原理の概要

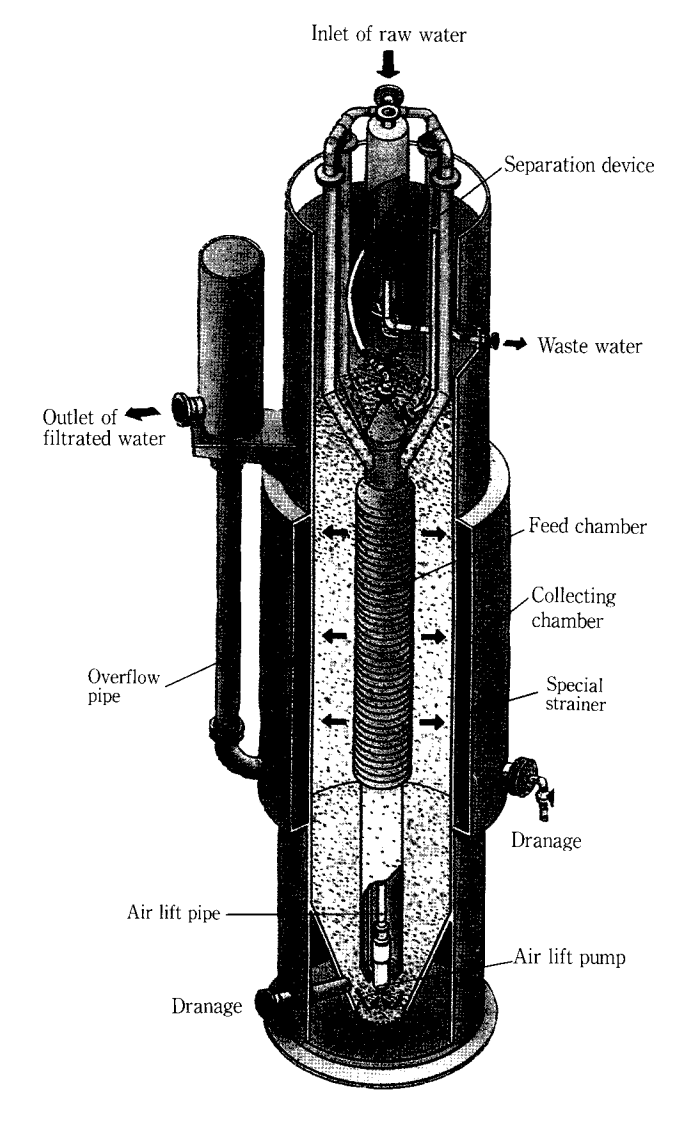
「KONTIRAD」はろ過と洗浄が同時並行的に行える連続ろ過装置である。

ろ過工程では、原水はろ過槽上部の原水流入管を通じてろ過槽中央部のフィードチャンバーに供給される。供給された原水はここでろ層に均等に分配され、円周方向に向かって水平に放射状に流れる。このようなろ過方式は原理的に SS の抑留深度が適度に大きく、ろ層全体を有効に利用でき<sup>1)</sup>、結果とし

て大きな SS 捕捉量を確保することができる。こうしてろ過された原水は特殊なストレーナを経て外周部に設置された集水室に集められ、水位調整用のオーバーフロー管を通り、処理水として流出する。

一方、洗浄は次の工程でろ過と並行して行われる。 清澄なろ材はろ層内を上部から下部に連続的に移動 するが、ろ過の継続により大量の SS を捕捉したろ 材はろ層下部に設置されたエアリフトポンプにより エアリフト管内を上昇する。この上昇時にエアと水 による強力なかく拌力でろ材に付着した SS が剥離 され、その後ろ過装置上部に設置された分離器でろ 材と SS が分離され、清澄となったろ材はろ層上部 に環流する。

ろ材と分離された SS は洗浄排水として連続的に分離器より系外に流出する。一般的に排水量は原水量の 2 %である。



第1図 「KONTIRAD」の概要 Fig. 1 Outline of "KONTIRAD"

本ろ過装置の概要を**第1図**に示す。なお,基本原理及び次項の特長に関する詳細については既報<sup>2)</sup>を参照願いたい。

### 1.2 特 長

「KONTIRAD」は次のような特長を持っている。

- 1)連続ろ過方式
- 2) 省スペース, 大容量処理が可能
- 3) 高濃度 SS 含有廃水の処理が可能 (ろ層内の流れが水平方向)
- 4) ろ過・逆洗操作の切り替えが無く装置が簡単で 設備費が安価
- 5) 安定した処理水質
- 6) 運転操作が簡単で維持管理が容易
- 7)洗浄排水量は原水量の2%であり回収率が高い

# 2. 実験装置及び方法

### 2. 1 実験装置

実験装置の概略仕様を**第1表**に示す。表に示すように、今回の実験装置はろ過面積 $3 \text{ m}^2$ 、ろ過槽外径1.7 m、ろ過槽高さ5 mのパイロットプラントを用いた。このパイロットプラントは標準化された実装置のうちの最小規模のものである。

第1表 パイロットプラントの仕様 Table 1 Specification of Pilot plant

Item	Specific	ation —
Standard flow rate (Max.)	15 (30)	m³/hr
Standard horizontal LV (Max.)	5 (10)	m/hr
Normal head loss (Max.)	1 (1.5)	m
Height of filter tank	5	m
O.D. of filter tank	1.7	т $\phi$
Total filter area	3	$m^2$
Flow rate of waste water (Max.)	1 (1.5)	m³/hr
Operating weight	6.5	tons
Total compressed air volume	4.5	Nm³/hr
Required electricity	1.5	kWh

### 2. 2 使用原水

本ろ過装置は幅広い水処理分野に適用可能であるが、今回は次の3種類の原水を使用した。

1)活性汚泥処理水 製紙工場から排出される廃水の活性汚泥二次 処理水である。

2) 加圧浮上処理水 製紙工場からの抄紙工程より排出される廃水 (白水) の加圧浮上処理水で,繊維状の SS が大半を占める。

3) 工業用水 製紙工場で使用される工程水用として貯水池 に貯留されている工業用水である。

# 2.3 使用ろ材

ろ材は砂を使用した。使用した砂の仕様を**第2表**に示す。ろ砂の有効径は0.58 mm, 均等係数は1.52であり,活性汚泥処理水,加圧浮上処理水,工業用水すべてに使用した。

# 2. 4 実験方法

### 1)活性汚泥処理水

ブロックフローを**第2図**に示す。活性汚泥処理の 沈殿池から流出する二次処理水を水中ポンプで取水, 直接ろ過装置に供給し,凝集剤は添加せず無薬注で 処理を行った。原水量はろ過装置入口に設置した流 量計で測定し,洗浄排水量はタンクに受け計量した。

### 2)加圧浮上処理水

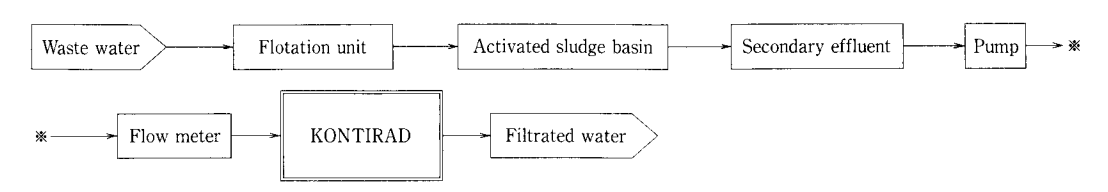
ブロックフローを**第3図**に示す。抄紙廃水を加圧 浮上処理した処理水を直接水中ポンプでろ過装置に 送水した。原水量,洗浄排水量は前述と同様の方法 で測定した。この場合も無薬注で処理を行った。

# 3) 工業用水

工業用水の場合のブロックフローを**第4図**に示す。 工場内の貯水池に貯留された工業用水を水中ポンプ で直接ろ過装置に供給した。なお、本貯水池には工 場内で一度使用された比較的清澄な廃水(前処理後)

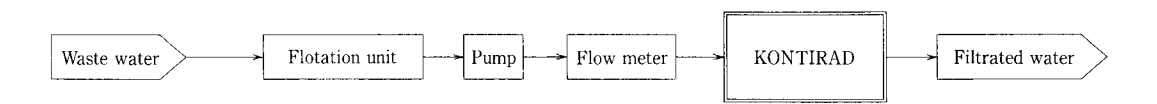
第2表 ろ材の仕様 Table 2 Specification of sand

Elapsed time [Days]	Effective size [mm]	60 % passed size [mm]	Uniformity coe.	Min. size ( < 0.42 mm)	Washing turbidity [degree]	Remark
0	0.58	0.88	1.52	0.11	3.9	At start
97	0.58	0.88	1.52	0.09	_	
219	0.58	0.88	1.40	0.00	8.1	End of experiment



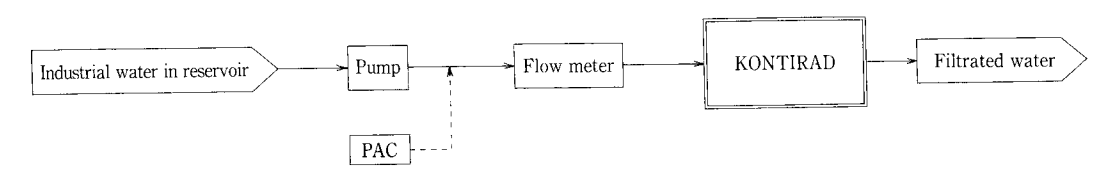
第2図 活性汚泥処理水のブロックフロー

Fig. 2 Block flow for activated sludge effluent



第3図 加圧浮上処理水のブロックフロー

Fig. 3 Block flow for flotation effluent



第4図 工業用水のブロックフロー

Fig. 4 Block flow for industrial water

の一部も流入している。原水量、洗浄排水量の測定は前述と同様である。ここで、実験に当たっては無薬注の場合と PAC 注入率を  $5\sim30~\text{mg/L}$  の間で変化させた場合の 2~f ケースについて実施した。

### 2. 5 分析項目

分析項目は活性汚泥処理水,加圧浮上処理水についてはSS を,工業用水については濁度とし,それぞれJIS K 0102及びJIS K 0101に準じて測定した。

# 3. 実証実験結果

# 3. 1 活性汚泥処理水

活性汚泥処理水に対しては通水量を15, 25, 30,  $35 \,\mathrm{m}^3/\mathrm{hr}$  (ろ過速度は5.0, 8.3, 10.0,  $11.7 \,\mathrm{m/hr}$ ) と変化させて実験を行った。実験結果を**第3表**及び**第5**図に示す。

### 1)原水水質

第3表に示すように、原水 SS は $10\sim26\ mg/L$  (各設定通水量毎の平均 SS は14, 18, 16,  $18\ mg/L$ ) の間にあり、通常の活性汚泥処理と同程度で比較的安定していた。

### 2) 処理水質

各通水量毎の処理水平均 SS は4.5~8.1 mg/L と

すべて10 mg/L以下と良好な処理状態を維持していた。特に,通水量15 m³/hr(ろ過速度は 5 m/hr)では第 3 表に示すように最大で 5 mg/L,最小で4 mg/L と低濃度で,変動もなく非常に良好な処理状態になっていた。ただ,通水量が大きくなると第 5 図にも示すように処理水 SS も若干づつではあるが増加する傾向にあった。第 5 図には平均除去率も示している。除去率は25 m³/hr までは60 %以上になっている。 30 m³/hr 以上になると55 %~52 % とわずかに低下していた。

一方,ろ過槽内の損失水頭は通水量 $30 \text{ m}^3/\text{hr}$  迄は標準の損失水頭である1 m以下となっていたが, $35 \text{ m}^3/\text{hr}$  になると $1.2 \sim 1.4 \text{ m}$  と許容限界の1.5 mに近づき,本パイロットプラントでの処理限界に達した。

これらより、20 mg/L前後のSSを含有する活性 汚泥処理水の場合は通水量 $35 \text{ m}^3/\text{hr}$ (ろ過速度で11.3 m/hr)が処理限界であり、良好な処理状態を 維持するためには通水量を $30 \text{ m}^3/\text{hr}$ (ろ過速度で10 m/hr)以下にする必要があるといえる。

# 3) 洗浄排水

洗浄排水量は1.5 m³/hrに設定したが, 洗浄排水

Table 3 Water quality for activated sludge effluent

Flow rate	(m³/hr)	15		25			30			35			
	\III / III /	Max.	Min.	Ave.									
SS in raw water	(mg/L)	16	10	14	26	11	18	19	12	16	25	11	18
SS in filtrated water	(mg/L)	5	4	4.5	10	3	6.1	11	6	7.3	12	5	8.1
Removal ratio	(%)	71.4	50.4	65.5	86.4	43.6	66.9	67.0	43.0	55	58.7	38.9	52.4
Average of SS in waste	water $(mg/L)$	188	79	112	248	72	143	186	140	163	398	105	228

中の平均 SS は**第3表**に示すように112~228 mg/L であり、通水量が増加するほど高くなる傾向を示していた。排水中の濃度が高くなったのは通水量を増加させたのに対し、洗浄排水量を固定していたことによると考えられる。

### 3.2 加圧浮上処理水

加圧浮上処理水に対しては通水量を10, 15, 20, 26 m³/hr (ろ過速度は3.3, 5.0, 6.7, 8.7 m/hr) として実験を行った。実験結果を第4表及び第6図に示す。

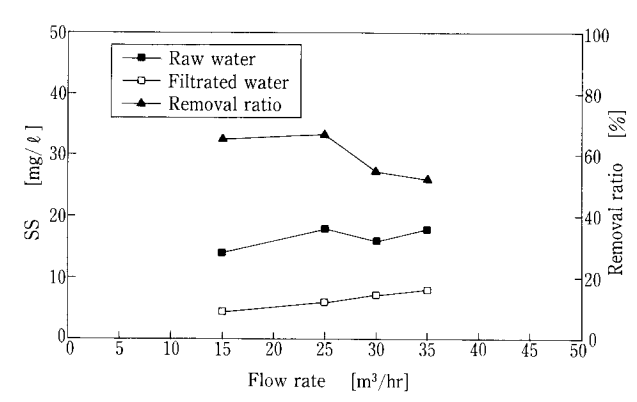
# 1) 原水水質

原水 SS は第 4 表に示すように、平均的には $10\sim15\,\mathrm{mg/L}$  の範囲にあるが、実験期間中の最大は $53\,\mathrm{mg/L}$  、最小は $2\,\mathrm{mg/L}$  と変動幅は大きなものとなっている。第 7 図には原水水質の経時変化を示している。原水 SS の大半は $20\,\mathrm{mg/L}$  以下と低い値であるが、 $30\,\mathrm{mg/L}$  以上と急激に高くなる場合も見られる。

### 2) 処理水質

各通水量毎の処理水平均 SS は4.0, 2.6, 2.7, 5.1 mg/L と通水量によらず良好な状態を維持している。さらに, 第4表及び第7図に示すように実験期間中の最大値が9 mg/L, 最小値は1 mg/L と原水の大きな変動に対しても安定した水質が得られている。通水量によらず良好で,安定な処理水質が得られるのは実験対象の原水が白水の加圧浮上処理水であり,含まれる SS の大半がパルプに起因する繊維状物質のみで,他の SS 成分はほとんど含まれないためと考えられる。これは加圧浮上処理が良好なときの処理水 SS, すなわち本実験での原水 SS が10 mg/L 以下となっていることよりも推察される。

除去率については通水量との明確な関係は見られず,53.9~70.5%となっている。また,実験期間中の除去率は大きく変動しているが,これは原水水質の変動が大きいのに対して処理水質が安定していたことによる。



第5図 平均水質と除去率 (活性汚泥処理水)

Fig. 5 Average water quality and removal ratio (Activated sludge effluent)

一方, ろ過槽内の損失水頭は $15\,\mathrm{m}^3/\mathrm{hr}$  までは原水 SS が $50\,\mathrm{mg/L}$  以上と大きく変動しても $0.4\,\mathrm{m}$  以下と安定していた。 $20\,\mathrm{m}^3/\mathrm{hr}$  以上の場合は $0.6\sim1.4\,\mathrm{m}$ と急上昇し,原水 SS が短時間で急激に高くなると,さらにこれを上回り許容範囲の $1.5\,\mathrm{m}$ を超え処理限界に達した。

これらのことより、加圧浮上処理水を処理対象とする場合の本パイロットプラントでの処理限界は15 m³/hr といえる。処理限界が活性汚泥処理水の場合よりも低下するのはSSの形状や性状(繊維状でかつ凝集しやすい)に起因すると考えられる。

# 3)洗浄排水

洗浄排水量は $1\sim1.5~{\rm m}^3/{\rm hr}$  に設定したが、洗浄排水中の平均 SS は $118\sim165~{\rm mg/L}$  で通水量との明確な関係は見られなかった。各設定毎のデータは**第 4表**に併せて示している。

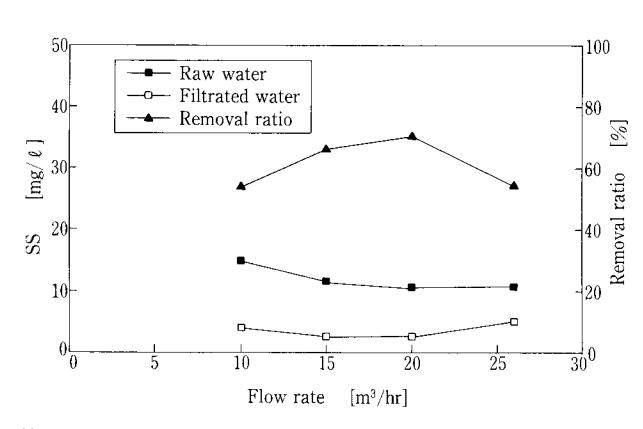
### 3.3 工業用水

### 1)原水水質

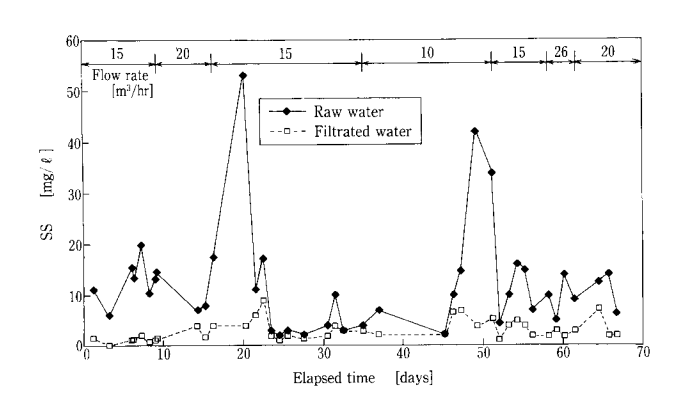
原水濁度の経時変化を第8図に示す。原水濁度は 最大で2.2度,最小で0.8度であり,平均は1.2度と変動も少なく非常に低濁度であった。これは実験を冬季に行ったため,藻類等の発生がなく,原水の汚濁

Table 4 Water quality for flotation eflluent

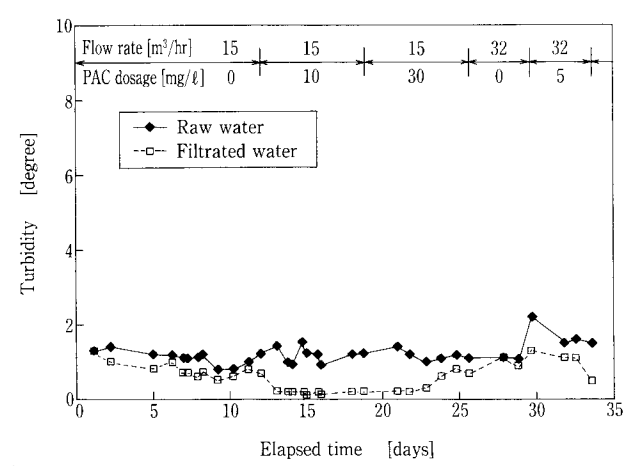
Flow rate	$(m^3/hr)$	10			15			20			26		
Tiow rate	(111 / 111 /	Max.	Min.	Ave.									
SS in raw water	(mg/L)	42	2	14.8	53	2	11.5	17	7	10.5	13	9	10.8
SS in filtrated water	(mg/L)	7	1	4.0	9	1	2.6	4	2	2.7	7	3	5.1
Removal ratio	(%)	90.5	4.3	53.9	96.7	0.0	66.4	85.7	42.9	70.5	66.7	42.4	54.5
Average of SS in waste	water (mg/L)	379	41	165	271	24	119	153	71	118	181	118	150



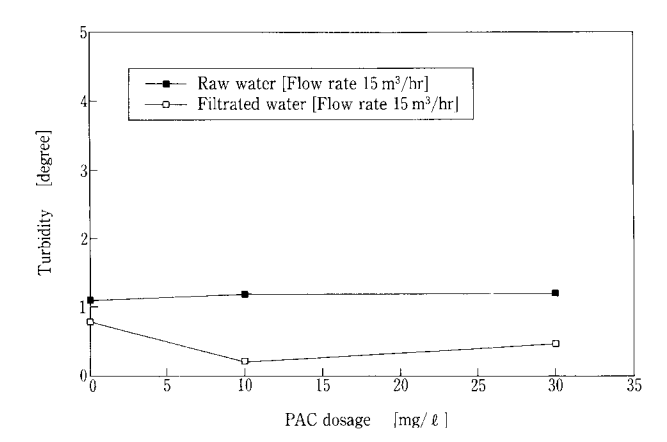
第6図 平均水質と除去率(加圧浮上処理水)
Fig. 6 Average water quality and removal ratio
(Flotation effluent)



第7図 原水と処理水質の経時変化(加圧浮上処理水) Fig. 7 Change with time elapsed for raw and filtrated water (Flotation effluent)



第8図 原水と処理水質の経時変化(工業用水) Fig. 8 Change with time elapsed for raw and filtrated water (Industrial water)



第9図 PAC注入率と濁度の関係
Fig. 9 Relationship between PAC dosage and turbidity (Industrial water)

が少なかったためである。

# 2) 処理水質

第8図に処理水濁度の経時変化を併記している。 処理水濁度は原水濁度が非常に低いにも関わらず, 通水量15 m³/hr(ろ過速度は5 m/hr),無薬注の場 合で0.3度程度除去されている。PAC を10 mg/L 注 入した場合の処理水濁度は0.2度と原水に比べ1度 低下,除去率にして80 %以上除去されていた。 第9図にはPAC注入率と原水,処理水質の関係を示しているが,前述したように通水量 $15\,\mathrm{m}^3/\mathrm{hr}$ の場合は適切なPACの注入を行えば非常に効果的であることがわかる。なお,ろ過槽内の損失水頭は通水量 $15\,\mathrm{m}^3/\mathrm{hr}$ の場合は常時 $0.4\,\mathrm{m}$ 前後で安定していた。 $32\,\mathrm{m}^3/\mathrm{hr}$ の場合は $1.4\,\mathrm{m}$ 前後で安定していたが,許容限界近くとなった。洗浄排水の濁度は $1\,\mathrm{g}$ から $70\,\mathrm{g}$ の間で変化していた。

これらにより、原水濁度が低い本実験範囲では、 良好な処理水質を保つには通水量を15 m³/hr, すな わちろ過速度を 5 m/hr 程度に、また適切な PAC 注入量を確保する必要があると考えられる。

### 3.4 ろ材状況

ろ材として砂を使用したが、連続使用97日後及び219日後の砂の粒径分布を**第2表**に併せて示す。表に示すように、ろ砂の有効径、均等係数等は一定に維持され変化しておらず、エアリフトの激しい混合を利用した洗浄によるろ砂の細分化は起こっていない。洗浄濁度に関しては219日後も8.1度と水道基準の30度以下に保持されており、ろ材は良好な状態を維持していた。

ただ、0.4 mm以下の非常に微細なものは少なくなる傾向にあった。新砂の完全な分級は実際上困難であることから、ごく一部の0.4 mm以下の微細な砂は運転開始当初に流出する可能性があるといえる。なお、本パイロットプラントで使用可能な砂は粒径0.7 mm以上、2 mm以下であり、流出した砂は仕

様の範囲外のものであった。

### むすび

以上,連続ろ過装置「KONTIRAD」のパイロットプラントによる実証実験のまとめを行い,活性汚泥処理水,加圧浮上処理水,工業用水についてそれぞれ処理性能,処理能力の概要を報告したが,本報告が読者諸氏に役立てば幸いである。

ろ過技術は水処理の基本技術であり、廃水処理の 高度化や処理水の再利用等で今後も重要な技術であ り続けると考えられる。省スペース、大容量処理、 低コストを具現化した、本連続ろ過装置が多方面の 水処理分野のニーズに応えられると信じている。

最後に、本実証実験を実施するに当たり、種々の ご尽力・ご協力を頂いた愛媛製紙(株)のご関係者に 深謝いたします。

#### [参考文献]

- 1)藤田賢二編著:急速濾過·生物濾過·膜濾過,(1994), 技報堂出版
- 2) 加治ら:神鋼パンテツク技報, Vol. 40, No. 2 (1997) P. 41

#### 連絡先

加	治	正	廣	環境装置事業部
				製品開発室

表而囲光室 担当課長

TEL 078 - 992 - 6532 FAX 078 - 992 - 6503

E-mail m.kaji@ pantec. co.jp

近 藤 展 生 環境装置事業部 製品開発室

> TEL 078 - 992 - 6532 FAX 078 - 992 - 6503

# 逆浸透膜による浸出水の 高度処理実験報告(その2)

Landfill Leachate Treatment by Membrane Filtration







(環)設計部設計第1課 梶山 吉 則 Yoshinori Kajiyama (環)技術部計画第2課 土 谷 聡 Satoshi Tsuchiya (技)開発企画室 牛 越 健 一 Kenichi Ushikoshi

埋立地浸出水の高度処理(脱塩処理)において逆浸透膜法は浸出水中の高濃度塩類を除去できるのみならず重金属,難分解性物質も同時に除去することができる。逆浸透膜処理装置 DT —モジュールシステムを,焼却残渣を主体とした高塩濃度の浸出水に適用する実験の結果,95%の高回収率で安定した運転結果が得られ,処理水は水道水レベルの良好な水質であった。

Reverse osmosis system can remove highly concentrated salts and simultaneously heavy metals and recalcitant substances contained in the leachate from landfill site. A test plant for leachate treatment using DT-Module which is a reverse osmosis module with plate and frame configulation developed by Rochem, has been dumped. The test result showed that performance of operation has been very stable even by recovery rate of 95%, producing very high grade treated water just like clean city water. As to concentrate treatment from reverse osmosis system, many cases and methods are proposed. Consiquently it becomes to be available in Jappan to construct a leachate treatment system which produces very clean water equal to potable water by using DT-Module in combination with concentrate treatment system.

# Key Words:

浸 出 水 処 理逆浸透膜処理(RO)ナノフィルター(NF)DT—モジュール高 塩 類

leachate
reverse osmosis
nanofilter
dt-module
high salinity

### まえがき

廃棄物の焼却処理の比率が高まり、この焼却残渣を主体とする埋立地の浸出水は、高濃度の無機塩類を含むとともに、COD/BOD 比率が高く生物難分解性物質が多量に溶解している。このような浸出水に対して従来法の生物処理、沈殿ろ過処理、活性炭吸着処理といったシステムでは、塩類の除去は当然不可能であるが、重金属、難分解性有機物質の除去も

不十分で、放流処理水に残存するおそれがある。一 方逆浸透膜法によるこのような浸出水の処理は、高 濃度無機塩類の分離除去ができるのみならず、重金 属、難分解性有機物も同時に分離除去できる技術と して注目されている。いままで、特に我が国におい ては、膜モジュールの目詰まりやスケーリングといっ たファウリングの問題があり、回収率も高く取れな いといった考えからなかなか採用に至らなかった。 当社は、これらの問題を解決した逆浸透膜法である、平膜筒状の DT-Module (ディスクチューブモジュール)を用いた DT-モジュールシステムによる浸出水の高度処理実証運転を行ってきた。 DT-モジュールシステムによる浸出水の処理は、多数の実績を持ち、欧米諸国、特にドイツにおいて全体の半数以上を占めていることに示されるように逆浸透膜法による浸出水の処理が大きな流れとなっている。1

第1報では、RO2 段運転による運転結果を報告したが、<sup>2)</sup> 今回この RO2 段処理に加え、濃縮液の処理として NF(Nano Filtration)膜装置、濃縮 RO膜装置を設置し高回収率の実証運転を行い好結果を得たので報告する。

### 1. DT-モジュールシステム

### 1. 1 DT-モジュールの構造及び仕様

第1図に DT-モジュールの構造を示す。 DT-モジュールは典型的なプレート&フレーム型の構造を持った RO モジュールで、 平膜状 RO 膜を背中合わせに接合したクッションと呼ばれる八角形の RO 膜が、ディスクと呼ばれるプラスチィク製スペーサーと組み合わせ高圧容器の中に収納されている。

浸出水は加圧状態で容器の一方の端面入口より入

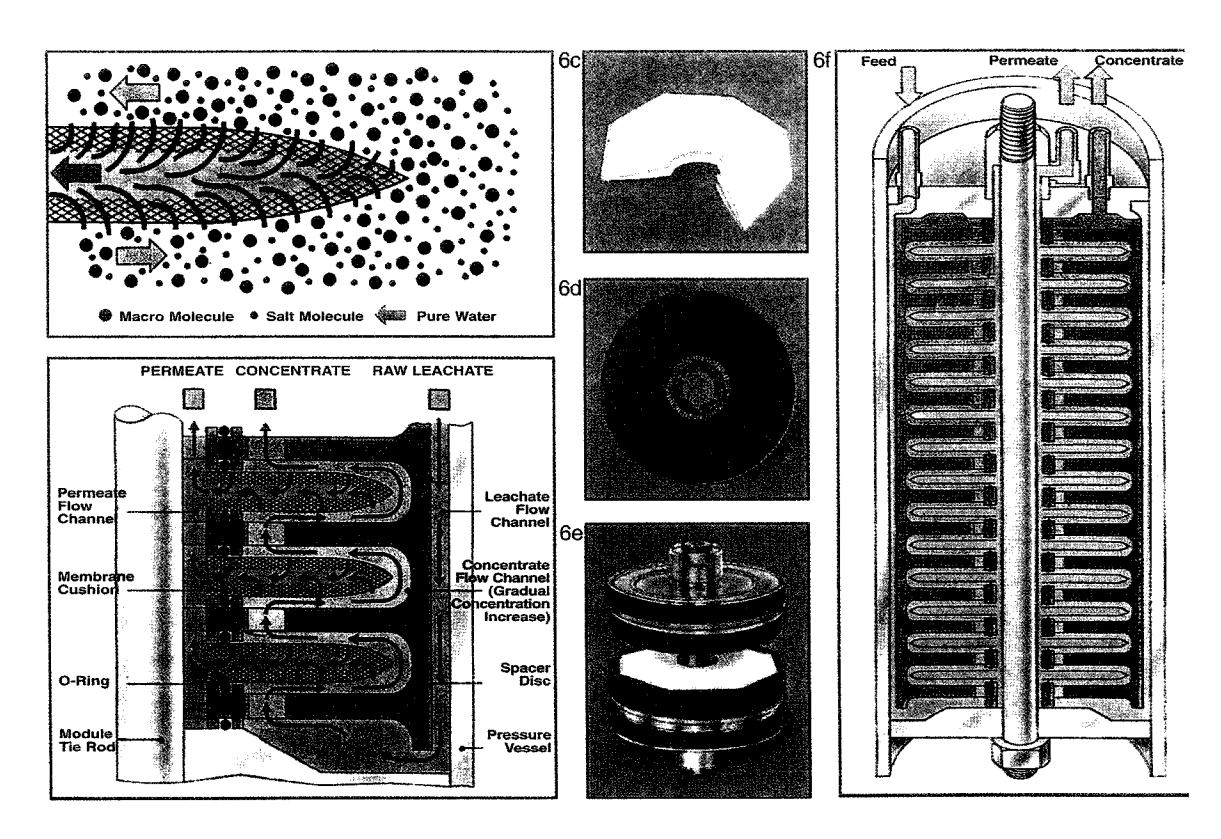
り、ディスクと容器の間隙を通ってもう一方の端面 に至り、そこからクッション膜とディスクの間に入 り乱流状態で元の端面の濃縮水出口から放出される。

膜を通過した透過水は、2枚の膜の間に挿入されている透過水スペーサーより中心部に集められ、端面の一方にある透過水出口より取り出される。浸出水の流路がオープンチャンネルで、スパイラルモジュールのような流路材を用いていないため目詰まりを生ぜず、生物ファウリングを受けにくい構造となっている。

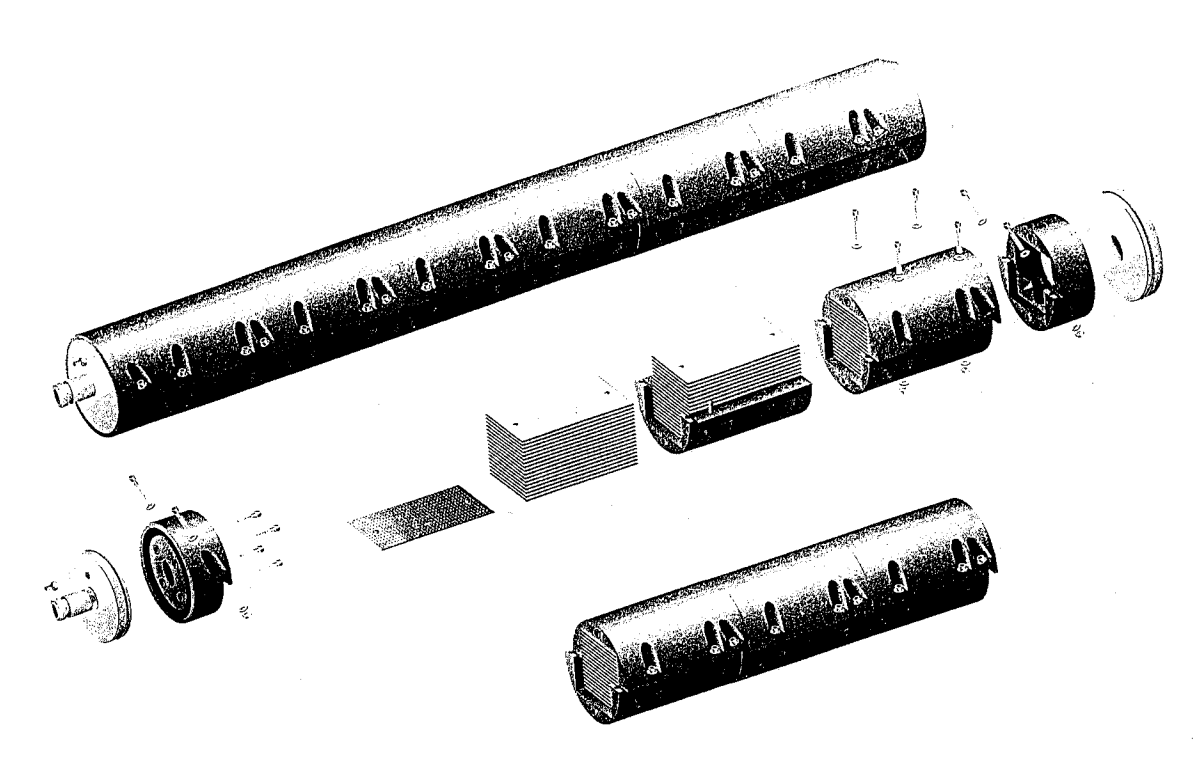
第2図に同様なオープンチャンネルの構造を持つロッケム社のNF(DTF-モジュール)モジュールの構造を示す。このモジュールの膜は矩形であり2枚の膜が背中合わせに接合され、矩形ディスクと組み合わされて高圧容器の中に収納されている。

第1表に DT-モジュール及び DTF-モジュールの 仕様を示す。 DT-モジュールは 1本の高圧容器の中 に約170枚のクッションが入っており、 膜面積は合 計7.6  $m^2$ である。 膜は芳香族ポリアミドの合成複合 RO 膜で最高使用圧力として65 bar、 120 bar、 200 bar の 3 種類のモジュールがある。

海水淡水化用膜と同様に基本性能として食塩溶液



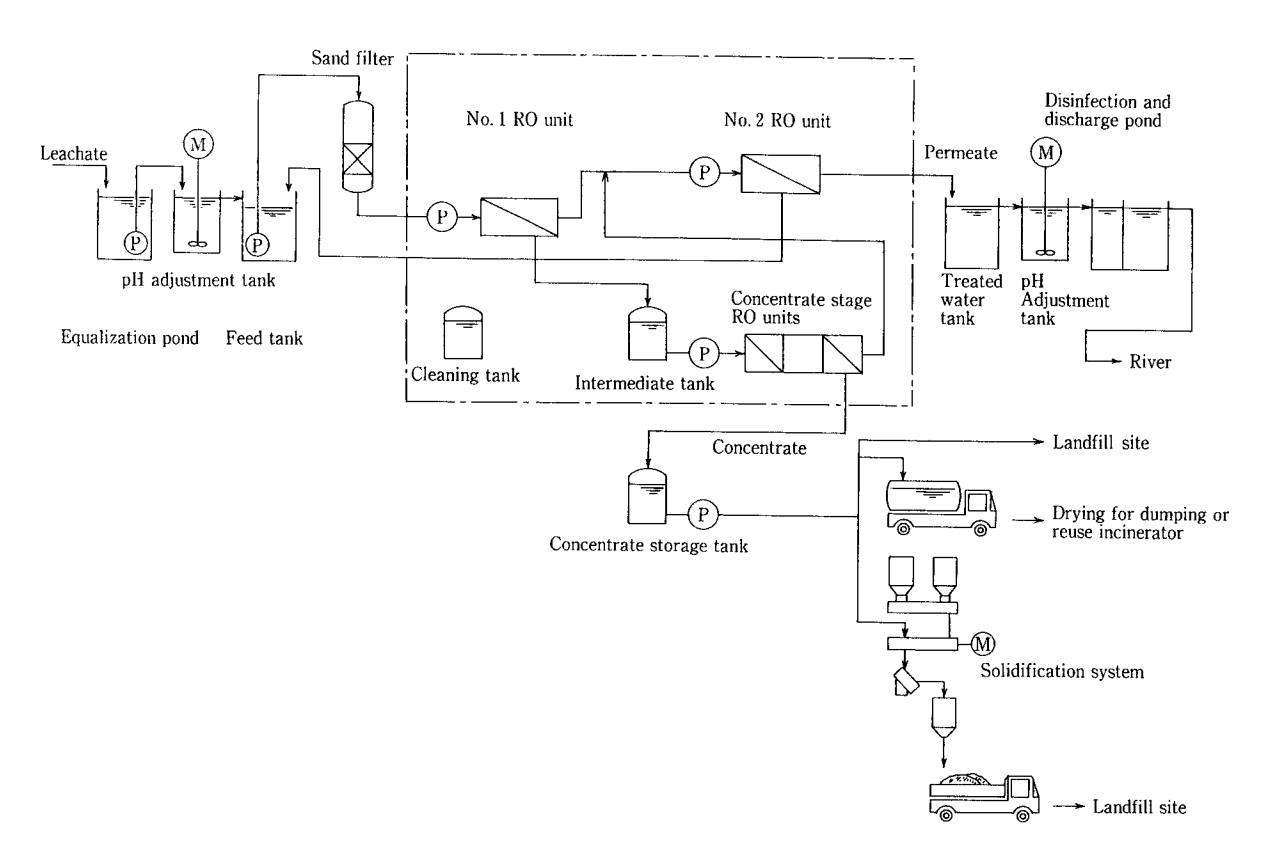
第1図 DT-Module 構造図 Fig. 1 Picture of DT-Module



第2図 DT-Module 構造図 Fig. 2 Picture of DTF-Module

第1表 DT-Module 及び DTF-Module 仕様
Table 1 Specification of DT-Module and DTF-Module

D	T-Module
Type of module Configuration Maximum rated operating pressure	DT-Module (Reverse osmosis) Disk-Tude (Plate and frame) 65bar, 120bar, 200bar
Dimensions Diameter (mm) Length (mm) Membrane area	65bar 120bar 200bar 226 222 250 1 200 1 200 1 150 65bar, 120bar 7.6 m² 200bar 9.1 m²
Operating Temperature Material	5—35℃ Membrane Polyamide Disk ABS
	Casing 65bar FRF 120bar, 200bar SUS
D'	ΓF-Module
Type of module Configuration Maximum rated operating pressure	DTF-Module (Nanofilter) Disk-Tude (Plate and frame) 40bar
Dimensions	Diameter 123mm Length 2 250mm
Membrane area Operating Temperature	5.0 m² 5—35℃
Material	Membrane Polyamide Disk ABS Casing SUS



第3図 DT-Module 浸出水処理装置フロー

Fig. 3 Typical Flow Diagram of DT-Module Leachate Treatment System

に対し99%以上の塩を除去できるとともに,有機物,コロイドレベルの微粒子等をも同時に除去することができる。また200 barの高圧運転の可能な DT-モジュールにより,塩類濃度を十数%以上にまで濃縮することができる。ディスク材質は ABS,容器材質は65 bar モジュールが FRP,120および200 bar モジュールはステンレス鋼である。DTF-モジュールの1本当たりの膜面積は5.0 m²であり,最高運転圧力は40 barで容器材質はステンレス鋼である。

# 1. 2 DT-モジュールシステム

第3図に典型的な DT-モジュールシステムフローを示す。埋立地よりの浸出水は調整池に集められpH 調整された後,砂ろ過器でろ過される。ろ過水はミクロンフィルターを通り1段目 RO 装置に供給され、加圧ポンプで加圧し DT-モジュールで処理される。透過水は2段目 RO 装置によりさらに仕上げ処理し、pH 調整後放流池を経て河川に放流される。2段目 RO 装置の濃縮水は1段目 RO 装置の手前に返送される。この1段目 RO 装置,2段目RO 装置には65 bar DT-モジュールが使用される。

1段目RO装置より出た濃縮水は、NF装置により2価のスケール成分となる硫酸カルシウム等を除

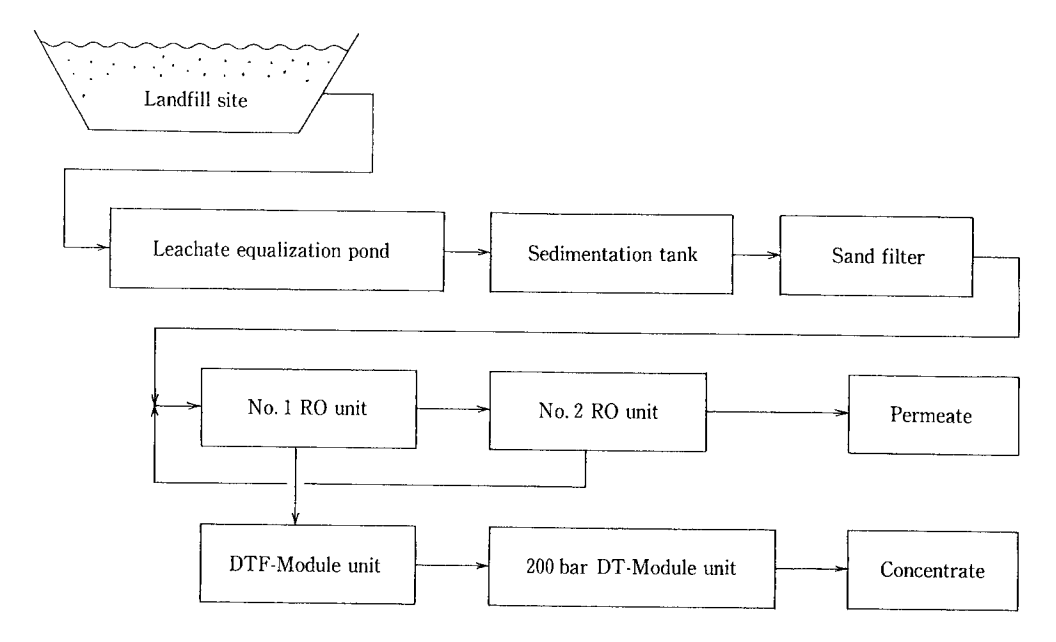
去した後、透過水は濃縮 RO 装置に、濃縮水は濃縮槽に送られる。濃縮 RO 装置では NF 装置の透過水をさらに透過水と濃縮水に分離し、透過水は 2 段目 RO 装置の前へ、濃縮水は濃縮槽に返送される。濃縮 RO 装置の DT-モジュールは、浸出水の塩濃度または回収率の低い場合には120 bar モジュールが、浸出水塩濃度、回収率が高い場合は200 bar モジュールが用いられる。

DT-モジュール浸出水処理装置はこのような方法で95~98%の回収率が得られ、供給浸出水の95~98%が処理水として放流され、 $2\sim5$ %が濃縮水として別途処理される。

濃縮水は、①埋立地への返送②固化埋め立て③乾燥保管④焼却処理などの処理方法が考えられ最終処分場の条件により最適な方法を選択する。

### 2. 実証実験の概要

1996年2月より焼却残渣と不燃物の埋立を主体とする鳥取県下の最終処分場において、呼称30 m³/d 1段 RO 装置、2段 RO 装置を備えた実証装置を運転してきた。初年度は特に我が国の浸出水水質における実証と最適設計・運転条件の検討を主目的として開発試験を行い、その結果を当技報に「逆浸透



第4図 試験装置フロー

Fig. 4 Flow Diagram of Test Plant

膜による浸出水の高度処理実験報告(その1)」として報告した。<sup>2)</sup> 初年度の運転結果は,回収率60~70%程度に設定し順調に稼働してきたが,塩類濃度が高いこと,カルシウム等2価塩類の濃度が高い処分場の浸出水水質であること,及び工事中の当処分場の特別事情により下記の事が判明した。

- 1) 当処分場が改造工事中のため数百mg/l にもおよぶ懸濁固形物を含む浸出水が流入する事があるため、凝集沈殿装置を付加することが望ましい。
- 2) カルシウムイオン等スケール生成の元となる2 価イオンが多いため,pH調整のほかにスケール 防止剤の注入が望ましい。
- 3) DT-モジュールの薬品洗浄頻度は1~2週間に 1回が適切である。

初年度の試験運転により得られたこれらの知見により、1997年度は凝集沈殿装置を付加し、分散剤を注入して RO 処理を開始した。また濃縮系の RO 装置を設置し、全体の回収率を90 %以上として実証運転を継続した。

### 2. 1 実証実験装置

第4図に実験装置のフローシートを,第2表に各装置の仕様を示す。写真1その全景及び内部を示す。調整槽より取水された浸出水は凝集沈殿装置,砂濾過装置,1段目RO装置,2段目RO装置の水処理系RO装置を経て処理水として放流される。2段目RO装置の濃縮水は1段目RO装置の前に返送され,1段目RO装置の濃縮水は濃縮水槽に受

け入れ既設処理設備で処理するため調整槽に返送し、 濃縮水を全量処理した場合の水量に換算して装置全 体の回収率として求めた。

### 2. 2 実証実験方法

各装置の運転条件は次の通りである。

### 1)前処理装置

	凝集沈殿装置	量処理	2流量	$1250\sim2000 l/h$			
	砂濾過装置処	L理流	量	1 250 l/h			
	砂濾過装直叉 薬品注入量	硫酸	とバンド		$20\sim60~\mathrm{mg/l}$		
		Na(	DΗ	рН	設定より自動注入		
		$\mathrm{H}_2\mathrm{SO}_4$		рН	設定より自動注入		
	設定 pH	凝集	<b>碁槽</b>		$6.8 \sim 7.2$		
		ろ進	器入口		$5.8 \sim 6.0$		
2	)水処理系 F	RO ୬	き置				
	1段目RO装	き置	透過水	皇	900 l/h		
			運転圧	カ	$30\sim50$ bar		
			回収率		$66{\sim}73~\%$		
	2段目RO装	き置	透過水	量	810 l/h		
			運転圧	力	$15{\sim}20~\mathrm{bar}$		
			回収率		90 %		
3	)濃縮装置						
	NF 装置	透過	水量		80 l/h		
	運転圧力				$10{\sim}40~\mathrm{bar}$		
	濃縮 RO 装置	置 透	<b>透過水量</b>		40 l/h		
		迫	転圧力		$70 \sim 180 \text{ bar}$		
4	)全体回収率	£ 9(	) %→ 95	3 %-	→ 95 %		
	砂ろ過器の洗	き浄は	約1回	/週,	1 段目 RO 装置,		

NF 装置、濃縮 RO 装置は $1 \sim 2$  週間に1回とし、 酸及びアルカリを用いて洗浄した。

# 2.3 実証実験結果及び考察

第5図に水処理系 RO 装置の流量のデータを示 す。1段目RO装置の透過水量は2600時間の運転 期間中ほぼ900 l/h で安定している。この間運転圧 力の変動はわずかで膜がファウリングを受けていな いことがわかった。また2段目RO装置の透過水 量も810 l/h と安定しており、運転圧力もほとんど 変動はなかった。

1段目RO装置入口流量が減少しているのは、 透過水量を一定にして全体の回収率を90%→93% →95 %に上げたためである。 2 段目 RO 装置は, 1段目RO装置の透過水を原水としており膜の汚 染もなく安定した運転結果を示している。

第6図にNF装置の運転データを示す。運転圧力

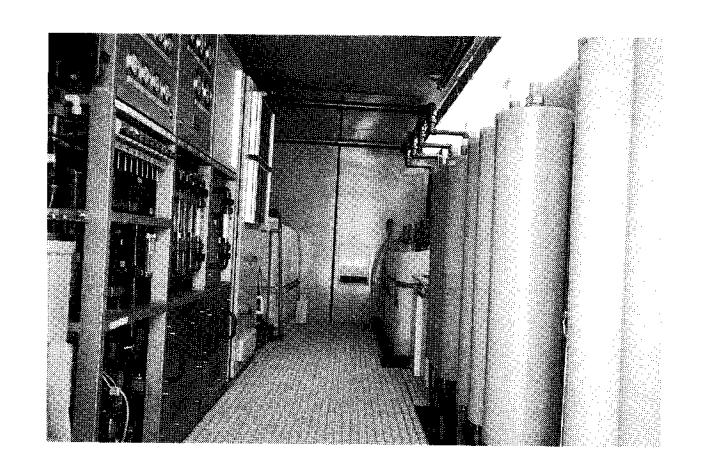
第2表 試験装置仕様

Table 2 Specification of Test Unit

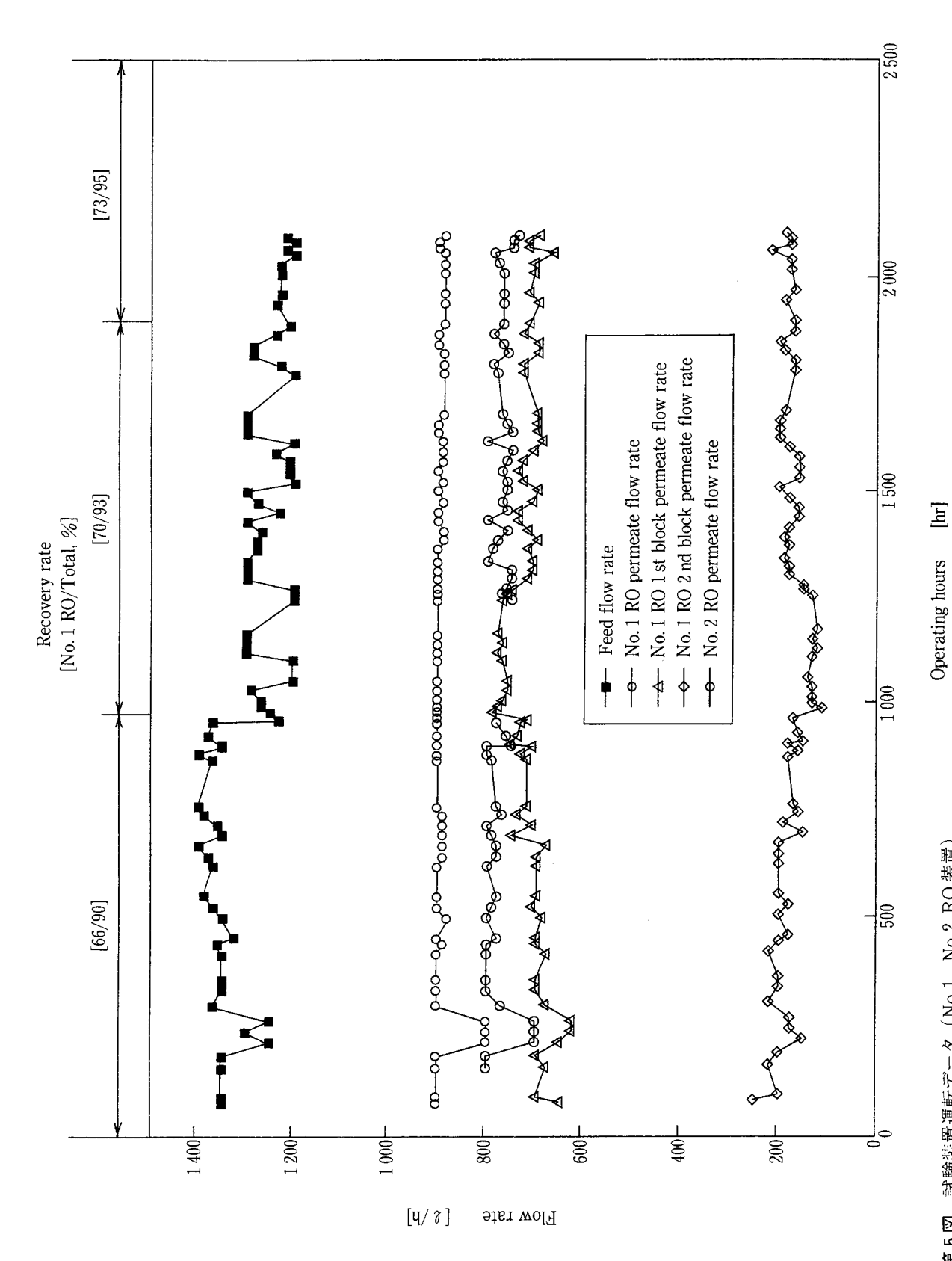
Water Treatment RO System								
No.1 Unit RO								
Reted inlet capacity Type of module Nos. of DT-Module	$30\mathrm{m}^3/\mathrm{d}$ 65bar DT-Module 6 sets $ imes$ 2 blocks							
No.2 Unit RO								
Type of module Nos. of DT-Module	65bar DT-Module 4 sets							
Concent	rate Stage RO System							
DTF-Module unit								
Type of module No. of DTF-Module	DTF-Module 1 set							
200bar RO Unit								
Type of module No. of DT-Module	200bar DT-Module 1 set							
Material Accessories	PVC, FRP, SUS, PE Pumps, pipes, valves, instruments, panels, etc.							



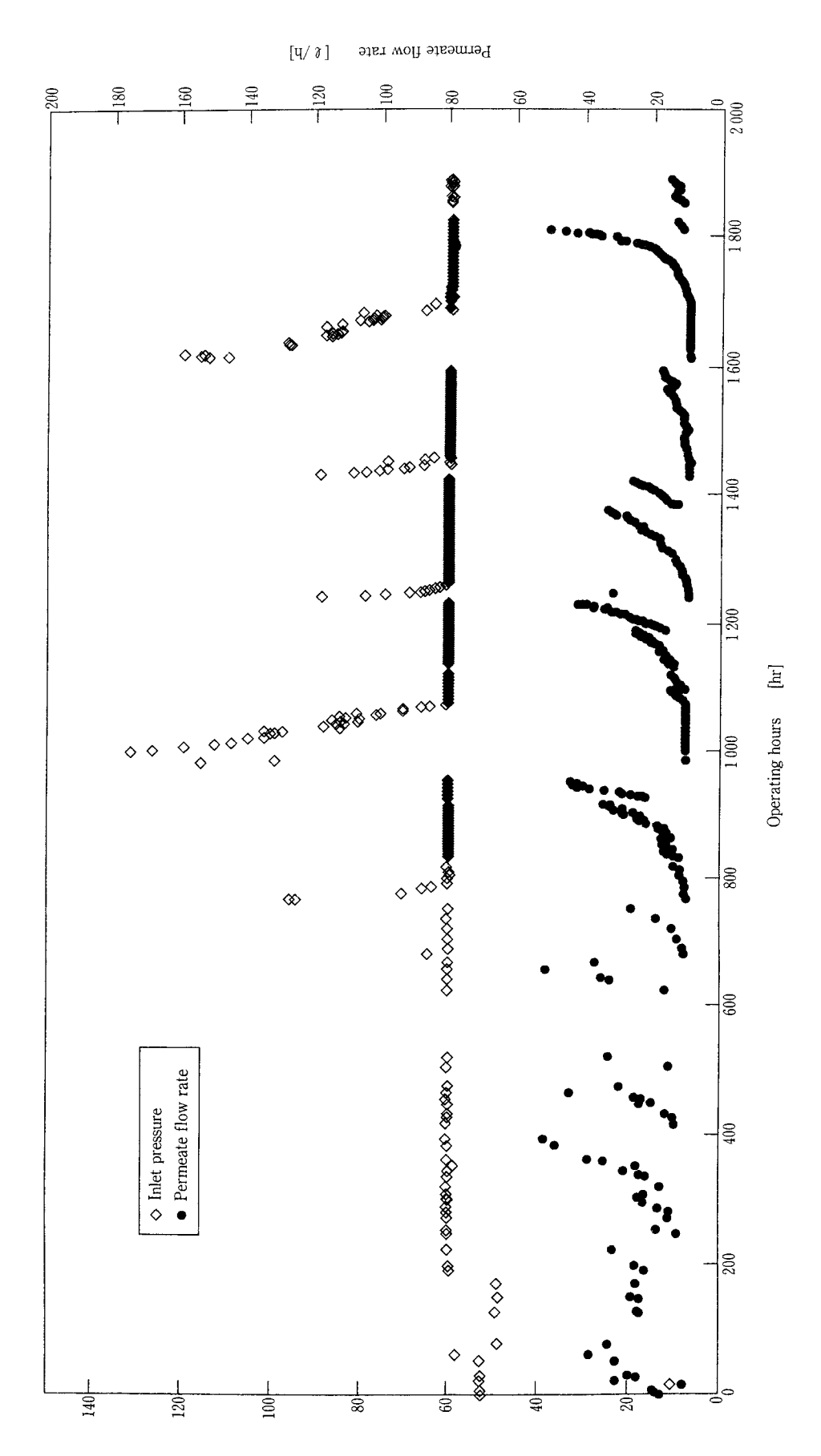




写 真 1 試験装置

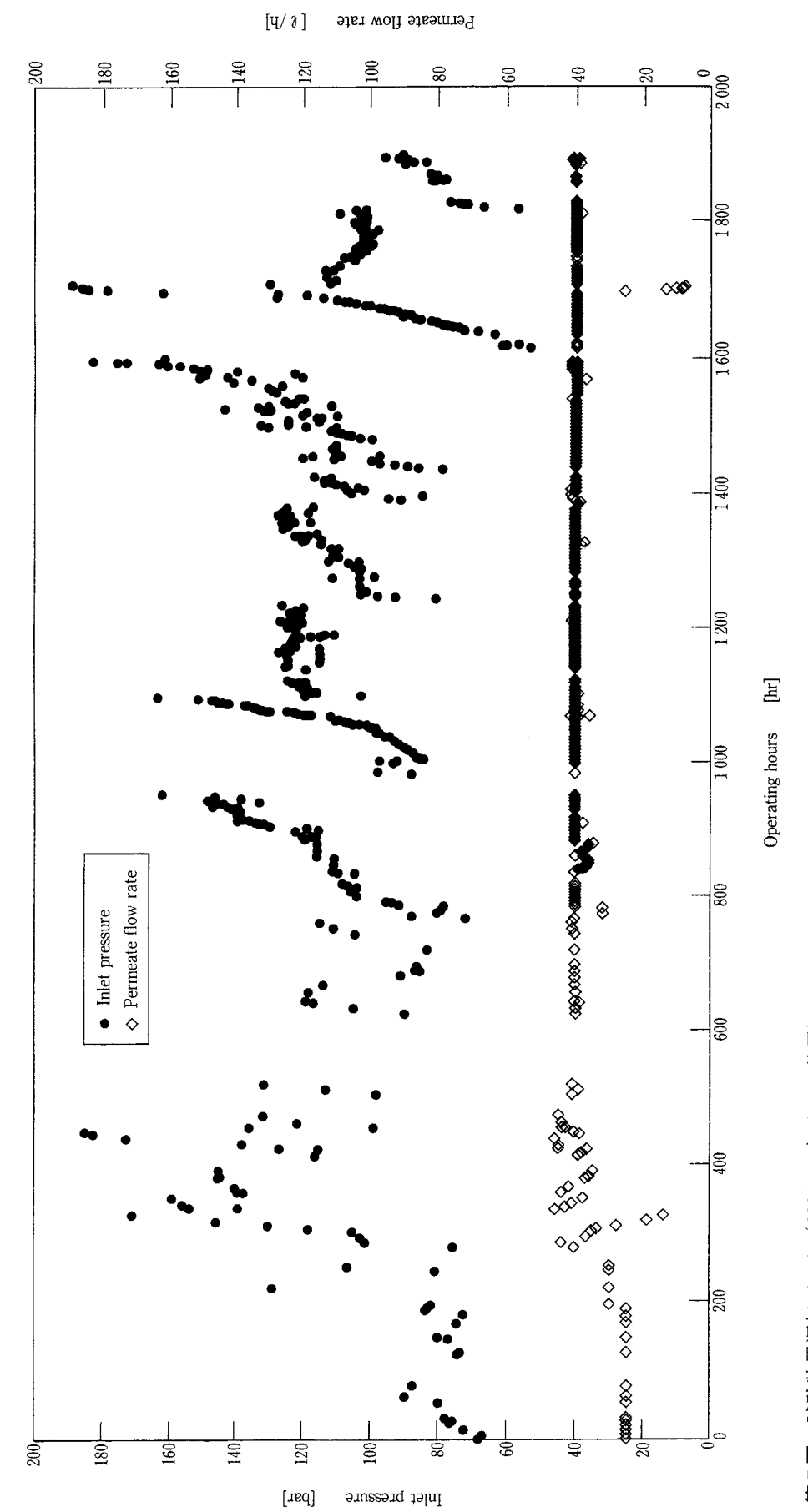


第5図 試験装置運転データ (No.1, No.2 RO装置) Operating Pig. 5 Operating Data of Test Plant (No.1 and No.2 RO Unit)



第6図 試験装置運転データ (DTF-Module 装置) Fig. 6 Operating Data of Test Plant (DTF-Module Unit)

3



第7図 試験装置運転データ(200bar 高圧 RO装置) Fig. 7 Operating Data of Test Plant(200bar DT-Module Unit)

第 3 表 DT-Module 浸出水処理装置水質分析データ Table 3 Performance of DT-Module Leachate Treatment System

Parameter	Units	Leachate	Permeate	Concentrate	Rejection (%)
Turbidity	Turb. unit	1.2	< 0.1	0.5	
Color	Color unit	28	1	240	96.42
pН	_	5.7	6.0	6.6	_
Conductivity	$\mu$ S/cm	17 900	90.1	140 000	99.50
M-alkalinity	CaCO <sub>3</sub> , mg/l	2.8	3.0	52.1	_
P-alkalinity	CaCO3, mg/l	0	0	0	_
Total hardness	CaCO3, mg/l	2 270	< 2.0	23 900	>99.91
Total salts	mg/l	12 700	80	124 000	99.37
Ca	Ca, mg/l	748	< 0.8	7 880	>99.89
Mg	Mg, mg/l	97.6	< 0.5	1 024	>99.49
Na	Na, mg/l	2 440	8.94	$25\ 000$	99.63
K	K, mg/l	952	5.49	10 100	99.42
Cl	Cl, mg/l	6 500	15.3	67 400	99.76
$SO_4$	SO <sub>4</sub> , mg/l	84.8	< 0.1	1 000	>99.88
$NO_3$	NO3, mg/l	94.1	3.14	720	96.66
NH4	NH4, mg/l	17.1	0.76	191	95.56
Total-N	N, mg/l	43.6	1.4	379	96.79
$\mathrm{SiO}_2$	$SiO_2$ , mg/l	9.28	0.14	108	98.49
Fe	Fe, mg/l	0.12	0.1	0.18	_
Mn	Mn, mg/l	4.10	< 0.01	25.0	>99.71
$\mathrm{COD}_{\mathtt{MN}}$	O, mg/l	37.8	< 1.0	329	>97.35
$BOD_{5}$	O, mg/l	< 5.0	< 2.0	< 5.0	_

Date of sampling: September 16,'97

Total recovery rate: 95%

は前処理, 濃縮倍率等の状態により若干変動しているが, 洗浄の効果により特に大きな圧力上昇はない。透過水量も設定値で安定している。一時的に透過水量が大きくなっているのは, 洗浄後処理水によるフラッシングによるものと考えられる。

第7図に濃縮 RO 装置の運転データを示す。運転圧力が変動しているのは、濃縮率の変動、またフラッシングにより浸透圧が変化したものと考えられる。運転圧力の非可逆的な上昇はなく、透過水量も安定しており問題はない。

このように全体回収率は90%から93%に, さらに95%に上昇したが各装置の運転状況は極めて良好で安定した運転が確認できた。

第3表に全体回収率95%で運転しているときの水質データを示す。凝集沈殿,pH調整後の浸出水の色度,濁度はそれぞれ28度,1.2度であり,透過水は色度1度,濁度0.1度以下とよく除去されている。浸出水の電気伝導率,塩類濃度,塩素イオン濃度

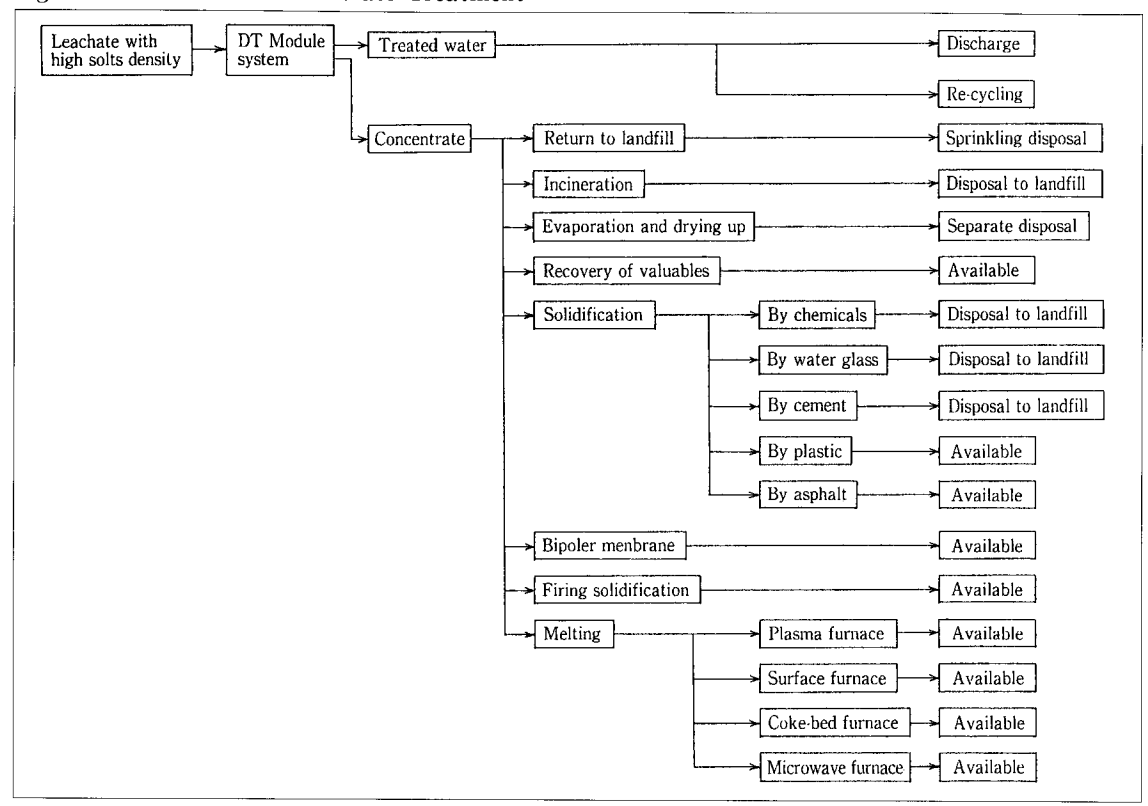
はそれぞれ17 900  $\mu$  S/cm, 12 700 mg/l, 6 500 mg/l と高い値であったが,透過水はそれぞれ水道水水質 レベルの90.1  $\mu$  S/cm, 80 mg/l, 15.3 mg/l であり 除去率は99.6 %,99.4 %,99.8 %に達している。

浸出水のカルシウム,マグネシウム濃度はそれぞれ748 mg/l,97.6 mg/l であり,透過水はそれぞれ <0.8 mg/l, <0.5 mg/l と非常によく除去できている。 硝酸イオン,アンモニウムイオン,全窒素は浸出水濃度それぞれ94.1 mg/l,17.1mg/l,43.6 mg/l に対し,透過水は3.14 mg/l,0.76 mg/l,1.4 mg/l と非常に低い値の透過水が得られ95 %以上の除去

浸出水 COD, BOD はそれぞれ37.8 mg/l, <5.0 mg/l と低い値で、透過水も<1.0 mg/l, <2.0 mg/l と天然の清水に等しい値が得られている。またシリカ、鉄、マンガンの浸出水の濃度は9.28 mg/l, 0.12 mg/l, 4.10 mg/l であり処理上大きな問題となる値ではなかった。

率を示した。

Fig. 8 Methods for Concentrate Treatment



濃縮水水質は、電気伝導率、塩類濃度それぞれ  $140\,000\,\mu\,\mathrm{S/cm}$ 、  $124\,000\,\mathrm{mg/l}$  と高濃度に濃縮されている。特にカルシウム、マグネシウムは、それぞれ $7\,880\,\mathrm{mg/l}$ 、  $1\,024\,\mathrm{mg/l}$  と高濃度に濃縮されているにもかかわらず、スケーリングを生じることなく装置が継続運転できている。

#### 濃縮水の処理について

DT-モジュールシステムによる浸出水の処理により、極めて良好な処理水が安定して得られることを確認した。しかし一方で同時に排出される数%の濃縮水の処理を適切に行う必要がある。第8図に濃縮水の処理方法の体系を示す。

これらの処理方法について安定性,経済性の面から評価がなされている。<sup>3)</sup> 濃縮水処理として固化法,乾燥保管法,工業的再利用法,処分場返送法などいくつかの方法が提案されており,最終処分場の条件により最適な方法が選択できるよう検討されている。

#### むすび

DT-モジュールシステムは塩類濃度、硬度成分の高い我が国の焼却残渣を主体とした埋立地の浸出水に対しても安定した運転ができることを実証できた。また処理水質は、水道水レベルの極めて良好な処理水を得ることができ、システム全体の回収率も95%という高回収率で運転できることが確認できた。

これからの埋立浸出水に対し、安全で環境に優し い処理方式として広く採用いただけるよう期待する ところである。

#### [参考文献]

- 1) T. A. Peters:Treatment pf Landfill Leachate by Reverse Osmosis, Proceedings of Sardinia 97 Sixth International Landfill Symposium II, pp. 395-402 (1997)
- 2) 梶山吉則:神鋼パンテツク技報, Vol. 40 No. 1 (1996)
- 3) 小林俊幸, 佐伯一丸:神鋼パンテツク技報, Vol. 40 No.2 (1997)

連絡先

36

<b>梶 山 告 則</b> 環境装置事業部 設計部設計第1課 担当課長	土 谷	職 環境装置事業部 技術部計画第2課	<b>牛 越 健 一</b> (技術士)	技術開発本部 開発企画室長
TEL 078 - 232 - 8118		TEL 078 - 232 - 8102	TEL	078 - 992 - 6525
FAX 078 - 232 - 8058		FAX 078 - 232 - 8056	FAX	078 - 992 - 6504
E-mail y.kajiyama@pantec. co.jp	E-mai	il s.tsuchiya@pantec. co.jp	E-mail k.ushikosh	i@pantec. co.jp

# フルゾーンの表面ガス吸収特性

# Gas absorption Characteristics from liquid surface of FULLZONE reactor



(化)技術部 今 中 照 Teruo Imanaka

撹拌槽を用いたガス吸収反応においては、通気ガス吸収操作が一般的であるが、連続的に通気することなく、反応で消費されるガスを液の自由表面から吸収させる表面ガス操作も行われている。ガス吸収速度に関しては、もちろん前者の方がすぐれているが、仮に表面ガス吸収操作で十分な能力が得られれば、設備が簡素化され、運転操作も容易となるなどメリットが大きい。しかし、表面ガス吸収については解説された文献も少なく、撹拌機の形状と液側物質移動容量係数 $K_{LQ}$ の関係が定量的に把握されているとは言えない。また、通気ガス吸収操作においても、現実には表面ガス吸収性能が大きく影響を及ぼしている場合もあり、表面ガス吸収の特性を知ることは、いずれのガス吸収操作においても重要と言える。

本稿では、フルゾーンが他の撹拌翼より表面ガス吸収性能に優れていることと、液粘度や液高さ等の操作因子と翼形状やバッフル条件などの形状因子が *KLa* に与える影響を紹介する。

In gas absorption reaction using an agitated vessel, there are two kinds of operation system. The one is aerating operation from bottom which is generally adopted and the other is sucking operation from liquid surface which is used to absorb the gas consumed in the reactions without continuous aeration. As to the rection rate of gas absorption, the former is better than the latter. But, if the latter is improved to more efficient one than the former, it will have great advantages, such as simple facilities and easy operations. On the other hand, there are less papers reported on sucking operation from liquid surface, and the relationship between the type of agitator and overall capacity coefficient of gas absorption " $K_La$ " is not cleary formulated. As the functions of sucking operation sometimes affect to that of aerating operation, it is very important in both gas absorption operations to know the characteristics of sucking operation.

This paper describes that the gas absorption of FULLZONE is superior to any other type of agitator and formation factors such as type of impeller and baffle condition affect to  $K_L a$ .

Key Words:

表面ガス吸収 *K<sub>L</sub>a*  Gas absorption from liquid surface Overall capacity coefficient of gas absorption

#### まえがき

当社の高効率撹拌翼フルゾーンは、化学工業界をはじめ、ファインケミカル、医薬、食品用途等の広範囲の用途において順調に実績を積み重ねている。特に難易度の高い撹拌プロセスに積極的に採用され、従来の撹拌翼に比べ大きな改善効果をもたらしていることが多くのユーザーより公表されている¹¹。

フルゾーンの優れた混合・循環特性から得られる, 広い粘度域での良好な混合,高い伝熱性能,液液系 及び固液系での低動力での均一分散性能等について は,既報 $^{2}$ )  $^{-4}$ ) にて詳細に報告した。さらにフルゾー ンは,気液系撹拌における自由表面からのガス吸収 特性についても,従来翼より極めて優れた特性を有 している。本稿では,このフルゾーンの表面ガス吸 収特性を,パラメータとして  $P_V$  値(単位容積当た りの撹拌動力)のみならず,粘度,液面高さやバッ フル強さ等も用いて解説するとともに,通気ガス吸 収特性について簡単に述べることとする。

#### 1. ガス吸収

#### 1.1 ガス吸収速度理論

気液系においてガスが単位接触面積当たり溶液中に溶解する速度  $N_A$  は、固液系の溶解速度や液液系の抽出速度、さらには対流伝熱等の移動現象を考える場合と同様に表現することができ、(物質移動係数) $\times$ (濃度差)の形で与えられる。

$$N_A = K_L(C_1 - C) \tag{1}$$

ここで、 $K_L$  は液側物質移動係数、 $C_1$  は気泡中のガス分圧と平衡な濃度、すなわちその液温度における飽和濃度、C は任意の時刻における液中のガス溶解濃度であり、 $(C_1-C)$  がガス吸収の推進力となる。

また、A を気液の接触面積、V を液体積とすれば、液中のガス濃度が増加していく速度 V dC/dt

はガスの溶解速度に等しいので.

$$N_A A = V_L dC/dt \tag{2}$$

と考えることができる。 よって、(1)(2) 式より

$$\frac{dC}{dt} = K_L \frac{A}{V_L} (C_1 - C) \tag{3}$$

が成立する。

さらにA/V を単位体積当たりの気液界面積 $\alpha$ とおけば、

$$\frac{dC}{dt} = K_L a(C_1 - C) \tag{4}$$

となる。

気液撹拌操作においては、単独で気液界面積aを求めることは困難なため、aと液側物質移動係数 $K_L$ の積である液側物質移動容量係数 $K_La$ が、ガス吸収性能を表現する指標として用いられる。

この他にも、Kia と相関関係が高いホールドアップや撹拌翼背面に生じる負圧が気泡の巻き込みによって減少することによる撹拌動力の低下等も、ガス吸収性能を評価する指標として用いられることが多い。しかし、表面ガス吸収性能の場合、これらホールドアップや撹拌動力の変化は極めて小さいため、よほど測定精度を向上させない限り信頼性のあるデータをとることは困難である。

#### 1.2 通気ガス吸収と表面ガス吸収

気液系撹拌には槽底からのガス吹き込み(通気ガス吸収)と液面からのガス吸収(表面ガス吸収)に よる2つの方式がある。

通気ガス吸収の場合,高いガス吸収能を得るために,ガスの微細化を目的とした,タービン翼に代表される高セン断型の撹拌翼と大きなバッフル効果を

第 1 表 ガス吸収に対して撹拌装置に求められる仕様 Table 1 Required specification for agitating system of gas absorption

Method of gas absorption	Aeration from bottom	Sucking from liquid surface
Type of impeller	High shear type	Discharge-circulating type
	(Flat disc turbine etc.)	(Pfaudler etc.)
Number of stage	Multi-stage	Multi-stages
Baffle condition	Nearly full	Partly
H/D	Large	Standard
Main effected factor for rate of gas absorption	Degree of dispersion of gas bubbles	Volume of sucked gas

もつバッフルが選定される。さらに、分散された気泡の滞留時間を長くするため、槽径(D)に対する液高さ (H) の比 H/D を大きく設計し、多段翼を採用する。これに対し表面ガス吸収の場合は、液界面の表面更新性能を重視し、吐出型の撹拌翼とバッフル効果の小さなバッフルを選定する。また、自由表面からガスを巻き込みやすくするために、H/Dは一般的な値( $1.0\sim1.5$ )を採用し、液面近くにも撹拌翼を設置する。

言い換えれば、 $K_{LA}$  の中の気液界面積  $\alpha$  について注目すると、通気ガス吸収の場合は与えられたガス流量の中で気泡径をできるだけ小さくして  $\alpha$  を大きくすることに対し、表面ガス吸収の場合は撹拌槽内の自由表面での表面更新を積極的に行うことによりガスを吸い込むことで  $\alpha$  の増加が計られる。以上のように、従来技術においては、2 つのガス吸収操作に要求される装置特性はそれぞれ異なるものであり、これらを第1表にまとめる。

$$\varepsilon = A \cdot U_g^{2/3} + B \cdot (n - n_0^*) \tag{5}$$

A.B:装置形状及び物性値から得られる係数

Ug: 空塔ガス線速n: 撹拌回転数

n<sub>0</sub>\*:気泡吸い込み開始(特性)撹拌回転数この式の右辺の第2項は,撹拌によるガス分散能力だけでなく,液表面からのガス吸引も考慮された値となっている。また,岡本によっても,通気ガス撹拌におけるガスホールドアップ特性と液表面からのガス吸引との関係が説明されている<sup>6)</sup>。

ガス吸収操作において、液面からのガス吸引のみによるガス吸収操作よりも、通常は通気ガス吸収形式の操作が多い。しかし通気ガス吸収において、特に通気ガス空塔線速が遅く、比較的高い Pv 値を与えて撹拌している場合は、前述のように表面からもガスを巻き込んでいる可能性が高く、これがガス吸収速度に大きく影響を与えていることがあることは十分認識しておく必要がある。概念上、両方のガス吸収操作は、次式のように考えることができる。

通気ガス吸収の場合:

$$(K_L a)_B \propto (Q_B + Q_V)^{\alpha} \cdot P_V^{\beta}$$

但し $Q_V \propto Q_B^{\gamma} P_V^{\delta}$ 

表面ガス吸収の場合:

$$(K_L a)_V \propto Q_V^{\theta} \cdot P_V^{\zeta} \tag{7}$$

但し $Q_V \propto P_V^{\eta}$ 

ここで、 $Q_B$  は通気ガス量、 $Q_V$  は吸い込みガス量を示す。

#### 1.3 K<sub>L</sub>aの測定

表面ガス吸収における KLa の測定には、槽底からのガス吹き込みによる場合と全く同様に、亜硫酸ソーダの空気酸加反応においてヨウ素滴定により酸化速度を算出する亜硫酸ソーダ法と、溶存酸素計を用い液中の酸素の溶解速度を直接測定するダイナミック法が適用されることが多い。以下に、本稿で紹介するデータの採取に用いた後者のダイナミック法の測定方法について解説する。

- (1) 撹拌槽に水道水を所定量張り込む。
- (2) 槽底から窒素ガスを通気しながら撹拌する。
- (3) 溶存酸素濃度が 0.2 ppm以下になれば, 撹拌 と通気を止め, 液中の窒素ガス気泡が無くなる まで放置する。
- (4) 所定の回転数で撹拌し,溶存酸素濃度の経時 変化を溶存酸素計により測定する。
- (5) 溶存酸素濃度が飽和濃度の95%程度になれば、測定を終了する。
- (6) K<sub>L</sub>a 算出式

(4)式において、初期条件として

$$t=0 の時 C=C_0 \tag{8}$$

の条件で積分すると.

$$Ln(C_1-C) = -K_L a \cdot t + Ln(C_1-C_0)$$
 (9)

を得る。すなわち KLa は、

 $Ln\{(C_1-C)/(C_1-C_0)\}$  vs tのグラフの傾きとして求めることができる。

このダイナミック法による $K_La$ の測定は亜硫酸ソーダ法に比べ測定が容易にできることが利点であるが、注意すべきは溶存酸素計の応答遅れが顕著に現れる範囲では使用できないことである。当社の計器 (0-90% 応答時間20秒)の場合、 $K_La$ <200(1/Hr) の範囲では遅れがほとんどないことを確認している。

#### 2. フルゾーンの表面ガス吸収特性

前章では撹拌槽を用いたガス吸収操作一般について解説したが、本章においては、フルゾーンの表面ガス吸収特性を $K_{LA}$ を用いて説明する。尚、本稿で紹介する $K_{LA}$ は、すべて槽径 (D)  $\phi$  400 mmの2:1 半楕円鏡付円筒槽を使用し、溶存酸素計を用いた前述のダイナミック法により測定された水一空気系におけるものである。

#### 2.1 フルゾーンと他形式翼との比較

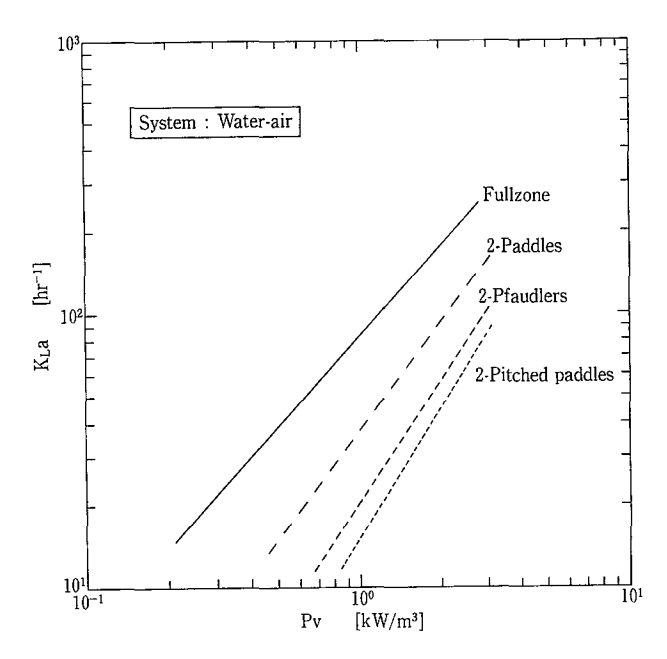
い込み開始(特性)撹拌回転数 n<sub>0</sub>\* が,

第1図にフルゾーンと他の翼形式の K<sub>L</sub>a の比較 データを示す。これよりフルゾーンは、同一 P<sub>V</sub> 値 基準で他の翼の約3~4倍の K<sub>L</sub>a を示していることがわかる。また一例として表面から巻き込んだガスの分散状況を、写真1に示す。白濁しているのは、巻き込まれたガスが分散されているためであり、この写真からもフルゾーンの表面ガス吸収能力が優れていることがわかる。次にその理由について述べる。表面ガス吸収性能は、翼と液面の距離に大きく依存する。このことは、前述の(5)式にて用いた気泡吸

$$n_0^* \propto Zi^{1/2} \tag{10}$$

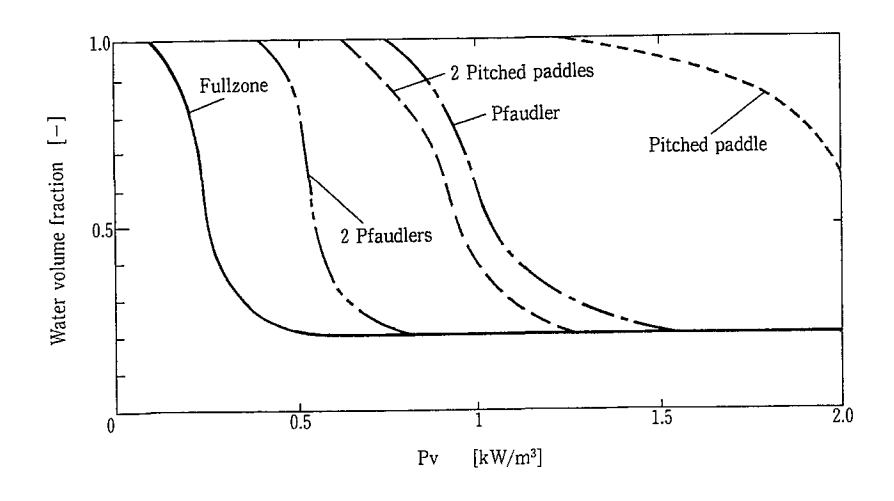
#### Zi:翼と液面の距離

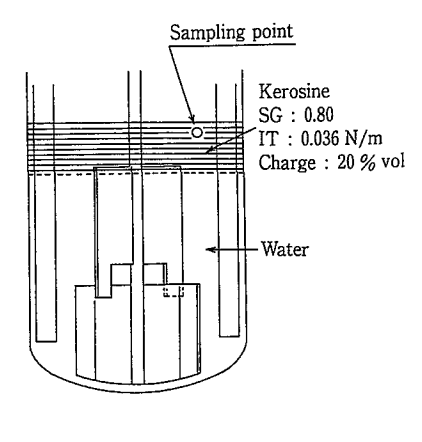
なる関係があるとされている<sup>5)</sup>こと, さらに表面ガス吸収用途の撹拌槽には、現実に多段翼が多く用い



Impeller	Pfaudler(2-stages)	Fullzone
$P_V = 0 \mathrm{KW/M^3}$		
$P_V$ =1.0 KW/M $^3$		
$P_V = 2.0  \text{KW/M}^3$		

写真 1 ガスの吸い込み状況 Photo.1 Condition of sucked gas





第2図 液液系の均一分散に至る動力の比較

Fig. 2 Comparison in power required for uniform dispersion of liquid droplets

られていることからも容易に想像できる。単純に考えれば、他の翼に比べフルゾーンは、翼上端と液面が極めて接近しているため低回転すなわち低動力でガスを引き込みやすく、これが優れた性能を生み出している理由の一つと言える。

さらにもう一つの理由は、引き込んだガスを液中にホールドできる能力が大きいことである。一旦液中に引き込まれたガスは撹拌翼で分散されると同時に、撹拌翼先端の背面に発生する負圧部に集合し、局所的にみれば翼近傍部のホールドアップが増加する。よってこの負圧の大きさと負圧が生じる領域すなわち翼幅が大きいことが、ガスをホールドできる要因となる。フルゾーンの場合、他の翼と比べ同ーPv値では翼先端速度が遅いため負圧は小さいものの、むしろ撹拌翼が夜深方向に長いためガスが槽内全域にわたってホールドされやすいことが、大きのの、むしろ撹拌翼が夜深方向に長いためガスが槽内全域にわたってホールドされやすいことが、大きファウドラー翼は翼近傍にガスが集合している傾向があることに対し、フルゾーンは槽内全体に分散している様子がわかる。

第2図は、各撹拌翼の液液系撹拌における軽液の 均一分散性能を比較したものであり、フルゾーンが 他の翼形式に比べ低い動力で均一に分散できる性能 をもっていることがわかる。ガスを軽い物質と考え ればこの特性と表面ガス吸収は同じ理屈で説明する ことができ、このテストデータからもフルゾーンの ガス吸収特性を理解することができる。さらに同じ ことが固液系撹拌の軽い粉体の分散性能にも適用で きることは、容易に想像できる。

#### 2. 2 K<sub>L</sub>a に影響を与える因子

#### 2. 2. 1 Pv值

第1図に示した通り、 $K_L a$  は  $P_V$  値に大きく影響を受ける。フルゾーンは

$$K_L a \propto P_V^{0.8 \sim 1.0} \tag{11}$$

の関係がある。 $K_{La}$  が  $P_{V}$  の $0.8\sim1.0$ 乗に影響されることは,通気ガス操作の撹拌支配状態における  $K_{La}$  と  $P_{V}$  の関係 $^{6}$  とほぼ同じであり,興味深い結果である。

#### 2. 2. 2 H/D (液深/槽径)

フルゾーンを使って撹拌した時の、液面変化に対する KLa の変化を第3図に示す。液面を変化させることは、すなわち液面と翼上端との距離が変化することである。液面が下がってくると KLa は次第に大きくなり、さらに翼上端を通過すれば一定の値となる。前項でも述べたが、液面と翼上端との距離は気泡の吸い込み状態に大きく影響し、本図はそのことを的確に表している。

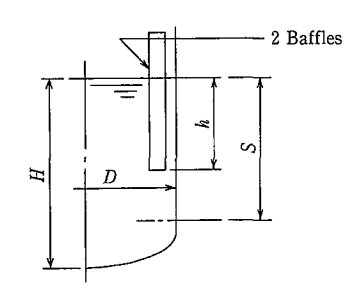
多段翼系の場合は、液面が上段の翼より下になると撹拌動力の低下と共に  $K_{L}a$  も急激に低下するため、液面変化の大きいプロセスにおいては、運転操作が難しくなる。しかし、フルゾーンは液面が翼上端から下がった後の液面変化に対しても、安定した性能を発揮する。

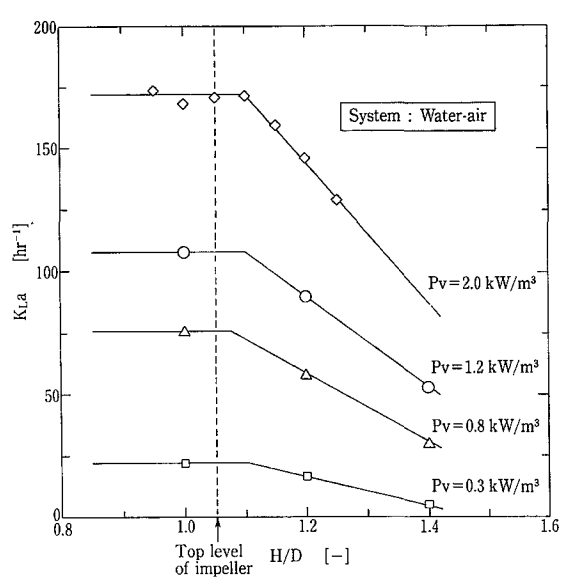
尚,液面が翼上端近くまで下がってくると、特に低粘度の場合液滴の飛沫が生じやすくなるため、このことが問題となる時は H/D が  $1.1\sim1.2$  の範囲で

#### 第2表 バッフル挿入深さと表面ガス吸収性能の比較

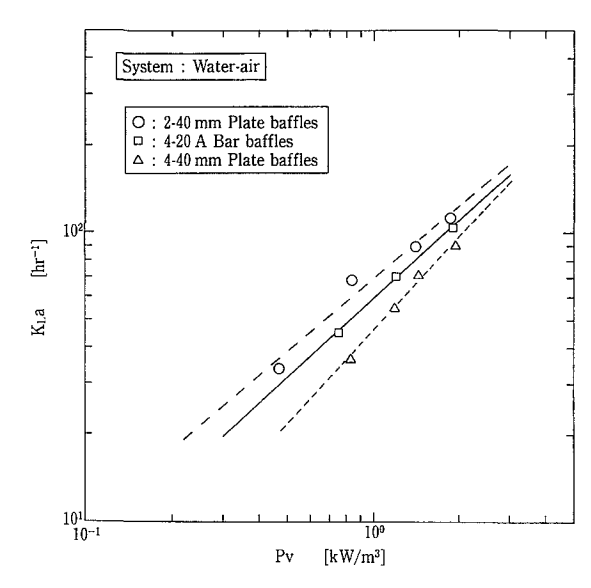
Table 2 Comparison of h/S for performance of gas absorption from surface

Imp.	Turbine (Single-stage)		Pfaudler (Single-stage)		Fullzone	
h/S	$P_V$	$K_L a$	$P_V$	$K_L a$	$P_V$	$K_{L}a$
(-)	(kW/m³)	(1/Hr)	(kW/m³)	(1/Hr)	(kW/m³)	(1/Hr)
1.0	1.5	4.0	1.5	3.1	0.35	14.1
0.25	1.5	88.4	1.5	94.5	0.35	54.8





第3図 フルゾーンの液高さと $K_La$ の関係 Fig. 3 Relationship between H/D and  $K_La$  of FULLZONE



第4図 フルゾーンの各種バッフルに対する  $P_V$  と $K_La$  の 関係

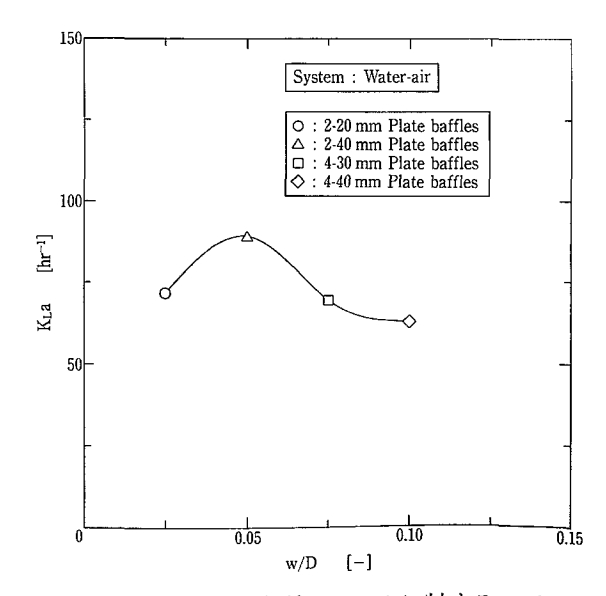
Fig. 4 Relationship between Pv and K<sub>L</sub>a for each baffles of FULLZONE

使用することが望ましい。

#### 2. 2. 3 w/D (バッフル強さ)

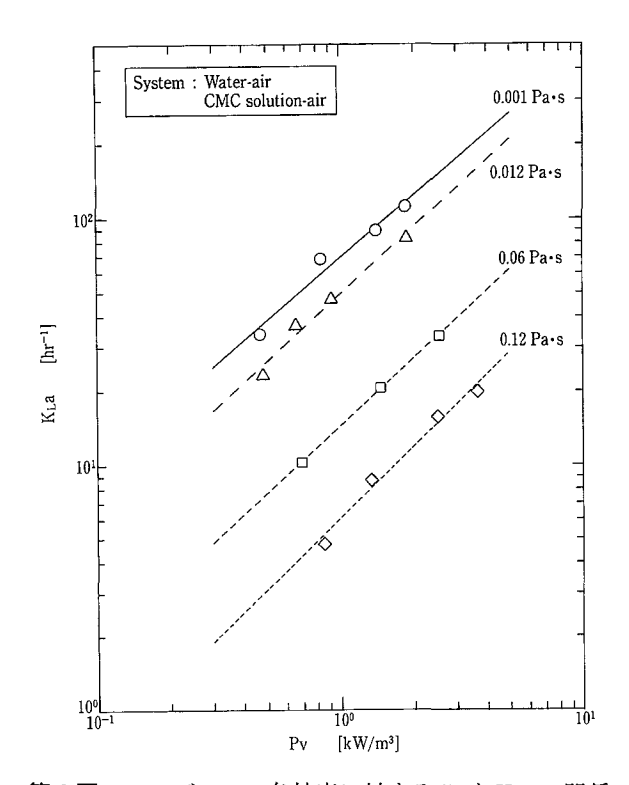
従来から表面ガス吸収の向上には、バッフル抵抗を弱めることが有効とされてきた。バッフルを弱めることで、円周方向の流れが強くなりボルテックスが積極的に形成される結果、自由表面(気液界面)の面積が大きくなると同時にガスを巻き込み易くなる。その一例を第2表<sup>11</sup>に示す。これは、バッフルの液面からの挿入深さを変えることで、バッフル効果を変化させた場合の K<sub>L</sub>a の変化を示したものであるが、従来翼(タービン翼、フアウドラー翼)ではバッフル効果を弱めることで極端に K<sub>L</sub>a が増加していることがわかる。一方フルゾーンの場合、従来翼ほどバッフル挿入深さの影響は受けない。

第4、5 図は、フルゾーンを使って撹拌した時の、バッフル形式、バッフル抵抗が  $K_{La}$  に与える影響を示す。但し、いずれもバッフルは下鏡 T. L. まで挿入している。第5 図からは、w/D=0.05 の時に最も大きな  $K_{La}$  が得られていることがわかる。



第5図 フルゾーンの各種バッフルに対する  $P_{V}$  と $K_{L}a$  の 関係

Fig. 5 Relationship between w/D and K<sub>L</sub>a of FULLZONE



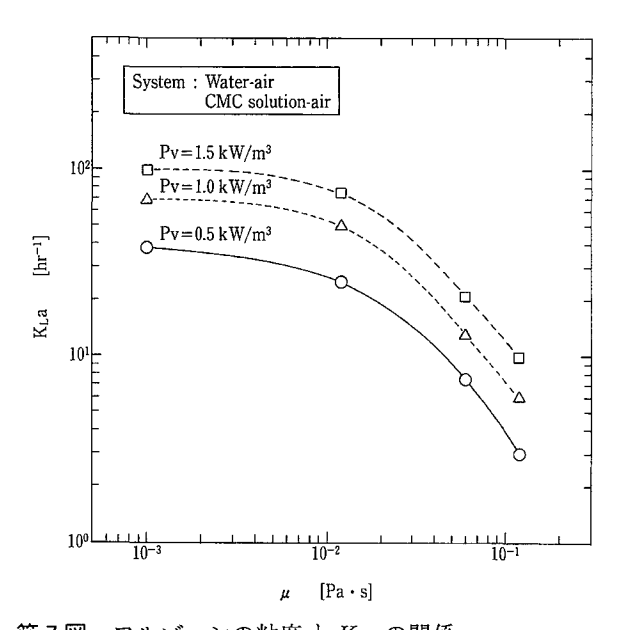
第6図 フルゾーンの各粘度に対する Pv とKLa の関係 Fig. 6 Relationship between Pv and KLa for each viscosity of FULLZONE

前述よりフルゾーンの場合,従来翼に見られるほどバッフル抵抗を弱めることが必ずしも  $K_{La}$  の増加に寄与するとは言えず,かつ,全体的にバッフル効果が  $K_{La}$  に与える影響も小さいと言える。一方,バッフル効果を混合特性から見た場合, 2 枚の10 %幅平板バッフル(w/D=0.05)を下鏡 T.L. まで挿入することで最短の混合時間を得ることができ,これをフルゾーンの標準バッフルとして採用している。この混合性能も考慮に含んだ場合,w/D=0.05のバッフルを T.L. まで挿入することが適切であると考える。

従来翼とフルゾーンではバッフル効果が  $K_{La}$  に与える影響が異なり、従来翼に比べフルゾーンは比較的強いバッフル条件下でもボルテックスを形成することなく、ガスを引き込む特性がある。したがって、特に伝熱のための蛇管コイルや多数のヘアピンコイルなどが設置されている(バッフル抵抗が強い)場合でも、フルゾーンは容易に表面ガス吸収を行わせることができる。

#### 2. 2. 4 液粘度

第6図と第7図は、フルゾーンを用いて水及び数種の CMC 水溶液を撹拌した時の、見かけ液粘度に対する  $K_{LA}$  の変化を示したものである。第6図か



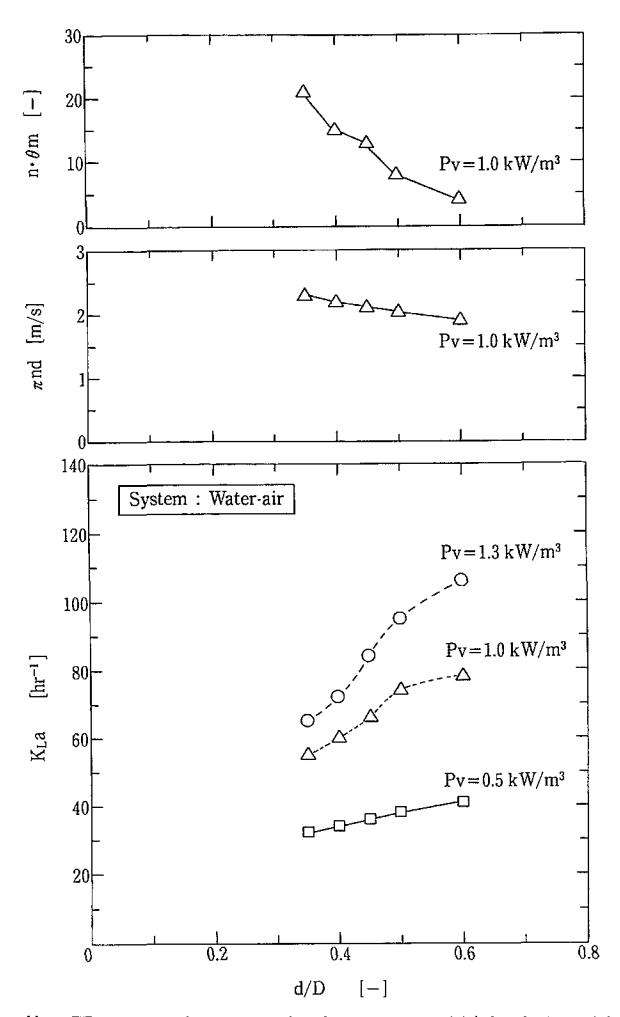
第7図 フルゾーンの粘度とK<sub>L</sub>a の関係 Fig. 7 Relationship between viscosity and K<sub>L</sub>a of FULLZONE

らいずれの粘度においても直線の傾きはほぼ同じであり、 $K_{La}$  の  $P_{V}$ 値への依存率にほとんど差異が無いことがわかる。また、第7図からは、粘度が $0.001 \, \text{Pa·s} \, \text{と} \, 0.1 \, \text{Pa·s} \, \text{とを比較すると}$ ,  $P_{V}$  値が $1.0 \, \text{kW/m}^3$  では  $K_{La}$  がそれぞれ約70と約7であり、約1/10に減少していることがわかる。

 $K_{La}$  が、液粘度の影響を大きく受けることは、通気ガス吸収操作においてはよく知られたことである。これは、液粘度が上昇すると気泡まわりの境膜が厚くなるなどにより物質移動係数  $K_L$  が抑制されること、粘度が高い液中では気泡が細分化されづらく気液界面積  $\alpha$  が低下することによる。表面ガス吸収においても、全く同様の理由で  $K_{La}$  が低下しているものと考えられる。

さらに第7図においては、0.02から0.03Pa·sあたりから急激に $K_{LQ}$ が低下している傾向が見受けられる。CMC水溶液は粘度が約0.03Pa·sを越えると凝塑性を示す。凝塑性流体を撹拌すると翼周辺での粘度は下がり、翼から離れた部分では粘度が上がる。このため、翼から離れた部分では気泡が合一しやすく、気液界面積が減少する。凝塑性が強まるほどにこの傾向は強まり、ついには撹拌翼の周辺にしか気泡を保持し得ない状態となる。このため、CMC水溶液の場合、見かけ粘度の上昇による急激な $K_{LQ}$ の低下が生じるものと推定される $^{80}$ 。

このように考えた場合,他の翼形式と比べフルゾーンはガスをホールドできる翼幅が広いと言う点にお



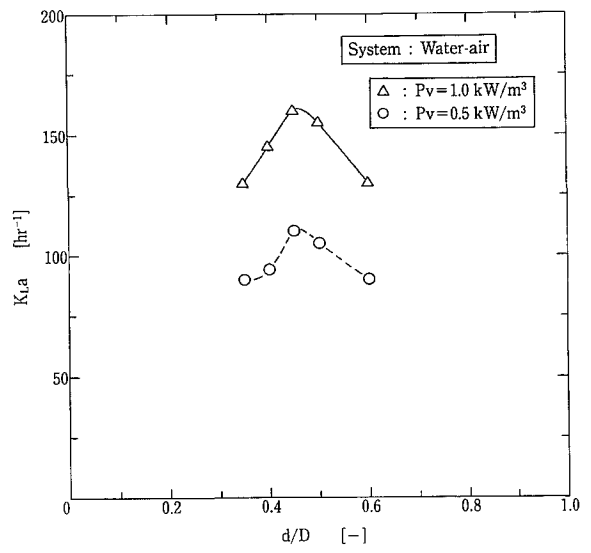
第8図 フルゾーンの d/Dと  $K_La$  の関係(表面ガス吸収) Fig. 8 Relationship between d/D and  $K_La$  of FULLZONE

いて、KLa の低下の度合も小さいものと推定するが、 むしろガスホールド量の分布が槽長手方向に均一で あることのほうが、実際の反応操作面においては有 益であると考える。

#### 2. 2. 5 翼スパン

第8図はフルゾーンの翼スパンを変化させていった場合の $K_{LA}$ の変化を示す。翼スパンが大きくなる、すなわち d/D が大きくなるにしたがって、 $K_{LA}$  は増加する傾向にあり、今回テストを行った範囲では、フルゾーンの標準スパンである d/D=0.6が、最も大きい $K_{LA}$  を示した。

第8図には、Pv値が $1.0 \, \mathrm{kW/m}^3$ 時の翼先端スピード  $\pi nd$  と混合時間  $n \cdot \theta m$  の変化も同時に示している。d/Dの増加と共に  $\pi nd$  が小さくなっている、すなわちガスの微細化能力は低下しているにもかかわらず、 $K_La$  が増加傾向を示しているのは、ガスの吸い込み能力がそれ以上に高いために気液界面積a



第9図 フルゾーンの d/D と K<sub>L</sub>a の関係(通気ガス撹拌) Fig. 9 Relationship between d/D and K<sub>L</sub>a of FULLZONE (aeration from bottom)

が増加していることによる。また、ガスの吸い込み能力が高いことは、表面更新性に優れ混合時間 $n \cdot \theta m$ が短くなっていくことと同じ意味を持つと考えられる。

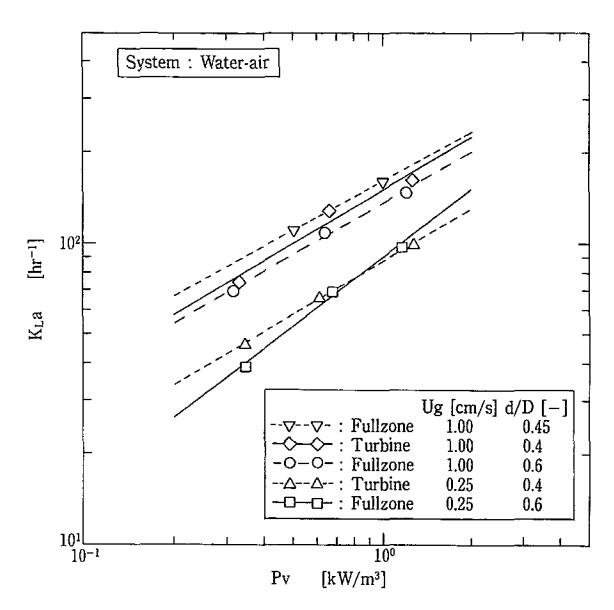
# 3. フルゾーンの通気ガス吸収特性

フルゾーンの通気ガス吸収特性についても, 簡単 に紹介する。

フルゾーンは、通気ガス撹拌には最適と言われているタービン翼に比べ、Pv値一定条件においては翼先端スピードが小さくなるため、セン断力すなわちガスの微細化能力が小さくなる。フルゾーンはむしろ低せん断型に分類される撹拌翼である。しかし、これまでに述べたようにフルゾーンは表面ガス吸収に極めて優れた性能を持っているため、通気ガス撹拌操作においても空塔ガス線速が小さくかつ撹拌動力が大きい撹拌支配領域では、タービン翼と同等以上のガス吸収速度を発揮する。

第9図は、空塔ガス線速  $U_a$  を1 cm/sec とした時の、 $K_La$  に与える d/D の影響を調べたものであるが、表面ガス吸収の特性(第8図)とは異なった状況を示す。すなわち、d/D に対し  $K_La$  は変極点をもち、通気ガス吸収においては d/D=0.45 が最適であることがわかる。

つぎに、フルゾーン(d/D=0.6, 0.45)と 2 段タービン翼(d/D=0.4)の比較データを第10図に示す。 $U_g=0.25$ cm/sec の時、 $P_V$  値<0.9kW/ $m^3$  の領域では、フルゾーンよりタービン翼の方が大きい  $K_La$ を示すが、 $P_V$  値が0.9kW/ $m^3$  を越えると逆転する。



第10図  $Ug \ge d/D$  に対する  $K_La$  関係(表面ガス吸収) Fig.10 Relationship between  $P_V$  and  $K_La$  for each Ug and each d/D

この程度の通気速度域では、フルゾーンの表面ガス吸収能力が  $K_{LA}$  の増加に大きく寄与している。  $U_g=1.0~{\rm cm/sec}$  の時,通気ガスによるガスの上昇流れが強まるため,表面からのガス吸収は押さえられ,通気ガスの分散状態が  $K_{LA}$  の支配的要因となる。よって, $U_g=0.25cm/sec$  で見られたような逆転は起こることない。d/D=0.6 ではタービン翼の方が高い  $K_{LA}$  を示すものの,d/D=0.45 にすればフルゾーンの方が高い  $K_{LA}$  を示している。

前述の結果から、フルゾーンは、 $Ug \leq 1.0$  cm/sec の範囲の通気撹拌において、翼スパンを適切に選定すれば、2段タービン翼と同等以上のガス吸収性能を示すことがわかる。尚、本テストにおいてはあくまで撹拌翼のガス分散特性を比較するために、ガスはいずれの翼に対しても単孔ノズルから通気させた。

#### 4. 改善事例

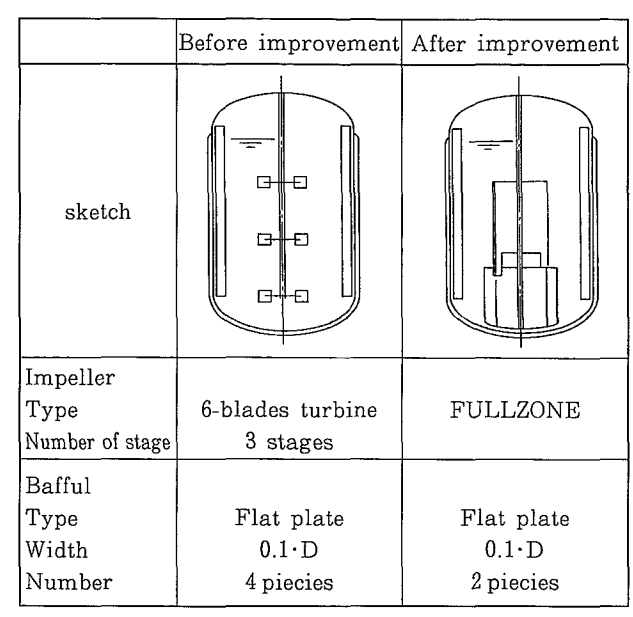
フルゾーンを適用する事によって実現できた,水 添反応におけるプロセス改善事例を紹介する。

水添反応においては、表面ガス吸収性能のみならず、固体粒子の均一浮遊性能、伝熱性能や均一混合性能等が求められるが、第11図に示すように3段タービン翼からフルゾーンに変更することによって、次に示す改善効果が確認された。

#### (1) K<sub>L</sub>a の増加

表面ガス吸収性能に優れているため,  $K_{L}a$  は 約 2 倍の値が得られた。

(2) 触媒使用量の低減



第11図 フルゾーンを用いた改善事例

Fig.11 Illustration of improvement by FULLZONE

槽底部、槽壁部に偏在していた触媒を、槽内 均一に浮遊させることができたため、触媒の使 用量を10~20%低減できた。

#### (3) 触媒破壊の防止

局所的な強セン断域がなくなったため, 触媒 破壊が減少した。

- (4) 伝熱係数の向上
  - 総括伝熱係数が約20%向上した。
- (5) 前述の効果により、反応時間を1/2にすることができ、触媒使用量の削減によりコストダウンできた。

# 5. まとめ

次にフルゾーンの表面ガス吸収に対する特性をま とめる。

- (1) フルゾーンは他形式の2段翼に比べ、同一 Pv 値基準で3~4倍のKta を示す。
- (2) 液面が翼上面より上昇してくると  $K_{La}$  は減少傾向を示すものの、逆に液面がそれより下がってきても  $K_{La}$  は変化せず一定の値を示す。
- (3) 表面ガス吸収性能は液粘度の影響を大きく受ける。特に凝塑性流体の場合は影響が大きい。
- (4) 表面ガス吸収に優れた翼スパンとバッフル強さは、それぞれ d/D=0.6、w/D=0.05(2枚の平板バッフル)である。これは、最も混合性能が優れている組み合せと同じである。
- (5) 通気撹拌操作においても、比較的空塔ガス線速が小さい( $U_g \leq 1.0$ cm/sec)領域であれば、

表面ガス吸収能力が分散(微細化)能力の低さを補うため、フルゾーンを適用することが可能である。特に、低セン断特性が同時に求められるプロセスには有効である。

#### むすび

フルゾーンの表面ガス吸収特性を,当社テストデータをもとに解説した。フルゾーンは,先に紹介した水添反応の他,発酵培養槽や塩素化反応など多くの適用実績があり,各ユーザーにおいてそのすぐれた性能が立証されている。

また,当社の播磨製作所には従来の模擬液を使用する可視テスト機に加え,1年前に60 Lt.のパイロットテスト機<sup>9)</sup>を製作導入し,これら2つのテスト装置で社内及び客先テストに対応できる体制をとっている。これらのテスト装置を有効に活用することにより,効率よく信頼性の高いデータを取得し,今後さらに最適な撹拌仕様が決定できるよう努力していく考えである。

#### <記号の説明>

Pv (kW/m³): 単位容積当たりの撹拌動力

N<sub>A</sub> (g·mole/cm²sec):溶解速度

 $K_L$  (cm/sec):液側物質移動係数

 $C_1$  (g·mol/cm³):液体中におけるガスの飽和溶解濃度

 $C(g \cdot mol/cm^3)$ :液体中におけるガスの溶解濃度

A (cm²): 気-液の接触面積

忆 (cm³):液体積

 $a (cm^2/cm^3)$ : 単位体積当たりの気液界面積  $K_{L}a (1/sec,1/hr)$ : 液側物質移動容量係数

D (m,mm): 槽径

 $\varepsilon$  (—): ガスホールドアップ

Ug (cm/sec):空塔ガス線速

n (r/m, r/sec): 撹拌回転数

no\* (r/m): 気泡吸い込み開始(特性) 撹拌回転数

Zi (m, mm): 翼と液面の距離

H(m,mm): 槽底から液面までの高さh(m,mm): 液面からのバッフル挿入深さ

w/D (一): バッフル強さ d (m,mm): 翼スパン

*mnd* (m/sec): 翼先端スピード

*θm* (sec): 混合時間

 $n \cdot \theta m$  (一): 無次元化された混合時間

ρ (kg/m³): 液密度 μ (Pa·s): 液粘度

#### 「参考文献〕

- 1) たとえば 特開平6-16708 (住友ダウ(株)), 特開平6-28 7203 (日本ゼオン株) など
- 2) 菊池雅彦ほか,神鋼パンテツク技報, Vol. 35, No. 1 (1991) P6
- 3) 菊池雅彦ほか,神鋼パンテツク技報, Vol. 35, No. 3 (1991) P6
- 4) 徳岡洋由, 神鋼パンテツク技報, Vol.38, No.1 (1994) P11
- 5) L.L. Van Dierendonck et al., Chem. React. Symp., 1968, Pengamon, P. 205
- 6) 岡本幸道, 神鋼フアウドラーニュース, Vol. 26, No. 3 (1982) P8
- 7) 徳岡洋由, 神鋼パンテツク技報, Vol.36, No.3 (1992) P5
- 8) 岡本幸道, 神鋼フアウドラー技報, Vol. 27, No. 3 (1983) P1
- 9) 伊藤久善, 神鋼パンテツク技報, Vol.41, No.1 (1997) P80

#### 連絡先

今 中 照 雄 化工機事業部 技術部

TEL 0794 - 36 - 2517 FAX 0794 - 36 - 2578 E-mail t.imanaka@ pantec. co.jp

# 振動型膜分離装置の適用分野と実績

Application Fields and Sales Results of Vibratory Shear Enhanced Process









(技)研究開発部 高田一貴 kazutaka Takata 小西嘉雄 Yoshio Konishi 谷田克義 Katsuyoshi Tanida 竹尾由重 Yoshishige Takeo

膜分離技術は様々な産業分野において懸濁スラリーやイオンを分離する上で最も重要な技術の一つとなってきた。神鋼パンテツクはこれまで多くの膜分離装置を販売してきたが、このたび米国 New Logic 社より新しいコンセプトの振動型膜分離装置 VSEP を導入し、日本国内において、医薬・食品分野を除く分野への独占販売を開始した。医薬・食品分野へはその販売権を米国 PALL 社が保有しているが、当社と PALL 社との間で業務提携を締結し、これら分野への振動型膜分離装置の販売もできる。当社は1997年に多くの引き合いをいただき、化学、半導体、アルミ分野の顧客より5プロセス15基の受注を果たした。膜分離システムの導入には膜寿命等の予測のために長期間の検討期間が必要になるにもかかわらず、 VSEP は短期間の検討で性能を確認し受注するに至った。このことは、 VSEP が既存の膜分離技術には決してみられない革新的なシステムであることを示すものである。

Membrane separation technology has become one of the most important technologies for the separation of slurry and/or molecules in various industrial fields. Shinko Pantec also have had a technology on the membrane separation technology to various industrial fields, and has introduced Vibratory Shear Enhanced Processing (VSEP) from New Logic International of the United States exclusively in the Japanese market except for the food and pharmaceutical industries. At the same time Shinko Pantec has agreed with Pall Corporation of the United States which have the right of marketing this system to food and pharmaceutical fields to make possible for marketing Pallsep to the fields. During the year of 1997, Shiko Pantec has gotten orders 15 machines in 5 processes from chemical, semiconductor, aluminum makers.

In spite of farely long term should be required for installing membrane separation system, Shinko Pantec has gotten orders using VSEP system in a short trem experiments. This shows that VSEP is considered to be recognized as a evolutional system never seen in the conventional membrane separation technologies.

# Key Words:

膜 分離

Membrane Separation

振動せん断速度

Vibration Shear rate

# まえがき

振動型膜分離装置 VSEP™ (VSEP=Vibratory Shear Enhanced Processing, 製造元:米国 NEW LOGIC INTERNATIONAL INC.) の販売を1996 年6月より開始して1年以上が経過した。この間に 化学, 製紙, 半導体, 印刷塗料, 鉱業, 医薬, 食品 をはじめとする広範な顧客に対して,室内テスト及 びフィールドあわせて40社以上,60サンプル以上の テストを行ってきた。その結果, 化学, アルミメー カー、半導体エンジニアリング会社より大きな評価 をいただき合計で5プロセス15基の実機を受注し、 日本国内における商用機の稼働を開始した。米国で はすでに化学, 製紙, 印刷塗料, 鉱業, 医薬, 食品 分野に対して150基以上の実機実績がある。従来か らのクロスフロー式にくらべてより大きな透過流束. 濃縮限界を越えた高濃縮,膜洗浄インターバルの延 長等の特長により用途が急速に広がっている。

医薬・食品製造向けの GMP 対応型振動型膜分離 装置 PALLSEP<sup>TM2/3/4)</sup>(製造元:米国 PALL CORPO-RATION) に関しては、米国 PALL 社と販売提携 を締結し、日本ポール社を通じて PALLSEP の販 売を行っている。PALLSEP は米国及び欧州に合 計10基以上の実績がある。

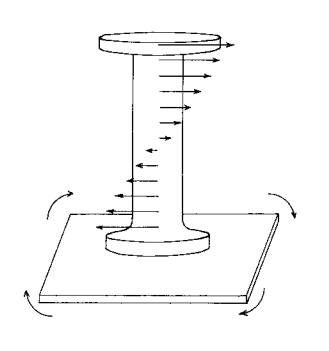
世界的にみても類をみない特長ある振動型膜分離 装置であり、現在までのテストや実績の中で振動の 特長が随所にみられる結果も多く得られているので、 ここではなるべく多くのデータを紹介することによ り適切な適用プロセス選定のガイドとしても使用で きるように配慮した。また基本的なプロセスフロー、 振動機構やフィルターパック内の流れをわかりやす く説明することを試みた。

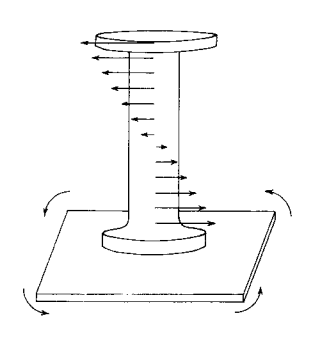
第1図 振動システムの模式図

Fig. 1 Schematic diagrams of vibration system

# 1. 振動型膜分離装置(VSEP, PALLSEP) の振動機構

第1図は振動型膜分離装置 VSEP の振動を発生 させるメカニズムを模式的に示した図である。1) 駆 動モーターからサイズミックマスに動力を伝える軸 に偏心ベアリング(荷重の重心を軸中心から半径方 向へずらした重り)がとりつけられている。この軸 を高速(約3 000 rpm 以上)で回転させて装置を振 動させるが、この際周波数を約45 Hz付近まで一気 に上昇させて装置の1次共振点の直前まで振動数を 上げる。約50 Hzの振動数でフィルターパックの運 転条件(振幅約20 mm)に達する。駆動モニター と偏心ベアリングの動きによってサイズミックマス が水平方向に振動するが, サイズミックマスの荷重 (約1トン:84 m²) に起因する慣性モーメントとフィ ルターパックの荷重(約1トン)による慣性モーメ ントがトーションバーにねじりを発生させる。第2 図に示すようにサイズミックマスが時計方向の動き をする場合にはフィルターパックは反時計方向の運 動を、サイズミックマスが反時計方向の運動時には フィルターパックは時計方向となる。この繰り返し 振動が周波数50 H<sub>2</sub>で継続されるので、フィルター パック内の膜面に強力な流体せん断力が発生し膜面 へのファウリングを低減または防止する。





**第2図** トーションスプリング, サイズミックマス及び フィルターパックの往復運動模式図

Fig. 2 Motions of torsion spring, seismic mass, and filter pack

VSEP と PALLSEP の振動機構, 周波数, 振幅 共にほぼ同一である。

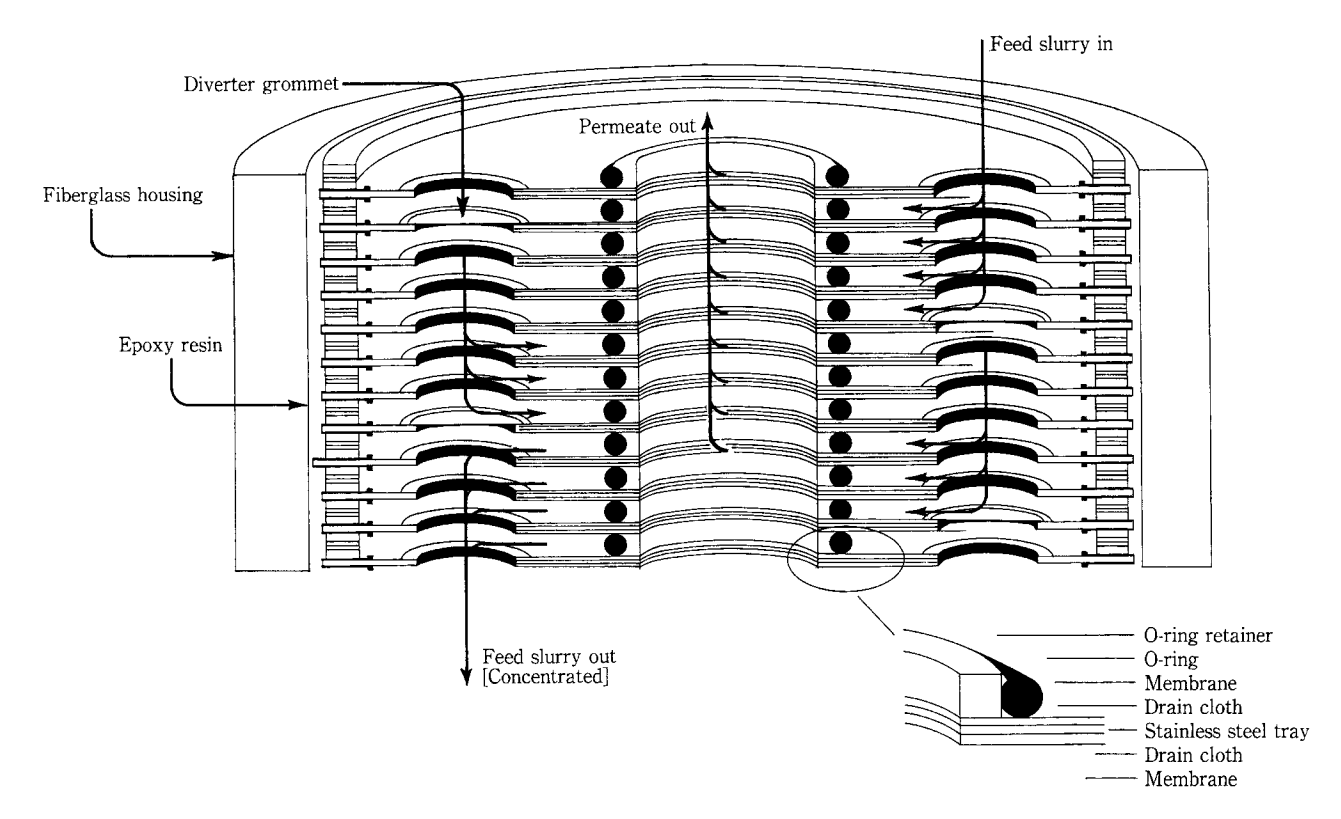
# 2. 振動型膜分離装置のフィルターパック 概要及び内部の流動

#### 2. 1 VSEP

第3図に VSEP Series I のフィルターパック内 模式図を示す。フィルターパックは、SUS304(標 準) プレート上下面に貼られた平膜トレイを, 膜面 積(9~84 m²)に応じて約30~300段FRPパイプ 内に挿入してエポキシ樹脂でモールドされて製造さ れる。膜面積によって膜トレイ間のクリアランスと フィルターパック高さが異なる。クリアランスは3  $\sim 7 \, \text{mm}$ , フィルターパック高さは $450 \sim 1800 \, \text{mm}$ , フィルターパック直径は膜面積によらず約600 mm である。フィルターパックの耐圧は40気圧である。 被処理液の性状によってフィルターパックをデザイ ンするが、たとえば高濃縮する適用例の場合にはク リアランスを大きくするなどがその一例である。フィ ルターパック上部から供給された被処理液は濾過さ れながらフィルターパック下部より濃縮液として排 出され、透過液はフィルターパック中心部に集水さ

れ上部より排出される。フィルターパックには仕切板が挿入されており、1パスで運転できるように上段部で仕切間隔を大きく、濾過されて膜面上を流れる流量が少なくなる下段部では仕切間隔を小さくとり膜面上の流速を確保できるように設計されている。

振動型膜分離装置の技術的本質は、比較的高圧で 運転させて透過流束を大きくとることにある。この 際膜表面にゲル層が形成されるが、そのゲル層の形 成効果と振動によるゲル層の剥離効果が平衡状態に 達した時に透過流束が安定する。この平衡状態はク ロスフロー型のような従来型にくらべて比較的高い 圧力において形成され、透過流束は後節で示すよう にクロスフロー方式に代表される従来技術の3倍以 上になることが確認されている。透過流束がいった ん安定するとかなりの長時間,透過流束をほぼ一定 に保持できる。被処理液が無機系のスラリーであれ ば約1時間程で平衡状態に達し、その後は安定した 運転が継続できる。有機物を含む排液などの処理の 場合には、膜の分画サイズよりもはるかに小さい低 分子有機物が膜内部を徐々に汚染するため透過流束 はわずかずつ低下する傾向がある。そのような場合



第3図 VSEP フィルターパック内流れの模式図

Fig. 3 Schematic diagram of the flow in VSEP filter pack

には薬品洗浄を運転モードの中に組み込み定期的に 膜の洗浄を行い透過流束を回復させる必要がある。

#### 2. 2 PALLSEP<sup>2)</sup>

写真1にPALLSEP本体据え付け例を,第4図にPALLSEPのフィルタースタック内の流れを模式的に示す。膜は透過液流路溝があるSUSプレートの上下に装着されており外周部に供給液孔,内周側に還流液孔が一定間隔で設けられている。被処理液はスタック下部より供給液孔に分配された後エレメント円周外側より膜面流路に流入する。膜面流路に流入した処理液は濾過されながらエレメント中心部へ流れ濃縮液として円周外側より流出される。膜を透過した液はエレメント中心部に集水されてスタック上部より流出する。これらフィルターエレメントは分解可能であり膜表面の汚染状況や洗浄の効果を確認することができる。

PALLSEP の 1 エレメントあたりの膜面積は0.4  $m^2$ であり  $1\sim100$ エレメントまで装着可能となっている。0.4  $m^2$  (1 エレメント) はおもに膜選定等テスト目的として用い,フィールドテスト,実機対応用としては $10\sim100$ エレメント( $4\sim40$   $m^2$ )まで必要に応じて膜面積を調整することができる。

写真 1 Pallsep の全体配置の一例 Photo. 1 Pallsep unit with assembly

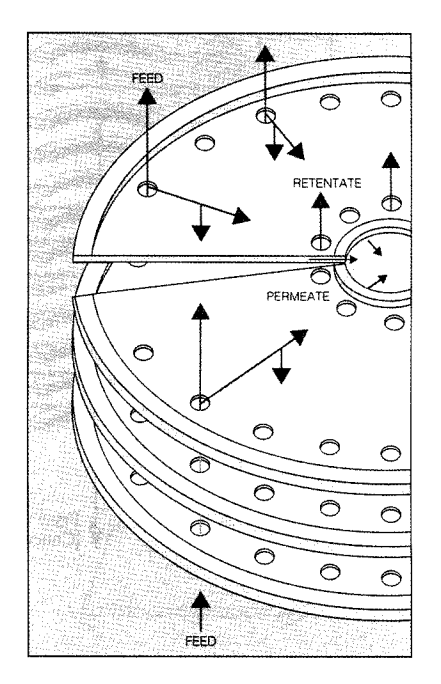
# 3. 振動型膜分離装置 (VSEP, PALLSEP) の基本的フローシステム

#### 3. 1 VSEP

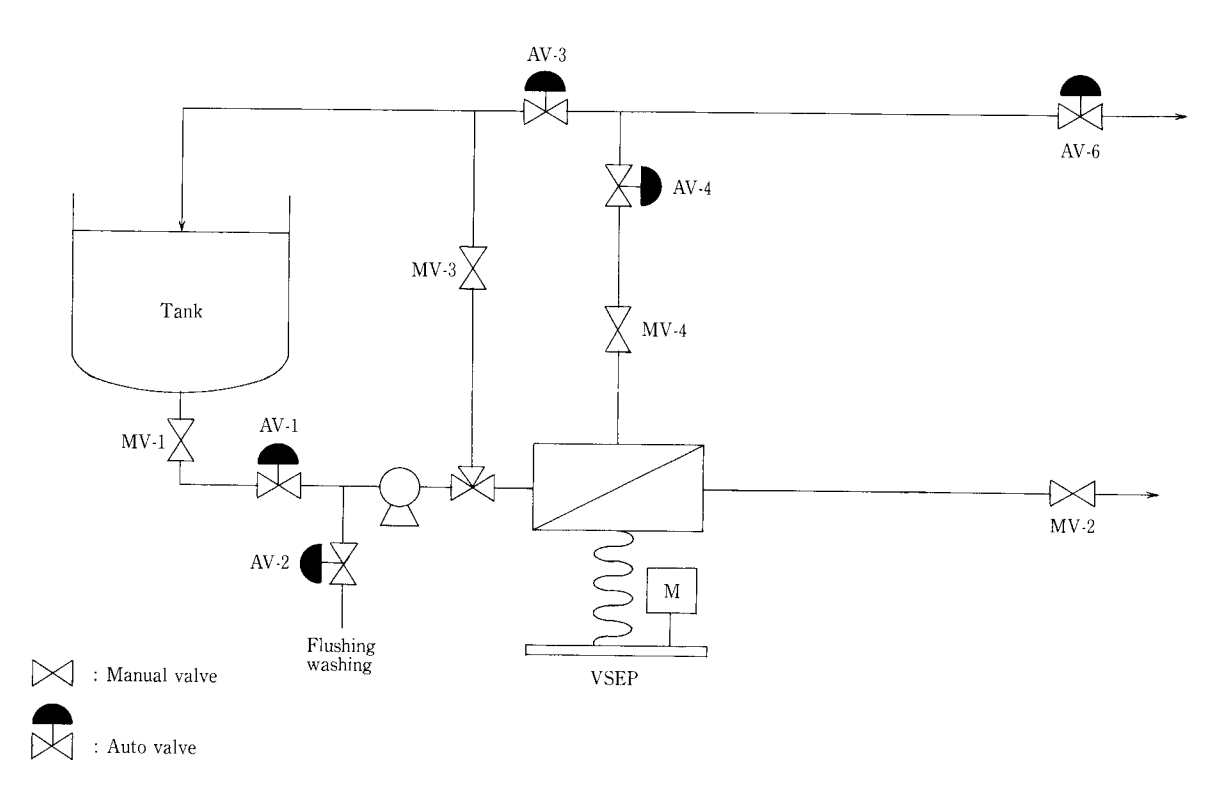
第5図に振動型膜分離装置(VSEP)の基本フローシステムの一例を示す。フィルターパック上部に取り付けられている流入管と透過液流出管には振動を吸収するためにフレキシブルホースが使用されている。被処理液はポンプによりフィルターパック上部より供給され透過液と濃縮液に分離され、フィルターパック上部と下部よりそれぞれ排出される。配管各所に自動弁を設置するが、これらは自動運転モードになった場合、運転停止時のフラッシング、膜の洗浄などをPLC(Programable Logic Controller)を介して自動制御を行う際に使用される。

#### 3. 2 PALLSEP

基本的なフローシステムは VSEP のそれとほぼ 同一であるが、最高使用圧力が60 psi であるため、フィルターパックに取り付けられている供給、透過液、濃縮液配管には樹脂製のフレキシブルホースが使用されている。PALLSEP は VSEP とは異なりフィルタースタック内部に仕切板がないため被処理液は各エレメントに同濃度で流入し同濃度まで濃縮される。フローシステムは第5図に示すフローか濃縮液を還流液として供給タンクに戻すフローを基本としている。処理液性状・処理方法によりフローシステムを使い分ける。



第4図 Pallsep フィルターパック内の流れの模式図 Fig. 4 Schematic diagram of the flow in Pallsep filter pack



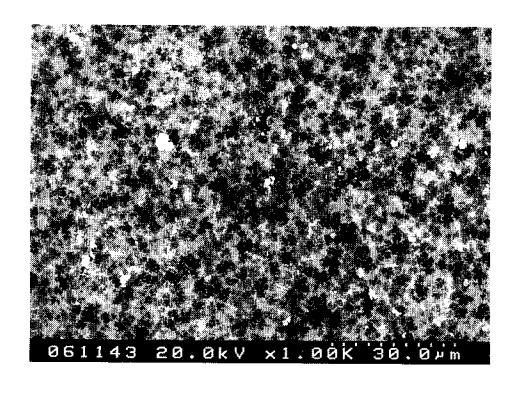
第5図 VSEPシステムのブロックフロー図 Fig. 5 Block flow diagrams of VSEP system

# 4. テスト方法

#### 4. 1 VSEP

振動型膜分離装置の適用を検討する際には、膜面積算出、水質確認も含めてテストが必要になる。テストはまず膜の選定から行われる。当社では30種類以上の膜種からプロセス目的に合致した膜を選定し、平膜テスト装置及び Series L (膜面積0.045m²)を使用して膜性能の確認を行う。膜の選定時には膜材質、孔径、分画性能、塩阻止率を考慮する。 Series Lでは実際に振動を加えてテストを実施するが、限られた量のサンプルでは透過流束低下等の長期予測は困難であるため、透過流束の推移は現地のサイドストリームを使用するテストにより確認を行う。

Series Lのテスト終了後には Series P(膜面積  $1.5 \text{m}^2$ , パイロット)または Series I(実機)を用いて実際に1パス濃縮テストを実施し、Series L で得た性能を実モジュールで評価する方法を採用している。 Series L は約60 Hz、 Series P は約47 Hz、Series I は約50 Hz でそれぞれ操作されるため、透過流束のせん断速度(振幅、振動数)依存性等を把握することが実際の膜面積を決定する上で重要になってくる。通常透過流束はせん断速度に比例する場合が多いが、サンプル物性(SS 濃度、粘度等)により比例係数が異なる。



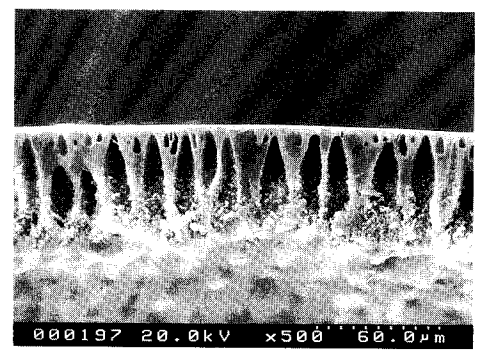
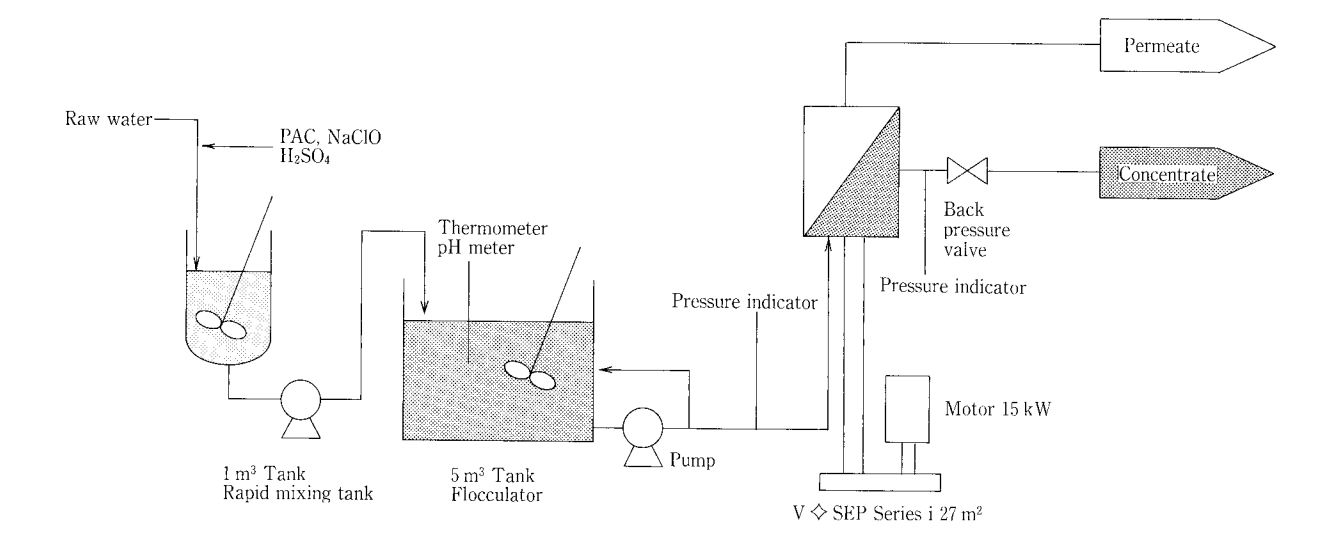


写真 2 UF膜の表面と断面SEM写真
Photo. 2 SEM photograph of UF membrane, surface and cross sectional area

第1表 膜リスト Table 1 Membrane list

Material/Backing	Membrane Class	Temperature [°C]	Hd	Pressure [psi]
45CFM Film/Polypropylene		130	$1 \sim 13$	$50\!\sim\!200$
Teflon/Polypropylene		130	$1 \sim 13$	$50\!\sim\!200$
Teflon/Polyethylene		130	$1\sim 13$	$50\!\sim\!200$
Teflon/Polypropylene		130	$1\sim 13$	$50 \sim 200$
Teflon/Polypropylene		130	$1 \sim 13$	$-20 \sim 200$
Teflon/Polypropylene		130	$1 \sim 13$	$-20 \sim 200$
Teflon/Polypropylene		130	$1\sim 13$	$50 \sim 200$
Teflon/Polypropylene	MF $0.1 \mu$ m	130	$1 \sim 13$	$50\!\sim\!250$
D.1	( 50 0) ODIM 000 001 EII	45	0 - 10	001
rolysuilone/ rolysuilone	100 000	40	$5.0 \sim 1$	0.00
Regenerated Cellulose/Folypropylene		0 %	$1\sim12$	007~00 , , 101
Polyetnersullone/ Polypropylene	20 000	90	1 ~ 14	TUKg/cm <sup>2</sup>
Fotyaramid/Fottypropyiene	UF 30 000 INIWCO	00	$1 \sim 13$	067~00
rolysuitone/rolysuitone	000 05	90	012.1	0.10
Regenerated Cellulose/Polypropylene	30 000	0/	$1 \sim 12$	20 250 250 250
Polyolefin/Polyester	20 000	40	$2\sim 11$	$5 \mathrm{kg/cm}^2$
Regenerated Cellulose/Polypropylene	10 000	20	$1\sim 12$	$50 \sim 250$
Polyimide/Polysulfone	10 000	20	$1\sim\!11.5$	$150 \sim 300$
Polyimide/Polysulfone	UF 8000 MWCO	20	$1 \sim 11.5$	$150\!\sim\!300$
Sulfonated nolvethersulfone/Polvsulfone	NF 10 % NaCl reject	40	2~11	200~400
Sulfonated Polysulfone/Polysulfone	10 %	08	$2\sim 12$	200~400
Polvethersulfone/Polvnronvlene	10 %	06	$1\sim 14$	$40 \text{kg/cm}^2$
Sulfonated Polysulfone	20 % NaCl	8 8	$2\sim12$	200~400
Sulfonated Polysulfone/Polysulfone	35 % NaCl	8 8		000 ~ 400
Aromotic Polysmido/Polysmilfone	40 % NaCl	8 4		004-007
Calfornated Delicational for / Delication	50 % N2CI	04		200 400
Sullonated Folyethersullone/Folysullone	2 2	90	}	200~450 400
Cellulose acetate/ Folypropylene	9 20 20	දි දි	S	200∼400 ££; ′, °
Polyamide & Polysultone/Polypropylene	$ m NF$ 50 % NaCl reject (200 $\sim 300  m MWCO$ )	06	$2\sim 11$	30kg/cm²
Proprietary thin-film/Proprietary	NF 80 % NaCl reject	50	$1 \sim 11.5$	$250\!\sim\!500$
		9		0
Polyvinyl alcohol derivative/Polyester	NF 85 % NaCl reject (180MWCO)	40	80 ∼	$250\!\sim\!450$
Polyimide/Proprietary	% 26	20	$2\sim11.5$	$250\sim500$
Fully Aromatic Polyamide/Polyester	98	45	$4 \sim 11$	$350\!\sim\!500$
Polyamide Urea/Polyester	% 66	45	$4 \sim 11$	$250 \sim 500$
Polyimide/Proprietary	RO 99 % NaCl reject	20	$1 \sim 11.5$	$250\!\sim\!500$



第6図 VSEPを使用した河川水濾過プロセス

Fig. 6 Block flow diagram of river water filtration using VSEP system

テストでは膜へのファウリング特性把握,洗浄方法の検討も行う。膜表面の状態観察には走査型電子顕微鏡(SEM),エネルギー分散型 X 線分析 (ED X),フーリエ変換赤外分光分析法(FTIR)等を使用しており,膜表面のファウリング物質等を特定する技術として活用している。写真 2 は UF 膜の表面状態と断面の写真撮影結果の一例である。

# 4. 2 PALLSEP

PALLSEP のテストは実機で行う。膜選定のための基礎テストは VSEP とほぼ同一であり、実際の顧客サンプルと平膜試験装置等により適用膜種を選定する。いったん膜種が選定されるとフィルターエレメントを実機に装着してフィールドにおける実液運転を実施して透過流束の推移を確認する。

#### 5. 膜の種類

振動型分離装置(VSEP)に装着できる膜は MF 膜から RO 膜まである。これら膜は米国、ドイツのメーカーを中心に約10社から供給を受けておりそのスペック概要は**第1表**に示すとおりである。膜により pH, 温度上限,加圧限界等制限がある。

PALLSEP へ装着できる膜スペックは孔径 0.45, 1 ミクロンの MF 膜 2 種類となっている。

また膜のメンテナンスや洗浄に関して材質とマッチした薬品の選定等が不可欠になる。その多くは膜製造メーカーより推奨されている薬品を使用することになるが、当社においても膜表面の状態観察やフィールドにおける洗浄テスト等をとおして、適用プロセ

スに最適な薬品洗浄方法の確立をめざしている。

#### 6. VSEP の実績及びテスト結果

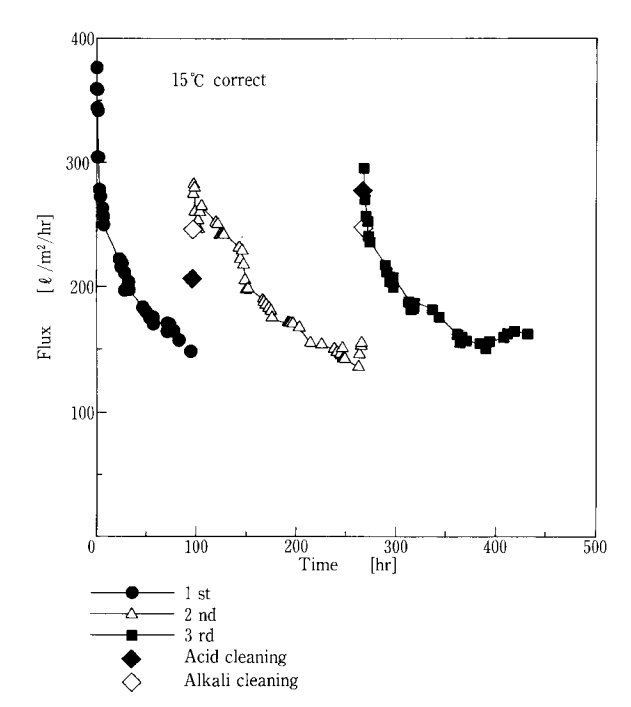
ここで示しているデータは VSEP Series L を使用して得られたデータであり、 VSEP の概略性能を調査するためになされたテスト結果である。実際にはフィールドにおける長期テストを実施して透過流束の推移を見極める必要がある。

#### (1)河川水濾過

N社T工場に導入が決まり商業運転に入っている VSEP Series I  $(84 \, \mathrm{m}^2)$  6基について,導入前の ラボテストから実機導入にいたる一連のテスト経緯 について説明する。 $^{51}$ 

第6図に処理プロセスのブロックフローダイアグラムを示す。河川より取水した原水は、ラインにPAC(ポリ塩化アルミニウム)を注入後急速攪拌槽に供給され、PACと原水を槽内で瞬時に反応混合させる。その後緩速攪拌槽に供給された原水はフロッキュレーションを経てVSEPに供給される。VSEPにより膜分離された透過液は工場へ送水され、濃縮液は水処理を経て工場外へ排出される。

通常,膜分離の前処理にPACを使用すると膜の 閉塞が懸念されるが、VSEPでは膜表面に大きな 流体せん断力を発生させているため、従来からの膜 分離装置にくらべて高スラリー濃度の処理が安定し て継続できる。また水質が年間を通して大きく変化 する河川水の場合には前処理としてPAC注入量を 変化させて濁質、色度成分、有機物、金属等を取り



第7回 透過流束の時間依存性及び薬品洗浄の効果と回 復率

Fig. 7 Influence of permeate flux on time, and the effect of chemical cleaning and its recovery

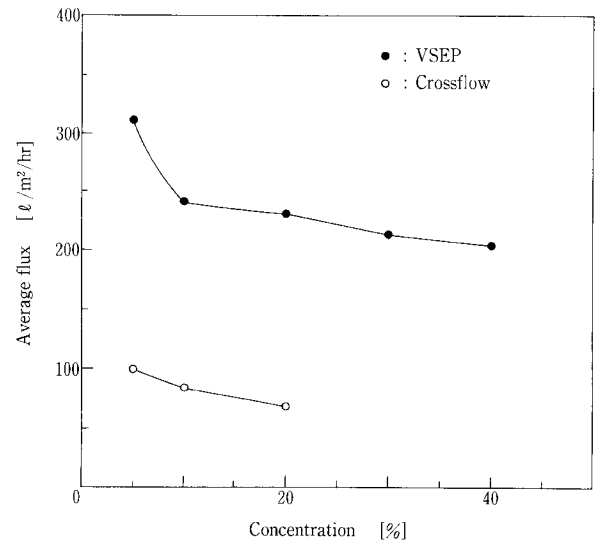
込む最適注入条件を見いだすことが安定した水質の水を生産する上で極めて重要になる。このように変化する薬注量に対して VSEP は耐ファウリング性に対して大きなフレキシビリティを有することが採用決定の大きな要因となった。

第7図は VSEP Series Lによる運転結果を示した結果である。 $150\ell/m^2/hr$  (以降 LMH)となった時点で洗浄を行った。河川水には UF 膜では分画できない低分子有機物が多く含まれており、これら低分子有機物が膜内部を汚染するため定期的な薬品洗浄は必要であると考えられる。テストでは全操作時間430時間の間に 3 回薬品洗浄を行った。いずれも薬品洗浄を行うタイミングではなかったが、薬品洗浄方法を確認するために敢えて行ったものである。薬品洗浄には酸とアルカリを併用した。 3 回の洗浄とも初期透過流束に対して回復率は $75\sim79$ %になっており、酸とアルカリのファウリング物質に対する薬品洗浄性は妥当であると判断された。

#### (2)炭酸カルシウム

炭酸カルシウムは極めて広い産業分野で使用されている基礎化学品である。石灰石を原料として化学 反応法で製造されるプロセスが多い。

第8図は VSEP Series Lを用いて化学反応法で 製造された炭酸カルシウムスラリーを用いて濃縮テ ストを行った結果を、従来技術のクロスフロー濾過



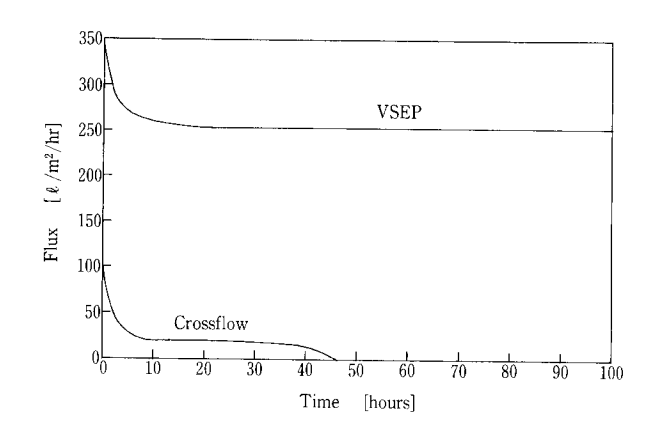
第8図 炭酸カルシウム濃縮テスト結果 (VSEP とクロスフロー濾過との比較)

Fig. 8 Comparisons of VSEP and crossflow separations using calcium carbonate

と比較して示した結果である。膜には分画分子量 8000 (ポリスルホン・ポリアミド合成膜) の UF 膜 を使用した。VSEPを用いることで入口濃度約4wt %の炭酸カルシウムスラリーを 45 wt%付近まで濃 縮できることが示されている。このような高濃縮が できる理由は次のように説明できる。すなわちスラ リー濃度がおよそ 50 ~55 wt%以下の炭酸カルシウ ムに強い流体せん断を与えると、スラリーはみかけ の粘性係数が低下する。この特性をチキソトロピー 性と呼称しているが、この性質は多くのスラリーに 見られる特性であり VSEP 技術により高濃縮を実 現する原動力ともなる。フィルターパック内ではた とえ50 wt%を越えるスラリーであってもフィルター パックそのものが強く振動しているためみかけ粘度 としては低い値になる。そのためフィルターパック 内ではスムースな流動が期待できるが、いったんフィ ルターパックから排出されたスラリーはせん断を受 けていないので流動性が悪いスラリーに変化する。 一方従来技術では約20 wt%で膜が閉塞し濾過が継 続できなかった。これはクロスフローでは膜表面で 速度が必ずゼロであるためエネルギーの大半を消費 する乱流本流までの速度境界層が厚いことにより. 速度が小さい部分にスラリーが堆積することが原因 となっている。

#### (3) ラテックス

ラテックスも炭酸カルシウムと同様に広く産業分野で使用される基礎化学品であり、重合反応法により製造されている。ラテックスの種類も多く(ABS,



第9図 ラテックス膜分離における透過流束の変化 (従来クロスフロー型との比較)

Fig. 9 Comparisons of VSEP and crossflow separation using latex

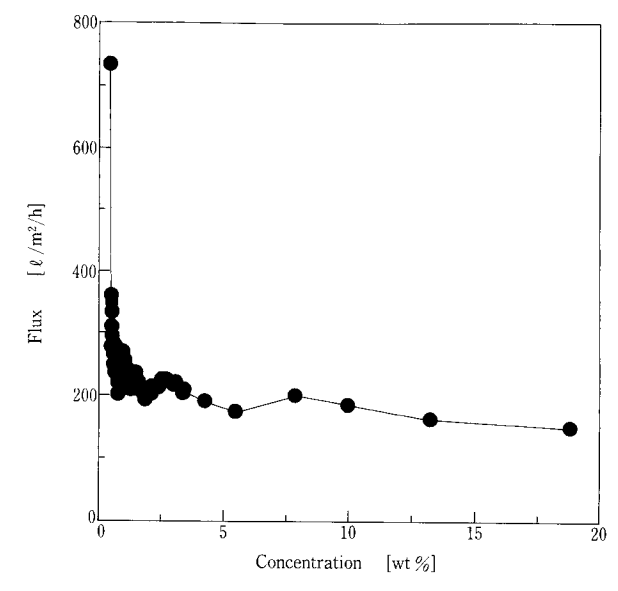
SBR, PVCなど) その重合形態はそれぞれ異なるが、おもに懸濁重合、乳化重合法が使用される。いずれも水系を溶媒とする反応系であり、有機溶剤または残留モノマーが少ない製造プロセスに対して、有機膜(VSEP)が適用できるアプリケーションになる。具体的適用は重合反応製品のさらなる濃縮、重合缶や貯蔵タンクなどの洗浄排液からの製品回収等付加価値の高い適用分野のひとつと考えられる。

第9図は VSEP を用いてラテックスの実液運転結果をクロスフロー式と比較して示したグラフである。膜には UF 膜を使用し、初期濃度 9 wt%のラテックスを使用している。テストの期間中透過流束低下はほとんどみられなかった。このアプリケーションも炭酸カルシウムと同様にラテックス粒子 (0.1~1ミクロン)の膜面への付着挙動と振動による剥離効果が平衡に達した段階で透過流束が安定する例の1つである。またラテックスの多くはチキソトロピー性を有するため、振動型膜分離装置に最も適したアプリケーションである。

# (4) シリコンウエハ切削排水

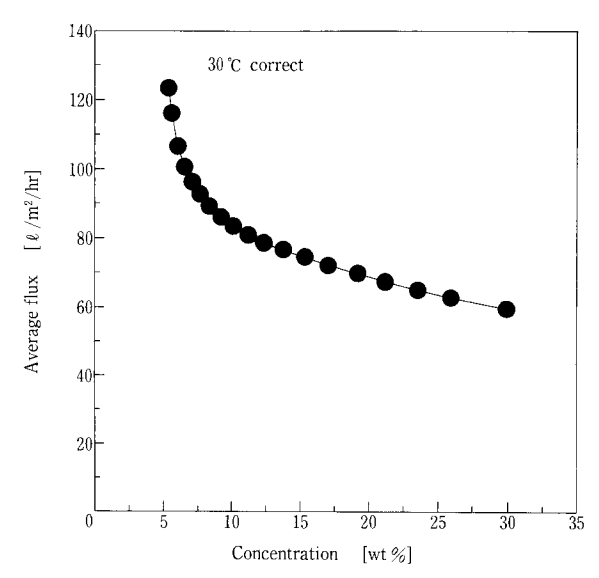
半導体工場ではシリコンウエハを切削するプロセスに純水が使用されている。現状多くのプロセスでは凝集沈殿やセラミックフィルターなどを使用してシリコン切削屑を回収、投棄している。前者は従来からの処理技術であり設備規模も大きくメンテナンスに人手を要するという欠点がある。また後者は近年よく用いられるようになった技術であり、シリコンと純水を完全に分離することができるが濃縮率に限界がある。

VSEP を用いて両者の欠点を克服することが可



第10図 透過流束におよぼす濃度の影響(半導体工場シリコン切削屑廃液)

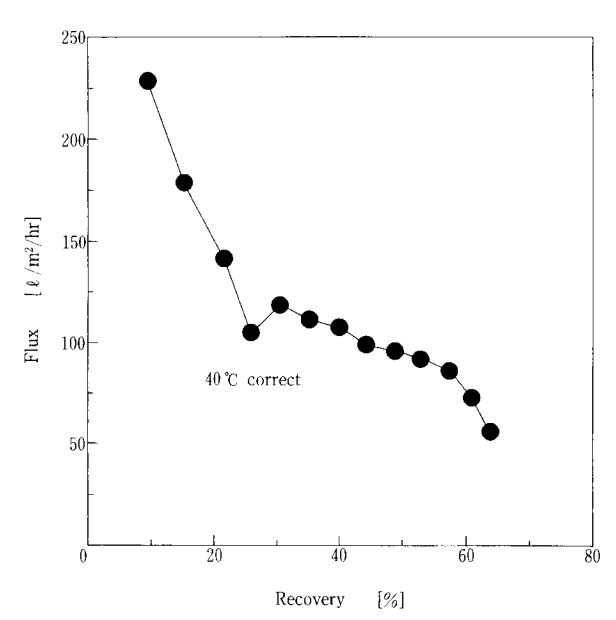
Fig. 10 Effect of concentration on permeate flux using waste stream from semiconductor factory



第11図 透過流束におよぼす濃度の影響(イースト廃液) Fig.11 Effect of concentration on permeate flux using waste stream of yeast pharmenter

能である。第10回は VSEP Series Lを用いて透過流束におよぼすスラリー濃度の影響を測定した結果である。膜には MF 膜(0.1  $\stackrel{?}{=}$   $^{?}$ 

この適用に関して今後は実サイトにおける長期連 続運転が不可欠になる。有機膜のシリコン切削屑に 対する膜の機械的強度調査は無論のこと,高濃縮操 作を長期間安定して行えることを確認する必要があ る。



第12図 透過流束におよぼす回収率の影響(製紙排水) Fig.12 Effect of recovery ratio on permeate flux using paper mill effluent

第3表 Pallsepの医薬・食品プロセスにおける適用例
Table 3 List of applications of Pallsep for food and pharmaceutical processes

# (5) 食品排水

2000年に産業排水の海洋投棄が規制される動きがあり、それにあわせて COD (化学的酸素要求量), BOD (生物化学的酸素要求量) 削減が食品製造メーカーにとって急務となっている。活性汚泥法に代表される生物化学的処理方法等では処理液水質が放流規制値をクリアできない、設置面積が大きい、悪臭等問題点が多い。膜分離法はこのような既存技術のもつ問題点を解決し、しかも COD, BOD 削減に対して大きな可能性をもつ分離技術として注目されている。

第11図はイースト廃液を VSEP Series L に NF 膜 (ポリスルホン系合成高分子膜:塩阻止率 20%)を取り付けて、初期濃度 5~6 wt%の原液を 30%程度まで濃縮した結果を示したグラフである。30 wt%までの濃縮で平均透過流束約 50 LMH となっており、高い透過流束と従来法では達成が困難な濃度域まで VSEP で処理できる可能性が示された。

第 2 表 水質分析結果 Table 2 Results of water analysis

	Original water [ppm]	permeate water [ppm]	Rejection ratio	
SS	128	0	100	
COD	444	8.6	98	

#### Food processes

Application	Description	Notes
Wine	clarification	100 LMH
Gelatine	clarification	40 LMH (at 4 %)
Skim milk	fat removal	100 LMH
Casein	remove off flavors	50 LMH
Coffee	clarification	40 LMH
Apple juice	clarification	100 LMH
Tea	remove tea leaves	15 LMH
Sugar	clarification	50 LMH
Corn "mud", glutein	oil protein removal	100 LMH
Corn hydrogenerated oil	remove catalyst	100 LMH
Soy sauce	remove crystalline protein	350 LMH
Xanthan gum	concentration prior to extraction	60 LMH (2-3 X)

[LMH=L/m²/hr]

#### Pharmaceutical processes

Baker yeast	Basic study	
Hep B vaccine	clarification	
Fungal biomass	cell separation	
Bacterial biomass	cell separation	
Bacterial biomass	cell separation	
Renet	cell concentration	

排液には膜を通過する低分子有機物を多く含むため、 膜の定期的な洗浄が欠かせないものと考えられる。 (6) 製紙排水

製紙工場における水の使用量は膨大であり、それら排水を再利用することは、水使用量低減によるコスト削減効果面のみならず上記排出規制もクリアすることから環境保全面からも早急に取り組むべき課題であると認識されている。製紙工場には漂白排水、白水、ブラックリカーなど膜分離の対象となる排水が多い。

第12図は VSEP Series Lに NF膜(ポリビニルアルコール系合成膜:塩阻止率80%)を取り付けて,製紙排水(白水)を処理した場合に得られた回収率と透過流束との関係である。回収率70%で平均透過流束120 LMHを得ることができた。本適用例では NF膜を使用しているものの,膜面に付着したり膜を通過する COD 成分(低分子有機物)があり,定期的に洗浄を必要とするアプリケーションの一例でもある。第2表に示すように,透過液のCOD 除去率は98%となっており,水の再利用条件を十分に満足する水質を得ることができた。

# 7. PALLSEP の実績と適用分野

医薬・食品分野の適用例をそれぞれ第3表に示す。 PALLSEP は発酵培地の清澄濾過,製品回収,菌体の分離・濃縮,ライセートの濾過,シロップ・スターチの濃縮・清澄濾過,清涼飲料水・酒類・植物 油の清澄濾過,珪藻士濾過の代替装置,廃液中からの菌体・蛋白・脂質の回収・濃縮等に適用可能である。

#### むすび

振動型膜分離装置 VSEP とそのサニタリー仕様機種である PALLSEP の機器説明とそれらの日本国内における適用例を紹介した。膜分離装置ゆえ長期にわたる膜透過流束の検証が不可欠であり,導入前の検討に時間を要するのが現状である。そのような中で販売開始から1年足らずで日本市場において5プロセス15基を受注したことは,振動膜の技術が現状の問題点を解決する手段になりうることを明確に示している。今後は多様な膜素材に対して,物理的・化学的な検討を加え膜選定,膜の運転管理に対して科学的なデータを提供していく予定である。体力学的解析などをとおしてファウリングがいかに防止または抑制されるのかという点をアプリケーション毎に明らかにしていく予定である。

#### 「参考文献]

- 1) US. PAT No.4952317, 5014564
- 2) 高田一貴:第9回秋季研究会例会講演要旨 食品膜技術 懇談会(1997), p46-p55
- 3) ポールニュース, Vol. 80, 春 (1997), p3-p4
- 4) Filtration & Separation, Vol. 34, No.6 (1997), p568-p570
- 5) 藤井ら:神鋼パンテツク技報 Vol.41, No.2 (1997), p58

連絡先

高田一貴 技術開発本部 小 西 嘉 雄 技術開発本部 谷 田 克 義 技術開発本部 (工学博士) 研究開発部 研究開発部 研究開発部 TEL 078 - 992 - 6525 TEL 078 - 992 - 6525 TEL 078 - 992 - 6525 FAX 078 - 992 - 6504 FAX 078 - 992 - 6504 FAX 078 - 992 - 6504 E-mail k.takata@pantec. co.jp E-mail y.konishi@pantec. co.jp E-mail k.tanida@pantec. co.jp 竹 尾 由 重 技術開発本部 研究開発部 TEL 078 - 992 - 6525 FAX 078 - 992 - 6504 E-mail y.takeo@pantec. co.jp

# 工業用水除濁処理への振動型膜分離装置 「VSEP」の適用紹介

Application of Vibratory Shear Enhanced Processing (VSEP) for Turbidity Removal of Industrial Water





(環)製品開発室 藤 井 匡 Tadashi Fujii (環)技術部計画第 3 課 山 地 洋 樹 Hiroki Yamaji (環)製品開発室 山 本 和 良 Kazuyoshi Yamamoto

当社が販売を開始している振動型膜分離装置「VSEP」は、膜面に常に水平振動を与えることにより、膜の目詰まりや流路の閉塞を防止し、高透過流束の長期維持を可能とした膜分離装置である。

本稿では VSEP の特長とともに、河川表流水を水源とする工業用水の精密除濁処理目的に納入した国内初の実績例を紹介する。

VSEP (Vibratory Shear Enhanced Processing) has high fouling- and plugging-resistance on the membrane surface because of the movement in a vigorous vibratory motion tangent to the face of the membrane, and can attain stable high flux continuously.

This paper introduces VSEP, and reports an example of application of VSEP for turbidity removal of industrial water originated from river water.

### Key Words:

振動膜ろ過 V S E P 工業 用 水

除

去

質

Vibratory membrane filtration VSEP Industrial water Turbidity removal

#### まえがき

当社は、米国 NEW LOGIC INTERNATIONAL 社により開発された振動型膜分離装置(Vibratory Shear Enhaced Processing=VSEP)の国内販売を開始している。この装置は膜モジュールであるフィルターパツクを水平円周方向に振動させることにより膜表面に高水平せん断力を与えるという特長ある機構を有しており、被処理液によるファウリング(膜の目詰まり)やプラッギング(流路の閉塞)を

濁

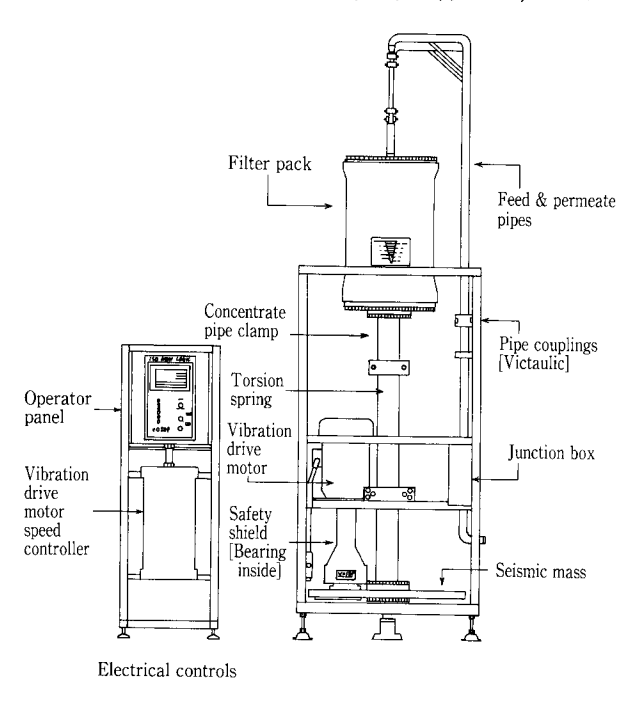
大幅に抑制することが出来ることを特長にしている。 従って、従来型クロスフロー膜分離装置に較べて、 高い透過流束の維持が可能であり、また従来型クロ スフローろ過装置では処理が困難であった高濃度ス ラリーの処理が可能となっている。

本報では、高色度で年間を通して水質変動の激しい、北海道勇払川表流水を水源とする工業用水の除 濁設備に VSEP を適用した国内初の実績例につい て、その設備概要と運転結果を報告する。

#### 1. VSEP の概要

#### 1.1 VSEP の構造, 原理

第1図に VSEP Series i の模式図を示す。モーターの駆動軸には偏心ベアリングがとりつけられており、この軸を高速で回転させることにより軸下部に連結したサイズミックマス(Seismic mass)を水平方向に振動させる。この振動によるサイズミックマスの慣性力はトーションスプリングのねじれを介して上部フィルターパツクに伝達され、フィルターパツクを水平円周方向に振動させる。この繰り返し振動は周波数約 50 Hz で連続的に行われ、フィル



第1図 VSEP Series iの外形図 Fig. 1 Outside view of VSEP Series i

ターパツク内に多段に重ねられた平膜上に強力な水 平せん断力を発生させ膜面のファウリングを低減さ せる。

第2図にフィルターパツクの内部構造を示す。原水はフィルターパツクの上部から供給され、各段の間隙を水平に流れてろ過され最終的に濃縮液としてフィルターパツク下部より排出される。また膜によりろ過された清澄水はフィルターパツク中心部へ流れその上部から排出される。

#### 1.2 VSEP の特長

1)ファウリング低減による高透過流束の維持 フィルターパツクに水平円周振動を与え、膜面 に高せん断力を発生させることによりファウリン グを防止し、膜面が常にろ過容易な状態に保たれ る。従って、従来型クロスフローろ過装置にみら れるファウリングによる流束低下が少なく、長期

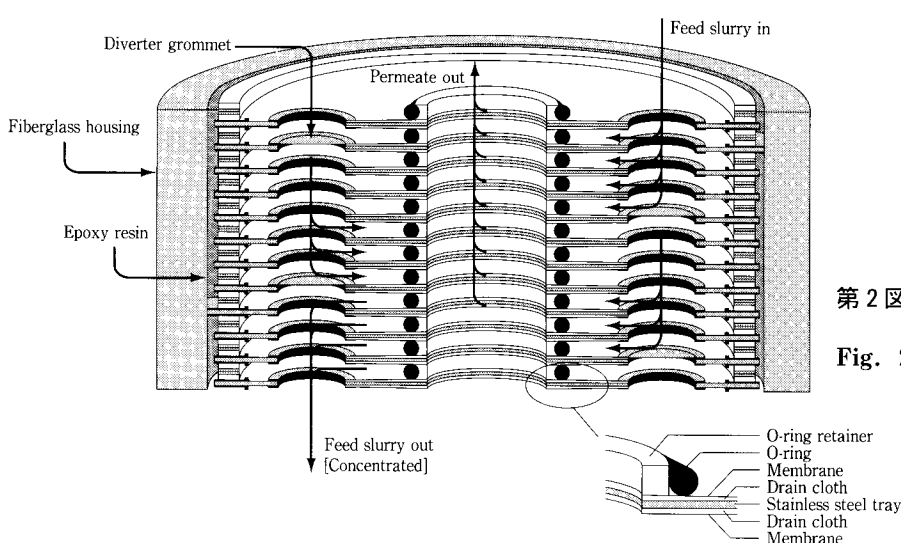
間安定した高流束の維持が可能となっている。

#### 2) 高濃縮が可能

従来型クロスフローろ過装置では処理液の粘性 (スラリー濃度) が大きくなると膜面のせん断力 が低下するため膜面にファウリングを生じる。 VSEP では膜面に振動を与え、膜面に高せん断力を発生させファウリングを防止すると同時に高 濃縮スラリーの流動性を助長するため、高濃縮が 可能となっている。

#### 3) 高効率

従来のクロスフローろ過装置の場合,循環ポンプによる送液エネルギーが膜面のファウリングを防止するせん断力へ変換される効率は約10%程度と小さい。VSEPでは膜面に与えられる振動エネルギーの大半が膜面近傍の流体にせん断力と



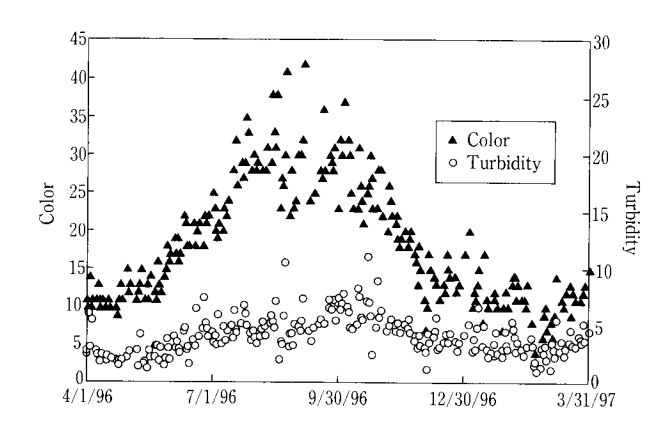
**第2図** VSEP Series i のフィルターパックの内部構造

Fig. 2 Cross sectional view of filter pack for VSEP Series i

Table 1 Design condition of the plant for turbidity removal of industrial water

Maximum flow rate of treated water: 1440 m³/d (60 m³/h)

Quality		Industrial water	Treated water
Temperature	$(\mathcal{C})$	0~15	<17
pH	(-)	$6.3 {\sim} 6.9$	$5.8 \sim 6.9$
SS	$(mg/\ell)$	_	
TS	$(mg/\ell)$	$70 \sim 116$	
Color	(unit)	$16\!\sim\!67$	<1
Turbidity	(unit)	$4 \sim 16$	< 0.1
Permanganate value	$(mg/\ell)$	$2.1 \sim 4.1$	<1
M-alkalinity	(CaCO₃, mg/ℓ)	$19 \sim 25$	_
Chloride ion	$(mg/\ell)$	$4.6 \sim 6.0$	_
Nitrate and nitrite ion	$(mg/\ell)$	$0.1 \sim 0.6$	_
Total hardness	(CaCO₃, mg/ℓ)	$25\!\sim\!27$	<del></del>
Calcium hardness	(CaCO₃, mg/ℓ)	$14.8\!\sim\!16.8$	<u></u>
Total iron	$(mg/\ell)$	$0.2 {\sim} 1.9$	< 0.05
Solubility iron	$(mg/\ell)$	$0.12{\sim}1.2$	<del>-</del>
Aluminum	$(mg/\ell)$		< 0.05
Ionic silica	$(mg/\ell)$	$39 \sim 43$	_
SDI	(-)	_	< 2



第3図 勇払川の水質 Fig. 3 Water quality of Yufutsu river

して変換されるため、高効率である。

- 4)高い機械的信頼性と簡単なメンテナンス 駆動部分はトーションスプリング (寿命は半永 久)と偏心ベアリング (自動潤滑)の2箇所だけ であり、メンテナンスが簡単である。
- 5) コンパクトなデザイン  $84 \,\mathrm{m}^2$  の膜面積をもつVSEP の本体設置スペースは  $1.2 \,\mathrm{m} \times 1.2 \,\mathrm{m}$  であり省スペースである。
- 6)低コストの実現 前述の特長のため省エネルギー, 膜面積の減少, 膜寿命の延長, 設置面積の減少を実現しており経 済的である。

# 2. 除濁設備概要

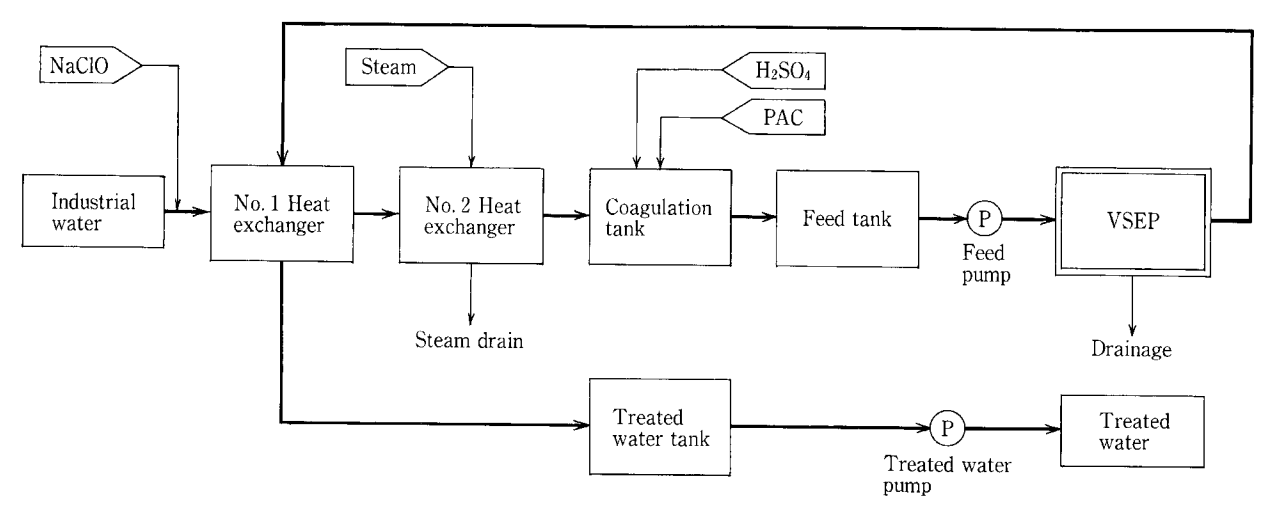
#### 2.1 設計諸元と VSEP 適用背景

今回, VSEP を適用した工業用水除濁設備の設

計諸元を**第1表**に示す。この設備の処理水は、純水装置の原水として使用される他、直接、電子材料等の精密部品の洗浄水としても使用されるため、微粒子数及び有機成分の少ない高レベルな水質が要求されている。

この工業用水は北海道の勇払川表流水を水源としている。勇払川は比較的低濁度であるが北海道の河川に多い有機色度成分であるフミン質を多く含有した河川である。また雪解け時には濁度,色度等の水質指標が急激に悪化する等,年間を通じての水質変動が激しい(第3図)。このような特性を有する河川表流水の除濁設備を計画するにあたり,次の理由により VSEP が最適と考えられ採用されるに至った。

- ① 変動の激しい原水水質に対し、年間を通じて設計処理水質を安定して得るには膜処理の適用が必要である。当工場で従来稼働の凝集砂ろ過処理では設計処理水の確保は困難で、更に夏期の高濁度、高色度時に処理水質が大幅に悪化するという問題があった。
- ② 一般にUF膜では分画分子量が数万以上であるため、フミン酸等の低分子量域の有機色度成分は有効に除去されない。そのため凝集剤により有機成分をUF膜で分離可能なように凝集フロックとして捕捉させることが必要である。
- ③ 原水中の有機色度成分が高濃度であるため,高 濃度の凝集剤添加が必要である。一般的な中空糸 UF装置では,高濁度凝集水を直接膜装置に供給 すると,膜の目詰まりによる流束低下,流路の閉



第4図 工業用水除濁設備のフローシート

Fig. 4 Schematic diagram of the plant for turbidity removal of industrial water

塞を起こす可能性があるが、VSEPではその特長により高濁度凝集水の直接ろ過が可能である。

④ VSEP の高い耐濁質性能により、従来の膜処理設備に必要な濁質除去のための前処理設備(凝集沈澱池、砂ろ過器等)が不要であり、全体設備費、設備面積の低減、工期の短縮が可能である。

#### 2.2 設備概要

工業用水除濁設備のフローシートを**第4図**に示す。 次にそれぞれのプロセス,システムの概要を説明 する。

#### 2.2.1 凝集プロセス

比較的低濁度で高色度の河川表流水を水源とする工業用水に凝集剤(PAC)を添加し、凝集槽(急速攪拌機付)にて凝集反応の促進、原水槽(緩速攪拌機付)にてフロツクの形成とSS沈降防止を行い、膜のファウリング要素である有機成分をフロツク中に充分に取り込む。PACの注入量は現地テスト及びラボテスト実績より、第1表を満足する処理水を得るには、硫酸によるpH調整と共に40~60 mg/lの注入が必要であった。

#### 2.2.2 ろ過プロセス

凝集された工業用水は、UF膜を装着したVSEP (Series i:膜面積 84  $\mathrm{m}^2/\mathrm{E}$ ) に供給され濁質を除去される。VSEP 外観を写真 1 に示す。VSEP 基数は 1 基洗浄停止時に設計水量 $60~\mathrm{m}^3/\mathrm{h}$  を満足することを条件に  $6~\mathrm{E}$  基とした(設計流東 $143\ell/\mathrm{m}^2/\mathrm{h}$  ×膜面積 $84~\mathrm{m}^2/\mathrm{E}$  × 常用基数  $5~\mathrm{E}$  =  $60~\mathrm{m}^3/\mathrm{h}$ )。VSEP は処理水槽の水位に従い供給ポンプに連動して自動起動-停止運転を行う。また頻繁な起動-停止を避けるため、供給ポンプ吐出量は処理水槽の水位に従いイ

ンバータによるモータ回転数制御を行う。

当設備の VSEP 装着膜には、分画分子量 $100\,000$  のセルロース系 U F 膜を用いた。当膜種はラボ機 (Series  $L^1$ : 膜面積 $0.045\,\mathrm{m}^2$ ) による膜選定テスト、及び実機スケールのテスト機 (Series i: 膜面積 $28\,\mathrm{m}^2$ ) による現地テストにより、高い透過流束が安定して得られ、且つ目標処理水質を満足する膜として選定された。セルロース膜へのバクテリアアタックを防止するため、膜供給水にはあらかじめ塩素を

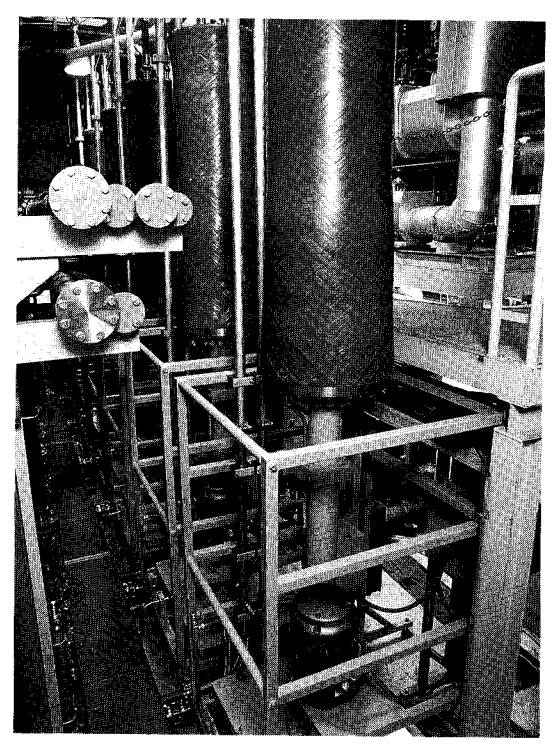
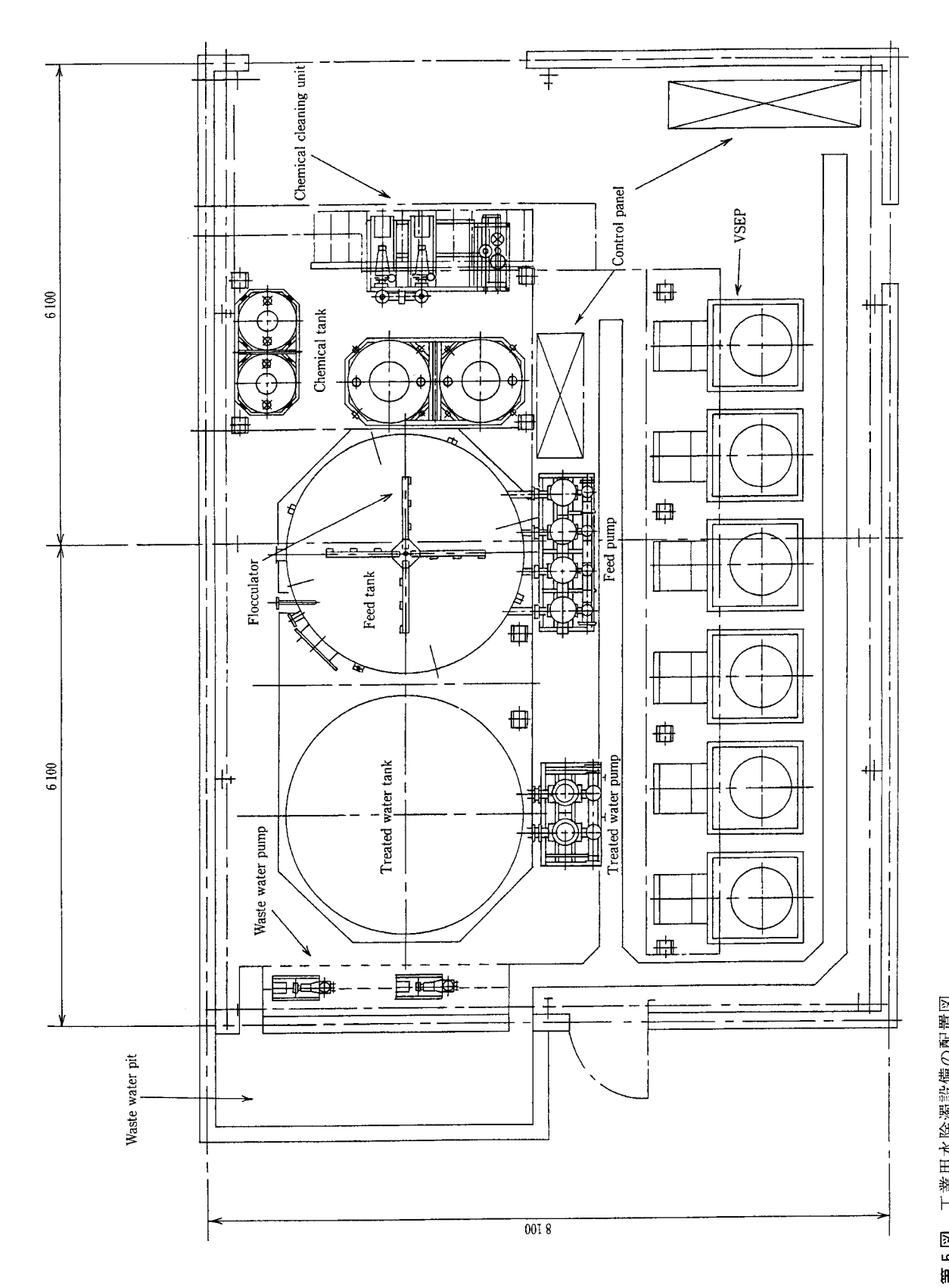


写真 1 VSEP Series i (84m²×6基) Photo.1 VSEP Series i (84m²×6 machines)



第5図 工業用水除濁設備の配置図 Fig. 5 Layout drawing of the plant for turbidity removal of industrial water

注入し殺菌を行っている。

#### 2.2.3 加温システム

年間を通じて $0\sim15$   $\mathbb C$  まで変動する工業用水は、2 段のプレート熱交換器により 30  $\mathbb C$  まで加温され VSEP に供給される。前段熱交換器では熱源として VSEP 処理水(30  $\mathbb C$ )の顕熱を利用し、処理水を設計条件である17  $\mathbb C$  以下に下げ、一定とすると同時に工業用水をある程度の温度まで加温する。後段熱交換器では熱源として蒸気を利用し、30  $\mathbb C$  まで加温する。

VSEP 原水を30  $\mathbb C$  まで加温することにより,膜透過流束は冬期(0  $\mathbb C$ )で2.1 倍,夏期(15  $\mathbb C$ )で1.4 倍となると想定され,必要膜面積の低減を実現している。

### 2.2.4 洗浄システム

工業用水水質の悪化等で膜への負荷が増大し,膜汚染が進行した場合には,自動で酸及びアルカリにより薬液洗浄が可能である。酸洗浄には硫酸(pH:1.0~1.5)を使用し,膜表面に付着した水酸化アルミニウムが主体の金属水酸化物等の溶解除去を膜透過側を遮断して行う。アルカリには苛性ソーダ(pH:11.5~12.0,40℃加温)を使用し,膜内部に侵入したフミン酸等の有機成分の溶解除去を行う。洗浄周期や薬液循環時間は工業用水の水質状況に応じユーザー側で調節容易なシステムとなっている。

#### 2.2.5 水質監視,制御システム

VSEP の処理水水質は、膜の損傷等の万一のトラブルを早期に発見するためレーザー式濁度計(測

定範囲0.0001~1度) により常時監視, 記録するシステムとなっている。

また全設備は自動化されており、運転、監視、設 定値変更のすべてがひとつのタッチパネル上で可能 となっている。

### 2.2.6 設備レイアウト

工業用水除濁設備の配置図を第5図に示す。全設備が12.2 mW×8.1 mL×5.9 mH の建屋内に配置されている。凝集槽及び熱交換器の配置場所は,原水ポンプ及び処理水ポンプ上のスペースを有効に利用しており,コンパクトで合理的な設計となっている。

#### 2.3 主要機器仕様

次に本設備の主要機器仕様を示す。

1) VSEP(設計処理水量 60 m³/h)

型 式:振動型膜分離装置

寸 法:1194 mmW×1194 mmL×

 $5\,175\,\mathrm{mmH}$ 

基 数:6基

(膜仕様)

膜 種:セルロース系UF膜

分 画:100 000 MWCO

膜 型 式:多段平膜型

膜面積:84 m²/基

2) 凝集槽(設計流入水量 70 m³/h)

型 式:鋼製円筒型

寸 法:1400 mm $\phi$ ×1530 mmH

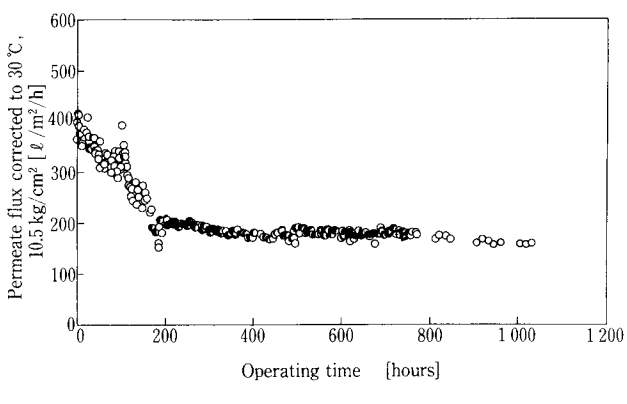
(有効容量 1.8 m³)

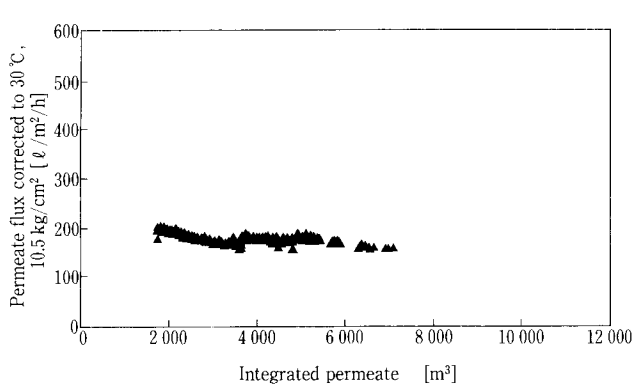
滞留時間:1.5 min

第2表 試運転時の水質分析結果

Table 2 Analysis result of water quality at test-run

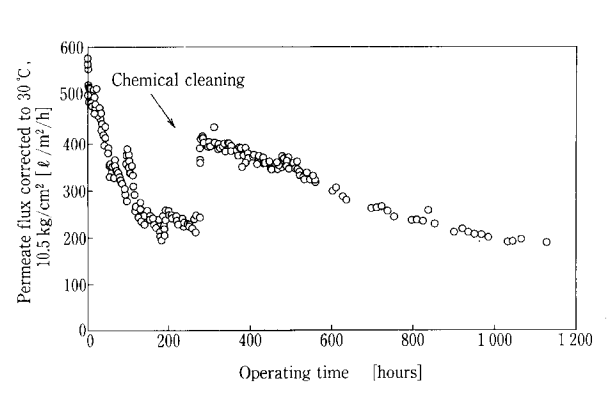
			8/26/97			9/16/97		Designed
Parameter		Industrial	Coagulated	Treated	Industrial	Coagulated	Treated	water
		water	water	water	water	water	water	quality
pН	(-)	7.1	6.6	6.5	6.9	7.1	6.4	$5.8 \sim 6.9$
SS	(mg/l)	2	19		3	20		
TS	$(mg/\ell)$	94	124	98	102	120	96	
Color	(unit)	28	28	<1	28	28	<1	<1
Turbidity	(unit)	2.0	4.2	< 0.1	2.2	5.2	< 0.1	< 0.1
Permanganate value		6.8	7.0	< 1.0	5.9	6.2	< 1.0	<1
M-alkaline	$(CaCO_3, mg/\ell)$	27.7	12.9	12.7	27.7	13.7	13.9	
Total hardness	(CaCO₃, mg/ℓ)	10.5	10.2	12.6	24.2	24.0	24.2	_
Calcium hardness	$(CaCO_3, mg/\ell)$	3.9	3.8	5.0	16.2	15.8	16.4	
Total iron	$(mg/\boldsymbol{\ell})$	1.00	0.89	0.002	0.99	1.09	0.001	< 0.05
Total manganese	$(\text{mg}/\boldsymbol{\ell})$	< 0.10	< 0.10	0.005	< 0.10	< 0.10	0.007	_
Aluminum	$(mg/\ell)$	0.21	3.41	< 0.01	0.17	3.54	0.01	< 0.05
Ionic silica	$(mg/\ell)$	44.9	39.6	41.5	44.9	41.1	41.8	_
$E_{260}$ , $50$ mm cell	(-)	0.430	0.564	0.075	0.227	0.084	0.040	_
$Abs_{420}$ , $50mm$ cell	(-)	0.028	0.025	0.002	0.027	0.012	0.006	_
TOC	$(mg/\ell)$	1.4	1.0	0.5	0.9	1.0	< 0.5	_
DOC	$(mg/\ell)$	1.3	0.6	_	0.9	0.6		
Humic group	$(mg/\ell)$	2.1	1.3	< 0.4	1.2	1.4	< 0.4	_
SDI	(-)	_	—	1.56	-	_	_	< 2

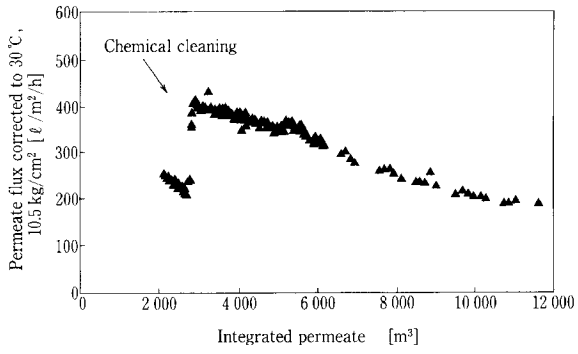




第6図 透過流束と運転時間,積算流量の関係 (No.6 VSEP)

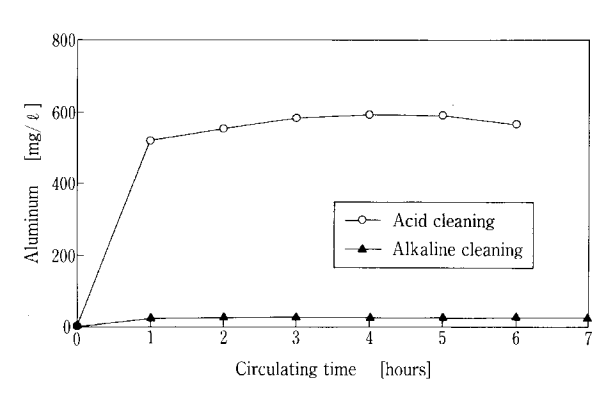
Fig. 6 Flux VS operating time, integrated permeate (No. 6 VSEP)

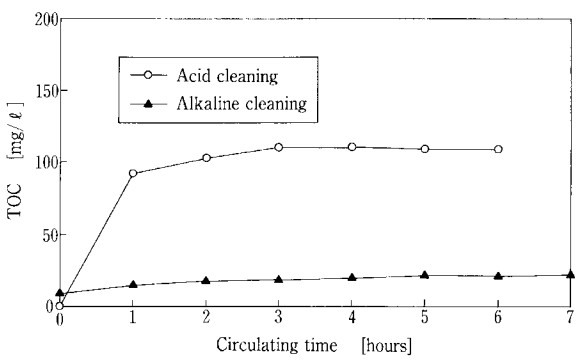




第7図 透過流束と運転時間,積算流量の関係 (No.4 VSEP)

Fig. 7 Flux VS operating time, integrated permeate (No. 4 VSEP)





第8図 洗浄液中へのアルミニウム, TOC成分の溶出 Fig. 8 Aluminum and TOC in chemical cleaning solution

第3表 膜洗浄結果と条件の一例

Table 3 An example of membrane cleaning result and condition

condition		
	Step 1 Acid cleaning	Step 2 Alkaline cleaning
Species of chemical Circulating time (hours) pH of cleaning solution	Sulfuric acid 6.0 1.0~1.1	Sodium hydroxide 7.0 12.0
Permeate flux (ℓ/m²/h at 30 ℃, 150 psi) before cleaning after cleaning	241 363	363 387

# 3)原水槽

型 式:鋼製円筒型

寸 法:3000 mm $\phi$ ×3800 mmH

(有効容量 25 m³)

滞留時間: 21 min

4) 処理水槽

型 式: FRP製円筒型

寸 法:3000 mm $\phi \times 3870$  mmH

(有効容量 25 m³)

滞留時間: 25 min

5) 前段熱交換器

型 式:プレート式

材 質: SUS 304

6)後段熱交換器

型 式:プレート式

材 質: SUS 316

7) 供給ポンプ

仕 様:24 m³/h×139 mAg×15 kw

(インバータ制御付)

基 数:4基(1基予備)

8)処理水ポンプ

仕 様:  $60 \text{ m}^3/\text{h} \times 40 \text{ mAq} \times 11 \text{ kw}$ 

基 数:2基(1基予備)

3. 運転結果

#### 3.1 原水, 処理水水質状況

試運転時の原水及び処理水の水質分析結果を第2表に示す。試運転実施時期が水質の悪化する夏期に重なり、原水の色度が比較的高かったため、PACの添加量を60 mg/l に調整した。処理水水質は各項目とも設計値を満足していることが確認された。処理水濁度はオンラインのレーザー式濁度計においても常時0.0015以下を示しており、微粒子除去が確実に行われていた。また、当処理で重要な因子である有機色度成分除去の効果を確認するため、有機色度成分の指標となる E200 値 (紫外部吸光度 260 nm)、TOC濃度、フミン酸類の分析を行った。何れも原水に対して高い除去効果を示し、PAC凝集+VSEP(UF膜)処理により有機色度成分の除去が有効に行われていることが確認された。

#### 3.2 膜透過流束の経時変化

試運転開始からの VSEP の透過流束変化の一例を第6図に示す。透過流束は設備フル稼働時の供給条件として,膜最大操作圧150 psi(10.5 kg/cm²),水温 30  $^{\circ}$  に換算して示した。通水開始後,透過流束は低下傾向を示したが約 200 時間(採水量約2 000  $^{\circ}$  が 後からはほぼ安定することが確認された。他の 5 基のVSEP についても,150~200  $^{\ell}$ /m²/h の

高い透過流束で安定し、設備計画値の  $143 \, \ell/\mathrm{m}^2/\mathrm{h}$  (1基洗浄時、5基で  $60 \, \mathrm{m}^3/\mathrm{h}$ ) を充分に満足することが確認された。

#### 3.3 膜洗浄の結果例

試運転期間中に膜洗浄を実施した VSEP の透過流束変化を第7図に,膜洗浄結果,洗浄条件の一例を第3表に示す。酸洗浄は透過側を閉止し膜表面に付着したアルミニウムフロツク等のファウリング物質の除去を目的に行い,アルカリ洗浄は膜内に蓄積されたフミン質等の有機系ファウリング物質の除去を目的に行った。洗浄中の循環薬液中のアルミニウム,TOC濃度変化を第8図に示す。酸洗浄により,膜表面に付着したアルミニウムフロツクが除去されていることが確認された。また,酸洗浄液中にはTOC成分も高濃度に含まれており,PAC凝集によるフロツクにフミン質等の有機成分が充分に捕捉されていることがわかる。アルカリ洗浄では,膜内に蓄積しているわずかな有機成分が溶出されると推察される。

# むすび

当社の新製品である振動型膜分離装置(VSEP)の国内1号機として納入したこの工業用水除濁設備は、試運転完了後も設計条件を満足し安定した運転を継続している。また VSEP も高い透過流束を維持できることが確認され、その特長を充分に生かすことができた。この設備の導入によりユーザーは年間を通じて安定した良質の処理水が得られ、製品品質の安定化、純水装置供給原水水質の向上、市水使用量の低減等が実現された。この設備はすでに製造ライン増設による要求水量の増加に伴い VSEP 電基の増設工事中であり、今後も最適膜洗浄周期や膜寿命の把握のために運転データの蓄積、解析を行っていく所存である。また、本事例の紹介が他分野での VSEP の適用の参考になれば幸いである。

#### [参考文献]

1) 高田一貴ほか:神鋼パンテツク技報, Vol. 40, No. 1 (1996), p.28

連絡先

藤井 囯 環境装置事業部 山 地 洋 樹 環境装置事業部 山本和良 環境装置事業部 製品開発室 技術部計画第3課 製品開発室 担当次長 TEL 078 - 992 - 6532 TEL 078 - 232 - 8105 TEL 078 - 992 - 6532 FAX 078 - 992 - 6503 FAX 078 - 232 - 8056 FAX 078 - 992 - 6503 E-mail td.fujii@pantec. co.jp E-mail h.yamaji@pantec. co.jp E-mail kz.yamamoto@pantec.co.jp

# SVミキサーのテスト事例報告(その2)

The Test Report of the SV MIXER (No. 2)



(化)技術部 太 田 幹 Mikiko Ohta

子

SV ミキサーは粉体の混合及び乾燥機として幅広い分野で使用されている。最近では医薬品・食品・ファインケミカル分野の用途が増え、それに伴い GMP 対応や低温乾燥機としての対応がユーザより望まれている。

当社ではユーザの要望に沿って様々なテストを行っている。前報においてテスト結果の一部を紹介した。本稿ではさらに前報とは異なる新型排出弁(メンテナンス フリー タイプ)のテスト事例などを紹介する。

The SV MIXER has been widely used in powder equipment such as for mixing and drying. Recently, the application of the SV MIXER in the field of pharmaceutical, food and fine chemical industries is on increase. Therefore it is necessary to be suitable to the severer spesification of GMP (Good Manufacturing Practice) and low temperature drying.

We perform various tests to satisfy the customer's desire. Adding to the result of tests on the farmer report, the test results such as functions of discharge valve with no maintenance are reported in this paper.

# Key Words:

S	Vミキサ		SV MIXER
G	M	P	GMP
低	温乾	燥	Low temperature drying
自	動	化	automated

#### まえがき

近年、医薬品、医薬中間体、食品、ファインケミカル分野では、GMP対応がより一層指向されている。GMPに要求される事項としては

- ①滅菌
- ②洗浄性の向上
- ③自動化による品質の安定

等があげられる。

また、医薬品や食品には熱的に不安定な物質を取り扱う場合があり、SVミキサーのような機械的撹

拌による乾燥機では,撹拌による摩擦熱によって装置内の粉体接触部の温度が粉温より高くなり,変質を生じることがある。

こういった問題を解決し、SVミキサーの差別化を行う事を目的としてテストを行い、前報にてその一部を報告した。

今回は,前報では報告できなかった項目について 紹介する。

テスト機としては、主として150 Lt SV ミキサー (SV0015VT-2S) を使用した。概略図を**第1図**に 示す。本報では,

- ①新型排出弁の開発 運転の自動化を目的とする
- ②自・公転軸の温度データの取得 熱に不安定な物質を取り扱う際のガイドライン
- ③スクレーパの性能確認 品質の安定と洗浄性の向上
- ④満水シールの性能確認 品質の安定と洗浄性の向上 について報告する。

### 1. 新型排出弁の開発

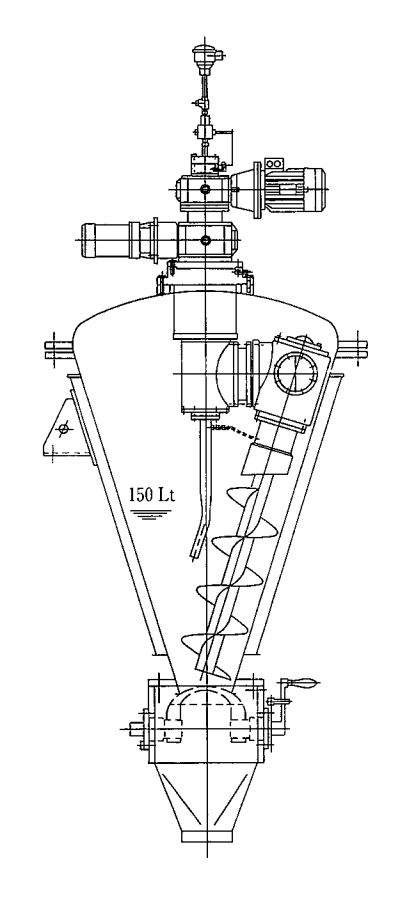
SV ミキサーの排出口は通常プラグバルブが適用される。しかし、内容物を排出する際にシート面に異物が噛み込むと、真空の保持が困難になり、時には粉洩れを生じるためバッチ毎にシート面の洗浄が必要である。また構造上、口径が大きくなると加圧を保持できないという欠点がある。

#### 1.1 構造

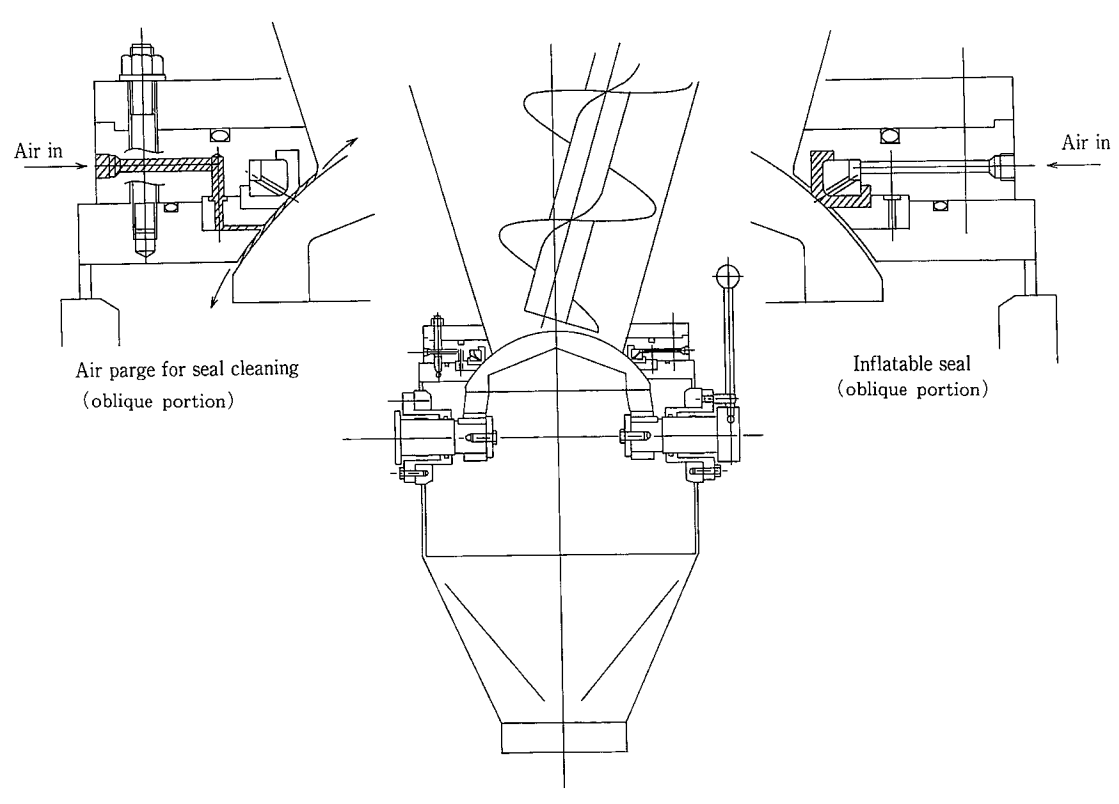
第2図に新型排出弁の構造を示す。

シート面と弁体の間には隙間があり、バルブの開閉はこの状態で行う。従って、従来のバルブとは異なり、開閉時の弁体・シート間での異物の噛み込み等による摩耗を防ぐことができる。

バルブを閉める場合には、A の部分からエアー



第1図 SVミキサー (150 Lt) 概略 Fig. 1 Schematic of the SV MIXER



第2図 新型排出弁

Fig. 2 New model discharge valve

Table 1 Operation condition

RUN. No	material	air parge	Repeat time		
RUN. 1	Precititated calcium carbonate	none	1		
RUN. 2	Precititated calcium carbonate	yes	1		
RUN. 3	Heavy calcium carbonate	none	1		
RUN. 4	Heavy calcium yes		1		
RUN. 5	Precititated calcium carbonate	yes	10		
RUN. 6	Heavy calcium carbonate	yes	10		

を供給し、シートを膨脹させることによってシート と弁体を密着させ密閉する。シート面は柔軟なゴム 製であるため、少量の異物を噛み込んだとしても、 槽内を密閉することができる。

長期間にわたる自動運転を可能にするため,排出 時にはBよりエアーの供給を行いエアパージする ことによってシート面を洗浄し,付着物を取り除く 機構となっている(特許出願中)。

新型排出弁の性能を確認するために.

- ①真空リークテスト
- ②気密テスト

#### を行った。

この時、Aより供給されるエア圧は、約 $3.0 \, kgf/cm^2G$ 、Bより供給されるエア圧は約 $1.0 \, kgf/cm^2G$ とした。

#### 1.2 真空リークテスト

#### 1.2.1 実験方法及び操作条件

次の手順でテストを行った。

- ・約30分間真空を引く。
- · 次に真空度を30~40 Torr に調整する。
- ・そのまま放置し、1時間置きに真空度を測定する。

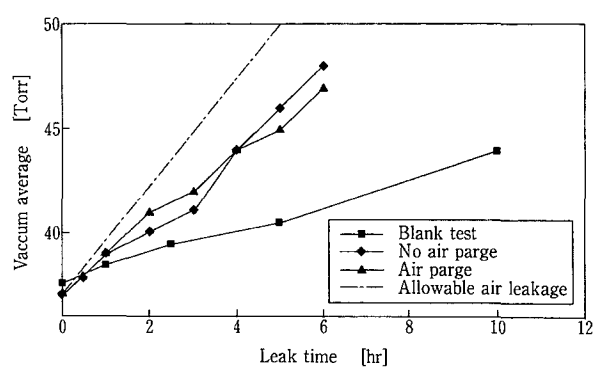
操作条件を第1表に示す。粉体試料としては、軽質炭酸カルシウムと重質炭酸カルシウムを使用した。 また、ブランクテストとして、シート面を洗浄し異物を取り除いた状態で真空リークテストを行い、比較対象とした。

# 1. 2. 2 実験結果及び考察

テスト結果を第3~5図に示す。

グラフ中の破線は社内規格による SV ミキサーの 許容空気漏洩量である。

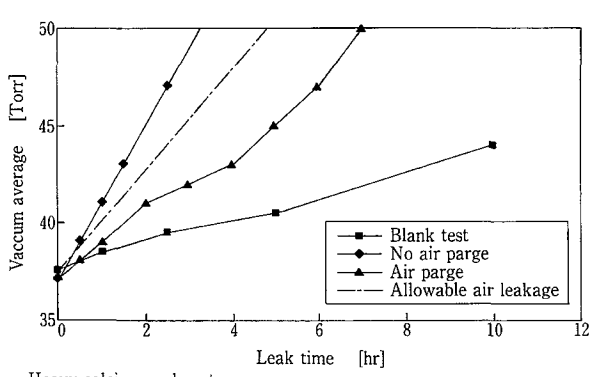
第3図より、軽質炭酸カルシウムについてはエア



Precipitated calcium carbonate

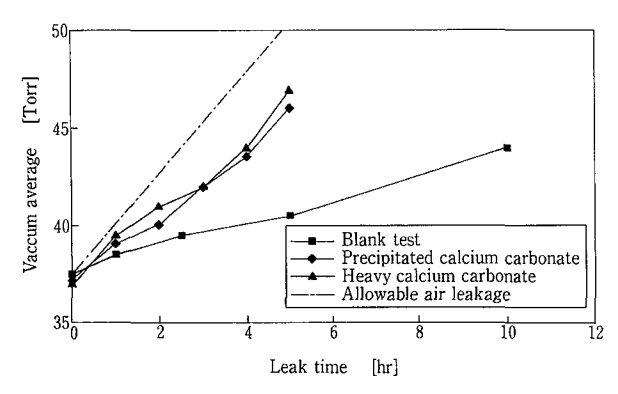
第3図 真空リークテスト

Fig. 3 Vacuume leak test



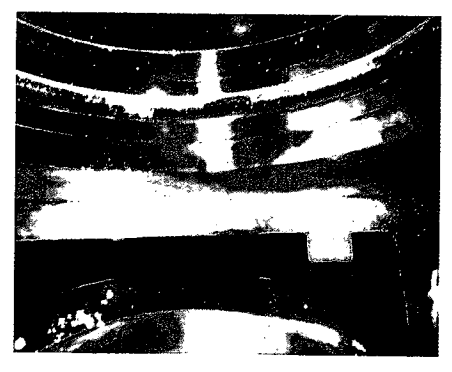
Heavy calcium carbonate

第4図 真空リークテスト Fig. 4 Vacuume leak test



第5図 真空リークテスト Fig. 5 Vacuume leak test

洗浄の有無による影響は、ほとんどなかった。これは、軽質炭酸カルシウムは流動性が悪く付着性が強い粉体ではあるが、粒子が細かく柔らかい粉であるため、付着した試料がバルブの隙間を埋めたためと考えられる。1回のテストではエアパージを行わない場合においても社内規格を満たしているが、写真1に示すように、ゴムシート面への付着はエアパージを行わない場合の方が多いため、繰り返し運転を



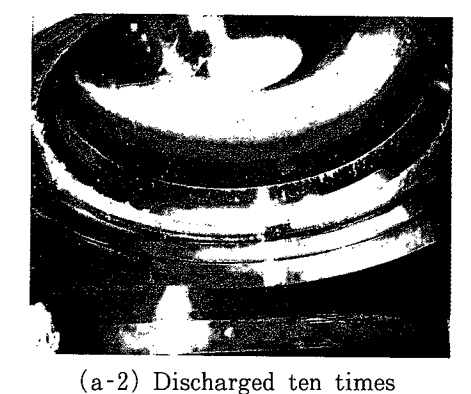
(1) air parge

(2) no air parge

写 真 1 排出後の排出口(軽質炭酸カルシウム)

Photo. 1 Discharge valve (precipitated calcium carbonate)





(a-1) Discharged one time

(a) Precipitated calcium carbonate





(b-1) Discharged one time

one time (b-2) Discharged ten times (b) Heavy calcium carbonate

写真 2 排出後の排出口 Photo.2 Discharge valve

行うと真空保持ができなくなると推測される。

重質炭酸カルシウムについては、エアパージの有無の影響が表れた(第4図)。これは重質炭酸カルシウムは粒子が大きく堅いため、部分的に付着することでエア洩れを生じたと考えられる。この場合もエアパージを行うことによって、エアーの漏洩量を許容範囲内に収めることができた。

10回繰り返し排出を行い, 真空リーク量を確認し

た結果を**第**5図に示す。排出の際にはエアパージを 行った。

エアパージを行っているため、シート面への試料の付着状況は1回目から10回目まで、目視ではほとんど変化がなかった(写真2)。また、第5図からわかるように、いずれの試料に置いても空気の漏洩量を許容範囲内に収めることができた。

前述の結果より, 本テストで使用した試料に於い

# 第2表 操作条件

Table 2 Operation condition

RUN. No	Contents*	Working press	JKT	Temparature		
RUN. 1	200 kg	20 Torr	no	10 ℃		
RUN. 2	200 kg	ATM	yes**	18 ℃		
RUN. 3	200 kg	20 Torr	no	25 ℃		
RUN. 4	200 kg	20 Torr	yes**	25 ℃		

\*Heavy calcium carbonate

\* \* JKT temperature : 50 ℃

て,新型排出弁による自動化運転が可能であるとい える。今後,物性の異なる試料,バルブ材質の検討 等を行い,自動化運転に対応したいと考えている。

#### 1.3 気密テスト

### 1.3.1 実験方法及び操作条件

- ・槽内の圧力を一定に保った状態 (0.5, 1.0, 1.9 kgf/cm<sup>2</sup> G) で約20分間放置する。
- ・バルブ周辺からエア洩れが生じていないかどう かの確認を行う。

#### 1.3.2 実験結果及び考察

テストの結果、いずれの圧力に於いても排出弁からのエア洩れは生じなかった。構造上、シート面に直接圧力がかかる事はなく、またゴムシート自体が3 kgf/cm²G の圧力で膨脹しているため、1.9 kgf/cm²G の圧力を内側から受けても気密性を保つことができる。

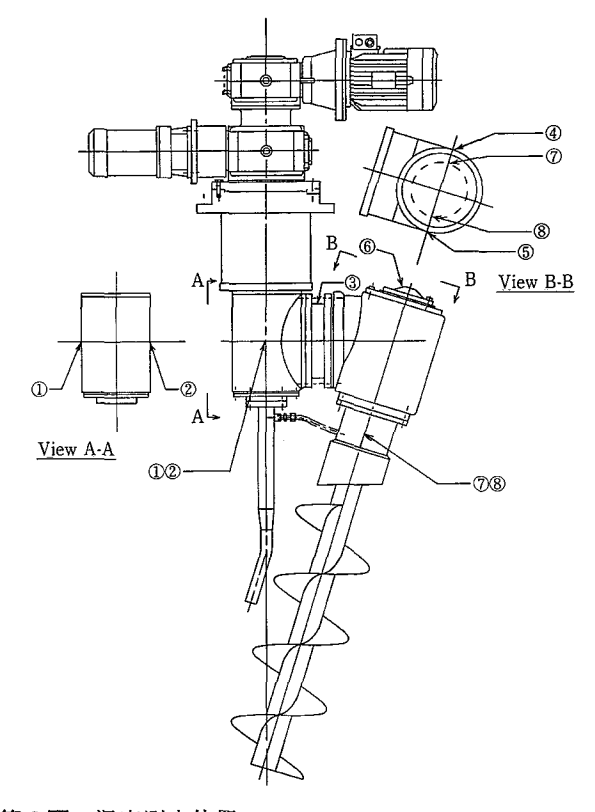
SVミキサーの駆動部はシール部をドライシールにすることで  $1.9 \, \mathrm{kgf/cm^2}$  の圧力に対応することができる。

缶内滅菌を行う場合など、缶内に圧力がかかる場合でも十分に対応できることが証明された。

#### 2. 自・公転軸の温度データの取得

許容温度の低い物質(低融点物質,温度により変質を伴う物質)を取り扱う場合,駆動部及びスクリュー翼の局部的な温度上昇により製品の劣化を伴うことがある。

前報に於いて、1500 Lt の SV ミキサーを使用し、9 時間連続運転を行った場合の駆動部の昇温データについて報告した。その結果、モータ負荷が高いほど、駆動部の発熱量は大きくなることが確認された。今回は150 Lt SV ミキサーを用いて駆動部の昇温データを測定し、槽内の圧力及び外套の有無が及ぼす影響について検討を行った。



第6図 温度測定位置 Fig. 6 measurment position

#### 2.1 実験方法及び操作条件

測定は接触温度計を用い, 1時間毎に行った。測 定部位を第6図に示す。

また、操作条件を第2表に示す。

#### 2.2 実験結果及び考察

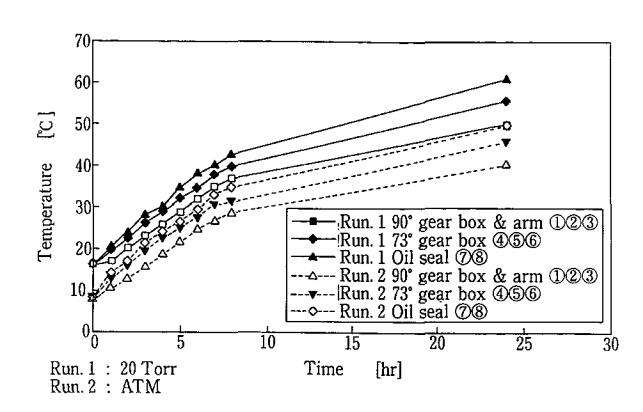
第7図に、槽内の圧力による駆動部の温度変化の違いを示す。大気圧下に比べ、減圧下(約20 Torr)の方が高温になる。テストを行った時期が違うため外気温に差が生じているが24時間運転を行った時点で、大気圧では約35  $\mathbb{C}$ 、減圧下では約40  $\mathbb{C}$ の温度上昇が確認された。

駆動部から放熱を行う際、真空下の場合は熱伝導度が悪化するため駆動部への蓄熱量が大きくなったと考えられる。従って本テスト機においては、大気圧下と減圧下では  $5\sim10$   $\mathbb{C}$ 程度の温度差が生じることが明らかになった。

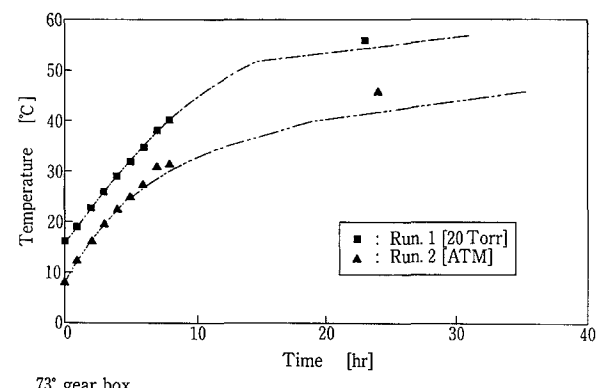
前報において,駆動部の温度推測式として,次に 示すモデル式を作った。

$$\theta = -\frac{M}{UA} \ln \{Q - UA \ (T - t_0)\} + C$$

heta:時間 hr



第7図 駆動部温度曲線 Fig. 7 Thermo curve



73° gear box 第 8 図 温度曲線(仮想曲線)

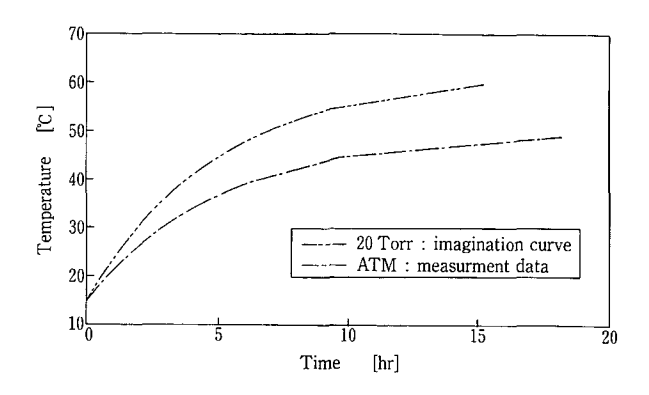
Fig. 8 Thermo curve (imagination line)



今回のテスト結果では、運転開始直後は時間に対して比例する形で温度が上昇した。今回使用したテスト機は断熱しており、また駆動部の大きさに対して空間容積が小さいため駆動部からの発熱によって 缶内の雰囲気温度も上昇するためと考えられる。

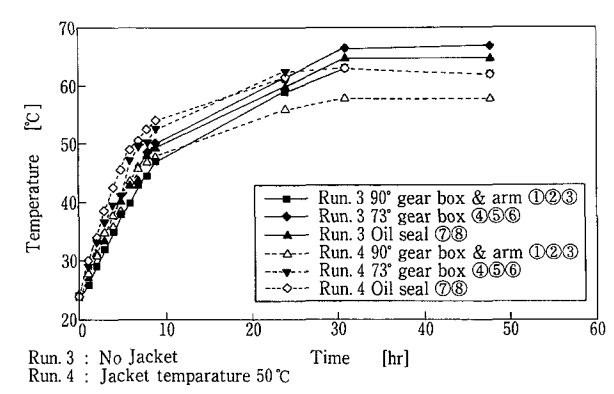
運転開始約5時間以降は、前式に従って温度が上昇しており、総括伝熱係数Uと伝熱面積Aの乗数UAを2.0 kcal/hr $^{\circ}$ 、熱容量M:20 kcal/ $^{\circ}$ 、とすると、大気圧下でのQ:34.4 kcal/hr、減圧下でのQ:64.9 kcal/hr となり、第8図のように表すことができた。

SV ミキサーがスケールアップした場合も, 同様に考えると, 前報で報告した1500 Lt SV ミキサーを真空下で運転した場合, 第9図の様な温度上昇が

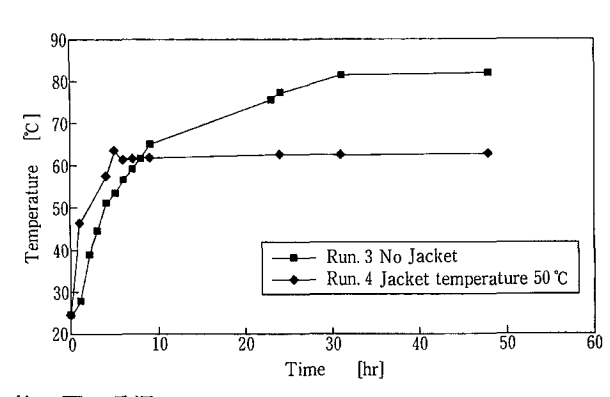


第9図 温度曲線(1500 Lt 仮想曲線)

Fig. 9 Thermo curve (1500 Lt imagination curve)



第10図 駆動部温度曲線 Fig.10 Thermo curve

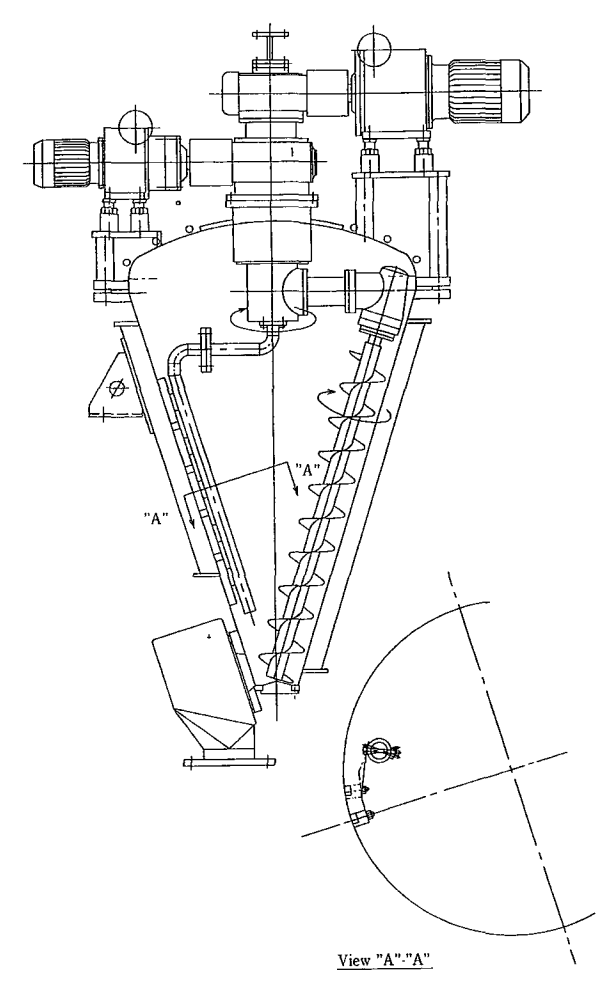


第11図 品温 Fig.11 Product temperature

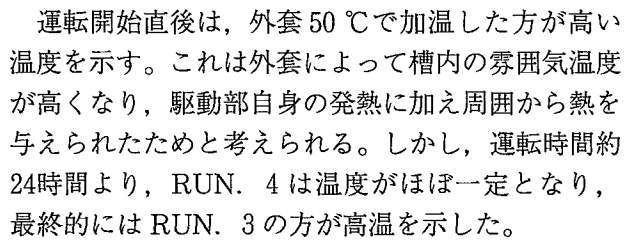
起きたと推定でき、最終的には大気圧下での運転と 15 ℃以上の温度差が生じたと考えられる。

SVミキサーを乾燥機として使用する場合,通常 缶内は減圧することから,低融点物質を取り扱う場 合には特に注意が必要である。

第10図は、外套の有無による駆動部の温度変化を 示す。



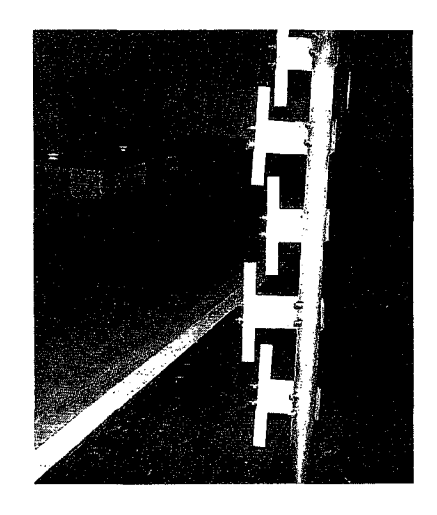
第12図 スクレーパ取付状態 Fig.12 Fitting of the scraper



第11図に、この時の品温を示した。このグラフからわかるように外套がある場合は品温が一定温度でコントロールされている。

前述の結果より、外套で加熱を行う場合、品温は 急激に上昇した後、一定温度を保つ。品温が高温に なると外套が冷却装置として作用し、品温は約62 ℃で安定した。駆動部の温度は缶内の雰囲気温度に 左右されるため、品温が低いほど、温度の上昇を抑 えることができる。

従って、低温乾燥品の場合は、品温をコントロールすることで、駆動部の温度上昇を抑えることができる。しかし、長期運転を行う場合、完全に発熱を抑えることは困難である。



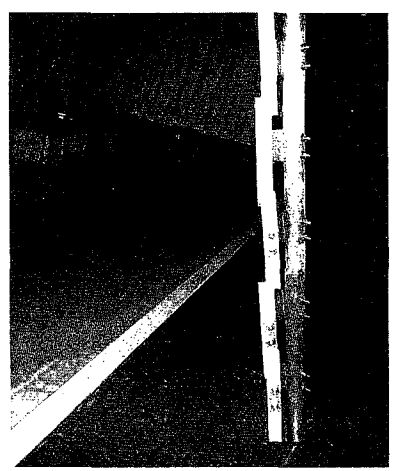


写真 3 スクレーパ Photo.3 Scraper

#### 3. スクレーパの性能確認

SV ミキサーで乾燥を行う場合,スクリューと年壁のクリアランス部分がデッドゾーンとなり,内容物が付着することがある。付着物を取り除かず続いて乾燥を行うと,伝熱面積の減少により乾燥効率か悪化し,乾燥時間が長くなるという悪影響を及ぼす、従って多量の付着物を生じた場合,それを取り除く必要があるが,多大な労力と時間を費やすことになる。

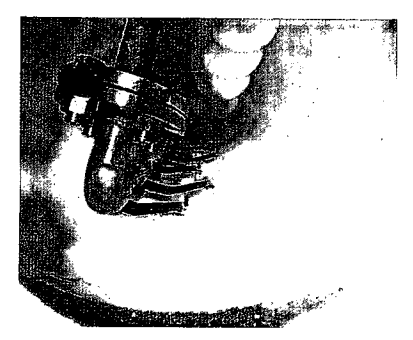
#### 3.1 実験方法及び操作条件

第12図及び写真3に今回実験に使用したスクレーパの形状及び取り付け状態を示す。

試料としては有機粉体を用い、実際に乾燥を行った後スクレーパを取り付け、付着物のかき落としり 況を確認した。

#### 3.2 実験結果及び考察

写真 4 にスクレーバ運転前と運転後の缶内の様子を示す。ワイパー部分は支持版によって壁面に強く押しつけられる構造になっている。



(a) before



(b) orbit arm 1 round

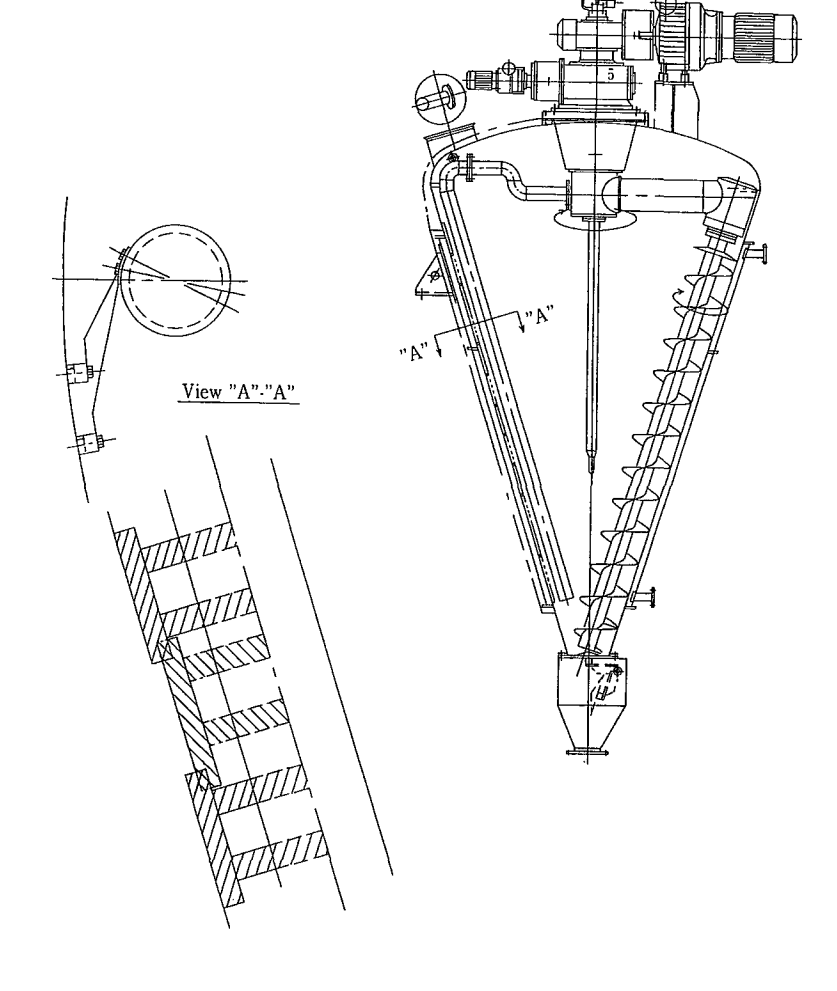


(c) orbit arm 2 rounds

写真 4 スクレーパ性能テスト Photo.4 Performance test of the Scraper



写真 5 スクレーパ取付状態 Photo.5 Fitting of the Scraper



第13図 スクレーパ取付状態 (5000 Lt SV ミキサー) Fig.13 Fitting of the scraper (5000 Lt SV MIXER)

テストの結果,スクレーパを1回転させただけで付着物のほとんどをかきおとすことができることが確認された。

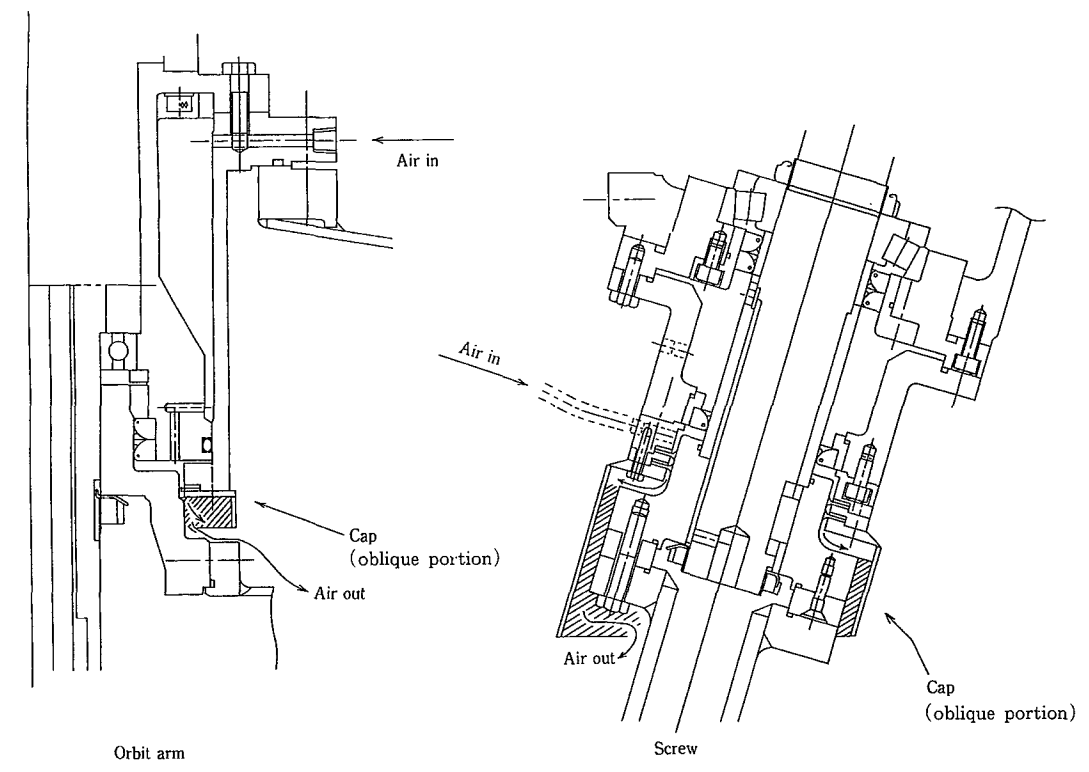
試料が融着している場合は、かきとりは困難であると考えられるが、通常の付着であればこのスクレーパで十分対応できると考える。

第13図は、5000 Lt SV ミキサー用のスクレーパの形状、また写真 5 は実際に取り付けた状態である。このスクレーパは鏡のマンホール部分から取付、取り外しができるようになっている。

5000 Lt の S V ミキサーにおいても、約3回公転を行うことで付着物は取り除かれると考えている。

## 4. 満水シール

洗浄の労力を軽減するために、槽内に水を張って 洗浄を行う場合がある。しかし、ドライブ内へ洗浄 液が侵入する恐れがあるため、通常は自転軸シール 部より低い位置で水張りを行う。



第14図 満水シール

Fig.14 Air seal (coped with full water)

#### 4. 1 構造

満水シールの構造図を第14図に示す。

駆動部内にエアーを流して水の逆流を防ぎ、また エアーの出口部分にかさを取り付けることでエア溜 まりを作り水の侵入を防ぐ構造になっている。

実験では

- ①駆動部内に水の侵入が無いかどうか
- ②満水で撹拌を行うことによって洗浄が可能かを確認した。

#### 4.2 駆動部内への水の侵入の確認

- 4. 2. 1 実験方法及び操作条件 手順としては、
  - ①シール部分に乾粉を吹き付け(第14図斜線部), そのままの状態で缶内に満水を張る。
  - ②水を張った状態で自公転を運転し、エアーが流れているかどうかを確認する。
  - ③約30分運転後缶内から水を抜き、シール部分が 濡れていないかどうかを目視にて確認した。

#### 4. 2. 2 実験結果及び考察

満水での運転状況を観察したところ、リップシールがよく効いているため、エアーが連続的に流れてくるということはなく、間欠的に空気の泡が生じていた。

水を抜いた直後に缶内に入り、シール部分に吹き 付けた粉の状況を確認した。かさに隠れた部分の粉 は完全に乾いた状態で、シール部分にまで水が侵入 していないことが確認できた。

#### 4.3 満水撹拌洗浄の確認

## 4. 3. 1 実験方法及び操作条件

手順としては,

- ・湿分約15%に調整した軽質炭酸カルシウムを 10分間混合する。
- ・外套温度130 ℃で真空乾燥を行う。

その後、スクリューと壁面のクリアランス部分に 付着した内容物を、

- ①マンホール部から水洗いを行う (水張りは行わない)。
- ②缶内に満水を張り約60分運転 (自/公転:63/ 1.6 RPM) する

の二通りについて比較した。

#### 4.3.2 実験結果及び考察

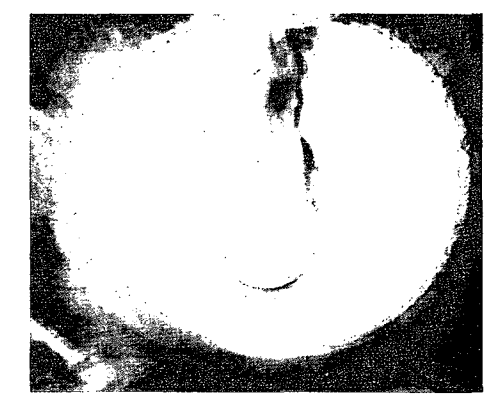
テスト開始前の缶内及び試料を付着させた状態の 缶内を写真6に示す。

スクリューと缶壁のクリアランス部分に、約10 mmの厚みで付着が生じている。

写真 6-b の状態でマンホールから水をかけて、付着物を取り除いた。スクリューの上部及び壁面の付着は、水を含み湿り気を帯びると付着力が弱まり、洗い落とすことができる。しかし、スクリューの裏側など、直接水に当たらない部分は付着物は乾燥し



(a) before test



(b) condition of adhesion

写真 6 洗浄テスト (缶内状態) Photo.6 Cleaning test (inside tunk)



(a) iuside tunk



(b) orbid arm



(c) back of the screw

写真 7 洗浄テスト Photo.7 Cleaning test

た状態で残り, 取り除くことはできなかった。

写真7に、満水まで水を張り、約1時間運転した 後の槽内の様子を示す。缶壁、スクリューの裏側、 公転軸部、いずれも付着物は落剥していた。

適用できる試料は、水に対して可溶性もしくは剥離しやすくなる物に限られる。また、気相部への付着がほとんど無い試料に関しては、スクリュー部まで水を張ることで対応できるが、乾燥後本体鏡の部分や公転軸部等気相部への付着を伴う試料に満水シールを適用することで、洗浄に要する労力を軽減することができると考える。

### むすび

SVミキサーのテスト事例報告を、2回に渡って紹介した。今後も医薬品・食品分野での需要が見込まれる中で当社はGMP対応技術のより一層の向上を目指しており、各種の社内テストを行いデータを集積するなど、エンジニアリングサービスを充実させ、ユーザ各位のご要望に応えていきたい。

#### [参考文献]

- 1) 神鋼パンテツク技報 Vol. 36, No. 1 (1992), P. 24
- 2) 神鋼パンテツク技報 Vol. 38, No. 1 (1994), P. 15
- 3) 神鋼パンテツク技報 Vol. 40, No. 2 (1996), P. 57

連絡先

太 田 幹 子 化工機事業部 技術部

> TEL 0794 - 36 - 2517 FAX 0794 - 36 - 2542 E-mail m.ota@ pantec. co.jp

## 固定床式生物処理による低濃度有機排水の回収

Low Strength Organic Wastewater Recovery by Fixed Bed Biological Treatment





(環)製品開発室 杉 澤 政 宣 Masanori Sugisawa 知 福 博 行 Hiroyuki Chifuku

半導体及び液晶製造工程から排出される低濃度有機排水の再利用について検討した。

消費エネルギーを低減するためには、効率的な TOC 分解法が重要である。このため球状活性 炭を使用した固定床式生物処理と膜を組み合わせたシステムについて検討を行った。実排水を使用したパイロットテストで TOC 除去率 90 % 以上を得、ランニングコストは低圧 UV 酸化処理 装置と比較して1/5となった。この高除去率は一時停止や逆洗工程後でも短時間で回復できた。

Reclamation of wastewater having low strength of TOC discharged from semiconductor or liquid crystal manufacturing process was investigated.

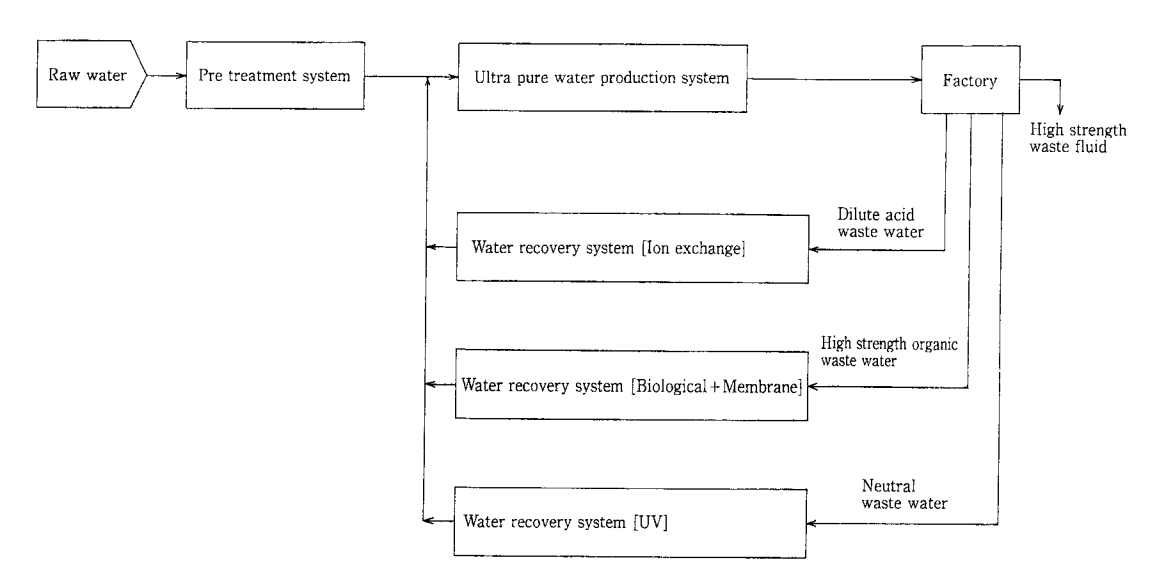
In order to reduce energy consumption it is important to adopt effective TOC composition method. A fixed bed biological treatment using spherical activated carbon and membrane unit were combined for this purpose. Tests of the pilot scale system using actual wastewater achieved TOC removal ratio of more than 90 %, with operating cost down to 1/5 compared to the low pressure UV oxidization method. The high recovery rate was restored in a short time even after a temporary shutdown or backwash process.

#### Key Words:

Semiconductor
Liquid crystal display
Total Organic Carbon
Fixed bed biological treatment
Fluidized bed biological treatment
Spherical activated carbon
Low strength organic wastewater
Low-pressure mercury lamp
High-pressure mercury lamp

## まえがき

半導体・液晶製品等の電子工業においては工場内 の排水を適切に分別収集を行い、回収・再利用する ことでセミクローズ化し廃棄物の低減が図られてい る。通常は無機排水から回収を始めることが多いが、回収率を70~80%に高めるためには、有機排水の回収も不可欠となってくる。しかし有機排水を回収する場合には無機排水を回収する場合と比較して回



第1図 水の回収フロー

Fig. 1 Schematic diagram of water rcovrey system

収コストが割高になることが多く, コストの低減が 求められている。

高濃度の有機排水の回収には経済的に有利な生物処理が採用されているが、TOC濃度が数 mg/L 程度の低濃度の有機排水に対しては生物処理が難しいため、従来から UV ランプによる処理が採用されている。

この UV ランプによる処理に関連し、低圧 UV ランプの使用により消費エネルギーは従来使用されている高圧 UV ランプの50 %に低減できることについては、すでに報告している。<sup>(1</sup>

本報では、低圧 UV ランプよりさらに消費エネルギーの少ない処理装置である生物処理を低濃度の有機排水に対して適用した結果を報告する。

## 1. 電子工場の排水回収

電子工場では基板のエッチング、薬液洗浄、リンス洗浄工程等で大量の超純水が使用され、その結果有機及び無機の薬品を含んだ大量の排水が排出されるため回収再利用が必須となっている。電子工場における排水の発生及び回収のフローを第1図に示す。一般的には、まず工業用水(原水)を前処理装置で濁質を取除いた後に一次純水装置と二次純水装置から構成される超純水装置で処理して超純水を製造する。この超純水は、製造工程の主に洗浄ラインで使用された後、回収の対象となる希酸系排水、高濃度有機排水、低濃度有機排水(中性系排水)の3種類の排水とそれ以外に分別排出される濃厚廃液となる。

希酸系排水はエッチング後のリンス工程等から排

出される無機の酸を含む排水でありイオン交換装置等により処理回収される。高濃度有機排水はレジストの剥離後の洗浄工程等から生ずる濃度の高い排水であり TOC 濃度としては数百 mg/L 程度で,生物処理と膜処理等で処理される。低濃度有機排水は,希薄な洗浄液などで,主成分は, IPA,メタノール,アセトン,TMAH,DMSO,フェノール,酢酸,界面活性剤等である。TOC 濃度としては数 mg/L程度である。現在この低濃度有機排水は UV 酸化装置等で処理されている。

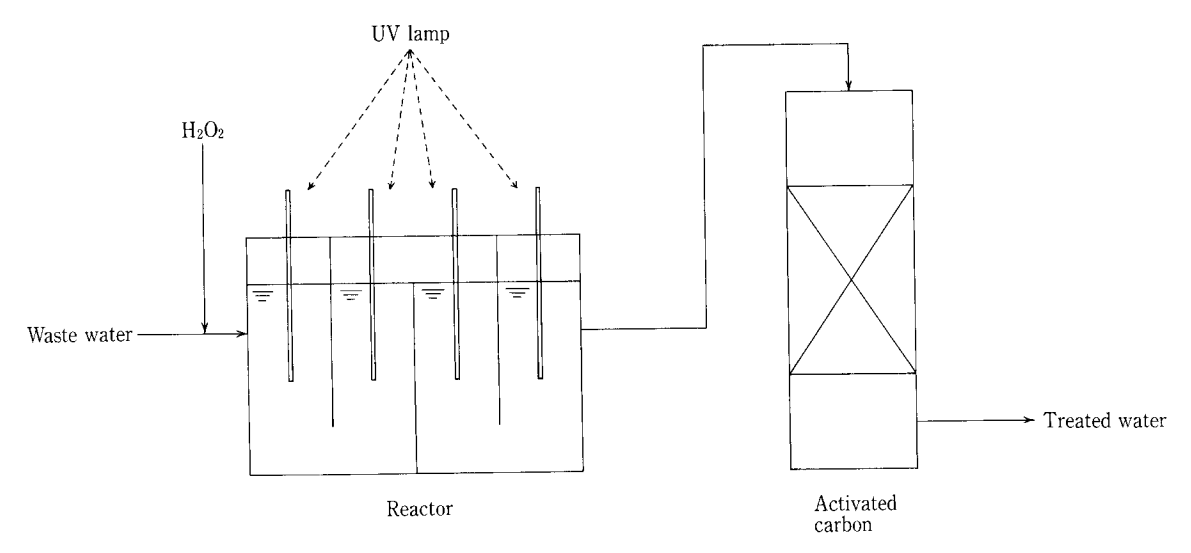
## 2. 低濃度有機排水に対する TOC 処理技 術について

#### 2. 1 UV酸化方式

紫外線を照射することにより TOC 成分を酸化分解する技術であり、ランプ内の水銀蒸気圧の違いにより高圧 UV ランプと低圧 UV ランプに区別される。低圧 UV ランプの水銀蒸気圧は0.01 mmHg 程度でありスペクトルは185 nm と254 nm の出力が大きい。高圧 UV ランプの水銀蒸気圧は1~10 atmで、スペクトルは240 nm 以上であり低圧 UV と異なり185 nm の出力はなく254 nm の出力も低い。

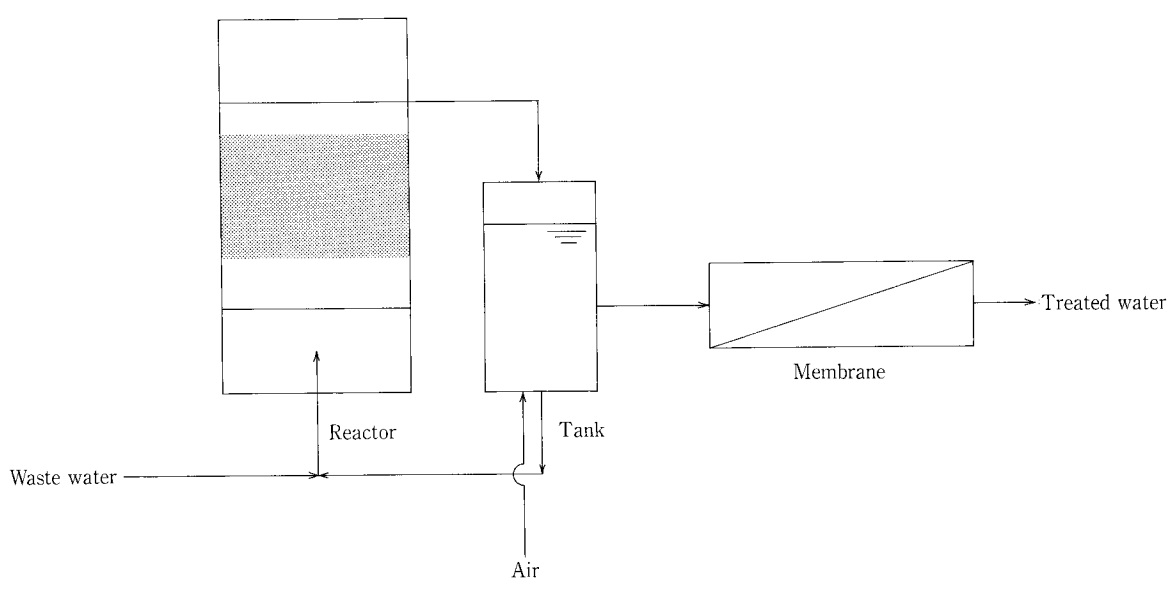
UV 酸化方式による有機物の酸化分解には次の 2 つのメカニズムが関与している。

- ①UV の持つエネルギーにより直接有機物内の結合を開裂する
- ②185 nm の UV は、 $H_2O$  からヒドロキシラジカル (・OH) を生成し、これが有機物を酸化分解する。



第2図 UV酸化装置フロー

Fig. 2 Schematic diagram of UV oxidation



第3図 流動床式生物処理装置フロー

Fig. 3 Schematic diagram of fluidized-bed type biological treatment

UV 酸化装置のフローを**第2図**に示す。基本的には処理対象液を反応槽に導入し UV を照射するだけであるが、高圧 UV ランプの場合、低圧 UV ランプと異なり185 nm の放射がほとんど無いため(・OH)の生成がないので光増感剤として過酸化水素を添加する。

また数 mg/L の TOC を含む排水に低圧 UV ランプを適用する場合にも、(・OH) の生成能力が不足するため高圧 UV ランプと同様に過酸化水素の添加が必要になる。また過酸化水素を添加した場合には余剰の過酸化水素を分解除去するために活性炭による後処理が必要になる。(\*1

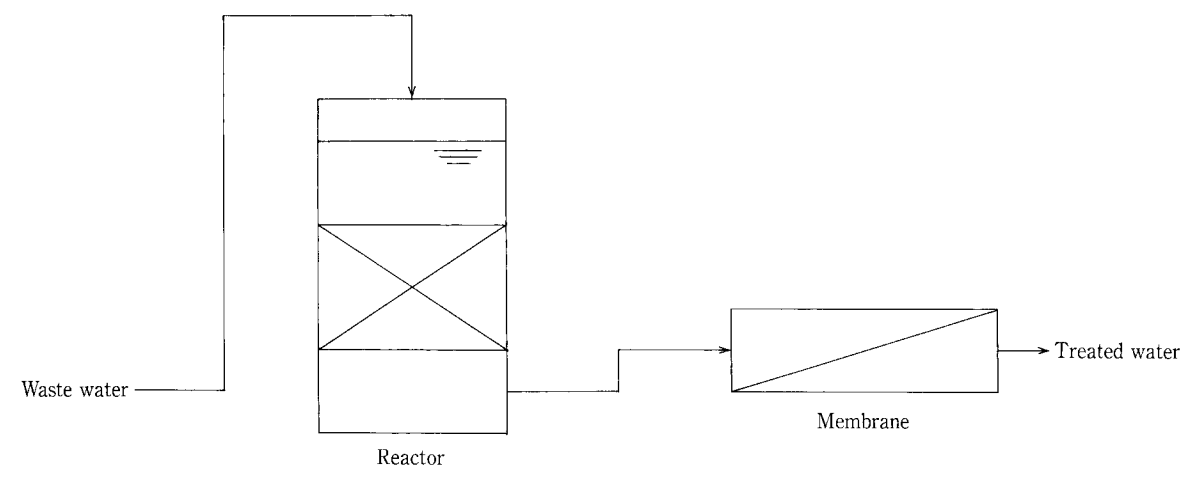
#### 2. 2 流動床式生物処理方式

担体に生物を付着させ、処理対象液を上向流で通水し担体を流動させ、排水中のTOC成分を担体に付着させた生物に接触させて除去する。流出した菌体等の固形物は次工程の膜装置等で除去するシステムである。社内試験の結果では、担体としては粒状活性炭が適しており、TOC除去率90%以上が得られたが、活性炭の微細化や流出が認められた。

第3図に流動床式生物処理装置のフローを示す。

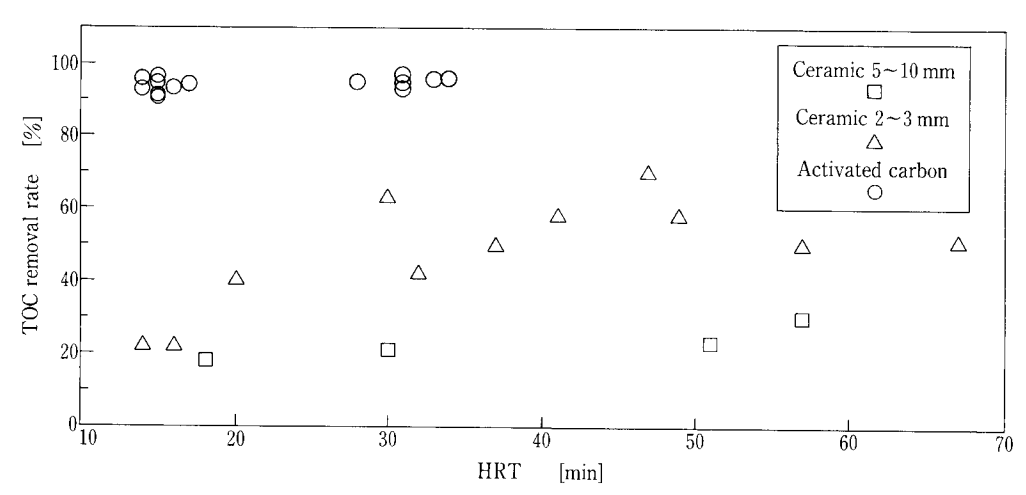
### 2. 3 固定床式生物処理方式

一定の粒径を持った担体に生物を付着させ、下向流で処理対象液を通水し、排水中の TOC 成分を生



第4図 固定床式生物処理装置フロー

Fig. 4 Schematic diagram of fixd-bed type biological treatment



第5図 HRTとTOC除去率の関係

Fig. 5 Relationship between HRT and TOC removal rate (HRT:Hydric Retention Time)

第1表 使用原水 (模擬排水) 組成 Table 1 Composition of artificial waste water

Substance	TOC ratio(%)	Concentration (mg/L)
TOC	_	3
IPA	50	2.5
Methanol	40	3.2
Acetone	10	0.48
K	_	1.0
Ca		1.0
Cg	_	1.0
Mn	_	0.1
Cu	_	0.1
Fe	_	0.05
Zn	_	0.1

物により除去し,流出した菌体等を膜装置等で除去 する方式である。

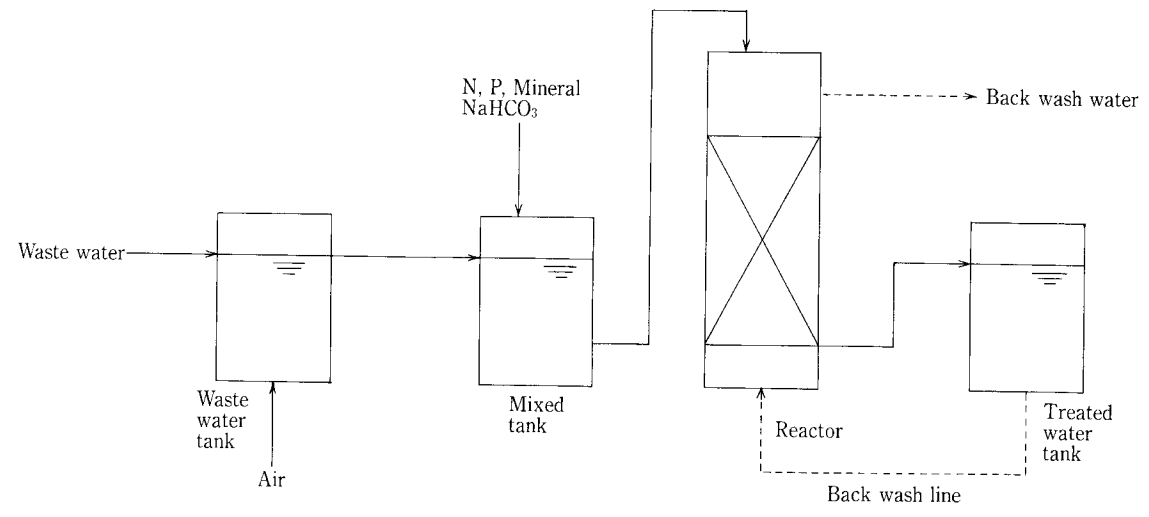
この方式は粒状活性炭を使用した流動床式の場合 と異なり活性炭の微細化や流出がなく、そのため後 処理である膜処理装置での目詰りによる透過水量の 低下が起こり難く、洗浄頻度も少ない。固定床式生 物処理装置のフローを第4図に示す。

固定床式と流動床式の選定については,前項で述べた理由から微細活性炭の流出がない固定床式とした。

## 3. 試験結果

## 3. 1 使用担体の選定

被処理液として, 第1表に示す組成の模擬廃液を使用して次の3種類の担体での処理性能の違い及び菌体付着数の違いを調査し使用する担体を決定した。なお模擬廃液にはTOC濃度に対して5%の窒素と



第6図 試験装置フロー

Fig. 6 Schematic diagram of test equipment

1%のリンを添加した。 試験装置は直径 $150\,\mathrm{mm}$ , 高さ $2\,000\,\mathrm{mm}$ の透明カラムを用いた。

使用担体(3種類)

材 質	粒径(mm)
セラミック	$5 \sim 10$
セラミック	$2 \sim 3$
球状活性炭	$1.3 \sim 1.6$

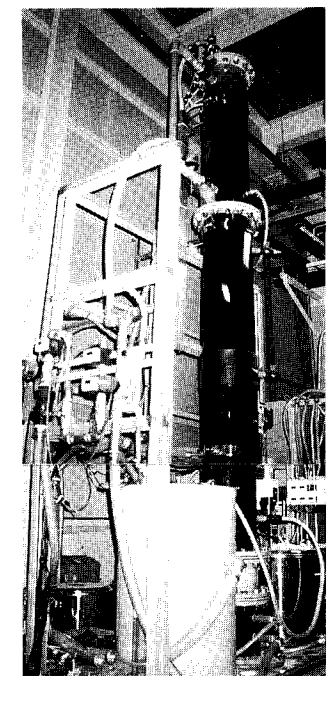
各担体を使用した場合の滞留時間と除去率の関係を第5図に示す。結果はセラミックの担体は粒径5~10 mmのものでは滞留時間50分で TOC 除去率約20%, 粒径2~3 mmのもので TOC 除去率約60%であった。これに対して球状活性炭の場合は滞留時間14~34分で TOC 除去率90%以上であった。このことから担体は球状活性炭を使用することに決定した。なお各担体の菌体付着数は第2表に示す通りであり各担体間での菌体数の付着数は球状活性炭が一番多かった。具体的には PGY 培地の場合,直径5~10 mmのセラミックの約7倍,直径2~3 mmのセラミックの約2.6倍であり,R2A 培地においても各々約4.3倍,6.7倍であった。

#### 3.2 実排水による試験結果

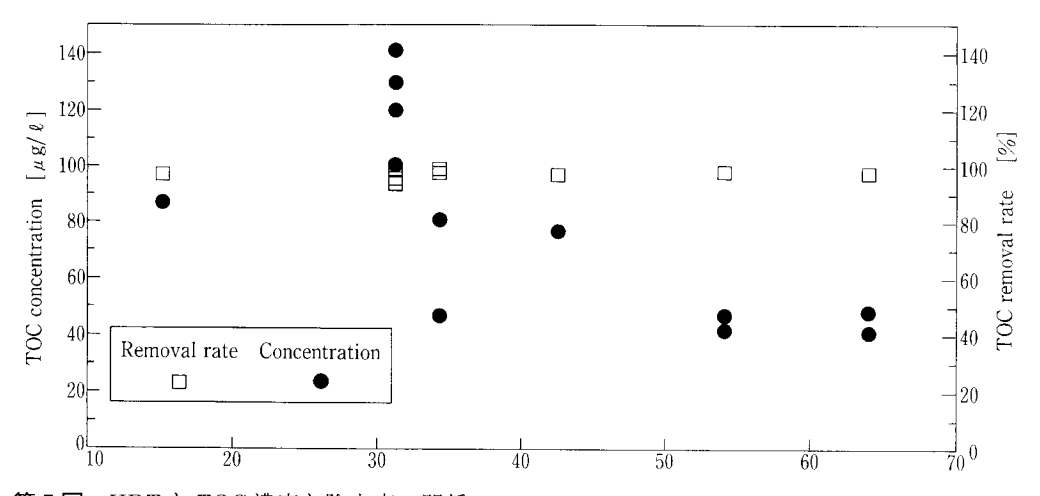
連続運転の安定性,排水濃度の変化等の影響を確認するため直径300 mm,高さ3 800 mmのパイロット装置により実排水を使用して試験を実施した。第6図に装置のフローを写真1に装置の外観を示す。試験期間中の実排水のTOC濃度は2.3~2.9 mg/Lであった。

第2表 担体への菌体付着数 Table 2 Count of bacteria on media

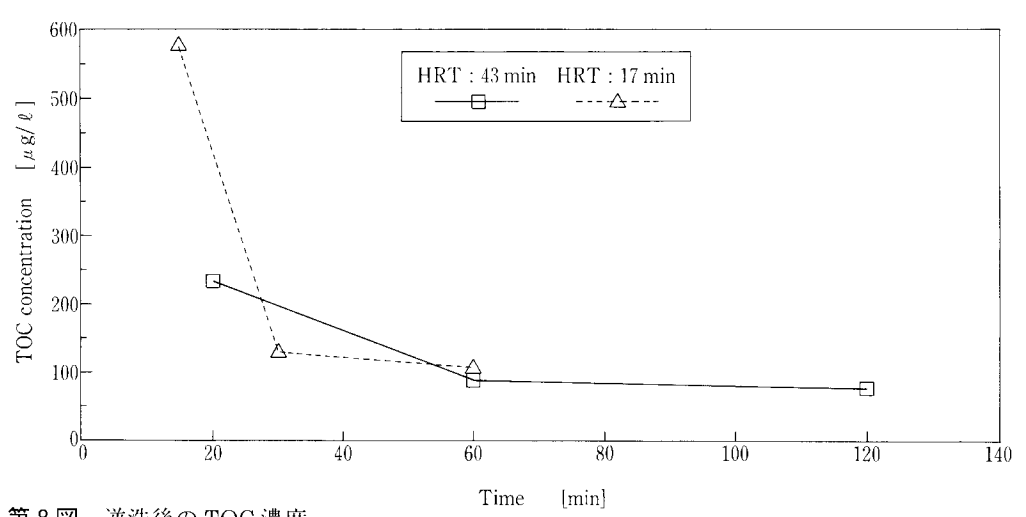
Kind of media	Bacteria (cfu/	ml · elements)
Kind of media	PGY	R2A
Ceramic (5~10 mm)	1.4×10 <sup>6</sup>	1.4×10 <sup>6</sup>
Ceramic (2~3 mm)	3.8×10 <sup>6</sup>	8.9×10 <sup>5</sup>
Activated Carbon	9.7×10 <sup>6</sup>	6.0×10 <sup>6</sup>



写 真 1 試験装置 Photo.1 Test equipment



第7図 HRTとTOC 濃度と除去率の関係RT [min]
Fig. 7 Relationship between HRT and concentration and removal rate of TOC (HRT:Hydric Retention Time)



第8図 逆洗後の TOC 濃度 Fig. 8 TOC concentration after back wash

滞留時間と TOC 除去率、処理水中の TOC 濃度を第7図に示す。TOC 除去率は、滞留時間 $15\sim65$ 分まででいずれも90 %以上であった。また処理水中の TOC 濃度は滞留時間30分では $100\sim140~\mu g/L$ 、60分では $40\sim50~\mu g/L$  であった。

## 3. 3 装置停止後の再起動および逆洗後の処理水質 の経時変化について

実装置の場合,装置を一時停止した後に処理水が 安定するまでの時間と,逆洗後に水質が安定するま での時間は運転管理上重要な問題となってくるため, 故意に装置を一時停止し,再度通水した場合の水質 と逆洗終了後の水質の変化も確認した。

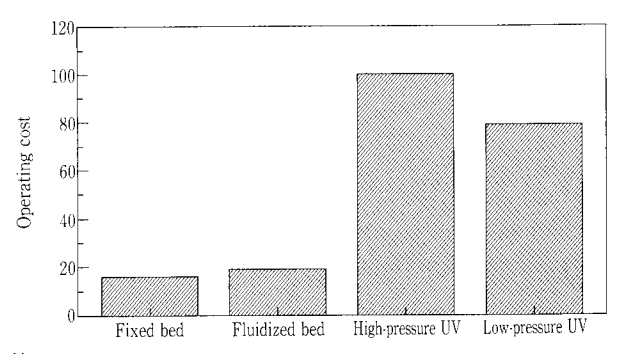
一時停止後の立上げ試験において停止前の処理水 は滞留時間64分で TOC 濃度48.4 µg/L, TOC 除去 率98.1 %であった。一週間装置を停止した後通水 を再開した場合,滞留時間が64分の条件で通水再開後3時間でのTOC濃度は128 µg/L,除去率は,93.6%と良好であり一週間程度の装置停止ならば,通水後3時間以内で立上ることが確認できた。

逆洗後の処理水質の経時変化について第8図に示す。滞留時間43分の場合には逆洗後60分から、滞留時間17分の場合には逆洗後30分から水質が安定している。すなわち逆先を行った場合滞留時間の1.4~1.8倍の時間で処理水質は安定した。

## 4. 菌の種類について

今回の試験に使用した球状活性炭の一部から,菌を単離培養し電子顕微鏡写真を撮影した。

菌の種類は Pseudomonas diminuta であり、この 菌は超純水中でも生息することができる種に属する ものであり、貧栄養下でも繁殖をすることができる。



第9図 ランニングコスト比較

Fig. 9 Comparison of operating cost

写真2に電子顕微鏡写真を示す。

## 5. 各種 TOC 除去装置の経済比較

有機排水回収を行う場合の回収にかかるコストを 固定床式生物処理方式,流動床式生物処理方式,高 圧 UV 酸化方式,低圧 UV 酸化方式の4つについ て比較した。

第9図に高圧 UV 酸化方式のランニングコストを100とした場合の各処理方式でのランニングコストについて示す。

生物処理方式は UV 酸化方式と比較して, ランニングコストが安く, おなじ生物処理方式でも固定床式のランニングコストは流動床式の85%である。これは流動床方式の場合担体を流動させるために一定以上の流速を必要とするための動力を要するためである。また, 固定床式生物処理方式のランニングコストは高圧 UV 方式と比較すると約1/5となった。

### むすび

今回の試験検討によって固定床式生物処理方式について次のことが確認できた。

1)担体として球状活性炭はセラミックより高い TOC 除去率が得られた。

TEL 992 - 6532

FAX 992 - 6503

2) TOC濃度約3mg/Lの実排水を処理した場合,

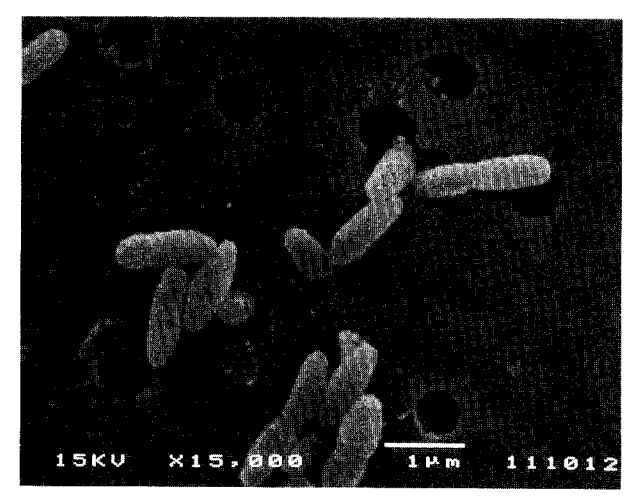


写真 2 Pseudomonas diminutaの電子顕微鏡写真 Photo.2 SEM of Pseudomonas diminuta

滞留時間15~65分においていずれも TOC 除去率90 %以上であった。

また処理水の TOC 濃度は、滞留時間30分では  $100\sim140\,\mu\text{g}/\text{L}$ 、60分では $40\sim50\,\mu\text{g}/\text{L}$ であった。

- 3)装置を7日間停止した後でも、3時間以内に立上げができた。
- 4) 逆洗後, 充填した担体の1.4~1.8倍量の排水を 通水すれば定常状態の処理水質になった。
- 5) TOC 分解菌は Pseudomonas diminuta であった。
- 6) ランニングコストは高圧 UV 酸化方式と比較 して約1/6, 低圧 UV 酸化方式と比較して1/5 である。

今後はさらに濃度変動の激しい排水や,他の成分が含まれる排水についても処理性能,安定性を確認し,適用範囲を広げ排水の回収・再利用に本装置を役立ててゆく所存である。

#### [参考文献]

1) 神鋼パンテツク技報 Vol. 40. No. 2 (1997 P. 16)

連絡先

杉 澤 政 宣 環境装置事業部 製品開発室 知 福 博 行 環境装置事業部 (技術士・環境計量士) 製品開発室

製品開発至 担当課長

TEL 992 - 6532

FAX 992 - 6503

E-mail m.sugisawa@ pantec. co.jp

E-mail h.chifuku@ pantec. co.jp

## 浸出水のカルシウム除去

#### Removal of Calcium from Landfill Leachate



(環)技術部計画 橋 本 w ,. Takayuki Hashimoto

近年、埋立浸出水のカルシウムイオンや塩素イオン等の無機塩類が高濃度となり、浸出水処理 施設内の配管や機器類にスケーリングの問題が生じている。これに対応して、カルシウム除去法 である炭酸ナトリウム添加によるアルカリ凝集沈殿法を、最近運転開始した処理施設に採用した。 本法は適正な pH 調整のもとで、炭酸ナトリウムを添加し、不溶性の炭酸カルシウムを生成・ 析出させカルシウムを除去する方法である。カルシウムを除去した上澄水は生物処理でBODと 窒素を、また、砂ろ過・活性炭吸着でSS、CODを除去している。脱水性の良い炭酸カルシウム 汚泥は, 無薬注で直接脱水している。

Recent trend of high-strength calcium in landfill leachate causes scaling of piping and equipment in the landfill facilities. To cope with the situation, the alkali coagulation/ sedimentation method, using sodium carbonate was applied to a landfill leachate treatment facility recently started. Calcium is securely removed under adequate pH control as insoluble calcium carbonate(CaCO3). After calcium removal, BOD and nitrogen is removed with biological treatment, and SS and COD are with sand filter plus activated carbon filter. The highly dewaterable CaCO3 sludge is directly sent to dehydrator where chemical injection is no required.

## Key Words:

埋 立 地 出 水

Landfill Leachate

カルシウム除去

Calcium removal

#### まえがき

近年,一般廃棄物最終処分場における環境対策と して, 浸出水による水質汚濁防止の重要性が高まっ ており、浸出水処理の高度化が求められている。ま

た,埋立物が従来の可燃物主体から,焼却残渣や不 燃物主体に変遷した結果, 浸出水中のカルシウムイ オンや塩素イオン等の無機塩類が高濃度となり,浸 出水処理施設内でのスケール障害,機器類の腐食,

放流先での塩害等が発生している。このような無機 塩類による問題は浸出水処理の今日的課題であり、 その対応が求められている。

1997年3月に完成した福島県いわき市の浸出水処理施設は、カルシウム除去及び脱窒・高度処理を備えた施設である。処理方式は、カルシウムを炭酸ナトリウム添加によるアルカリ凝集沈殿で除去後、回転円板による生物学的脱窒、凝集沈殿処理をし、高度処理として砂ろ過、活性炭吸着である。汚泥処理は、炭酸カルシウム汚泥と生物処理後の凝集沈殿汚泥を各々別系統の脱水機で処理している。

本稿では、その施設の概要を紹介する。

### 1. 最終処分場の概要

いわき市においては、収集された一般廃棄物は、 市の焼却施設、粗大ごみ処理施設にて処理を行い、 既設埋立地で埋立処分を行っていたが、残存容量が 少なくなり、新たに一般廃棄物最終処分場を建設、 1997年3月に竣工し、現在稼動中である。

#### 1. 1 埋立地 (写真 1)

敷地面積:367 468 m²
 埋立面積:44 560 m²
 埋立容量:600 000 m³

4) 埋 立 物:不燃物及び焼却残渣

5) 埋立構造: 準好気性

6) 埋立工法:サンドイッチ方式

#### 1.2 浸出水処理施設(写真2)

1) 計画水量: 200 m³/d

2) 計画水質:第1表に流入水質と処理水質を示す。

3) 処理方式

水 処 理:カルシウム除去,生物学的脱窒

(回転円板), 凝集沈殿、砂ろ過,

活性炭吸着,消毒

汚泥処理:濃縮,脱水

## 2. 浸出水処理施設の概要

浸出水の処理方法は流入水質・処理水質を考慮し、 第1図処理工程概要,第2図フローシートに示す通りである。

#### 2.1 前処理・調整槽設備

#### 2. 1. 1 プロセス説明

埋立地からの浸出水は、原水槽へ流入し、原水ポンプにより調整槽へ送水される。浸出水の流入量は、原水ポンプの送水管に設置した電磁流量計にて測定している。

調整槽には、浸出水の腐敗防止、水質の均一化を図るために、一般的には散気装置を設置するが、ここでは、散気空気中の $CO_2$ と浸出水中のカルシウムイオンが反応し、炭酸カルシウム( $CaCO_3$ )を生成・析出して、散気装置が詰まり、トラブルとなることを避けるために、機械撹拌方式の水中ミキサーを採用した。

調整槽からカルシウム除去設備への送水管は,スケールによる閉塞を考慮して,管理の容易な露出配管とし、かつ2条管とした。

第1表 流入水質及び処理水質

Table 1 Water quality

tem	Influent	Effluent
	$6.0 \sim 10.0$	$5.8 \sim 8.6$
(mg/ $\ell$ )	100	< 10
$(mg/\ell)$	200	< 10
$(mg/\ell)$	200	< 25
$(mg/\ell)$	100	< 25
$(mg/\ell)$	1 000	<100
	(mg/ℓ) (mg/ℓ) (mg/ℓ)	$6.0 \sim 10.0$ $(mg/\ell)$ $(mg/\ell)$ $200$ $(mg/\ell)$ $200$ $(mg/\ell)$ $100$

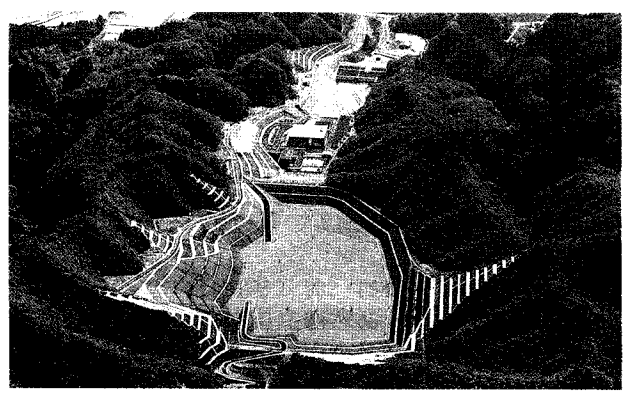
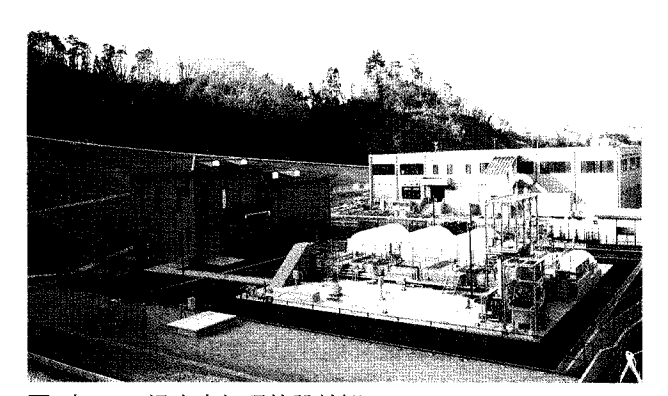


写真 1 埋立地外観 Photo.1 Outside view of Landfill



写 真 2 浸出水処理施設外観 Photo.2 Outside view of Landfill leachate treatment

#### 2.1.2 機器の仕様

1) 原水ポンプ 2台

形 式:水中汚水汚物ポンプ

仕 様: 0.6 m³/min×8 m×2.2 kW

2) 調整槽ポンプ 2台

形 式:水中汚水汚物ポンプ

仕 様: 0.25 m³/min×8 m×1.5 kW

3) 調整槽撹拌機 2 台 形 式:水中ミキサー

仕 様:撹拌容量 260 m³×1.5 kW

## 2.2 カルシウム除去設備(写真3)

#### 2. 2. 1 プロセス説明

浸出水中のカルシウムイオンは、水中や空気中のCO<sub>2</sub>と反応して、炭酸カルシウム(CaCO<sub>3</sub>)を生成・析出する。この炭酸カルシウムスケールは、配管閉塞、ポンプ閉塞等の機器障害や、回転円板体表面や散気装置に付着して処理性能が低下する等の障害を起こす。

スケール対策の技術は、炭酸カルシウムの成分であるカルシウムイオンそのものを除去する方法(カルシウム除去法)と、カルシウムイオンを直接除去することなく他の条件を操作することにより炭酸カルシウムの生成・析出を抑制する方法(スケール抑制法)とに大別される。

・カルシウム除去法 - ・炭酸ナトリウム添加によるアルカリ凝集 沈殿 - ・晶析法 - ・イオン交換法

・スケール抑制法 — ・分散剤の添加・pH 調整

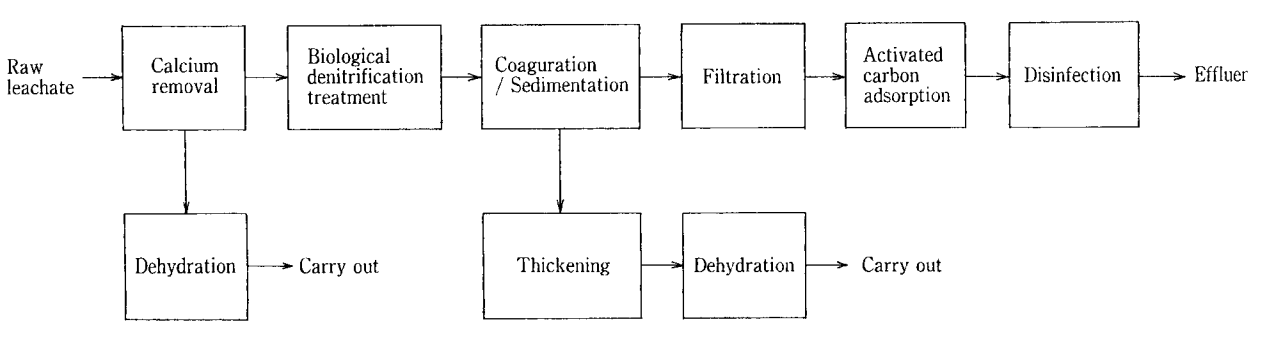
本施設では、処理の確実性、実績、アルカリ凝集 沈殿のため重金属除去が可能等の利点を有する炭酸 ナトリウム添加による凝集沈殿法を採用した。次に 示す反応により炭酸カルシウムを生成させ、カルシ ウムを除去する。

Ca<sup>2+</sup>+Na<sub>2</sub>CO<sub>3</sub> (炭酸ナトリウム) →CaCO<sub>3</sub> (炭酸カルシウム) +2Na<sup>+</sup>

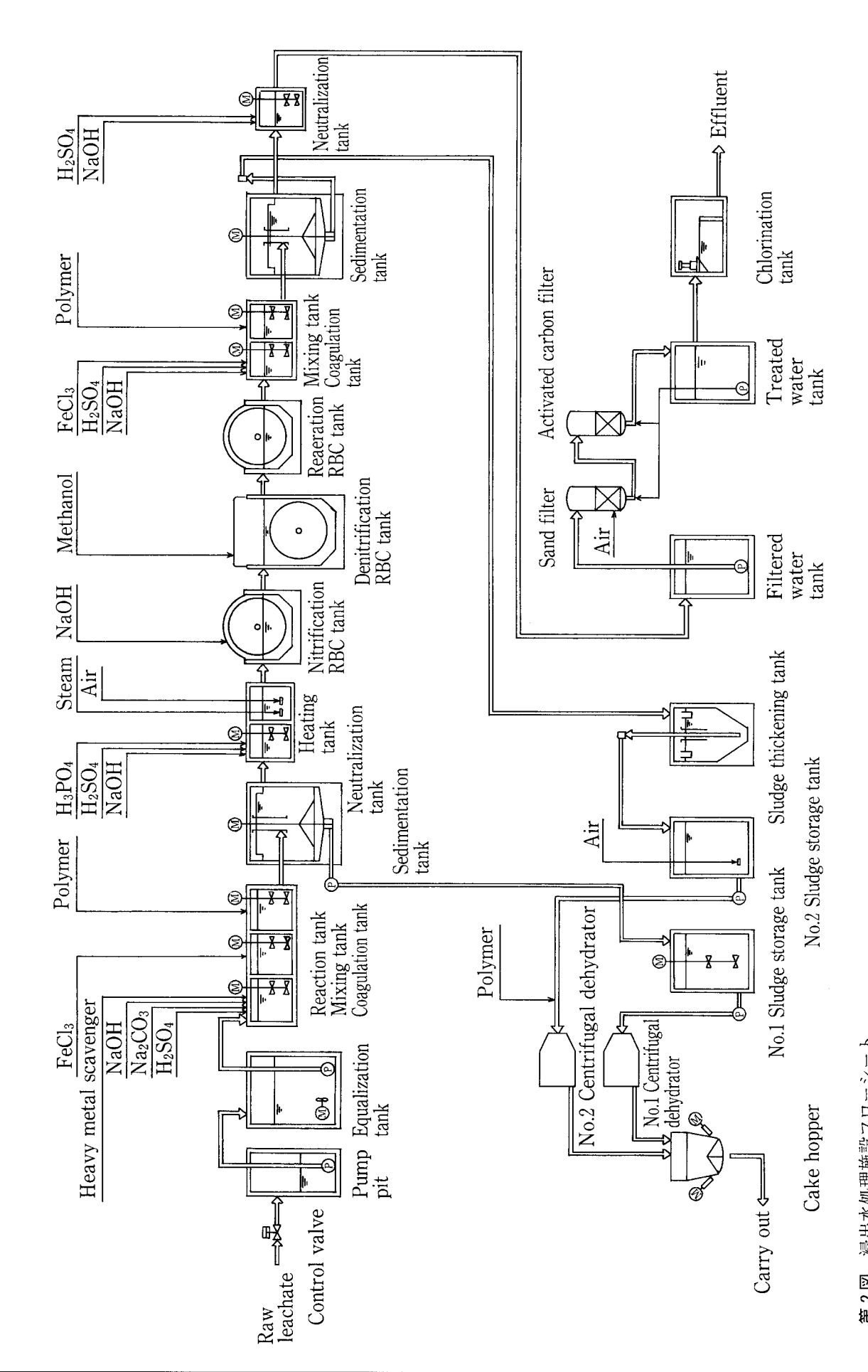
上記反応の適正 pH は  $9 \sim 10$ である。但し炭酸ナトリウムを注入すると pH が上昇する。したがって、浸出水の pH やカルシウムイオン濃度によっては酸、もしくはアルカリの添加が必要となる。

カルシウム除去設備として重要なことは,処理の 安定性と維持管理の容易性であり,次の点について 配慮した。

- (1) 反応槽,混和槽,凝集槽の清掃が容易に出来るように水槽上部は全面開口とし,更に各槽にはドレン弁を設置し,容易に空に出来る設備とした。
- (2) 反応槽と混和槽の撹拌機は,定期的にスケール 除去が必要であり,容易に取り外し可能な可搬式 とした。
- (3) pH 計は、センサー部に付着したスケールを自動的に除去する薬液洗浄形(薬液回収タイプ)として、測定値の正確性と安定性を図り、維持管理の容易な設備とした。
- (4) 炭酸カルシウム汚泥は,沈降性がよく,閉塞しやすいので汚泥引抜ポンプによる強制引抜きとし,ポンプ形式は,無閉塞形汚泥ポンプとした。
- (5) 沈殿槽の流入管や汚泥引抜き管は、閉塞時を考慮して洗浄できる設備とした。



第1図 処理工程概要 Fig. 1 Flow diagram



第2図 浸出水処理施設フローシート Fig. 2 Flow sheet for landfill leachate treatment

#### 2. 2. 2 設計条件

1) 反応槽滞留時間:5 min 以上

2) 混和槽滯留時間:5 min 以上

3) 凝集槽滯留時間: 20 min 以上

4) 沈殿槽滯留時間:4 hr 以上

5) 沈殿槽水面積負荷: 20 m³/(m²·d)以下

6) 中和槽滞留時間: 10 min 以上

### 2. 2. 3 機器仕様

1) 反応槽撹拌機 1台

形 式:プロペラ式(可搬式)

仕 様: 295 min<sup>-1</sup>×0.2 kW

2) 混和槽撹拌機 1台

形 式:プロペラ式(可搬式)

仕 様: 295 min<sup>-1</sup>×0.2 kW

3) 凝集槽撹拌機 1台

形 式:パドル式

仕 様:35 min<sup>-1</sup>×0.75 kW

4) 汚泥掻寄機 1基

形 式:中心駆動懸垂式

仕 様:3800 mm  $\phi \times$  周速4 m/min  $\times$  0.4 kW

5) 中和槽撹拌機 1台

形 式:プロペラ式

仕 様: 295 min<sup>-1</sup>×0.75 kW

6) 汚泥引抜ポンプ 2台

形 式:無閉塞形汚泥ポンプ

仕 様: 0.25 m³/min×6 m×1.5 kW

#### 2.3 生物処理設備(写真3)

## 2. 3. 1 プロセス説明

生物処理の前段では加温槽を設け、冬期の水温低下時に蒸気を吹き込み浸出水の加温を行う。水温は硝化・脱窒作用に及ばす重要な因子であり、水温が低下した場合、自動的に設定した温度に昇温して生物処理の安定を図つている。

生物脱窒処理は,負荷変動に対する安定性,管理の容易性から,回転円板法を採用し,酸化・硝化槽,脱窒槽,再ばっ気槽から成る。水素供与体としてメタノールを使用するプロセスである。

負荷変動への対応及び清掃時を考慮し,バイパス 水路を設け水槽数の調整可能な構造とした。

#### 2. 3. 2 設計条件

1) 硝酸化用回転円板:6g-BOD/(m²-RD·d) 以下

1.5 g-NH,+N/(m²-RD·d)以下

2) 脱窒素用回転円板: 3 g-NOx-N/(m²-RD·d)以下

3) 再ばっ気用回転円板: 10 g-BOD/(m²-RD·d)以下

### 2. 3. 3 機器仕様

1) 硝酸化用回転円板 3基

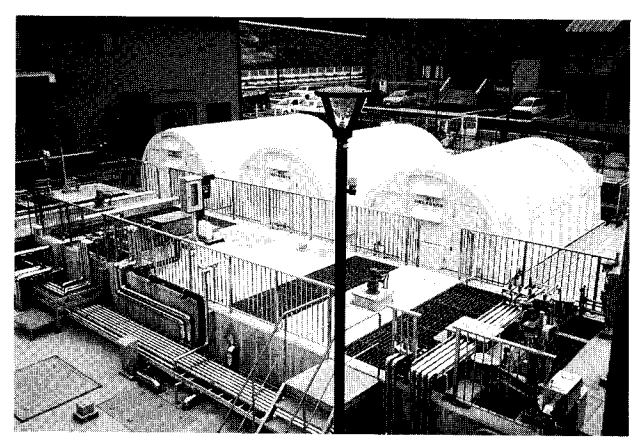


写真 3 凝集沈殿(カルシウム除去)・回転円板装置 Photo.3 Coagulatioin/ sedimentation and RBC

形 式: 半水没形

仕 様:3600 mm  $\phi$ ×7540 m<sup>2</sup>×3.7 kW

2) 脱窒素用回転円板 1基

形 式:水没形

仕 様:3600 mm  $\phi \times 7540$  m<sup>2</sup>  $\times 3.7$  kW

3) 再ばっ気用回転円板 1基

形 式:半水没形

仕 様:2400 mm $\phi$ ×1040 m<sup>2</sup>×0.75 kW

## 2. 4 凝集沈殿設備

#### 2. 4. 1 プロセス説明

凝集剤に塩化第二鉄を、凝集助剤に高分子凝集剤を使用し、COD除去に効果的な弱酸性凝集沈殿処理が可能な設備とした。

#### 2. 4. 2 設計条件

1) 混和槽滞留時間:5 min 以上

2) 凝集槽滞留時間: 20 min 以上

3) 沈殿槽滯留時間:3 hr 以上

4) 沈殿槽水面積負荷:20 m³/(m²·d)以下

5) 中和槽滞留時間:10 min 以上

#### 2. 4. 3 機器仕様

1) 混和槽撹拌機 1台

形 式:プロペラ式

仕 様: 295 min<sup>-1</sup>×0.4 kW

2) 凝集槽撹拌機 1台

形 式:パドル式

仕 様:35 min<sup>-1</sup>×0.75 kW

3) 汚泥掻寄機 1基

形 式:中心駆動懸垂式

仕 様:3800 mm φ×周速2 m/min×0.2 kW

4) 中和槽撹拌機 1台

形 式:プロペラ式

仕 様: 295 min<sup>-1</sup>×0.75 kW

#### 2.5 高度処理設備(写真4)

## 2. 5. 1 プロセス説明

高度処理としては、SS 除去用に砂ろ過器、COD 除去用に活性炭吸着塔を設置した。

砂ろ過器,活性炭吸着塔は,シリーズで通水し,タイマーによる自動逆洗が可能なシステムとした。 腐食対策として砂ろ過器,活性炭吸着塔の内面は,ゴムライニングとし,内部配管,部品等は全て樹脂 製とした。

## 2. 5. 2 設計条件

- 1) 砂ろ過速度: 200 m/d 以下
- 2) 活性炭吸着空とう速度: 4 m³/(m³·h)以下

#### 2. 5. 3 機器仕様

1)砂ろ過器 1基

形 式:圧力式下向流

仕 様:2層ろ過×1350 mmø

2) 活性炭吸着塔 2基

形 式:圧力式下向流

仕 様:1400 mmφ×層高2000 mm

### 2.6 汚泥処理設備(写真5)

#### 2. 6. 1 プロセス説明

カルシウム除去設備から発生する炭酸カルシウム 汚泥は、生物処理後の凝集沈殿汚泥と比べ濃度や性 状が異なり、かつ発生量も6~8倍と多いため、汚 泥処理は2系統とし、遠心脱水機を2台設置した。 但し、流入カルシウム濃度が低い時期にも考慮して、 混合汚泥での1系統処理も可能な設備とした。

炭酸カルシウム汚泥は沈降性が良く、圧密しやすいので濃縮槽を設けず、凝集沈殿槽から直接汚泥貯留槽に送泥している。汚泥貯留槽の撹拌は、パドル形撹拌機を採用し、常時運転をすることにより汚泥の沈降、圧密防止を図つている。

炭酸カルシウム汚泥は、脱水性が良く、脱水機内で詰まりやすいことから、遠心力を1000~1500Gに調整可能な回転数制御とした。また、無薬注で十分脱水が可能であり、脱水助剤設備は設けていない。

生物処理後の凝集沈殿汚泥は、濃縮後脱水助剤を 注入し遠心力2100Gで脱水処理している。

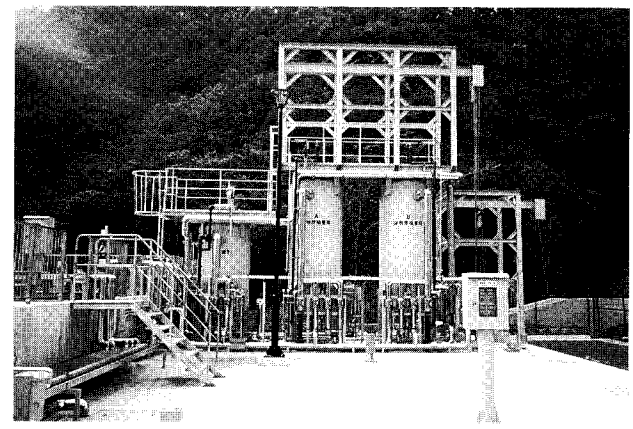
#### 2. 6. 2 設計条件

1) 脱水ケーキ含水率: カルシウム汚泥 70 % 以下 凝集沈殿汚泥 85 % 以下

#### 2. 6. 3 機器仕様

1) No.1 脱水機(カルシウム汚泥用) 1台 形 式:遠心脱水機(インバーターによる可変) 仕 様:15 m³/ h(300 kg/h)

2) No.2 脱水機 1台



写 真 4 砂ろ過・活性炭吸着塔

Photo. 4 Sand filter and Activated carbon filter

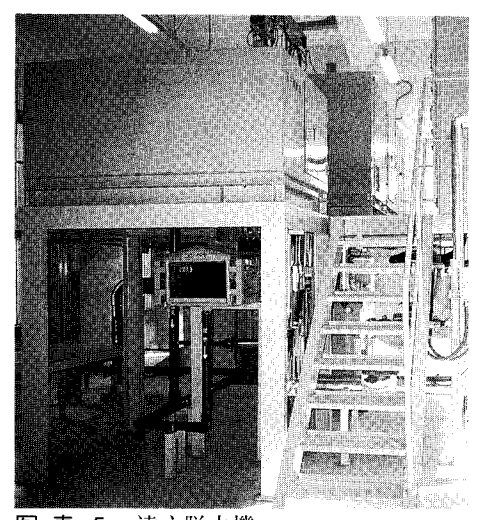


写真 5 遠心脱水機 Photo.5 Centrifugal dehydrator

形 式:遠心脱水機

仕 様:2 m³/ h(40 kg/h)

3) No.1 給泥ポンプ 1台

形 式:一軸ネジ式

仕 様: max 22.5 m³/h×20 m×7.5 kW

4) No.2 給泥ポンプ 1台

形 式:一軸ネジ式

仕 様: max 3.0 m³/h×20 m×7.5 kW

5) No.1 汚泥貯留槽撹拌機(カルシウム汚泥用)

1台

形 式:パドル式

仕 様:43 min<sup>-1</sup>×15 kW

#### 2. 7 監視設備

日常管理の目的は,設備を安定的に運転し,水質 を維持することであり,そのためには,水質,水量 の監視及び運転状況の把握が重要となる。浸出水処 理は水質、水量の時間的、季節的変動が大きく、適 正な運転をするためには、管理を効率的に行う監視 装置が求められる。

操作室に工業用パソコンを用いた監視装置(PCロガー)を設置し、警報監視、データ収集などの集中管理を行っている。

監視装置は機器の運転、故障状況を示すフローシート表示、計測値表示、管理日報、月報、年報の作成及び警報監視等の機能を有している。

さらに,処理施設内に設置した雨量計からのデータと,浸出水処理施設への流入量から埋立地内の貯留量を予測する機能も有している。

### むすび

本処理施設は、1997年3月に完成し、稼動を始めて間もない設備である。埋立作業は順次行われているが、計画流入水質に比べ現在の流入水質は、はるかに低い。これも浸出水処理施設の宿命と言える。

流入水質は、今後徐々に上がっていくと予想されるが、季節的及び経年的な水質変動に対応するためには、適正な運転管理が必要となってくる。メーカーとして、今後その状況を見守っていく所存である。

最後に、本施設の建設にあたり、多大な御指導を いただいたいわき市の方々に、深く感謝致します。

連絡先

橋 本 敬 行環境装置事業部<br/>技術部計画第1課<br/>担当課長

TEL 03 - 3459 - 5944

FAX 03 - 3437 - 3256

E-mail t.hashimoto@pantec. co.jp

## PCB 処理技術(SP プロセス)について

SP Process: Chemical Dechlorination Process of PCB in Waste Materials









(技)研究開発部川井井 Takao Kawai 丸 Kazumaru Saeki Sutomu Nakanishi Takahiro Hattori

神鋼パンテツクは PCB 汚染廃棄物中の PCB の化学的脱塩素化処理技術を開発した。名付け て SP プロセス(ナトリウム粉末分散油添加法)である。本プロセスは 2 つの主要部からなる。 第一は Powertech 社の開発技術を導入した化学的処理法で、比較的低温で反応し、残留 PCB 濃度を0.5 ppm 以下にする。本技術はカナダで十年間に9 000 m³以上の汚染油処理実績を有す。 第二は脱塩素プロセスで生じた廃液に含まれる二次生成物を生物学的処理法で除去するシステム である。本処理装置はコンテナサイズに収納し、移動容易な装置であるので PCB 汚染物保管サ イトにて処理することが可能である。

Shinko Pantec has developed a chemical treatment process for the dechlorination of PCB contaminated in waste materials, named SP process; Sodium Pulverulent Dispersion oil Put on Process by Shinko Pantec and Powertech. This process is composed of two major process. One is chemical destruction process originally developed by Powertech with using sodium pulverulent dispersion oil as a reagent react with contaminated PCB at a relatively low temperature and reduce the PCB level lower than 0.5 ppm. This original dechlorination process has a result that more than 9000 m<sup>3</sup> of PCB contaminated oil have been treated in Canada for more than ten years. Another is biological treatment system which decompose organic substances formed in the dechlorination process. Since this equipment facilitates in container size as mobile type, it is able to treat on site of storaging PCB contaminated wasts.

## Key Words:

PCB 汚染廃棄物 化学処理法 塩 ナトリウム分散絶縁油 PCB contaminated wasts Chemical method Dechlorination Sodium pulverulent dispersion oil

## まえがき

PCB (Poly Chlorinated Biphenyl:ポリ塩化ビフェニル)は1881年にドイツで合成され、1929年に米国でモンサント社が工業生産を開始、日本では鐘淵化学工業が1954年より生産を開始した。 $^{1)}$ 生産が中止されるまでの総生産量は世界的には約100万トン以上と推定されており、日本では5万9千トンが生産され、5万4千トンが国内消費されている。

PCB は化学的に安定で熱分解しにくく、酸化されにくいこと、酸・アルカリに安定で金属を腐食しないこと、水に極めて溶けにくいこと、絶縁性、耐熱性、耐薬品性に優れることから、トランス、コンデンサー等の電気絶縁油や熱交換器の熱媒体、感圧複写紙等に使用された。

しかし、1968年カネミ油症事件により PCB の毒性が問題化し、1972年製造が中止され、1974年には特定化学物質に指定された。これに伴い PCB に汚染されたトランス、コンデンサー等の廃棄物は特別管理廃棄物に指定され、保管及び数量の届け出が義務づけられて今日に至っている。

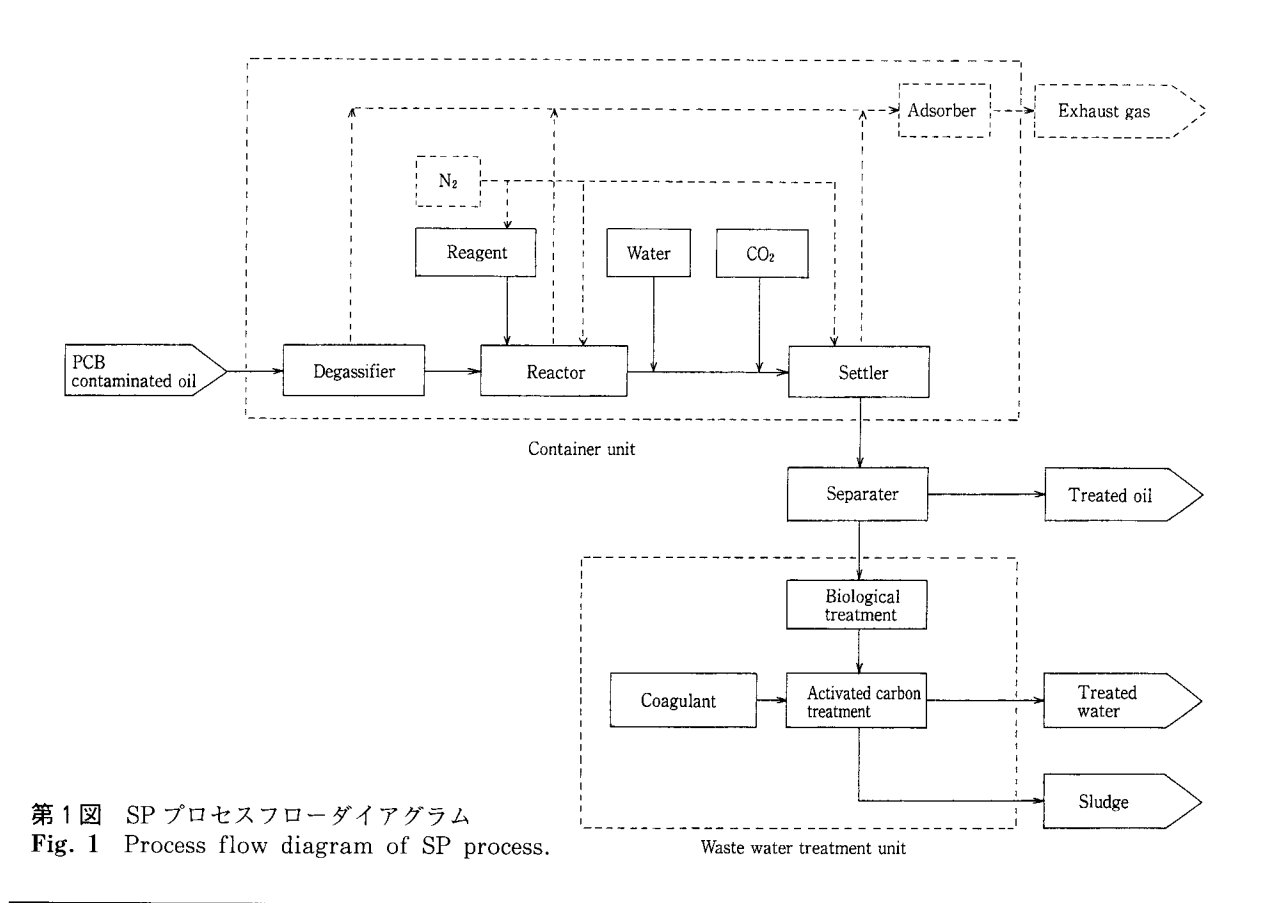
だが,阪神大震災等の緊急事態発生に際して保管物が所在不明となるなど,維持管理が必ずしも万全ではなく保管容器の老朽化とともに二次汚染の恐れ

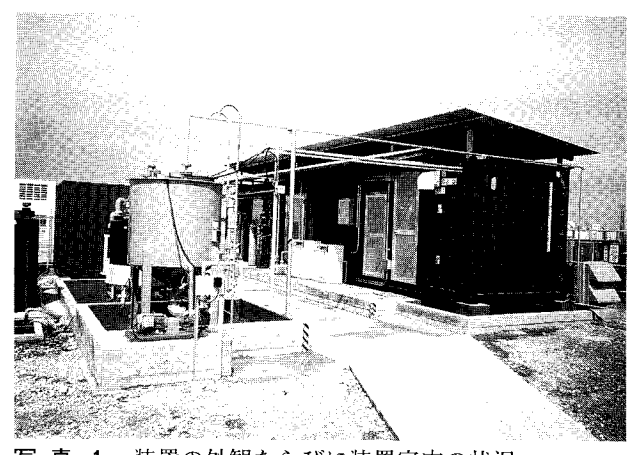
が現実味を帯びてきた。このため早急な対応が求め られている。

しかし、1986年の廃掃法改正により PCB の燃焼処理が唯一の処理法として認められているにもかかわらず、様々な要因から処理されることなく今日に至っている。その打開策の一環として、国は環境庁、通産省、厚生省が連携して諸外国における規制の現状と処理技術ならびに処理状況について現状把握に努めてきた。そして諸外国の状況と照らし合わせて合理的でかつ、より安全サイドに立脚した処理技術の検討が進められてきた。

その過程で、化学処理法が十分適用可能なレベルに達しているとの見解が示された。<sup>2)</sup> これを受けて1997年6月に廃掃法が改正され、11月には特別管理廃棄物指定のPCB濃度基準も新たに0.5 ppm が答申された。これによって遅くとも1998年6月までに化学法による処理が実施可能となるように政令が改正されることとなった。

いうまでもなく、PCB 汚染物の移動に関する規制は厳しいものがあり、できる限り移動させずに保管場所にて処理できること、コンパクトで十分な処理性能(残留 PCB 濃度及び処理量)を有し、系外に二次的な有害副生成物を発生させない設備であるこ





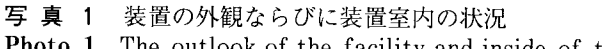


Photo. 1 The outlook of the facility and inside of the container

と,又,処理方法としては複雑でなく,扱いやすい方法であることが重要である。

当社では、前述の背景のもと、カナダ Powertech 社の技術をベースとして、日本の状況に適した処理技術を開発した<sup>3)</sup> ので本処理技術: SP プロセスについて紹介する。

## 1. 本技術の基本原理

本処理法, すなわち SP 法は Sodium Pulverulent Dispersion Put on process by Shinko Pantec Powertech の略である。本処理システムのフローを第1図に示す。

本処理技術のうち、PCBの脱塩素工程から副生成物の分離(オプションとして油の精製)まではカナダ Powertech 社の開発技術をベースとしたものである。 1986年より、カナダ国、BC Hydro (British Columbia 州電力公社) 社の工場にて柱上トランス油の汚染 PCB 処理と処理油の再生利用を手掛け、現在までに9000トン以上の処理実績を有し、現在も稼働中である。

本技術(SPプロセス)の基本となる化学反応は 次に示す反応式で示される。

nBpClm+n(mNa)→n(mNaCl)+n(Bp) 反応 1

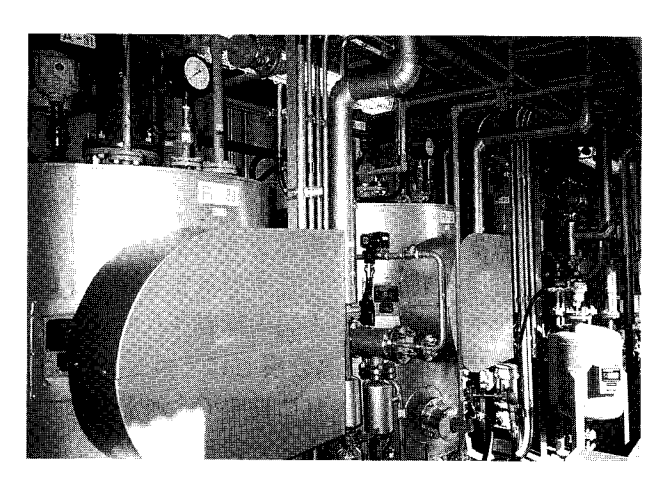
BpClm + 2mNa + mROH

→mNaCl+mNaOR+BpHm 反応 2

Na+ROH→NaOR+1/2H<sub>2</sub>

or Na+H<sub>2</sub>O→NaOH+1/2H<sub>2</sub> 反応 3

R: 炭化水素基, Bp: ビフェニル環 ((10-m) の H を含む)、 m=1 から10



本技術は超微粒子金属 Na(ナトリウム)を電気 絶縁油中に分散させた懸濁油を反応薬剤として被処 理油中に添加攪拌して、被処理油中に含まれる PCB と金属 Na を反応させて NaCl を生成させる とともに、同時に添加したプロトン供与体から Cl (塩素)の抜けた部位にプロトンを供給する事によ りビフェニル類に変換して安定化をはかる。

低濃度の場合にはプロトンは絶縁油から供給され、従ってプロトン供与体(反応促進剤)を添加しなくても脱塩素反応は進み、かつビフェニルの重合=ポリマー化は生じにくいが、高濃度の場合、促進剤の種類及び量によって脱塩素反応速度が大きく影響を受ける結果、塩素含有ポリマーが新たに生成したり、脱塩素化率が目標に達しないなどの現象が生ずる。

従って、本法では促進剤として、低濃度の場合に は極微量の水を、高濃度の場合にはイソプロピルア ルコールを添加して反応の維持を図る。

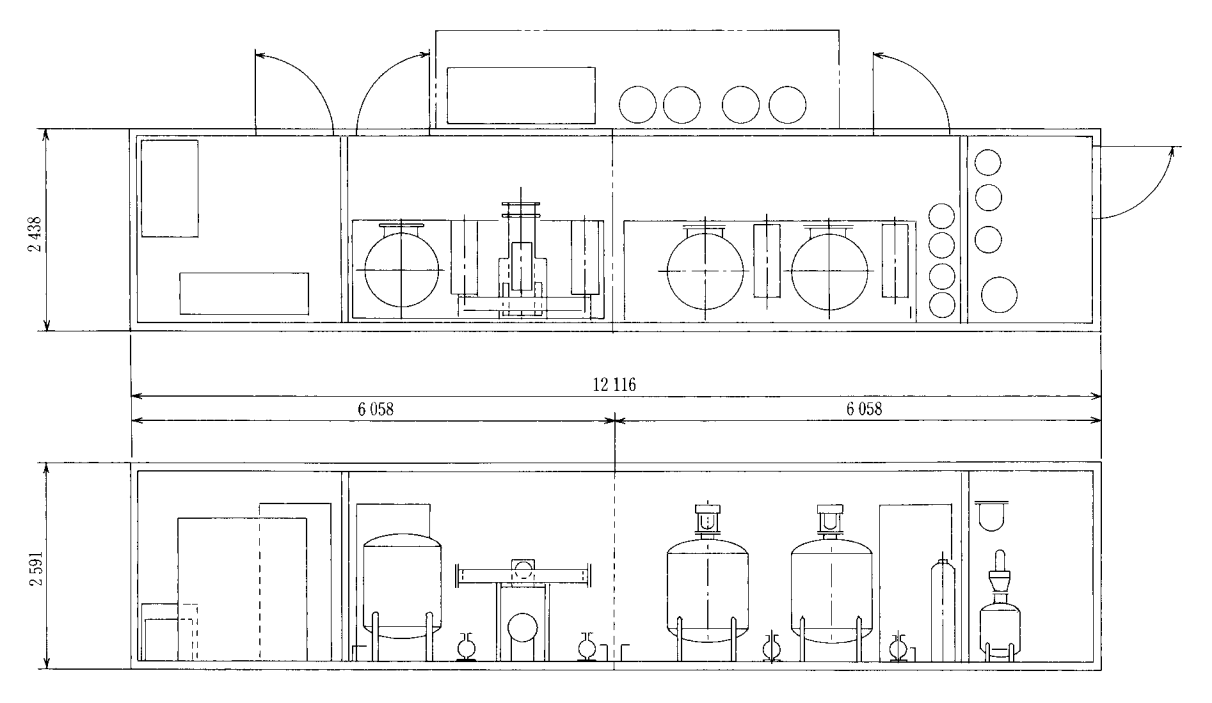
反応は低濃度の場合90 ℃以下, 高濃度の場合でも200 ℃以下でおこなわれるので, ダイオキシン等の副生成物は理論的に生成しない。また, 絶縁油の変性がほとんどなく, 絶縁油としての再生利用も可能である (ただし, 精製プロセスを通す必要がある)。

本法は難分解性有機物の生成が少ないこと,比較的添加量が少なく(塩素モル比で10倍程度),しかも反応温度が比較的低温で,反応時間が短い特徴がある。

分解によって生じたビフェニルは飽和溶解度までは絶縁油中に溶解するが、油に溶解しないで水溶液中に懸濁した有機物に対しては生物分解法により処理して、系外に排出させないことを意図している。

## 2. 設備の規模及び概要

実証試験装置の概観を第2図及び写真1に示す。



第2図 装置の概略図(単位:mm)

Fig. 2 Outline of pilot scale test equipment of dechlorination process (Unit: mm)

処理能力としては低濃度 PCB の場合で $500 \ell$ /batchである。これはコンテナサイズに装置を集約して、PCB 保管場所に移動設置可能な可搬型処理設備として設計したものである。

この処理システムは大きく区分して,主体である 反応処理システムと防火・消火システムからなって いる。

反応処理システムは次に示す機器構成からなって いる。

被処理油受け入れのための貯留槽,油加熱器,減 圧蒸留槽,反応薬剤貯槽ならびに計量槽,反応槽, 抽出槽,静置分離槽,排ガス・トラップ,ならびに 副生成物の生物処理槽から構成される。

貯留槽には処理前の PCB 汚染油が貯留される。 加熱器は油を加熱するためのものである。

減圧蒸留槽では、過剰水分を除去すると同時に 90℃まで被処理油を加熱する。

加熱及び減圧蒸留を完了した被処理油は反応槽に 送られる。本槽には反応薬剤貯槽より,事前に秤量 された反応薬剤が送り込まれて,反応がおこなわれ る。

抽出槽は反応終了後の油が移され、反応によって 生成した副生成物の水中への移行をはかる。

分離槽では副生成物ならびに洗浄水と処理油の分離をおこなう。

分離後,残された副生成物を含む廃液はバッチ式 生物処理装置に送られ処理される。

#### 3. 処理の方法ならびに処理能力

はじめに受け入れタンクに導入された被処理油は GC-ECD 法による分析によって PCB 含有量がチェックされる $^{41}$ 。

次いで、加熱器を経て減圧蒸留槽に送られ、ここで水分を分離してから、脱塩素反応槽に送られる。ここで反応薬剤貯槽から計量された薬剤が注入され、反応させる。

所定時間経過後,反応液に水及び炭酸ガスを注入しながら抽出槽に送る。ここでは,未反応の過剰薬剤の中和ならびに反応生成物である NaCl を油中から分離する。この際,水を加えて攪拌し,水中にNaCl を移行させる。ここで反応が完全に行われたことをオンサイトに設置した GC-ECD 装置にて分析確認する。本処理を経て,静置分離槽により,処理油と廃水とに分離する。

廃水は生物処理装置に送られて排水基準値以下の 水質に改質して下水放流する。

適用可能な絶縁油中の PCB 濃度範囲は上限20 %である。この理由は、 PCB そのものの粘度が高く、攪拌の影響が大きくなり、反応が進み難くなるためである。従って、これより高濃度のものを処理する場合には絶縁油(場合によっては回収再利用可能な

炭化水素系溶剤)にて本濃度以下に希釈して処理を 行う。

1%以下のPCB 濃度汚染油のPCB 分解反応は30分以内で終了する。被処理油の仕込みから反応終了,抜き出しまでの1バッチは約1時間である。本実証装置では500 ℓ/batch であるので,2 m³/日として年間500 m³ (稼働日数250日)の処理性能である。

10 %程度の高濃度 PCB 汚染油の場合には反応生成熱による温度上昇を抑制する必要があるので、約 1 時間の反応時間を要す。

#### 4. 主要な安全対策ならびに保安設備

#### 4. 1 環境汚染対策

受け入れタンク以降, 静置分離槽までは密閉式となっており, 系外への PCB 漏洩はサンプリングを除いて一切ないように設計している。

減圧蒸留槽及び反応槽での工程で発生する飛散物 が系外に排出されないように,オイル・トラップ及 び活性炭フィルターを設置して防止を図っている。 被処理油を保有する装置部には装置床部全面に防 液堤 (オイル・パン)を設け、接続部から漏液があっ ても外部に漏洩することなく回収再処理ができるよ うになっている。

装置室内部は換気扇により強制排気を行う。排気は活性炭フィルターを通過して外部に放出される。

装置を設置するにあたっては基礎として全体を防油堤で囲み,万一装置から漏洩があった場合にも土壌への汚染等の2次汚染を引き起こさないようにしている。

生物処理槽では処理油以外の副生成物(懸濁液状) を生物処理により分解し、環境基準に適合する水質 に改質する。

#### 4.2 防火対策ならびに火災予防対策

装置全般について、安全増モーター防爆仕様の電 気機器ならびに本質安全防爆機器を使用し、電気火 花による着火の防止をはかること、アース配線を確 実にし、漏電あるいは静電気による着火の防止をは

第1表 低濃度 PCB 汚染油処理のビーカー(1リットル) スケール基礎実験結果 Table 1 litre scale test result of low PCB contaminated oil.

No	volume (ml)	PCB conc. (ppm)	Temp.	PCB conc. after reaction (ppb)	Reaction time
FT-1	500	463	100	<20	5 min.
FT-2	500	463	90	<20	5 min.
FT-3	500	463	70	<20	5 min.
FT-4	500	463	60	<20	5 min.

<sup>\*</sup>PCB types are A1242 and A1260. Sample also contains 160 ppm of TTCB. Sampling time is every 5, 10, 20, and 60 minutes.

第2表 低濃度 PCB 汚染油の実機装置テスト結果(BC Hydro 社の装置750 ℓ/バッチを使用) Table 2 The test result with using actual operating equipment (at BC Hydro Co., 750 ℓ/batch scale)

No.	PCB conc. (ppm)	Temp. (℃)	React. time (minutes)	Amount of Dispersion (litre)	Residual PCB Conc. (ppm)(high resolution)
1	347	90	20	4.7	< 2 (120 ppb)
2	347	90	20	4.7	< 2 (160 ppb)
3	347	90	20	5.3	< 2 (34 ppb)
4	347	90	20	5.3	< 2 (45 ppb)
5	347	90	20	5.63	< 2 (11 ppb)
6	347	90	20	5.63	< 2 (31 ppb)
7	347	90	20	5.63	< 2 (53 ppb)
8	347	90	40	5.63	< 2 (26 ppb)
9	347	90	47	11.26	< 2 (8.5 ppb)

かっている。

反応薬剤槽と反応槽までの配管経路には、反応薬剤を送液したのち、まず加熱した油、続いて窒素ガスにて配管内をクリーニングすることと、専用容器を用いることにより密閉系で移し替えを行うようにしている。

装置は自動制御運転とし、人為的ミスによる事故を防止するとともに、作業者への PCB やその他の 危険物の暴露防止を図っている。

火災予防対策として、自動火災報知器など法律で 定められた予防対策装置及び消火設備を設置してい る。

オンサイトに分析装置を設置し、処理油の分析を行い、処理が行われていることを確認している。かつ、定期的に他の分析機関に分析依頼をして、精度検定を行っている。

## 5. 本プロセスの処理性能及び処理物の安 全性

#### 5.1 低濃度 PCB 汚染油の処理結果

1ℓビーカー装置及び20ℓ規模ベンチ設備を用いて PCB 濃度と反応薬剤(ナトリウム分散絶縁油)添加量,分散体の粒径,反応時間,反応温度,促進剤の効果等を検討した。

5. 1. 1 1ℓスケールの低濃度 PCB 汚染油処理実験結果

第1表に $1\ell$ スケールの低濃度 PCB 汚染油処理 実験結果を示す。反応時間は1時間に設定し、サンプリングは5, 10, 20, 60分とした。分析の結果より、60  $\mathbb{C}$ 以上の温度条件下でいずれも5 分以内に残留 PCB 濃度は20 ppb 以下に到達することが確認された。

## 5. 1. 2 750 ℓ スケール設備の低濃度 PCB 汚染油 処理実験結果

第2表には、これらの結果を踏まえて行った $750 \ell$  スケールの低濃度 PCB 汚染油処理実験結果を示す。これによれば非常に短時間で反応が終了し、いずれも、基準値0.5 ppmをクリアしている。

#### 5. 2 高濃度 PCB 汚染油処理実験結果

#### 5. 2. 1 1ℓスケール実験結果

1ℓスケールの高濃度 PCB 汚染油処理実験結果では所定の脱塩素量に達した場合と到達出来なかった場合とがあり、とくに促進剤としてビフェニルやナフタレンは高濃度の場合には期待度が低いことが判った。

#### 5. 2. 2 20 ℓ スケール実験結果

第3表に濃度の異なる試料の20ℓスケール脱塩素 処理実験結果を示した。

前述の結果より、低濃度 PCB 汚染油の処理条件として、反応温度は約90℃、反応時間は1時間以下で脱塩素化が完了し、反応薬剤(ナトリウム分散絶縁油)の添加量は、塩素量に対して5倍以上(モル比)必要であることが明らかとなった。反応薬剤添加量は高濃度になるほど低減可能であり、10%では3.7ないし5倍程度が最適条件となる。

#### 5.3 環境への二次的影響等の検討結果

反応によって生成する NaCl, Biphenyl などの, 油相から分離して水相に移行する生成液について標 記の検討を行った。

#### 5. 3. 1 分離液の残留 PCB 分析

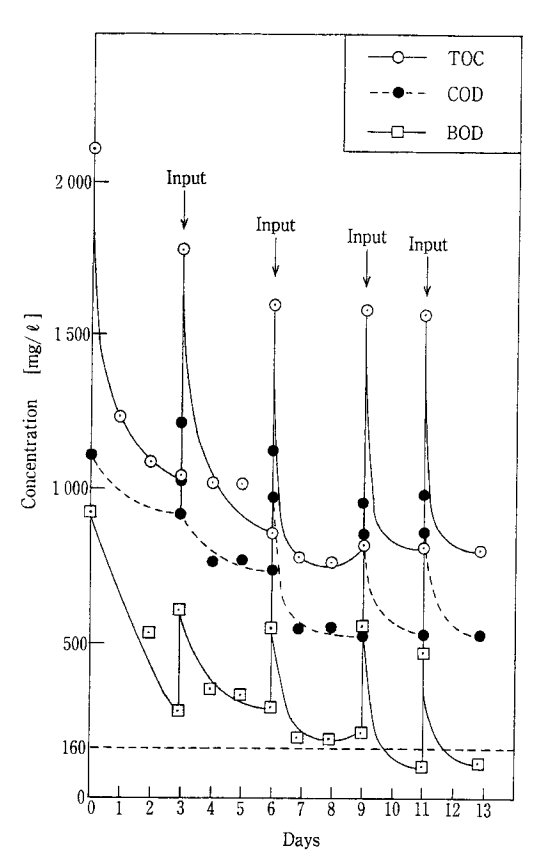
反応生成水溶液中の PCB は GC-ECD による分析の結果検出されなかった。コプラナー PCB (33'44', 33'44'5, 33'44'55') も0.01 ng/g (検出限界) 以下であった。

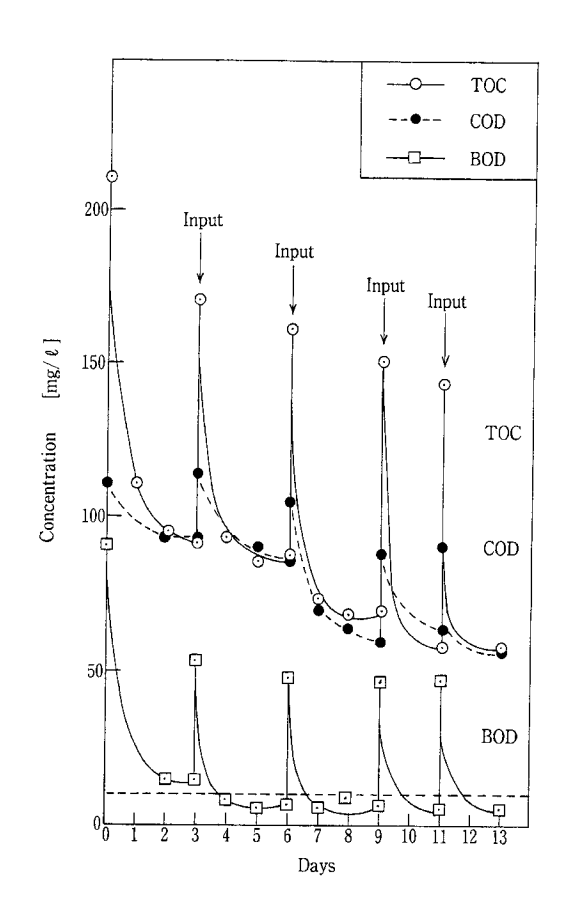
第3表 PCB 濃度が異なる場合の20リッタースケール基礎実験結果

Table 3 20 litre scale fundamental test result of different PCB contamination levels.

No.	Temp. (℃)	PCB conc. (ppm)	Na add. (g/l)	Promotor (ml/l)	Mol. ratio of SD, Promotor, to chlorine	Completion time
PC- 1	60	595	2.0	2.0	10. 8:3.2:1	<10
PC- 2	60	1 550	2.4	2.5	5:1.5:1	<10
PC- 3	20-96	100 000**	64.0	90.0	3.7 : 1 : 1	60

<sup>\*\*</sup>Aroclor-1242





第3図 生物処理における投入有機物濃度の経時変化

Fig. 3 Effect of biological treatment for the reduction of organic carbon

第4表 再生処理油の物性比較 Table 4 Correlation of the quality of recycled oil

Items	JIS standard	dechlorinated oil
Density (g/cm³ at 15 ℃)	< 0.91	0.865
Viscosity (at 40 ℃) cSt	<13	8.29
Viscosity (at 100°C) cSt	< 5.5	3.0
Firing Temp. (P. M) °C	>130	155
Flow Temp. (℃)	<-27.5	<-40
Neutralization Number (mg KOH/g)	< 0.02	< 0.01
Dielectric Strength (2.5 mm) kV	>30	54

## 5. 3. 2 分離液の変異原性試験及び急性経口毒性 試験

労働省告示第77号に準じた変異原性試験の結果, 突然変異誘起性は陰性であること, OECD 化学物 質毒性試験指針(1987)に準拠したマウスにおける 急性経口毒性試験(限度試験)では単回経口投与による致死量は20 ml/(kg 体重)以上であることなどの安全性を確認した。

## 5. 3. 3 分離液の排水としての環境基準適合性の 検討

しかしながら、排水としての環境基準値は重金属を除いて有機物に関して充たしていない項目 (BOD, COD, n-Hexane 抽出量)があるので、生物処理によりこれら有機物の分解及び分離を行い、水質基準値を達成させたうえで系外に排水できるように生物処理による検討を行った。

#### 5.4 分離液の生物処理に関する検討

実操業プラントより排出された油分離後の反応生成液を用いて,反応生成液の分解実験をおこなった。 その結果,第3図に示すようにBODは確実に減

その結果,第3図に示すようにBODは確実に減少し、水質汚濁防止法の基準値160 ppm以下を達成した。CODについても下水放流可能な数値基準である100 ppm以下を達成し、n-Hexane 抽出量も3 mg/ℓ以下を達成した。

5. 4. 1 作業環境への PCB 揮散度評価 反応時の揮散物はフィルター除去しており、我々 がモデルとするカナダにおける実操業プラントにおける分析において作業環境大気中への放出も基準値 (50 ng/Nm³) 以下を充たしている。

#### 5.5 処理再生油の電気的特性

本処理によって PCB 分解処理を行った後, 再生処理を行った再生油の電気的特性を**第4表**に示す。 いずれの項目も充分に規格を充たしている。

#### むすび

本処理技術は、金属ナトリウム分散絶縁油を反応 薬剤として添加して直接脱塩素化する技術と、これ によって発生する廃液を生物処理して環境基準に適 合した排出のレベルに浄化する技術を組合せたもの で、系外に廃棄物を極力出さない、あるいは処理に よって二次的な廃棄物を新たに発生させないことを 意図しており、次の特長を有している。

- 1) カナダに於いて,10数年間操業以来無事故であり,9000 m³もの油を処理し,現在も操業中の実績を有す。
- 2) 金属微粒子を直接絶縁油中で反応させるため分 解率が非常に高く,20 ppb 以下の残留 PCB 濃度 が得られる。(分析装置の検出限度以下)
- 3) 反応時間が短い。(20分程度で反応終了/低濃

度汚染油の場合)

- 4) 反応温度が低い。このためダイオキシン等の有害物質を発生させない。
- 5)処理油は絶縁油として再生が可能。
- 6)生成廃水にはPCBは含まれず、各種生物を用いた安全性試験でも安全性を確認している。
- 7)生成廃液中の有機炭素は生物処理で90%以上 分解除去できる。
- 8) 最終生成廃液は排水基準を充たし、有害物質を 含まない。
- 9) コンテナサイズに収納でき、 PCB 保管場所で の移動処理が可能。

現在,日本国内で確認のための実証試験を実施して性能確認を行い,6月以降の実施に向けて対応出来るよう準備を進めている。

#### [参考文献]

- 1) 橋詰博樹: 廃棄物学会誌. vol. 5, pp 233-242, 1994
- 2) PCB 処理の推進について (中間報告), 平成 9 年10 月, PCB 混入機器等処理推進調査検討委員会
- 3) 川井隆夫, 中西勉, 佐伯一丸: 特願平9-127395
- 4) 平成6年度有害廃棄物の処理に関する調査報告書, p75~84, 平成7年3月, 産業廃棄物処理事業振興 財団

#### 連絡先

川井隆夫

技術開発本部

(工学博士)

研究開発部

主任研究員

TEL 078 - 992 - 6525

FAX 078 - 992 - 6504

E-mail t.kawai@ pantec. co.jp

## グラスライニング製及びステンレス製 規格品の紹介

A Standardized Series of Glasslined Reactors and Stainless Steel Reactors.







(化)技術部 徳 岡 洋 由 Hiroyuki Tokuoka 中 村 隆 彦 Takahiko Nakamura 宮 田 忠 明 Tadaaki Miyata

グラスライニング製反応機ならびにステンレス製反応機はユーザの仕様に応じた個別設計による 受注生産を行ってきた。しかしながら近年、反応機は競合が激化しており、短納期ならびに低価格 をユーザより強く要望されている。この要望に応えるべく、グラスライニング製ならびにステンレ ス製反応機について、仕様をある範囲に限定した規格品の販売を開始した。本稿でその概要を紹介 する。

Glasslined reactors and Stainless steel reactors have been so far designed and manufactured on a custom-built basis. However, there is recently keen competition in the reactor market and customers demand requert us shorter delivery and lower price. To satisfy customers' demand we have commercialized a standardized series of glasslined reactors and stainless steel reactors. Presented in this paper is an outline of the standardized series of reactors.

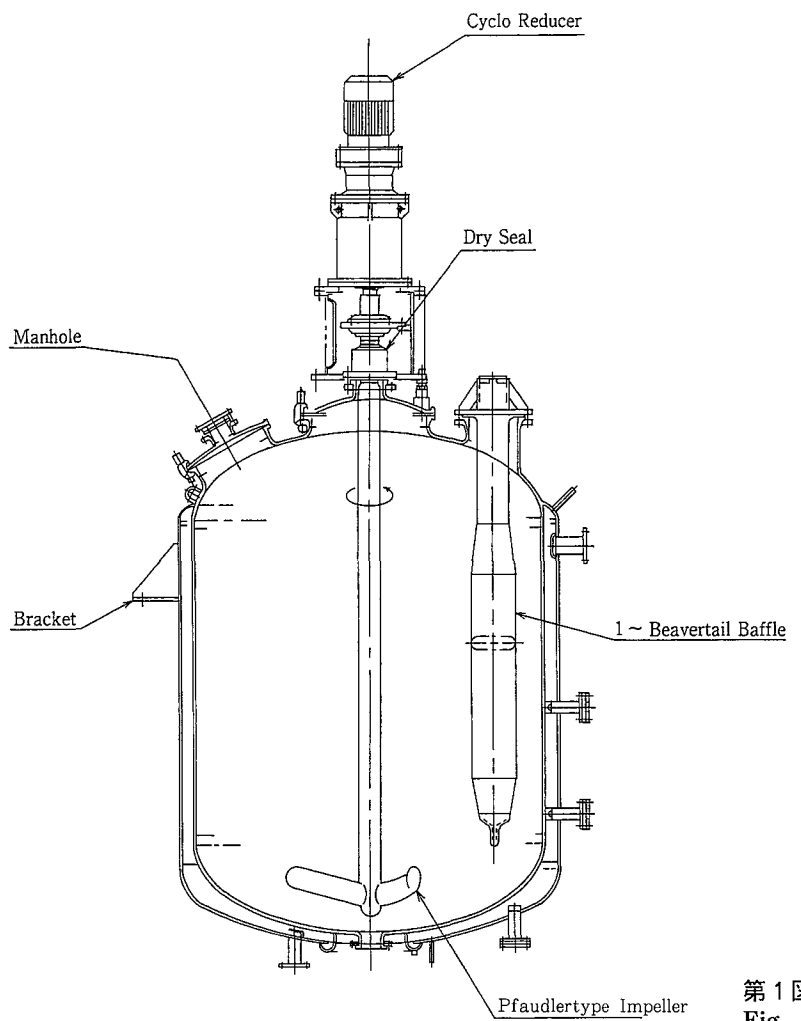
## Key Words:

規	格	品	Standardized series
短	納	期	Shorter delivery
低	価	格	Lower price

#### まえがき

従来、グラスライニング(以下 GL と呼ぶ)製反応機ならびにステンレス(以下 SUS と呼ぶ)製反応機は、利用される分野も目的も多岐に渡り、装置形状も関係因子も多様であるがためユーザの仕様に応じた個別設計による受注生産が主力を占めてきた。近年、プラント建設期間の短縮とそのコスト低減についてのユーザニーズが高くなってきている。受注生産の場合、機器仕様の確定、承認図の設計、受

注後のキックオフミーティング、承認図返却後の変 更などのため、手配製作までに時間を取られること が多く、ユーザの要望である短納期・低コストに充 分に応えることが困難になってきている。そこで当 社では、長年培った数多くの実績と技術力により、 このユーザの要望に応えるべく、GL製ならびにS US製反応機について、仕様をある範囲に限定した 規格品の販売を開始した。本稿では、これら規格品 について紹介する。



第1図 GL規格品の概略図

Fig. 1 Schematic of GL standard reactor

#### 1. GL 規格品

#### 1. 1 GL 規格品の概要

第1図にGL 規格品の構造を示す。GL 規格品とは、現市場においてGL 製反応機市場の大部分を占めている容量について、シンプルかつ汎用性が高い反応機を、当社にてあらかじめ仕様条件を設定し、設計したものであり、カタログ一枚で反応機仕様の確定ならびに発注ができるようにしたものである。

#### 1. 1. 1 缶体標準容量

100 Lt から8 000 Lt までの12タイプをラインアップした。

オープン型 100 Lt~2 000 Lt 計 7 タイプ クローズ型 3 000 Lt~8 000 Lt 計 5 タイプ

## 1. 1. 2 本体の支持方法

本体の支持方法としては, ブラケットタイプと自 立脚タイプの2タイプとした。

#### 1.1.3 ノズルの配置

ノズルは個数, サイズが同じで, 配置が $180^\circ$ 対称 である 2 タイプとした。

## 1. 1. 4 標準仕様

撹拌槽としての機能を満足できるシンプルな構造のスタンダード仕様と、さらに必要部品を選択できるオプション仕様の二種類から構成されている。仕様の各項目を第1表に示す。

## 1. 1. 5 撹拌翼

撹拌翼は、吐出性能に優れ、低粘度から中粘度まで幅広くカバーでき、数多くの実績があるファウトラー翼(三枚後退翼)を採用した。

#### 1. 1. 6 軸封, ドライブ機構

軸封は、構造が簡単で潤滑油、冷却水が不要なトライシールを採用した。摺動部材質は PTFE 回転リングとセラミックシートであり、パッキン屑や混滑油の缶内への混入がない構造で、これまでに多数の納入実績がある型式とした。

減速機は、定速回転減速機をスタンダード仕程とし、オプション仕様として、インバータ付き電動機を採用し、幅広い撹拌用途に対応できるようにしている。

第 1 表 仕様項目 Table 1 Specifications

Item	Standard spec.	Optional spec.
Code	F. S. L/P. V. 2	
Design press.	Vessel: F. V./2 kgf/cm <sup>2</sup>	
	Jacket: 4 kgf/cm²	
	or	
	Vessel: 2 kgf/cm²	
	Jacket: 5 kgf/cm <sup>2</sup>	
Design temp.	Vessel : 0~158 ℃	
	Jacket: 0~158 ℃	
Vessel support	Bracket or Leg	
Glass No.	# 9000	
Reducer Type	Cyclo	Cyclo with inverter
Motor Type	eG3 (indoor use)	d2G4 (outdoor use)
Agitator Type	Pfaudler impeller	
Seal Type	Dry seal	
Baffle Type	Beavertail	Beavertail with GS-T
		Lead wire for GS-T
		Safety barrier for GS-T
		Converter for GS-T
Discharge valve		Flush valve
Manhole	Opening system : Hinge	Spring balance
	Accessories : Sight glass	Protection ring
Accessories	Each noz (tank) is furnished	Reducing flange
	with split flange and gesket	Blind flange
		Dipping pipe (PTFE)

#### 1. 2 規格品選定手順

カタログにより容量を選定し、次に支持方法を選定、最後にノズルの配置という順序で総計48タイプより選定することができる。さらに、必要部品があればオプション仕様の中から選択することができる。

#### 2. SUS 規格品

SUS 規格品はステンレス製反応機の抜本的な標準化を行った缶体に、高効率撹拌翼であるフルゾーンを搭載したもので、名称を FULLZONE® K-REACTOR とした。

#### 2. 1 FULLZONE® K-REACTOR の概要

第2図に FULLZONE® K-REACTOR の構造を示す。FULLZONE® K-REACTOR の特長は,次の2点である。

- 1) 当社のキーテクノロジー「撹拌」を最大のコンセプトとし、多機能で優れた撹拌性能を有するフルゾーンを備え、撹拌目的や内容物物性に応じて撹拌機の仕様(モータ容量、回転数)が選択できる。
- 2) 過剰なオプションをカットしたシンプルな設計により、短納期、低価格化を実現した。

#### 2. 2 缶体標準容量

 $1 \,\mathrm{m}^3$ から $20 \,\mathrm{m}^3$ までの13タイプをラインアップした。

#### オープン型:

 $1\,\mathrm{m^3}\,(\mathrm{KR}\text{-}1)\sim 3\,\mathrm{m^3}\,(\mathrm{KR}\text{-}3)$  計  $3\,\mathrm{9}\,\mathrm{4}\,\mathrm{7}$  クローズ型 :

 $4~\text{m}^{\text{3}}$  (KR-4)  $\sim\!20~\text{m}^{\text{3}}$  (KR-20) 計10タイプ

## 第 2 表 仕様項目 Table 2 Specifications

## ■ Design spec.

Item	Standard spec.	Optional spec.
Code	P. V. 1	P. V. 2/F. S. L
Design press.	Vessel: F. V./10 kgf/cm <sup>2</sup>	10 kgf/cm² Under
	Jacket: 5 kgf/cm <sup>2</sup>	5 kgf/cm <sup>2</sup> Under
D	Vessel : 0~150 ℃	-5~150 ℃
Design temp.	Jacket: 150 ℃	-5~150 ℃

## ■ Vessel

Item		Standard spec.	Optional spec.			
	X71	Solid : SUS304	SUS304L, SUS316, SUS316L			
Material	Vessel	Clad: SM400B+SUS304	SUS304L, SUS316, SUS316L			
	Jacket	SM400B	←			
		Bolt: Swing bolt	←			
Manhole		Opening system : Spring balance	<b>←</b>			
		Accessories: 100A Sight glass	<b>←</b>			
Inside finish			Baff #240, #320, #400			
		Internal : Pickling	Mirror #320, #400			
			Electro polish EP-3, EP-5			

## Agitator

Item		Standard spec.	Optional spec.		
Reducer	Type	Cyclo	Cyclo with inverter		
	Type	Double mech. seal	Dry seal		
		Seal material: Carbon vs SUS316CM coat	<b>←</b>		
0 1	Double mech.	O ring: FPM	NBR, Perfluoro, Kalrez		
Seal		Lubricant: Mech. oil	Water		
	seal	Oil catcher: None	Furnished		
		Lubrication: CS press. cylinder	SUS press. cylinder		
Agitator Type		FULLZONE®	<b>←</b>		
Baffle		2~Plate baffle	<b>←</b>		

## ■ Others

Item	Standard spec.	Optional spec.			
Vessel	Bracket	Leg			
Conductivity	Agitating nozzle	Spiral baffle			
Accessories	Insulation ring Insulation nut	Discharge valve			

#### 2. 3 標準仕様

撹拌槽としての機能を満足できる基本仕様と、さらに多様な目的に対応できるオプション仕様の二種類から構成されている。設計圧力、温度に対しては基本仕様内の任意の条件に対応し、ユーザ各位の設計条件にあった缶体板厚を採用することとした。また、内面仕上げについてはバフ仕上げにとどまらず電解研磨「EP仕上」までオプション仕様で対応可能とした。当社の長年に亘る納入実績に基づき設定した代表的な仕様項目を第2表に示す。

#### 2. 4 撹拌

多機能で高効率撹拌翼として,様々な分野,用途 に数多くの実績があるフルゾーンを採用した。

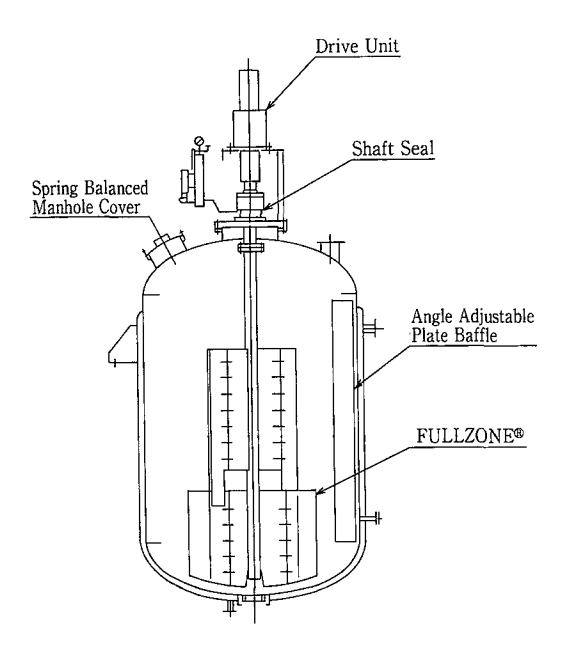
フルゾーンの優れた撹拌性能については,数多くのユーザに満足していただいており,用途も近年では,触媒調整槽や表面ガス吸収による水素添加など多様化している。

本 FULLZONE® K-REACTOR では撹拌馬力が 設計上の大きなポイントとなる。当社ではユーザ各 位の内容物物性や撹拌目的及び用途に応じて最適な 撹拌仕様を選定し、必要なモータ馬力を搭載するこ ととしている。

#### 2.5 軸封, ドライブ機構

基本仕様にダブルメカニカルシールをそしてオプション仕様にドライシールを採用した。メカニカルシールの摺動材はカーボンシート vs SUS316セラミックコートを用意した。

減速機は,定速回転減速機を基本仕様とし,変速 回転用のオプション仕様としては,インバータ付電



第2図 FULLZONE® K-REACTOR の概要 Fig. 2 Schematic FULLZONE® K-REACTOR

動機を採用した。

### むすび

GL 及び SUS 規格品は、当社の経験と技術力をベースに機能性と経済性を追求してシリーズ化した新しいコンセプトの反応機である。今後もユーザの皆様の期待に応えるべく、オプション仕様の見直し追加により、より良い製品へとブラッシュアップを図っていく計画である。

ユーザ各位におかれては、これら規格品の仕様を プラントの計画時点より検討・配慮いただければ暑いである。

#### 連絡先

徳	岡	洋	由	化工機事業部	中	村	隆	彦	化工機事業部	宮	田	忠	明	化工機事業部
				技術部					技術部					技術部
									•					担当次長
			ΤE	EL 0794 - 36 - 2511				Τ	E L 0794 - 36 - 2513				ΤEL	0794 - 36 - 2513
			$\mathbf{F} A$	A X 0794 - 36 - 2578				F	A X 0794 - 36 - 2578				FAX	0794 - 36 - 2578
	E-m	ail h	.toku	oka@ pantec. co.jp	E	mai	l th.1	naka	mura@ pantec. co.jp		E-r	nail	t.miyata	a@ pantec. co.jp

## 神戸市東灘処理場における震災復興工事の紹介

Restoration from Earthquake-Rehabilitation of Sewage Water Treatment Plant



(環)技術部計画第 1 課 植 松 一 也 Kazuya Uematsu (環)技術部計画第 2 課 宮 後 靖 浩 Yasuhiro Miyago

阪神・淡路大震災が発生してから3年あまりが経過し、その傷跡も徐々にではあるが復興してきている。下水処理場の中でもっとも被害が大きかった神戸市東灘処理場においても、建て直していた脱水機棟が完成し、移設された大型ベルトプレス脱水機3台が稼働を始めた。震災直後から現地に乗り込み災害復旧に取り組んできた当社の行った復旧工事について紹介する。

About three years have passed since the disastrous earthquake in Kobe. The restoration works from the earthquake have been gradually progressing in various places. In the most heavily damaged sewage treatment plant, three dehydrators recently started operation in the reconstructed building. This paper describes a series of rehabilitation works implemented at the plant immediately after the earthquake.

## Key Words:

震災復興

加圧浮上濃縮装置ベルトプレス脱水機

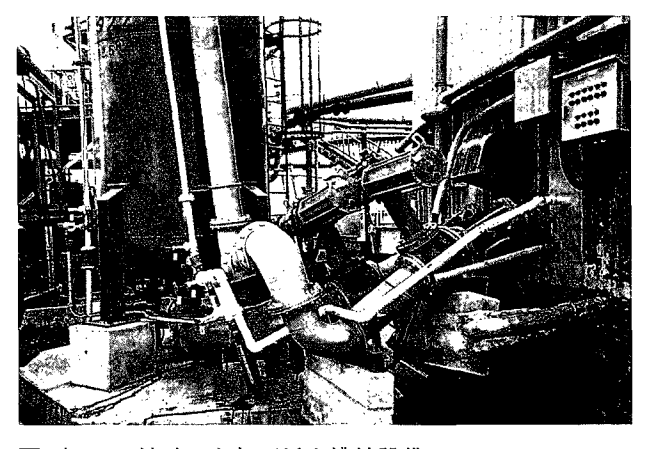
restoration from earthquake rehabilitation of damaged sewage treatment plant pressurized floatation system belt press dehydrator

## まえがき

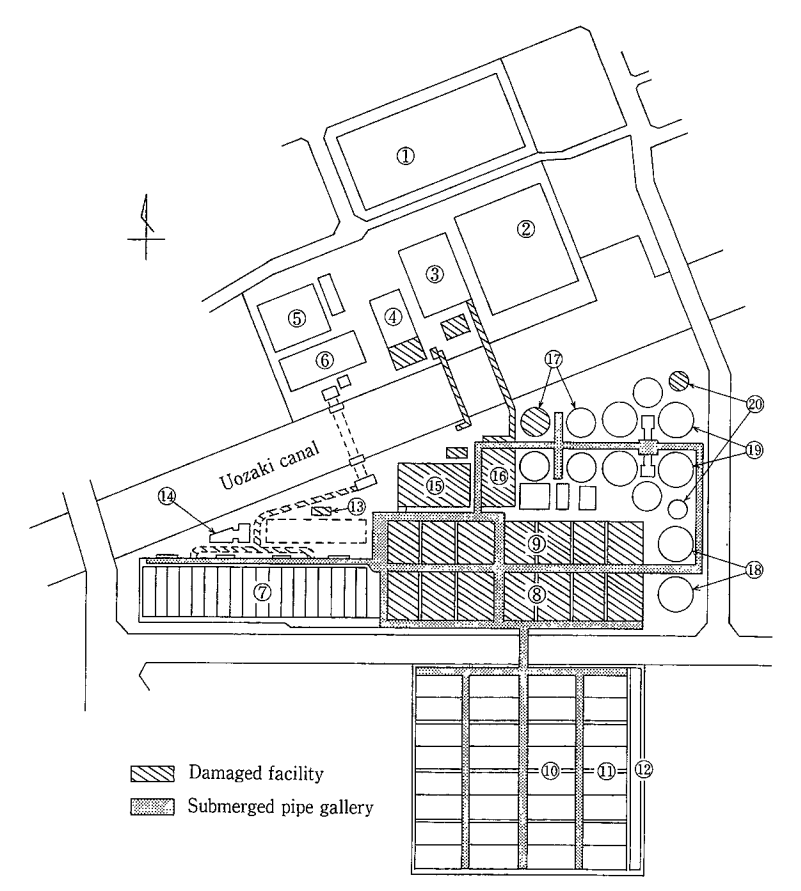
神戸市東灘処理場は神戸市の東端,東灘区にあり神戸市最大に当たる225000 m³/日(震災当時)の処理能力を持ち,その処理区域は東灘区・灘区・中央区の一部と広範囲にわたっている。

1995年1月17日未明に発生した兵庫県南部地震により神戸の町は大きな被害をうけた。当時、水道・ガス・電気の被害が大きく取り上げられたが、ライフラインの一翼を担う下水道においても例外ではなく、特に古い埋め立て地に建設された東灘処理場においては日本の下水道史に例をみない壊滅的な被害をうけた。(写真1)

当社も地元企業として沈澱池設備・浮上濃縮設備・



写 真 1 壊滅した加圧浮上濃縮設備 Photo.1 Destroyed pressurized floatation system



第1図 東灘処理場被災状況"

Fig. 1 Suffered area of higasinada sewage treatment plant

- 1 Eqalization tank
- 2 Storm-water tank
- 3 Separate pump pit
- 4 Screenings washer
- 5 Sand sedimentation tank
- 6 Pump pit
- 7 Primary sedimentation tank
- 8 Honjyou aerasion tank
- 9 Honjyou final sedimentation tank
- 10 Bunjyou aerasion tank
- 1 Bunjyou final sedimentation tank
- 12 Chlorination tank
- (13) Honjyou sand filtration system
- 4 Kouyou sand filtration system
- (5) Control building
- (6) Dehydrator building
- 17 Floatation thichening tank
- (18) Sludge thichening tank
- 19 Digestion tank
- 20 Digestion gas tank

Damaged facility

Submerged pipe gallery

汚泥脱水設備・砂ろ過設備・消毒設備・脱臭設備等数多くの処理設備を納めており、今回の震災復旧においても震災直後より現地に乗り込み、仮復旧である一次復旧工事を完了した後、現在も本復旧となる二次復旧工事を継続中である。

なお,一次復旧工事は神戸市の直接発注工事であり,二次復旧工事は神戸市より委託を受けた日本下 水道事業団の発注工事である。

本稿では、稼働中の大規模下水処理場における汚泥処理設備の移設切り替え工事を中心に、今回の災害復旧工事において経験した事例を紹介する。

#### 1. 東灘処理場の被災状況

本処理場は魚崎運河を挟んで北にポンプ場施設, 南に処理場施設と分かれているが,地震の衝撃で下 水処理施設側の運河に面した護岸が北側に1~2 m程度の横ずれを起こし,周辺の地盤沈下を引き起 こしたことにより,運河に面した施設建物の基礎杭 が破壊,建物の傾斜や破断を生じた。

処理場中央部に位置する本場エアレーションタン クと最終沈殿池においても地震の衝撃と液状化現象 により基礎杭の破断や、コンクリート打ち継ぎ部の破壊、これを取り囲む地下管廊に汚水と地下水(海水)が流入し、設置されていたポンプ類や操作盤が水没した。また、ポンプ場施設から水処理施設へ汚水を送る送水管の破損、施設間をつなぐ配管・配線の破断、放流管渠の破損等数え上げたらきりがないほどの被害を受け、その機能は完全に停止した。

当社の納めた諸設備も、この中にあり大きな被害を受けた。第1図に東灘処理場被災状況を示す。

## 2. 一次復旧工事

#### 2.1 一次復旧工事の全体概要

震災当初は水道の断水状態が続き,下水の流入水量も必然的に低下していたが,水道の復旧が進むにつれて下水の水量も増加していく中,魚崎運河をせき止めた仮設沈殿池により凝集沈殿処理を行う一方,比較的被害の少なかった分場水処理施設の復旧と,汚泥処理設備を含めた本場水処理設備の応急処置による仮復旧(水処理4/7系列)を行い,本来の下水処理場としての機能を取り戻すべく,20社を越える,土木・建築・機械・電気の各業者が,神戸市職員の

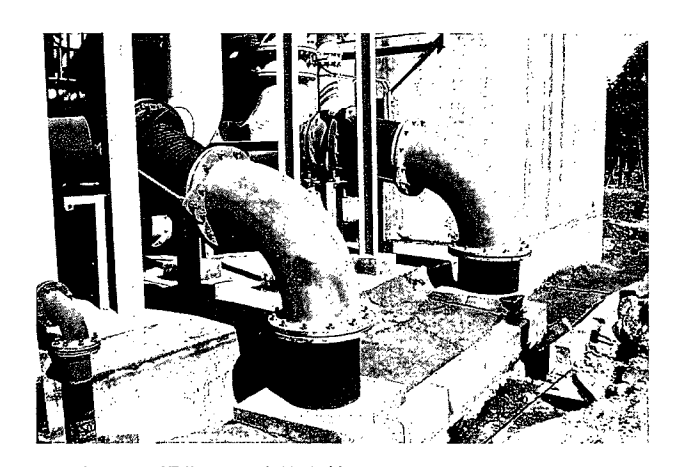


写真 2 損傷した連絡配管 Photo.2 Damaged connecting pipes

方々の指導の下で本工事に従事した。

当社も現地作業所に計画・設計・工務・工事の各担当者を常駐させ休日を返上し夜間作業を繰り返しながら、当初の目標である1995年5月1日通水を達成した。

#### 一次復旧の状況

- 1月17日 処理機能停止。
- 1月18日 水没箇所の排水作業及び仮復旧工事開始。
- 1月21日 運河にオイルフェンスを設置。
- 1月27日 関西電力より仮受電。
- 2月7日 運河を仮締め切り, 簡易沈殿処理を開始。
- 3月20日 処理水質改善のため、凝集沈殿を開始。
- 3月27日 処理水質改善のため,運河浚渫と浚渫汚 泥脱水開始。
- 4月25日 浚渫汚泥を使用して,種汚泥の馴養開始。
- 5月1日 仮復旧により、通常の水処理を開始。
- 一次復旧工事において当社がたずさわった本場仮 復旧工事を簡単に紹介する。

#### 2. 2 最終沈殿池仮復旧

震災当時, 掻き寄せ機の取り替え工事を受注して おり, 竣工検査直前で被災したもので, 破損変形し た水槽にあわせ芯だし・レベル調整を行った。

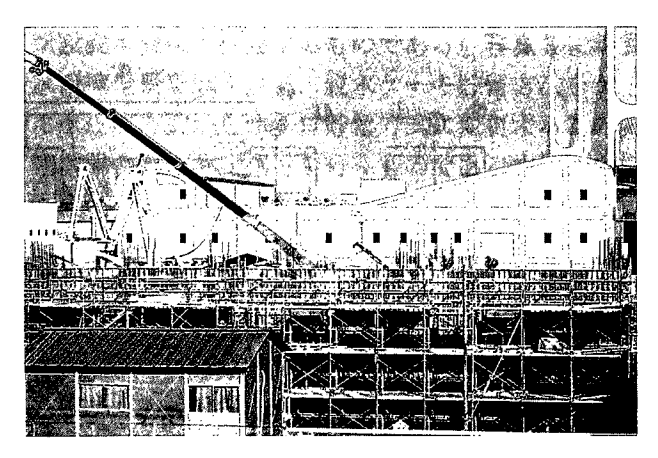
#### 2.3 向洋用砂ろ過設備仮復旧

ポンプ軸封水等の場内用水を供給している本場用砂ろ過設備が、杭の破損により再構築となったため、被害の少なかった向洋用砂ろ過設備を補修し代用した。

- 1)液面揺動により転倒したろ材修復。
- 2) 寸断した連絡配管の復旧。(写真2)
- 3) 仮設配管の設置。

#### 2.4 2号加圧浮上濃縮設備復旧

1号加圧浮上濃縮設備が杭の破損により再起不能



写 真 3 新脱水機棟全景

Photo. 3 Re-constructed dehydrator building

のため、損傷の少ない2号設備の復旧を行った。

- 1)フロス掻き取り機のレベル修復調整。
- 2) コンクリート水槽のレベル修復調整。
- 3) 転倒した混気タンクの再据え付け。
- 4) 水没ポンプ等のオーバーホール。

#### 2.5 汚泥脱水機設備仮復旧

杭の破損により変形した脱水機棟内(写真3)に おいて6台ある脱水機のうち3台を応急修理復旧した。

- 1)ジャッキアップによる脱水機のレベル調整。
- 2)変形したベルトコンベヤの芯だしレベル調整。
- 3)破損した防臭カバーの補修。
- 4)破断変形した配管の修復。
- 5) 水没ポンプ等のオーバーホール。
- 6)補機類の芯だしレベル調整。
- 7)破断した脱臭ダクトの修復。

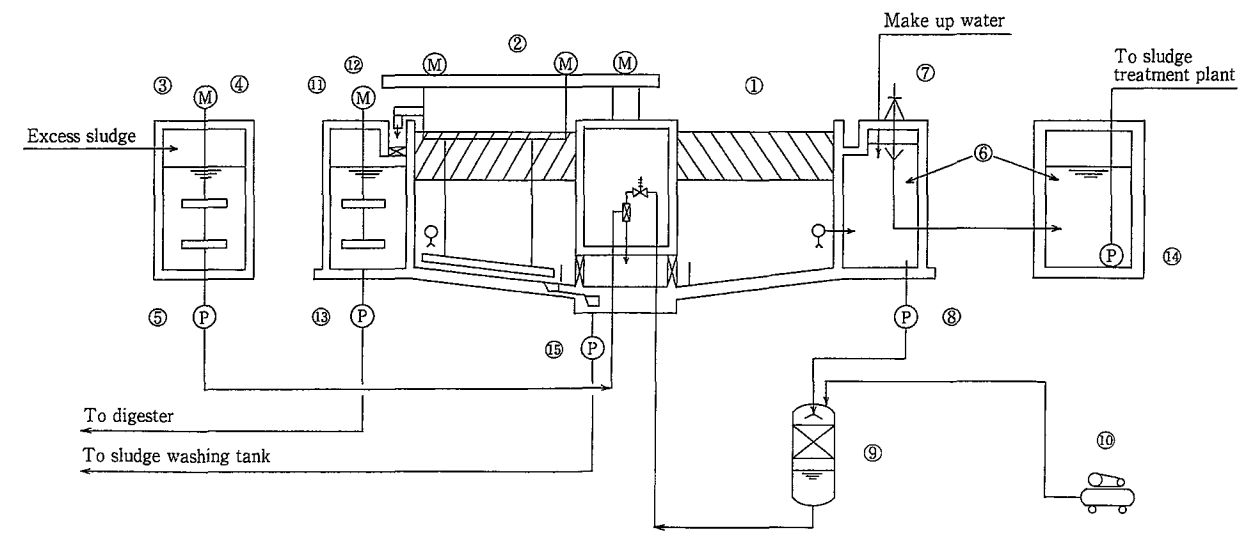
## 3. 二次復旧工事

#### 3.1 二次復旧工事の全体概要

一次復旧工事を完了し正常な処理機能は回復したが、あくまで応急処置であり、二次復旧工事として基礎杭が破損した管理本館・本場エアレーションタンクと最終沈殿池・脱水機棟・1号加圧浮上濃縮槽および魚崎運河をわたる水管橋の再構築が引き続き行われた。

管理本館は運河の北側にすでに建設中であった雨水滞水池の上に新設,浮上濃縮槽は同じ場所にて撤去新設,脱水機棟は旧本場水処理施設5~7系跡地へ新設,本場水処理施設は分場水処理施設増設完了後,一次復旧工事で仮運転を行っていた本場水処理施設1~4系を撤去した跡地へ新設と大規模な工事となった。

当社はこの中の加圧浮上濃縮設備・脱水機設備・



- (1) Flotation thickener
- (2) Floss collector
- (3) Excess sludge basin
- 4 Agitator
- ⑤ Excess sludge feed pump
- 6 Clarified water basin
- Telescopic ralve
- Circulation pump
- Air dissolution tank
- Air compressor

- (1) Floss basin
- (12) Agtator
- (13) Floss transfer pump
- (14) Clarified water transfer pump
- 15 Drainage pump

第2図 浮上濃縮設備概略フロー

Fig. 2 Flow diagram of flotation thickening unit

本場水処理設備の機械設備工事を受注した。今回の 震災復興工事全般にわたりいえることであるが、公 共土木施設災害復旧事業費国庫負担法の適用を受け ており、これに基づき、原形復旧を原則とした工事 内容となっている。既存の設備をできる限り再利用 し, しかも稼働中の下水処理場における工事及び運 転立ち上げであったため、課題の多い工事となった。 又,下水道地震対策技術調査検討委員会の提言等も 受けて,極力構造物との一体化を図り,やむを得な い場合については、可とう継手で対処していく事と している。

次に当社が受注した二次復旧工事の内容を、立ち 上げ運転を中心に紹介をする。

#### 3.2 加圧浮上濃縮設備の復旧工事

#### 3.2.1 工事の概要

本工事は、震災で破壊された1号加圧浮上濃縮設 備の機器を撤去し躯体を一度取り壊した後、新たに 躯体の再構築(別途工事)を行い、撤去していた設 備の整備・再据え付けを行うもので、既に一次復旧 工事により2号加圧浮上濃縮設備の運転を再開して いる状況の中で、2号設備の運転に支障を来たさな いよう, 細心の注意を払いながら復旧工事を行う必 要があった。各社が錯綜する現場であり、敷地内に まとまった用地がない等、最悪ともいえる現場環境 においての工事を余儀なくされた。

加圧浮上濃縮設備の処理フローを第2図に示す。

#### 3.2 設備の概要

本復旧工事対象主要機器は次のとおりとなる。

1)	余剰汚泥供給ポンプ	2 台
2)	余剰汚泥貯留槽攪拌機	1台
3)	フロスかき取り装置	1台
4)	フロスピット攪拌機	1台
5)	加圧水ポンプ	2 台
6)	混気タンク及び混気タンク関連弁	1台
7)	空気圧縮機	2台
8)	分離液越流弁	1台
9)	分離液排水ポンプ	2台
10)	フロス移送ポンプ	1台
11)	床排水ポンプ	1台

主要機器については、混気タンク出口側の "混 和水弁"(空気作動式変心構造弁)以外は全て移設 品としている。震災前の設備納入は、1992年11月で あり、設備共用開始後わずか3年あまりで震災にあっ た事になる。機器が新しかった事もあり結果的には 整備補修をする事により大半の機器を再利用するこ とが出来たが、混和水弁については弁体の破損、シャ フトの歪みが激しいために更新とした。

#### 3. 2. 3 運転立ち上げ

分場余剰汚泥を2号加圧浮上余剰汚泥貯留槽より 連通管を介してもらい受ける方法で,1997年9月に 実負荷による運転立ち上げを完了,再稼働にこぎつ け,現在は順調に稼働している。次に試運転の概要 を説明する。

#### 1) 工程

'97. 8/22~8/23 M単/回転チェック

'97. 9/16~9/17 単独運転・ラインチェック

'97. 9/18~9/22 自動/連動運転確認

'97. 9/24~9/26 汚泥実負荷連続運転

#### 2) 運転条件

運転時間:24時間連続

(1号浮上槽,2号浮上槽同時運転)

余剰汚泥投入量=1 440 m³/日(1.0 m³/分)

浮上槽有効水面積=101.7 m²

循環水量=3.0~5.0 m³/分

余剰汚泥濃度=約6 200 mg/ℓ

 $(6000 \sim 6400 \text{ mg/} \ell)$ 

固形物負荷量 (LS)

$$= \frac{6.200 \,\mathrm{mg}/\ell \times 1.0 \,\mathrm{m}^3/\cancel{5} \times 10^{-3} \times 1.440}{101.7 \,\mathrm{m}^2}$$

**≒**87.8 kg -DS/m<sup>2</sup> · ∃

気固比 (A/S) = 
$$\frac{K \cdot Sa (f \cdot P - 1) \cdot R}{LS}$$

$$=0.027\sim0.045$$

#### 3) 運転内容

運転立ち上げ時に分離液の逆流と、加圧水のリークが見られた。これはチャッキ弁の動作不良が原因であり、地震による影響と震災後2年半余り動かされていなかった事に拠るものと思われる。

フロス掻き取り機の運転については、10分休止・40分運転の設定とした。掻き取り機の休止時間を長く設定すると、フロス濃度は上がる傾向にあるものの、フロス厚が厚くなり分離液は逆に悪化する傾向となる。フロス厚の設定範囲としては、500 mm~1000 mmを運転の標準とした。また分離液悪化を防止する為、分離液ピットには補給水(雑用水40 A散水栓)を入れた方が運転が安定する傾向にある。

#### 3.3 ベルトプレス脱水機の復旧移設工事

#### 3.3.1 工事の概要

本工事は,震災により基礎杭が破損した脱水機棟 を新たに建て直し(別途工事),被害を受けた脱水 機及び補機を復旧又は取り替えし,既設脱水棟から 新設脱水機棟へ移設するものである。写真3に新脱水機棟全景を示す。又、脱水ケーキ貯留方法をケーキヤード方式からサイロ貯留方式に変更する為の関連機器の製作及び据付を行うものである。

既に一次復旧工事により3台の脱水機が運転を再開しており、処理場全体として脱水機の連続運転を継続する必要があった。このため今回の移設・切り替え工事は次の手順を必要とした。

- 1) 既設3台は運転を継続できる状態とし、1次移設として脱水機3台と補機を新脱水機棟へ移設とする。
- 2)移設した脱水機3台及び関連補機の立ち上げ運 転を行い,移設した脱水機3台の連続運転に切り 替える。
- 3) 旧脱水機棟の3台の運転を停止し、2次移設と して新脱水機棟へ移設する。

1997年9月に1次移設及び立ち上げ運転が完了し、新脱水機棟での汚泥処理に切り替えることが出来た。 尚,2次移設は、1998年3月に完了予定である。脱水設備の処理フローを第3図に示す。

#### 3.3.2 設備の概要

本復旧工事対象主要機器は次のとおりである。

1)1997年9月引き渡し主要機器

	•		
	(1)	ベルトプレス脱水機及び補機	3台
	(2)	塩鉄貯留槽	2 台
	(3)	高分子貯留槽及び供給機	1台
	(4)	ケーキ搬送コンベア	1式
	(5)	廃液ポンプ	3台
	(6)	給水・排水設備	1式
	(7)	汚泥貯留槽攪拌機	2 台
	(8)	天井クレーン	1式
	(9)	脱臭塔	3基
?	) 19	998年3月(予定)引き渡し主要機器	
	(1)	ベルトプレス脱水機及び補機	3台
	(2)	塩鉄貯留槽	2台

(2)	塩鉄貯留槽	2 台
(3)	高分子溶解槽及び供給機	2台
(4)	廃液ポンプ	2台

(5) 脱臭塔 1 基

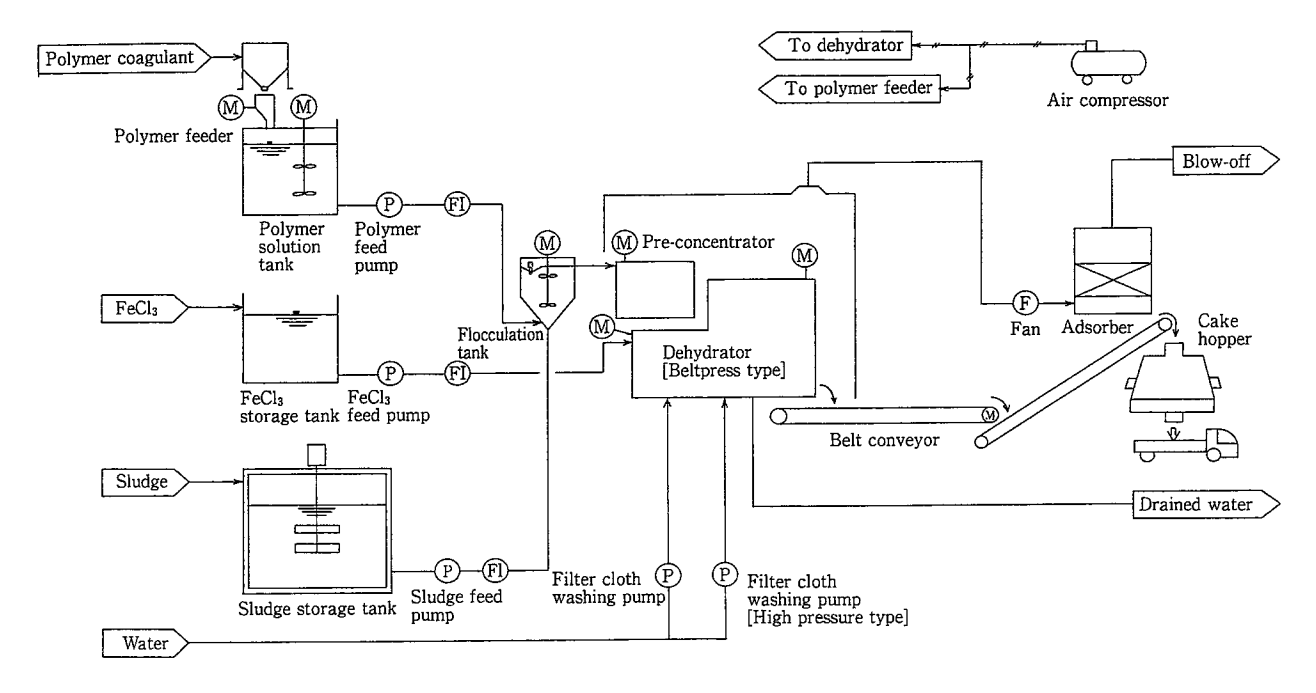
#### 3) 対象汚泥

当処理場より発生する汚泥は、消化後洗浄された 消化洗浄汚泥である。

#### 4)主要設備の機能

#### (1) 汚泥貯留·供給設備

洗浄汚泥タンクよりポンプで圧送された汚泥は 新脱水機棟の汚泥貯留槽に入る。均一に攪拌され た汚泥は給泥ポンプにより、凝集混和槽へ圧送



第3図 脱水設備処理フロー

Fig. 3 Sludge dewatering system flow

する。

#### (2) 高分子凝集剤溶解·供給設備

高分子溶解タンクは全3台中1台が1次移設の対象とした為,1台の連続運転となる。高分子凝集剤は定量フィーダで一定量供給する。それに定量の溶解水を比例供給し,混合させて溶解タンクに貯留する。高分子溶解タンクは3槽に仕切られており,供給された凝集剤と溶解水は十分に溶解され,常に0.2%の一定濃度の溶解液が貯留される。溶解液は高分子供給ポンプにより脱水機へ圧送される。

#### (3) 塩化第二鉄供給設備

タンクローリで受け入れた塩化第二鉄は,新脱水機棟地下に移設された塩化第二鉄貯留槽に貯留される。貯留した塩化第二鉄は塩鉄供給ポンプで脱水機へ圧送される。

#### (4) 汚泥脱水機設備

1 次移設で移設された脱水機は、既設3・5・6号の3台である。凝集混和槽で凝集された汚泥は、均一供給装置にて前濃縮機に送られ重力濃縮後、脱水機で重力脱水、加圧脱水、漸圧脱水、さらに圧搾脱水され脱水ケーキとなる。写真4 に稼働中の脱水機を示す。

#### (5) ろ布洗浄設備

前濃縮機及び脱水機には、ケーキ剥離したろ布

を, 常に洗浄する為の洗浄水装置(水圧6 kg/cm²)と, 脱水機のろ布の汚れの具合によって任意に運転できる高圧洗浄装置(水圧20 kg/cm²)を設けている。

#### (6) 脱水ケーキ搬送・貯留設備

脱水されたケーキをケーキ貯留ホッパーへ搬送 する。

#### (7) 脱臭設備

脱水機本体は前面アクリルカバーで覆い、発生する臭気をダクトを通して脱臭ファンで吸引し、脱臭塔へ送気する。又、今回工事として処理場全体の臭気発生箇所を吸引する脱臭装置も新脱水機棟に移設とした。

## 3.3.3 運転立ち上げ

1997年9月に1次移設が終わり、関連補機を合えせて立ち上げ運転を行った。次に試運転概要を説りする。

### 1) 工程

'97. 8/25~26 M単/回転チェック

'97. 8/28~30 単独運転・ラインチェック

'97. 9/1~5 自動/連動運転確認

'97. 9/6~8 薬品受け入れ

'97. 9/9~13 汚泥実負荷運転

#### 2) 運転条件

(1) 汚 泥 供 給 量=300 kg-DS/Hr (供給汚泥

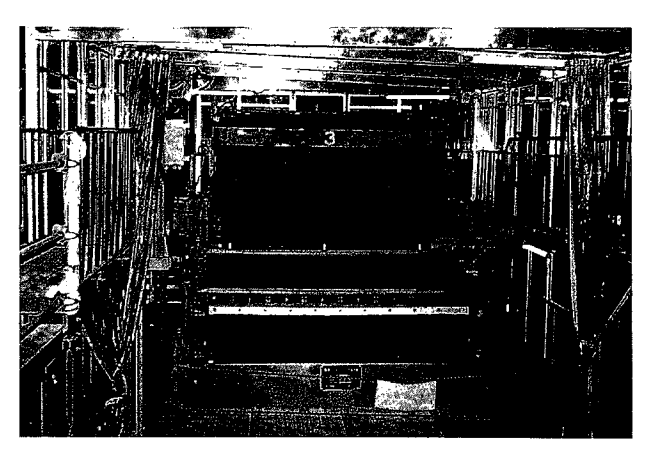


写真 4 稼働中の脱水機 Photo.4 Operating dehydrator

TS =約1.5 %, 給泥量=約20 m³/h)

(2) 高分子注入量=1.20~1.50 m³/h

(対 DS 0.8 %~1.0 %)

(3) 塩鉄注入量=45.1 ℓ/h~56.4 ℓ/h (対 DS 8.0~10 %)

#### 3)運転内容

脱水設備の運転は、コントロール盤での全機器連動運転と、現場操作盤での単独手動運転が行える。 又、薬品供給量は供給汚泥の固形物量に対して比例 注入される設備である。しかしながら今回の立ち上 げ運転では、既設の脱水設備の運転を継続させる必 要があり、かつ1台しかない演算器が既設で使用さ れていたため、自動運転では薬品の比例注入は手動 設定を余儀なくされた。

#### 3.4 水処理設備の復旧工事

#### 3.4.1 工事の概要

震災により杭が破損した本場エアレーションタンク及び最終沈殿池は、応急復旧により4/7系列による運転を行っていたが、分場水処理設備の増設が完了した現在すでに取り壊され、新しい本場水処理設備の建設が始まっている。新しい施設は、新脱水機棟にそのスペースを取られ、旧施設の4/7の敷地に同規模の処理設備を建設するもので、面積縮小を補うためエアレーションタンクは水深10 mの深層ばっ気、最終沈殿池は2階層式が採用されている。

#### 3.4.2 工事の進捗状況

現在,土木工事(別途工事)を行っており,地下2階・地上2階の構造物の1階部分を施工しており,当社担当の機械設備工事は来年度施工となる。

#### おすび

今回の災害復旧工事にたずさわられた神戸市職員 の方々、日本下水道事業団の方々の中には震災によ りけがをされた方や、自宅が被災された方も多く、 そのような状況の中で本工事に対しご指導いただき ましたことに感謝するとともに、紙面をお借りして お礼を申し上げたい。又、工事業者の方々にも、本 工事にご尽力くださったことに感謝するとともに、 お礼を申し上げたい。

まだ復旧工事は完了していないが,この工事を通 して当社が経験した多くのことがらは、今後当社の 取り組んでいく工事において,必ず役立つものと確 信している。

#### [参考文献]

1) 尾崎昭彦, 水すまし, No.86, (1996), p45

#### 連絡先

植 松 一 也 環境装置事業部 技術部計画第1課 宮後婧浩 環境装置事業部 技術部計画第2課

TEL 03 - 3459 - 5940 FAX 03 - 3437 - 3256 TEL 078 - 232 - 8102 FAX 078 - 232 - 8056

E-mail k.uematsu@ pantec. co.jp

E-mail y.miyago@ pantec. co.jp

## 撹拌による剪断の強さ



 岡本幸道
 化工機技術部

 担当次長工学博士

### まえがき

撹拌プロセスの設計において,剪断速度や剪断応力を直接扱う機会に出会うことは比較的少ない。しかし,機会が少ない割には,撹拌による剪断の扱いに関して,曖昧さ,混乱,誤解を経験される方が多いと見受けられる。

撹拌プロセスで剪断を扱う例としては,次の操作 がある。

- 1) ラテックス, 微生物, 坦持触媒, 板状結晶の 撹拌
- 2) 非ニュートン流体の撹拌
- 3)壁面の掻き取り

上記の1項では、乱流撹拌を扱う場合が多く、2項3項では層流撹拌を扱うことが多い。乱流と層流とでは、扱いが異なるため混乱や誤解が生じ易い。

次に層流撹拌及び乱流撹拌時の剪断速度について 諸説を紹介する。

#### 1. 層流時の剪断速度

非ニュートン流体の撹拌動力を推定するには、撹拌時の剪断速度を知り、その剪断速度に対応する見掛け粘度を求めて撹拌動力を計算する。 $Metzner^{1}$ や永田 $^{2}$ は、撹拌時の平均剪断速度 $\dot{\gamma}_{ave}$ が翼回転数nに比例するとし、その比例定数 $C_M$ を次の様に報告した。

$$\dot{\gamma}_{ave} = C_M n \tag{1}$$

リボン  $C_M = 30$  アンカー  $C_M = 25$  パドル, タービン  $C_M = 10 \sim 13$ 

リボン, アンカーについては, 槽径の95%の翼が用いられた。擬塑性流体であれば, 見掛け粘度  $\mu_a$ は次式で与えられ,

$$\mu_{\alpha} = m\dot{\gamma}^{\alpha - 1} (0 < \alpha \le 1) \tag{2}$$

この見掛け粘度から撹拌動力が正しく推算されるという。永田によれば、擬塑性流体だけでなく、ビンガム流体にも同様の考え方を適用できるという。

しかしながら,この方法が必ずしも正しいと断言 できないことは,次の簡単な解析によって示唆される。

無限容器中で回転する半径 R 長さ L の円筒を想定する。具体的には回転粘度計である。擬塑性流体の剪断速度と応力 τ との関係

$$\tau = m\dot{\gamma}^{\alpha} \quad (0 < \alpha \le 1) \tag{3}$$

m, α:物性定数

を流体の運動方程式に代入して,流速分布と円筒表面での剪断速度を求めると次式を得.

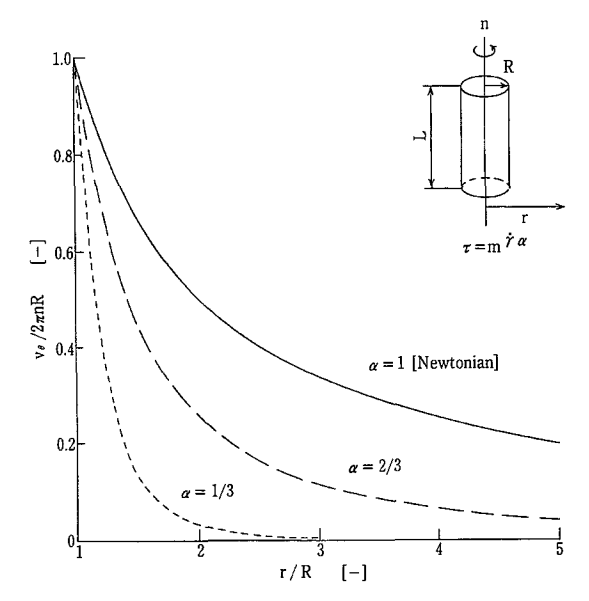
$$v_{\theta} = 2\pi n R (R/r)^{2/\alpha - 1} \tag{4}$$

$$\dot{\gamma}_R = 4\pi n/\alpha \tag{5}$$

回転粘度計のトルクTとして次式を得る。

$$T = 2\pi R^2 L m (4\pi n/\alpha)^{\alpha} \tag{6}$$

第1図に $\alpha$  をパラメータとする流速分布の例を示す。式(5)によれば、確かに剪断速度は回転数に比例するが、その比例定数は流体に依存しない定数ではなく、擬塑性の度合い $\alpha$  に依存する。このこと



第1図 擬塑性流体の流速分布

Fig. 1 Velocity distribution in pseudoplastic fluid

は、式(1)の  $C_M$  が翼のみによって決まる定数でなく、 $C_M$  を決める実験に用いた流体の特性によってその値が異なることを意味する。

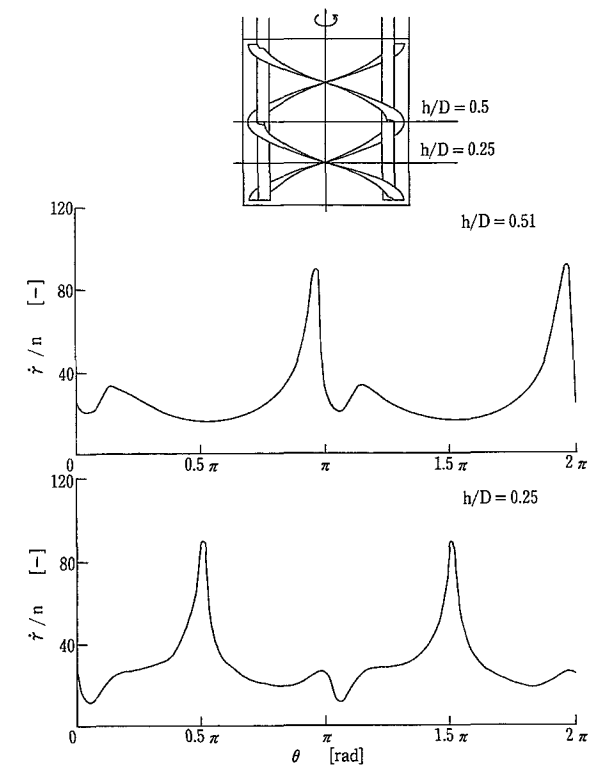
近年,流体数値解析技術の急速な発展に伴って,撹拌槽内の流速分布や剪断速度分布を比較的容易に知ることができるようなった。リボン翼を改良した当社のログボーン翼について,壁面での剪断速度の円周方向分布を求めた例 $^{3}$ )を第2図に示す。流体は粘度 $^{10}$  Pa.s のニュートン流体である。ちなみに,この分布から $^{C}$  に相当する値を求めると約 $^{24}$ になる。非ニュートン流体についても同様の解析を実施すれば,剪断速度分布が得られる。

第2図の剪断速度でのピーク値はリボン羽根の周速をクリアランスで割った値になる。この部分で剪断応力による掻き取り効果を期待するのであれば、スケールアップ時にクリアランスの絶対値を守る必要は無く、むしろ翼径とクリアランスの比率を守るべきである。

ところで、式(1)の平均は、撹拌槽内全体の平均を 意味しない。大半のトルクが伝達される曲面上での 平均値と考えるべきである。実際、第2図の平均剪 断速度は、撹拌トルクが均等に容器壁面に伝わると して求められた値とほぼ一致する。一方、槽平均の 剪断速度は撹拌動力 Pと液容量 V から次のように 求められる。

$$\dot{\gamma}_{vol.\,ave} = (P/\mu V)^{1/2} \tag{7}$$

第2図の条件でこの値を求めると、壁面平均剪断



第2図 壁面での剪断速度分布

Fig. 2 Shear rate distribution on the wall<sup>3)</sup>

速度の約70%値になる。リボン翼では外周部で比較的剪断速度が大きく、軸側で剪断速度が小さいためである。

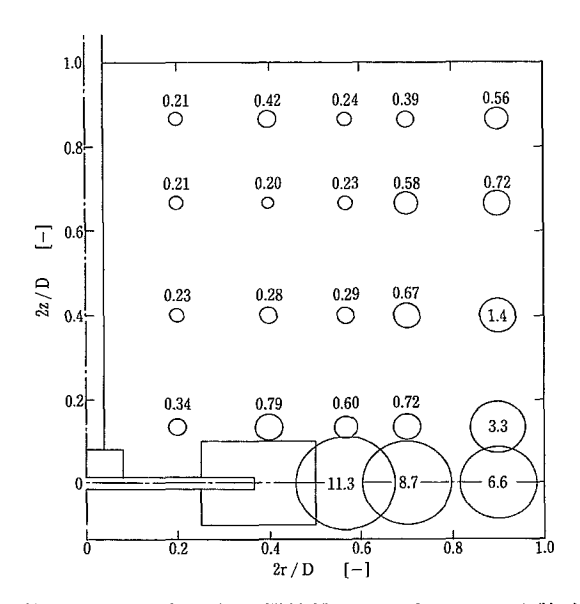
# 乱流時の剪断速度とエネルギー消散分布

乱暴に云えば、撹拌槽の乱流はその大きさが10 μから1 m までの流体塊のランダム運動の重なりである。乱流理論では流体塊を乱流渦と呼ぶ。十分に発達した乱流であれば、大部分の運動エネルギーが微視的な乱流渦の運動によって消費され、その運動はあらゆる方向に等質で、かつ動力消散速度と流体粘度のみによって決まる普遍的な平衡状態にある。これが局所等方性理論である。この時、乱流渦の剪断速度は次式で求められる。

$$\dot{\gamma}_{\text{turb}} = (\varepsilon/15 \,\nu)^{1/2} \tag{8}$$

この式の物理的な意味は式(7)と同じである。 ε は流体単位質量あたりのエネルギー消散速度を, ν は動粘度を表す。 3 方向の乱流速度成分が等方性の速度勾配を持つため、15という数値が分母に存在する。

撹拌レイノルズ数が $10^4$ を越える条件であれば、 投入した撹拌動力の90%以上が乱流渦によって消費される。したがって、 $\epsilon$ の槽内平均値は次の様に



第3図 邪魔板の無い撹拌槽でのエネルギー消散速度分 布

Fig. 3 Local dissipation rate,  $\varepsilon(P/\rho V)^{-1}$  [-], in an unbaffled mixing vessel (D=0.60m, N=80rpm, Re=120000)<sup>4)</sup>

近似できる。

$$\varepsilon_{ave} = P/\rho V \tag{9}$$

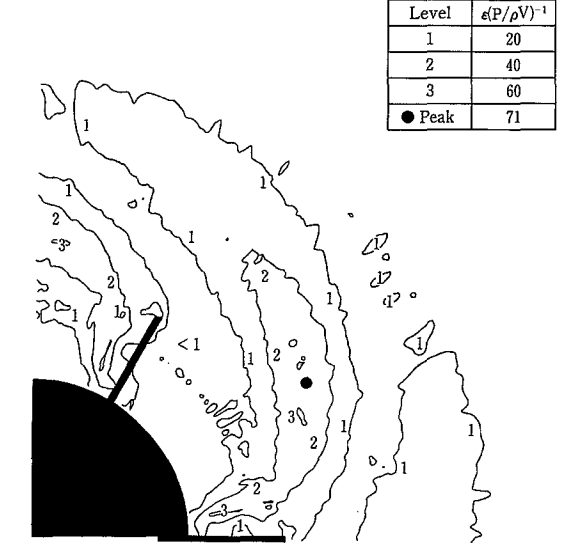
 $\varepsilon$  の槽内分布の測定報告例は比較的少ない。第3、4図にディスクタービン翼での測定結果 $^{4,5)}$ を示す。第3図によれば,投入した動力の70%程が撹拌翼の周辺で消費され残り30%程が槽内全体に伝えられる。第3図の条件では撹拌動力は $0.027\,\mathrm{kW/m^3}$ であり,剪断速度を求めると,翼周辺で約 $140\,\mathrm{s^{-1}}$ ,翼から離れた部分で約 $20\,\mathrm{s^{-1}}$ となる。現実の反応器ではこの数十倍の動力を与える。その時,剪断速度はこの数値の $3\sim7$ 倍の数値となる。

第4回は翼周辺のエネルギー消散速度分布を詳しく測定した例である。ピーク値が槽内平均値の71倍になるという。測定条件での撹拌動力 $0.065 \, \mathrm{kW/m^3}$ から剪断速度のピーク値を求めると $550 \, \mathrm{s^{-1}}$ になる。

ところで、上記の剪断速度が直接作用する現象は 微視的な現象に限られる。その代表的な大きさは Kolmogoroff スケール  $\eta$  によって表される。

$$\eta = (\nu^3/\varepsilon)^{1/4} \tag{10}$$

上記の例では20~100 µ となる。これよりも大きな規模の現象に作用する剪断力を単純に上記のエネルギー消散速度から推定することは、必ずしも正しくない。仮にそれが正しいとすれば、撹拌槽のスケールアップは単に単位容積あたりの撹拌動力を一定にすればよいとの結論に至る。しかし、現実は異なる。



第4図 タービン翼周囲でのエネルギー消散速度分布 Fig. 4 Energy dissipation rate contour around a Rushton turbine, d=0.101 m, D=0.305 m, 180 rpm<sup>5)</sup>

液滴分散,ラテックス,坦持触媒,晶析等の撹拌で動力基準のスケールアップを実施すれば,剪断力が増加するとしか解釈しようのない結果を得る。スケール η より大きな規模の現象では,装置の大小が間接的に影響するような乱流渦の運動を考慮する必要があるという気がする。この点について,学会の評価はまだ定まっていない。

## むすび

本稿では層流撹拌及び乱流撹拌での剪断速度の考 え方について簡単に諸説を紹介した。

当社は、近年、低剪断での撹拌に有利な撹拌翼フルゾーンや、リボン翼の混合を飛躍的に高めたログボーン翼の販売を通じて、各種撹拌プロセスの改善に努めている。これらの翼について、その流動特性や混合特性を把握し既に公開してきたが、剪断特性についてはまだ十分に把握し切れていない点がある。目下、電算機シミュレーションを用いてフルゾーンの剪断速度分布を解析中である。機会を見て紹介したいと考えている。

#### [参考文献]

- 1) Metzner, A.B., et.al.: A.I. Ch.E.J., Vol.7, (1961), p.3
- 2) Nagata, S.: Mixing, (1975), Kodansha, p.76
- 3) 高田一貴: 社内資料, (1993)
- 4) 岡本幸道ほか:化学工学論文集, Vol. 5, No.4, (1979), p.410
- 5) Stoots, C.M. and R.V.Calabrese: OHP Handout at an invited lecture in BHRA in U.K., (1988)